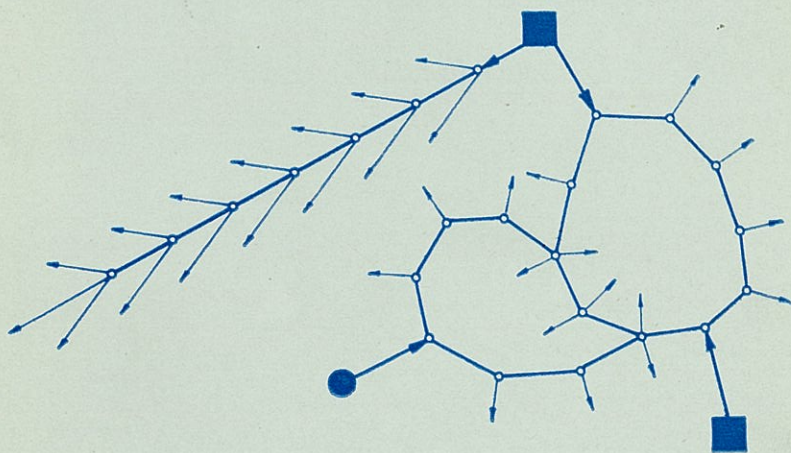


συμβολη στο σχεδιασμο των σωληνωτων υπο πιεση δικτυων

- ΑΚΤΙΝΩΤΑ ΚΑΙ ΚΛΕΙΣΤΑ ΚΥΚΛΟΦΟΡΙΑΚΑ ΔΙΚΤΥΑ ΑΡΔΕΥΣΕΩΣ ΜΕ ΕΛΕΥΘΕΡΗ ΖΗΤΗΣΗ

- ΕΣΩΤΕΡΙΚΑ ΔΙΚΤΥΑ ΥΔΡΕΥΣΕΩΣ

ΛΑΖΑΡΟΥ Σ. ΛΑΖΑΡΙΔΗ ΠΟΛΙΤΙΚΟΥ ΜΗΧΑΝΙΚΟΥ

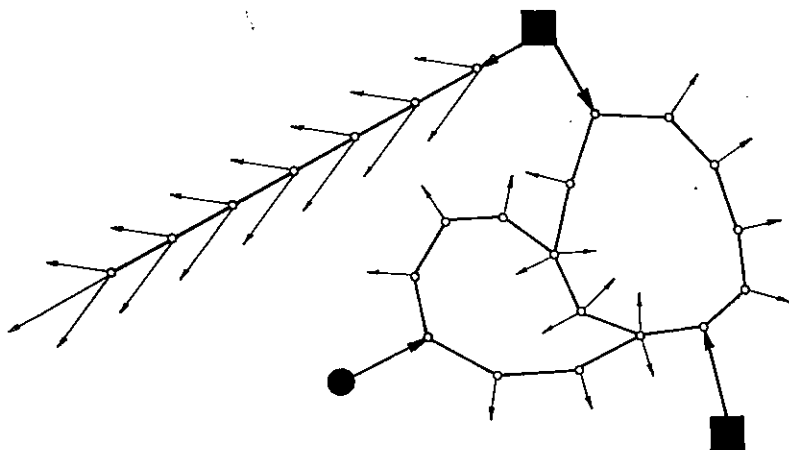


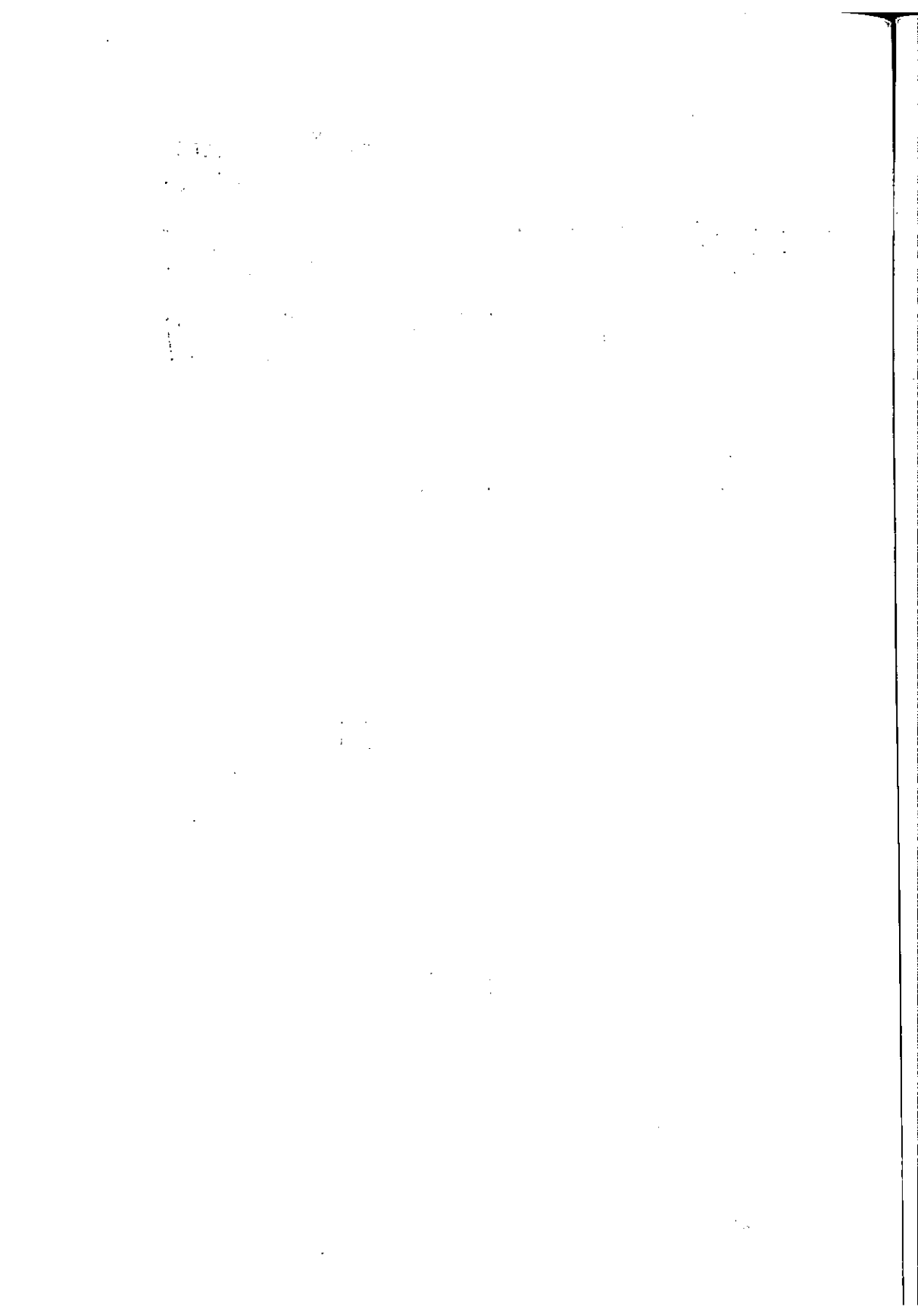
ΣΥΜΒΟΛΗ ΣΤΟ ΣΧΕΔΙΑΣΜΟ ΤΩΝ ΣΩΛΗΝΩΤΩΝ ΥΠΟ ΠΙΕΣΗ ΔΙΚΤΥΩΝ

• ΑΚΤΙΝΩΤΑ ΚΑΙ ΚΛΕΙΣΤΑ ΚΥΚΛΟΦΟΡΙΑΚΑ
ΔΙΚΤΥΑ ΑΡΔΕΥΣΕΩΣ ΜΕ ΕΛΕΥΘΕΡΗ ΖΗΤΗΣΗ

• ΕΣΩΤΕΡΙΚΑ ΔΙΚΤΥΑ ΥΔΡΕΥΣΕΩΣ

ΛΑΖΑΡΟΥ Σ. ΛΑΖΑΡΙΔΗ ΠΟΛΙΤΙΚΟΥ ΜΗΧΑΝΙΚΟΥ





" Αφιερώνεται στη μνήμη τῶν γονιῶν μου "

101

102

103

104

105

Π Ρ Ο Λ Ο Γ Ο Σ

Ἡ λειτουργία τῶν ὑπὸ πίεση ἀρδευτικῶν δικτύων μὲ ἐλεύθερη ζήτηση ἔχει πιθανοθεωρητικό χαρακτήρα.

Ἔτσι οἱ ἀπώλειες φορτίου μέσα σὲ τέτοια δίκτυα ἔχουν καὶ αὐτὲς πιθανοθεωρητικό χαρακτήρα, ὥστε μπορούμε νὰ χαρακτηρίσουμε μὲ αὐτὲς σὲ κάθε στάθμη πιθανότητας τὴν ἀντίστοιχη ποιότητα λειτουργίας τοῦ κάθε στομίου ὑδροληψίας ἢ καὶ ὁλόκληρου τοῦ δικτύου.

Μὲ αὐτὸ τὸν τρόπο ἐπιτυγχάνεται ἓνας σωστός καὶ σαφὴς καθορισμὸς τῆς ποιότητας λειτουργίας τῶν ἀρδευτικῶν δικτύων μὲ ἐλεύθερη ζήτηση. Τὸν καθορισμὸ αὐτὸ τὸν λάβαμε σάν βάση γιὰ νὰ μελετήσουμε μὲ τὴν βοήθεια τῆς θεωρίας τῶν πιθανοτήτων τὴν κατανομὴ τῆς ἀπώλειας φορτίου κατὰ μῆκος μιᾶς ὁποιασδήποτε διαδρομῆς τῆς ροῆς τοῦ νεροῦ ποῦ ὀνομάζεται "γραμμὴ μεταφορᾶς".

Στὴ συνέχεια μὲ μιὰ κατάλληλη μαθηματικὴ ἐπεξεργασία καὶ μὲ τὴν ἀποδοχὴ ὀρισμένων λογικῶν καὶ ἀνεκτῶν προσεγγίσεων, ποῦ ἀνταποκρίνονται στὸν τρόπο λειτουργίας, τὴν μορφή καὶ τὸ πεδίο ἐφαρμογῆς ὀρισμένων χαρακτηριστικῶν μεγεθῶν σχεδιασμοῦ τῶν ἀρδευτικῶν δικτύων, καταλήξαμε σὲ πολὺ ἀπλᾶ συμπεράσματα τὰ ὁποῖα ἐπαληθεύσαμε σὲ κάθε περίπτωσι, τόσο μὲ τὴν μέθοδο τῆς ἐξομειώσεως, ὅσο καὶ μὲ ἀριθμητικὰ παραδείγματα.

Σύμφωνα μὲ τὰ συμπεράσματα αὐτὰ εἶναι δυνατὸς ὁ καθορισμὸς σὲ κάθε θέσει τοῦ δικτύου ἑνὸς μεγέθους μὲ διαστάσεις παροχῆς ποῦ τὸ ὀνομάσαμε "ἰδεατὴ παροχὴ" σχεδιασμοῦ. Τὴν "ἰδεατὴ" αὐτὴ παροχὴ τὴν ὑπολογίζουμε σὲ συνάρτησι μὲ τὴν ἐπιθυμητὴ ποιότητα λειτουργίας τοῦ δικτύου καὶ τὴν ἐφαρμόζουμε σὲ ὅλες τὶς θέσεις του, ὅποτε προκύπτει ἡ ἀντίστοιχη ἀπώλεια φορτίου ποῦ ἀντιστοιχεῖ ὅμως στὴν ἴδια ποιότητα λειτουργίας.

Ἡ παρούσα ἐργασία χωρίστηκε σὲ τρία μέρη ποῦ χαρακτηρίζονται σάν Α, Β καὶ Γ μέρος. Στὸ Α' μέρος περιλαμβάνεται ἡ ἔκφρασι τῶν ἀκτινωτῶν δικτύων ἀρδεύσεως ποῦ λειτουργοῦν μὲ ἐλεύθερη ζήτηση, ἡ ὁποῖα εἶναι καὶ ἡ βασικὴ ἐργασία στὴν ὅλη προσπάθεια ποῦ ἔγινε γιὰ τὸν σχεδιασμὸ τέτοιων δικτύων. Ἔτσι στὸ μέρος Α' γιὰ τὸν ὑπολογισμὸ τῆς "ἰδεατῆς" παροχῆς δύνουμε μιὰ

σχέση πάρα πολύ απλή, όταν αυτή τροφοδοτεί πάνω από δέκα στόμια ύδροληψίας, ενώ για κάτω από δέκα στόμια ο υπολογισμός γίνεται πάλι πάρα πολύ απλά με τη χρήση ενός πίνακα.

Εκτός όμως από τον προτεινόμενο σωστό και απλό τρόπο σχεδιασμού των υπό πίεση αρδευτικών σωληνωτών δικτύων, που λειτουργούν με ελεύθερη ζήτηση, προκύπτει από το Α' μέρος της παρούσας εργασίας ότι επιτυγχάνεται και μία σημαντική οικονομία στις δαπάνες κατασκευής τους, σε σύγκριση με αντίστοιχες δαπάνες που απαιτούνται σήμερα για την κατασκευή τέτοιων δικτύων στη χώρα μας.

Μέσα στο Α' μέρος της εργασίας για καλλύτερη σύνδεση του αναγνώστη με ώρισμα συναφή θέματα όπως π.χ. γραμμικών απωλειών, μεθόδων βελτιστοποίησης και ταχυτήτων σχεδιασμού γίνεται μία απλή επληρωματική αναφορά στα απλώς και μόνο για μία χρησιμη υπενθύμισή τους.

Στο Β' μέρος έρευνάται το θέμα των κλειστών κυκλοφοριακών αρδευτικών δικτύων που λειτουργούν με ελεύθερη ζήτηση. Η έρευνα βασίζεται στα συμπεράσματα του Α' μέρους και τα αποτελέσματα είναι πολύ απλά και ενδιαφέροντα. Καθορίζονται πάντως και στα κλειστά (βροχωτά) υπό πίεση αρδευτικά δίκτυα και πάλι κατάλληλες "ιδεατές παροχές" σχεδιασμού. Με τις παροχές αυτές το πρόβλημα γίνεται αιτιοκρατικό και μπορεί να αποφεύγονται κάθε φορά οι έσομοιώσεις για την επίλυση τέτοιων βροχωτών δικτύων.

Τέλος στο Γ' μέρος εξετάζεται η δυνατότητα εφαρμογής των συμπερασμάτων του Α' και Β' μέρους στα έσωτερικά δίκτυα ύδρευσης. Βέβαια στο μέρος αυτό επισημαίνεται η δυσχέρεια εφαρμογής "ιδεατών παροχών" στα έσωτερικά δίκτυα διανομής ύδατος ύδρευσης, η οποία προέρχεται από την ασάφεια στον τρόπο λειτουργίας τους. Τελικά έφ'όσον δεν υπάρχει μέχρι τώρα άλλος τρόπος υπολογισμού υποδεικνύονται και πάλι κατάλληλες τιμές ιδεατών παροχών με τις οποίες είναι δυνατό να υπολογίζονται οι αντίστοιχες απώλειες φορτίου που κατά πάσα πιθανότητα προσεγγίζουν περισσότερο προς τις πραγματικές. Οι ιδεατές αυτές παροχές υπολογίζονται έμμεσα με τον υπολογισμό του συντελεστού ώριαίας αίχμης κατά την ημέρα της μέγιστης καταναλώσεως.

Μετά το Γ' μέρος παρατίθεται ένας πίνακας βασικών συμβόλων που αναφέρονται και στα τρία μέρη της εργασίας.

Πιστεύουμε, ότι ή όλη έργασία ή όποια κατά βάση είναι μια έρευνητική προσπάθεια και καλύπτει τό μεγαλύτερο μέρος τών υπό πίεση σωληνωτών δικτύων που παρουσιάζονται στις εφαρμογές για άρδευση και ύδρευση, θά άποβεΐ μια θετική συμβολή στό θέμα του σωστού σχεδιασμοΐ τους και θά υποβοηθήσει σημαντικά τους συναδέλφους μελετητές που άσχολοΐνται με την σχεδίαση τέτοιων έργων άφού μάλιστα τά συμπεράσματα είναι πάρα πολύ άπλά και εύκολα έφαρμόσιμα.

Τέλος στόν Καθηγητή του Ε.Μ.Π. κ. Θ. Ξανθοπούλο εύμαστε ύποχρεωμένοι να έκφράσουμε τις θερμές εύχαριστίες μας που είχε την καλωσύνη να δεΐ σέ γενικές γραμμές τό Α΄ Μέρος τής έργασίας και να ένθαρρύνει την δημοσίευσή της.

Άθήνα, 1977

Λάζαρος Σ. Λαζαρίδης

...the ... of ...

...the ... of ...

...

Π Ε Ρ Ι Ε Χ Ο Μ Ε Ν Α

Σελ.

ΜΕΡΟΣ Α.΄ : ΑΚΤΙΝΩΤΑ ΔΙΚΤΥΑ ΑΡΔΕΥΣΕΩΣ ΜΕ ΕΛΕΥΘΕΡΗ ΖΗΤΗΣΗ

1. Είσαγωγή	1
2. Οί γραμμικές απώλειες.....	17
3. Οί παράμετροι τής κατανομής απώλειας φορτίου.....	23
4. Ή κατανομή τής πιθανότητας απώλειας φορτίου.....	34
5. Οί όριστικές έξελιώσεις τής απώλειας φορτίου καί ΄Ιδε- ατές παροχές σχεδιασμού	38
6. Ή άγωγός τελευταίας τάξεως καί ή έξομύωση τής λει- τουργίας	68
7. Οί ταχύτητες σχεδιασμού-Διάφορες παρατηρήσεις για τίς έφαρμογές.....	83
8. Ή βελτιστοποίηση τών άκτινωτών δικτύων.....	88
9. Συμπεράσματα.....	111
10. Βιβλιογραφία.....	117

ΜΕΡΟΣ Β.΄ : ΚΛΕΙΣΤΑ ΚΥΚΛΟΦΟΡΙΑΚΑ ΔΙΚΤΥΑ ΑΡΔΕΥΣΕΩΣ ΜΕ Ε - ΛΕΥΘΕΡΗ ΖΗΤΗΣΗ

1. Είσαγωγή	119
2. Ή κατανομή τής απώλειας φορτίου σέ ένα κλειστό κυκλο- φοριακό βρόχο.	122
3. Οί απώλειες φορτίου σέ περισσότερους βρόχους	139
4. Ή βελτιστοποίηση τών κλειστών κυκλοφοριακών δικτύων..	141
5. Συμπεράσματα.....	143
6. Βιβλιογραφία	147

ΜΕΡΟΣ Γ.΄ : ΕΣΩΤΕΡΙΚΑ ΔΙΚΤΥΑ ΥΔΡΕΥΣΕΩΣ

1. Είσαγωγή	149
2. Ή συντελεστής ώριαίας άίχιμης.....	154
3. Οί απώλειες φορτίου καί οί ιδεατές παροχές σχεδια - σμού	158
4. Συμπεράσματα	165
5. Βιβλιογραφία	169

<u>ΒΑΣΙΚΑ ΣΥΜΒΟΛΑ</u>	171
-----------------------------	-----

1. The first part of the document discusses the importance of maintaining accurate records of all transactions. It emphasizes that this is crucial for ensuring the integrity of the financial statements and for providing a clear audit trail.

2. The second part of the document outlines the various methods used to collect and analyze data. It includes a detailed description of the sampling techniques employed and the statistical tests used to evaluate the results.

3. The third part of the document provides a comprehensive overview of the findings of the study. It highlights the key areas where discrepancies were identified and discusses the potential causes of these issues.

4. The final part of the document offers recommendations for improving the internal control system. It suggests several practical measures that can be implemented to reduce the risk of errors and to enhance the overall reliability of the financial reporting process.

5. The document concludes by summarizing the main points and reiterating the importance of a robust internal control system. It also includes a list of references and a bibliography of the sources used in the study.

6. The document is intended for use by management and the audit committee to inform their decision-making and to guide the implementation of the recommended improvements.

Μ Ε Ρ Ο Σ Α :

ΑΚΤΙΝΩΤΑ ΔΙΚΤΥΑ ΑΡΔΕΥΣΕΩΣ ΜΕ ΕΛΕΥΘΕΡΗ ΖΗΤΗΣΗ

I. ΕΙΣΑΓΩΓΗ1.1. Γενικά- Προϋπάρχουσες έργασίες

Ο μηχανικός πού μελετά ακτινωτά σωληνωτά υπό πίεση δίκτυα αρδεύσεως, τά όποια λειτουργούν μέ έλεύθερη ζήτηση, είναι υποχρεωμένος πριν άκόμα καθορίσει ένα κατάλληλο συνδυασμό διαμέτρων μέ κάποια ύπολογιστική διαδικασία, συνήθως ένα άλγόριθμο βελτιστοποιήσεως, νά προβεί πρώτα:

- ι) Στην χάραξη του δικτύου σέ όριζοντιογραφία και μηκοτομή.
- ιι) Στόν καθορισμό περιορισμών σέ ότι άφορά τόσο τίς ελάχιστες τιμές πιεζομετρικού φορτίου στίς διάφορες θέσεις του δικτύου, όσο και στά όρια διακυμάνσεων τών ταχυτήτων σχεδιασμού.
- ιιι) Στόν καθορισμό τών κατά τμήματα παροχών σχεδιασμού του δικτύου.
- ιυ) Στόν καθορισμό του κόστους τών σωλήνων σέ συνάρτηση μέ τό χρησιμοποιούμενο ύλικό και τήν διάμετρό τους.

Άφου λοιπόν καθοριστεί ή χάραξη του δικτύου, τά απαιτούμενα ελάχιστα διαθέσιμα φορτία στίς διάφορες θέσεις τους και τό κόστος τών σωλήνων σέ συνάρτηση μέ τό ύλικό τους και τήν διάμετρό τους, θέματα πού ξεφεύγουν από τά πλαίσια τής παρούσας έργασίας, παραμένει τό πρόβλημα του καθορισμού τών παροχών σχεδιασμού του δικτύου σέ συνδυασμό βέβαια μέ τίς όριακές

τιμές τῶν ταχυτήτων ροῆς στά διάφορα τμήματά του.

Τό πρόβλημα αὐτό εἶναι σοβαρό γιατί ἡ ὑπερεκτίμηση τῶν διαφορῶν ὑδραυλικῶν χαρακτηριστικῶν μεγεθῶν πού ἀποτελοῦν τή βάση τοῦ σχεδιασμοῦ, μειώνει τήν ἀξία ὁποιασδήποτε, ἔστω καί ἀκριβοῦς μεθόδου βελτιστοποιήσεως, ὅποτε ὁ ὑπερσχεδιασμός τοῦ ἔργου εἶναι ἀναπόφευκτος. Για νά καθοριστεῖ ἡ παροχή πού ζητιέται σέ μιὰ θέση θά πρέπει, ὅπως εἶναι γνωστό, νά ὀριστεῖ στήν ἀρχή μιὰ μέση παροχή q πού εἶναι ἀπαραίτητη γιά τήν ἐξυπηρέτηση τοῦ κάθε ἀγροτεμαχίου κατά τήν κρίσιμη ἡμέρα τῆς ἀρδευτικῆς περιόδου. Ἐπίσης καθορίζεται καί ἡ παροχή q_0 τῶν στομίων ὑδροληψίας στά δίκτυα ὑπό πίεση καί ὁ λόγος $B = \frac{q_0}{q}$, πού καλεῖται βαθμός ἐλευθερίας τοῦ δικτύου ἀπό τόν γεωργό.

Τό θέμα ὅμως αὐτό τοῦ καθορισμοῦ τῶν μεγεθῶν q, q_0 καί B , δέν ἀποτελεῖ ἀντικείμενο τῆς παρούσας ἐργασίας ἀλλά ἰδιαίτερης λεπτομεροῦς μελέτης τῶν γεωργοτεχνικῶν κλπ. συνθηκῶν μιᾶς ὑπό ἀρδευση περιοχῆς, γι' αὐτό στήν παρούσα τά μεγέθη αὐτά θεωροῦνται καθορισμένα.

Γιά νά ἐξασφαλιστεῖ ἔτσι πλήρως, κατά 100%, ἡ λειτουργία ἑνός δικτύου εἶναι γνωστό ὅτι ὁ σχεδιασμός του θά πρέπει νά γίνεῖ μέ βάση ἐκεῖνο τό πιθανό σχῆμα ζητήσεως κατά τό ὁποῖο ὅλα τά στόμια τῶν ὑδροληψιῶν θά εἶναι ἀνοιχτά. Στήν περίπτωση ὅμως αὕτη προκύπτει ἕνα δίκτυο δαπανηρό, ἐνῶ μέ τήν παραδοχή (1,3) ὅτι τό δίκτυο δέν εἶναι ἱκανό σ' ἕνα μικρό ποσοστό ζητήσεων νά ἀνταποκριθεῖ στήν ἐξυπηρέτηση ὅλων τῶν στομίων ὑδροληψίας, προκύπτει ἕνα ρεαλιστικό καί λογικό σχῆμα δικτύου τό ὁποῖο ἐνῶ εἶναι οἰκονομικότερο εἶναι καί ἀρκετά ἱκανό νά ἐξυπηρετήσῃ τίς ἀνάγκες τῶν ἀγροτῶν.

Ἐτσι μέ κάποια πιθανότητα p_λ , πλησίον τῆς μονάδος, ὅπως

από R συνολικά στόμια ύδροληψίας που εξυπηρετούνται από μία θέση του δικτύου, λειτουργούν τό πολύ τά N στόμια ($N < R$) προκύπτει μέγιστη παροχή στη θεωρούμενη θέση ίση προς $N \cdot q_0$, αρκετά μικρότερη όμως από την $R \cdot q_0$. Επομένως έχει εισαχθεί ή έννοια της ποιότητας λειτουργίας φ που συμπύπτει μέ την πιο πάνω πιθανότητα p_λ .

Μέ αυτό τον τρόπο μέχρι σήμερα έχουν αναζητηθεί, μέ υδραυλικό κριτήριο την ζητούμενη παροχή, οί συναρτήσεις κατανομής της για να περιγραφεί ή λειτουργία ενός δικτύου.

Στά άρδευτικά δίκτυα ή πιθανότης p λειτουργίας ενός στομίου θεωρείται σταθερή κατά την διάρκεια της κρίσιμης άρδευτικής ήμέρας, όποτε ή ζητούμενη παροχή Q σέ μία θέση του δικτύου ακολουθεί διωνυμική κατανομή (bernouilli) ή μέ άλλα λόγια ή πιθανότης φ να ζητείται παροχή $Q \leq N \cdot q_0$ θά είναι:

$$\varphi = \sum_0^N \binom{R}{N} P^N (1-P)^{R-N} \quad (1)$$

όπου φ = ή πιθανότης να ζητείται παροχή $Q \leq R \cdot q_0$

N = μέγιστο πλήθος άνοικτών στομίων ύδροληψιών για στάθμη πιθανότητας φ ($N \leq R$)

R = Συνολικό πλήθος στομίων ύδροληψίας του δικτύου που εξυπηρετείται από την εξεταζόμενη θέση

$P = \frac{1}{B}$ = πιθανότητα λειτουργίας κάθε στομίου (σταθερή)

Η προσέγγιση της διωνυμικής κατανομής όπως είναι γνωστό πραγματοποιείται ίκανοποιητικά μέ κατανομές πιο εύχρηστες όπως ή κατανομή Poisson. Ήδη έχουν χρησιμοποιηθεί τέτοιες κατανομές για την μελέτη καί ύπολογισμό των παροχών σχεδιασμού τόσο σέ δίκτυα ύδρευσεως | 12 | όσο καί σέ άρδευτικά δίκτυα.

Ο R. Clement (3) τό έτος 1955 χρησιμοποίησε τήν κανονική κατανομή για νά υπολογίσει τς παροχές σέ άρδευτικά δικτυα καί δέχτηκε ότι για τς εφαρμοζόμενες τιμές τής πιθανότητας P καί για πλήθος στομών μεγαλύτερο άπό 10÷12 ή παροχή άκολουθεϊ τήν κανονική κατανομή καί έπομένως:

$$Q = \mu + \epsilon \cdot \sigma \quad (2)$$

όπου : μ = μέση τιμή τής παροχής = $R \cdot P \cdot q_0$
 σ = τυπική άπόκλιση τής παροχής = $R \cdot P(1-P)^{1/2} \cdot q_0$
 ϵ = τυποποιημένη τυχαία μεταβλητή
 τής κανονικής κατανομής ($\mu=0, \sigma=1$)

Οι τιμές τών μ καί σ για στόμια που άνήκουν σέ m ομάδες καί ή ομάδα i χαρακτηρίζεται άπό τά μεγέθη n_i, P_i, q_{0i} , θά είναι:

$$\mu = \sum_{i=1}^{i=m} (R_i \cdot P_i \cdot q_{0i}) \quad (3)$$

$$\sigma = \left[\sum_{i=1}^{i=m} R_i P_i (1-P_i) \cdot q_{0i}^2 \right]^{1/2} \quad (4)$$

Ο R. Clement τό 1966 παρουσίασε τόν δεύτερο τύπο ζητήσεως (4) σέ δεύτερη έργασία του όπου εξέτασε τήν λειτουργία του δικτύου σάν μιά στοχαστική άνέλιξη γεννήσεως καί θανάτου. Για τήν παραδοχή αυτή έχουν έκφρασει διάφορες άπόψεις καί κυρίως κατά πόσο ή εφαρμογή ενός τέτοιου στοχαστικού μοντέλου άνταποκρίνεται στή φύση καί τόν τρόπο ίκανοποίησεως τών άρδευτικών άναγκών. Τελικά, όπως είναι γνωστό, ό πρώτος τύπος (2) εφαρμόζεται για τόν προσδιορισμό τής παροχής καί φαίνεται ότι δέν άποτελεϊ λιγότερη βάσιμη παραδοχή για τόν τρόπο λειτουργί-

ας του δικτύου . Οι παροχές που προκύπτουν από την πιο πάνω σχέση (2), δίνουν βέβαια μια σωστή πληροφορία σέ ότι αφορά την μέγιστη παροχή που ζητείται σέ κάθε θέση του δικτύου, αλλά δέν μπορούν νά εφαρμοστούν ταυτόχρονα σέ όλο τό δίκτυο καί νά θεωρηθούν παροχές σχεδιασμού. Στο θέμα αυτό έχουν γίνει μέχρι σήμερα όρισμένες έμπειρικές παραδοχές καί προσπάθειες για την κατανομή της maxQ που ζητείται στην κεφαλή του δικτύου για μία στάθμη πιθανότητας (ή ποιότητας λειτουργίας) φ, χωρίς τελικά τό πρόβλημα νά έχει λυθεί όριστικά.

"Ετσι ό R.Clement πρότεινε την κατανομή της maxQ στις υδραυλικά δυσμενέστερες ύδροληψίες του δικτύου. Στην περίπτωση αυτή είναι φανερό ότι προκύπτει πολύ μεγαλύτερη ποιότητα λειτουργίας του δικτύου από εκείνη που έπιζητούμε καί έπομένως ύπεροχεδιασμός του έργου.

Μία άλλη μέθοδος συνίσταται στην εφαρμογή της σχέσεως (2) σ' όλα τά τμήματα του δικτύου. Μέ τή μέθοδο αυτή τά άποκτώμενα οίκονομικά άποτελέσματα είναι εύνοϊκότερα καί ή ποιότητα λειτουργίας θά είναι πλησίον της έπιθυμητής σ' όλο τό δίκτυο (8). Βέβαια ή μέθοδος αυτή προτάθηκε έμπειρικά καί δέν έχει θεωρητική βάση, αλλά μέ την παρούσα εργασία άποδεικνύεται ότι οι παροχές που δίνει ή σχέση (2) για όλα τά τμήματα του δικτύου είναι πάρα πολύ κοντά στις προτεινόμενες "ΐδεατές παροχές" σχεδιασμού όπως θά δοϋμε πιο κάτω.

Τά υπό πίεση άρδευτικά δίκτυα στή χώρα μας ύπολογίζονται μέ παροχές που καθορίζονται από σχετικές οδηγίες [18] του 'Υπουργείου Δημοσίων Έργων. Οι παροχές αυτές δεσμεύονται όμως σέ όρισμένες θέσεις από τή σχέση (2) καί επίσης ύποτίθεται (8) ότι ή ποιότητα λειτουργίας του άγωγού που τροφοδοτεί τους διάφορους κλάδους μειώνεται όσο αύξάνεται ό αριθμός των κλάδων .

Έτσι, όσο προχωρούμε προς την κεφαλή θεωρείται ότι η ποιότητα λειτουργίας μειώνεται και επομένως θα πρέπει για την περίπτωση 20 εφαρμογών της σχέσεως (2), να υπολογίζουμε με $\varphi=0,99$ ή για περισσότερες και μέχρι 40 εφαρμογές της (2) να υπολογίζουμε με $\varphi=0,999$, όποτε υποτίθεται ότι εξασφαλίζουμε στην κεφαλή ποιότητα $\varphi=0,90$. Μάλιστα οι σχετικές οδηγίες καθορίζουν ότι σε άγωγους τελευταίας τάξεως είναι υποχρεωτική ή υπόθεση της λειτουργίας δώδεκα (12) στομίων τουλάχιστον για πλήθος $R \geq 12$ ενώ για $R \leq 12$ στόμια λαμβάνεται $N=R$.

Είναι φανερό [19] πλέον, ότι με τόν παραπάνω καθορισμό, όχι μόνο μείωση της ποιότητας λειτουργίας δεν έπέρχεται, αλλά τούναντίον αύξηση αυτής. Πράγματι, ο συνδυασμός των $\max Q$ των κλάδων έχει πιθανότητα πραγματοποίησεως πολύ μικρότερη της $(1-\varphi)$ γιατί οι $\max Q$ είναι ανεξάρτητα ένδεχόμενα.

Τελικά από όλες τις παραδοχές προκύπτει ένας σοβαρός υπερσχεδιασμός σε παροχές, που έχει φανερά αντίκτυπο και στην οικονομία του έργου, τό όποιο βέβαια τελικά υπολογίζεται με πραγματική ποιότητα λειτουργίας που είναι μεγαλύτερη από 0,99.

Τελευταία έχει δημοσιευτεί μία εργασία του Δ.Χριστούλα [19] στην οποία σαν χαρακτηριστικό μέγεθος λαμβάνεται όχι η ζητούμενη παροχή, αλλά οι απώλειες φορτίου μεταξύ της δεξαμενής ή του άντλιοστασίου και των στομίων. Η απώλεια φορτίου εξετάζεται σαν τυχαία μεταβλητή και μελετιέται η κατανομή της ώστε να προκύψουν χρήσιμα συμπεράσματα.

Επίσης τίθεται τό θέμα του καθορισμού της ποιότητας λειτουργίας σε διαφορετική βάση που πρέπει να θεωρηθεί όμως, ότι είναι ή σωστή καθορίζεται έτσι σαν ποιότητα λειτουργίας φ του κάθε εξυπηρετούμενου στομίου εκείνη για την οποία τό ύψόμετρο

της πιεζομετρικής γραμμής άμεσα άνάντη του στομού παραμένει για την στάθμη πιθανότητας φ , μεγαλύτερο ή ίσο προς τό απαιτούμενο.

Βέβαια στό τέλος καθορίζονται οι σχέσεις οι όποιες συνδέουν την όλική άπώλεια φορτίου με τις άγνωστες διαμέτρους που αποτελούν και τις μεταβλητές του συστήματος που προκύπτει για όλες τις γραμμές μεταφοράς (όπου γραμμή μεταφοράς όνομάζεται μία γραμμή που συνδέει ένα σημετο τροφοδοσίας του κεντρικού άγωγού με ένα άκώτατο σημετο ύδροληψίας).

Οι ίσοτικές αυτές σχέσεις θα μπορούσαν με τους άνισοτικούς περιορισμούς που επιβάλλονται από τις όριακές ταχύτητες, να επιλύσουν τό πρόβλημα ενός βέλτιστου συνδυασμού διαμέτρων, σε συνδυασμό με την διατήρηση της επιθυμητής ποιότητας λειτουργίας, άποφεύγοντας τους υπεραχεδιασμούς που προκύπτουν από τις άκολουθούμενες μέχρι σήμερα μεθοδολογίες.

Οι προκύπτουσες όμως σχέσεις στην πιο πάνω εργασία 19 είναι δύσχρηστες και δέν παρέχουν άμεσες πληροφορίες, για να μπορεί να εφαρμοστεί κάποια γνωστή μέθοδος βελτιστοποίησης. Επίσης για την έξαγωγή τους θεωρήθηκε ότι οι γραμμικές άπώλειες σε σωλίνες προκύπτουν από τον τύπο του Manning, πράγμα που δυσχεραίνει την χρήση και άλλων έμπειρικών ή ήμιεμπειρικών σχέσεων που συνήθως εφαρμόζονται για τις γραμμικές άπώλειες. Τελικά προτείνεται στην πιο πάνω εργασία, μέχρι να ευρεθεί κάποιος άλγόριθμος για την επίλυση του προβλήματος, ένας τρόπος έμπειρικού καθορισμού της παροχής σε κάθε θέση του δικτύου.

Σύμφωνα με αυτό τον τρόπο ή μέση παροχή του κάθε τμήματος πολλαπλασιάζεται με τον συντελεστή $\frac{\max Q}{\bar{Q}}$, όπου $\max Q =$ μέ-

γιστη παροχή στη κεφαλή του δικτύου και $\bar{Q} = \mu$ -μέση παροχή στην κεφαλή.

Μετά την βελτιστοποίηση του δικτύου θά προκύψει ένα δίκτυο με ποιότητα λειτουργίας μικρότερη από την επιθυμητή. Πάντως με ένα συγκεκριμένο παράδειγμα στην κιά πάνω εργασία [19] προέκυψε ότι η υποτίμηση των απωλειών ανήλθε σε ποσοστά που ποικύλλουν από 10,6% έως 16,4% σε σύγκριση με τις πραγματικές. Η μείωση αυτή στον αρχικό καθορισμό των παροχών είναι αναπόφευκτη, γιατί ο λόγος $\frac{\max Q}{\mu} = \frac{\mu + \epsilon \cdot \sigma}{\mu} = (1 + \epsilon \cdot C_v)$, όπου C_v = συντελεστής μεταβολής στη θέση παρά την κεφαλή, δίνει ένα συντελεστή $(1 + \epsilon \cdot C_v)$ που είναι μικρότερος από κάθε αντίστοιχο συντελεστή σε άλλες θέσεις κατάντη της κεφαλής.

Στη συνέχεια βέβαια προτείνεται εμπειρικά ή διόρθωση του ύψομέτρου κεφαλής και μερικών διαμέτρων άγωγών τελευταίας τάξεως ώστε να επιτευχτεί μεγαλύτερη προσέγγιση.

Πάντως πρέπει να αναφερθεί σχετικά με τό κριτήριο της απώλειας φορτίου σαν στοιχείου καθορισμού της ποιότητας λειτουργίας, ότι έχει εφαρμοστεί από χρόνια σε κλειστά κυκλοφοριακά δίκτυα άρδευσεως από ώρισμαμένα μελετητικά γραφεία σε μελέτες άρδευτικών δικτύων.

1.2. Απόψεις για τή λήψη της απώλειας φορτίου σαν κριτηρίου σχεδιασμού- Σκοπός και αντικείμενο της παρούσας εργασίας

Στην προηγούμενη παράγραφο αναφέρθηκε ποιος είναι ο σωστός τρόπος καθορισμού της ποιότητας λειτουργίας και ότι ο μόνος σωστός τρόπος να τήν εξασφαλίσουμε είναι να μελετήσουμε τήν κατανομή της απώλειας φορτίου [19], παίρνοντας τήν απώλεια σαν κριτήριο σχεδιασμού. Πράγματι τό κριτήριο αυτό θεω-

ρεΐται απόλυτα όρθό για τόν σχεδιασμό του έργου, γιατί καθορίζεται έτσι ή ίκανοποιητική ή όχι λειτουργία του δικτύου μέ τό γεγονός άν τά διαθέσιμα φορτία υπερβαίνουν ή δέν υπερβαίνουν κάποια έπιθυμητή τιμή στίς διάφορες έξεταζόμενες θέσεις τους καί φυσικά πάντοτε σέ συνάρτηση μέ μιá έπιθυμητή στάθμη πιθανότητας φ. Εΐδικότερα για τό θέμα τής πιθανοθεωρητικής έξετάσεως τής όλικής απώλειας φορτίου κατά μήκος μιās γραμμής μεταφορās (δηλαδή μιās γραμμής από τό σημείο τροφοδοτήσεως μέχρι ενός άπώτατου σημείου ύδροληψίας) πού έξυπηρετεί ένα όρισμένο ένδιάμεσο πλήθος ύδροληψιών, παρατηρούμε τά έξής σχετικά για τήν αξία τής γνώσεως τής κατανομής τής απώλειας φορτίου.

Γιά κάθε συνδυασμό πού χαρακτηρίζεται από ένα πλήθος άνοιχτών ύδροληψιών καί από μιá όρισμένη διάταξη αύτών μέσα στό δίκτυο, προκύπτει μιá τιμή όλικής απώλειας φορτίου κατά μήκος μιās γραμμής μεταφορās. Η τιμή αύτή τής όλικής απώλειας φορτίου είναι ένα "γεγονός" ενός δειγματικού χώρου πού περιλαμβάνει όλα τά "γεγονότα" τά όποια εκφράζουν όλες τίς ένδεχόμενες νά πραγματοποιηθούν τιμές τής όλικής απώλειας φορτίου οι όποτες προκύπτουν για τούς διάφορους δυνατούς συνδυασμούς τών άνοιχτών ύδροληψιών (ανάλογα μέ τό πλήθος καί τήν διάταξη αύτών μέσα στό δίκτυο πού τροφοδοτείται από τήν θεωρούμενη γραμμή μεταφορās). Έπομένως θά ήταν απόλυτα ένδιαφέρον νά διαπιστωθεΐ ή πιθανότητα εμφάνισης κάθε "γεγονότος" ή κατά συνέπεια ή κατανομή τής απώλειας φορτίου, γιατί έτσι θά προέκυπτε ένα σαφές συμπέρασμα για τόν τρόπο λειτουργίας του δικτύου.

Κατ'αυτό τόν τρόπο θά μπορούσαμε νά γνωρίζουμε μέ ποιá πιθανότητα εμφάνισης πραγματοποιείται μιá τιμή απώλειας φορτίου καί έπομένως για μιá έπιθυμητή ποιότητα λειτουργίας ποιá

θά είναι ή μέγιστη τιμή απώλειας φορτίου σέ μιá εξέταζόμενη γραμμή μεταφοράς.

"Ετσι προκύπτει ότι ή κατανομή τής όλικης απώλειας φορτίου κατά μήκος μιās γραμμής μεταφοράς πού έκφράζει αντίστοιχα καί τήν κατανομή του πιεζομετρικού φορτίου στήν κεφαλή τής γραμμής (θέση τροφοδοτήσεως), δέν συμπίπτει μέ τήν κατανομή τής παροχής πού ζητείται από τό δίκτυο τό όποιο τροφοδοτείται από τήν γραμμή μεταφοράς. Πράγματι σέ μιá εξέταζόμενη θέ- θέση ή τιμή τής απώλειας φορτίου πού αντίστοιχει σέ μιá τιμή τής παροχής, ή όποία προκύπτει από δυσμενή διάταξη τών άνοιχτών ύδροληψιών μέσα στό δίκτυο, είναι δυνατό νά είναι μεγαλύτερη από μιá άλλη τιμή τής απώλειας ή όποία αντίστοιχει σέ μεγαλύτερη παροχή, αλλά προκύπτει από ευμενέστερη διάταξη τών άνοιχτών ύδροληψιών.

Μέ τήν παραδοχή ότι ή κατανομή τής απώλειας φορτίου άποτελεεί τό όρθό κριτήριο σχεδιασμού, έκπονήθηκε ή παρούσα έργασία μέ σκοπό νά καθορίσει κατά τρόπο γενικό καί όριστικό τά χαρακτηριστικά μεγέθη σχεδιασμού ενός δικτύου καί νά δώ- σει έπίσης ένα απλό καί γρήγορο τρόπο πού νά διευκολύνει τήν παραπέρα διαδικασία ύπολογισμού τών διαμέτρων τής βέλτιστης λύσεως.

"Ετσι:

- α) Έξετάζεται ή κατανομή τής απώλειας φορτίου καί οι παρά- μετροι αύτης αλλά κατά τρόπο γενικό, ώστε νά είναι δυνατή ή έφαρμογή τών έξισώσεων πού προκύπτουν, για όποιεσδήποτε συνηθισμένες χρησιμοποιούμενες σχέσεις γραμμικών απωλειών. Έπίσης καθορίζονται ποσοστιαία οι αποκλίσεις πού προέρχον- ται από τήν παράλειψη όρισμένων όρων στόν ύπολογισμό τών

απώλειων κι' έτσι δικαιολογείται ή παράλειψή τους που διευκολύνει όμως πολύ τούς υπολογισμούς και τήν μαθηματική επεξεργασία που ακολουθεί. Για τήν κατανομή τής πιθανότητας απώλειας φορτίου επίσης γίνεται προσπάθεια μιᾶς ὅσον τό δυνατό αὐστηρότερης ἐξετάσεως. Ἐτσι ή διατύπωση τῶν ἐξισώσεων κατά τρόπο γενικότερο και ή ποσοστική ἐκτίμηση τῶν προτεινόμενων προσεγγίσεων που ἀποτελεῖ και βᾶσιμη δικαιολογία γι' αὐτές, σέ συνδυασμό μέ τήν αὐστηρότερη ἐξέταση τής κατανομῆς τής πιθανότητας απώλειας φορτίου (θέματα που μέχρι τώρα στίς ὑπάρχουσες ἐργασίες δέν ἐξετάσθηκαν γενικά ἀλλά μόνο σέ εἰδικές περιπτώσεις) δύνουν τήν εὐχέρεια μιᾶς εὐρείας χρησιμοποίησέως τους για τόν υπολογισμό τῶν διαμέτρων τῶν δικτύων τεχνητῆς βροχῆς.

β) Ἐρευνᾶται και προσεγγίζεται πολύ ἱκανοποιητικότερα τό πρόβλημα τῶν ἀγωγῶν τελευταίας τάξεως σέ ὅτι ἀφορᾶ τίς ἀπώλειες φορτίου (σέ συνάρτηση βέβαια μέ τήν ἐπιθυμητή ποιότητα λειτουργίας τους) σέ σχέση μέ τίς ὑπάρχουσες μέχρι σήμερα σχετικές ἐργασίες.

Ἐτσι σέ ἀγωγούς τελευταίας τάξεως καθορίζεται σέ κάθε τμήμα τους, ἀνάλογα μέ τό πλήθος τῶν ὑδροληψιῶν που ἐξυπηρετεῖ τό κάθε τμήμα, τό πλήθος (ἀκόμα δέ και ή θέση) τῶν ἀνοιχτῶν ὑδροληψιῶν που πρέπει νά γίνουν δεκτές ὥστε νά καθορισθοῦν οἱ "ἰδεατές παροχές" σχεδιασμοῦ. Μ' αὐτό τόν τρόπο οὐσιαστικά μετατρέπεται ἕνα πιθανοθεωρητικό πρόβλημα σέ αἰτιοκρατικό και προσδιορίζεται ή ἀπώλεια φορτίου σέ κάθε θέση που ὅμως ἀντιστοιχεῖ στήν ἐπιθυμητή ποιότητα λειτουργίας.

Ἐπίσης μέ τόν πιο πάνω τρόπο εἶναι δυνατός και ὁ καθορισμός τής σχέσεως απώλειας φορτίου μέ τήν παροχή στήν κεφαλή τοῦ

άγωγού τελευταίας τάξεως. Τελικά έπιτυγχάνεται ένας λογικός σχεδιασμός τών άγωγών τελευταίας τάξεως που πάντοτε όμως έχει περιθώρια άσφαλείας, δηλαδή δύνει ένα λογικό ποσοστό αύξημένης ποιότητας λειτουργίας. Πάντως άποφεύγεται ο συνηθισμένος μέχρι τώρα πραγματοποιούμενος υπερβολικός υπερσχεδιασμός τών άγωγών τελευταίας τάξεως και έπομένως προκύπτει μία σημαντική οικονομία στο δίκτυο.

Είδικότερα στο θέμα τών άγωγών τελευταίας τάξεως διατυπώνονται πολλές φορές άπόψεις για τή σκοπιμότητα ενός υπερσχεδιασμού, ο όποιος καλύπτει άστάθμητους παράγοντες. Παρά ταύτα όμως πρέπει να θεωρείται άπόλυτα άναγκαίο ότι πρέπει να καθορίζεται ένας σωστός τρόπος ύπολογισμού τών άγωγών τελευταίας τάξεως ώστε να διατηρείται και σ'αύτους ή έπιθυμητή ποιότητα λειτουργίας ή να υπερβάλλεται λογικά. Από κετ και πέρα κάθε έπιθυμητός υπερσχεδιασμός θα είναι δυνατός αλλά τούλάχιστο θα καθορίζεται και τό μέγεθος του άπό μία σωστή άφετηρία.

γ) Μέ κάποιες ίκανοποιητικές προσεγγίσεις ή μέ άλλα λόγια μέ κάποιες άνεκτές και μικρές άποχές, άπό τίς προκύπτουσες θεωρητικά έξισώσεις, καθορίζονται οι όριστικές έξισώσεις τής άπώλειας φορτίου, που έχουν μία άπλη και εύχρηστη μορφή για τίς έφαρμογές. . Έκευνο όμως που είναι σημαντικό, είναι ότι μέ τήν όριστική αύτη άπλη μορφή τών έξισώσεων είναι δυνατός ένας άπλούστατος καθορισμός "ύδεατών παροχών" που είναι εφαρμοζόμενες στα διάφορα τμήματα ή θέσεις του δικτύου δίνουν άκριβώς τίς άπώλειες φορτίου που άντιστοιχούν σε κάποια όρισμένη έπιθυμητή ποιότητα λειτουργίας.

Μ'αυτό τόν τρόπο τελικά ἕνα πρόβλημα πού ἔχει καθαρά πιθανοθεωρητικό χαρακτήρα καί ἐξαρτᾶται ἀπό τυχαία φαινόμενα (πού θά ἔπρεπε κάθε φορά νά ἐπιλύεται μέ ἐξομείωση ἢ μέ τήν χρήση τῶν ἐξισώσεων κατανομῆς τῆς ἀπώλειας φορτίου) καθίσταται πρόβλημα μέ αἰτιολοκρατικό χαρακτήρα (deterministic).

Ἔτσι θά εἶναι πολύ εὐκόλο σ'ἕνα δίκτυο νά καθορίζουμε γιά κάθε τμήμα του τῆς "ἰδεατές παροχές" σχεδιασμοῦ καί σέ συνέχεια νά ἐφαρμόζουμε γνωστές μεθοδολογίες ἢ ἀλγόριθμους βελτιστοποιήσεως γιά τόν προσδιορισμό τῶν διαμέτρων.

Καταλήγουμε μ'αυτό τόν τρόπο νά ἀκολουθοῦμε τήν κλασσική διαδικασία ὑπολογισμοῦ διαμέτρων ἑνός δικτύου, πού γνωρίζουμε τῆς παροχές σχεδιασμοῦ του καί φυσικά τά λοιπά στοιχεῖα τῆς χάραξέως του ὅπως ἐπίσης καί τῆς δεσμεύσεις τοῦ προβλήματος. Ἐξυπακούεται βέβαια, ὅτι οἱ παροχές αὐτές εἶναι "ἰδεατές" καί δέν πληροῦν τοῦς νόμους τῆς συνεχείας. Ἐπίσης σημειώνεται ὅτι γιά τά ἐξεταζόμενα θέματα πού ἀποτελοῦν ἀντικείμενο τῆς παρούσας ἐργασίας ἔγινε ἐξαγωγή ἀποτελεσμάτων μέ τήν χρήση τῶν προτεινόμενων προσεγγιστικῶν ἐξισώσεων σέ συγκεκριμένα ἀπλᾶ ἀριθμητικά παραδείγματα. Τά ἀποτελέσματα αὐτά συγκρίθηκαν μέ τά ἀποτελέσματα πού προέκυψαν ἀπό ἐξομείωση τῆς λειτουργίας τῶν γραμμῶν μεταφορᾶς πού πάρθηκαν γιά παραδείγματα στήν ἐφαρμογή τῶν πρὸ πάνω ἐξισώσεων. Ἀποδείχτηκε κατ'αὐτό τόν τρόπο καί στίς περιπτώσεις τῶν παραδειγμάτων ὅτι μέ τῆς προτεινόμενες μεθόδους ὑπολογισμοῦ ἢ προσέγγιση εἶναι πολύ ἱκανοποιητική.

Πέρα ὅμως ἀπό τά πρὸ πάνω τρία βασικά θέματα στά ὅποια ἀναφέρεται ἡ παρούσα ἐργασία καί τά ὅποια ἐρευνηθήκαν κατά βάση, ἐξετάζεται ἐπιπρόσθετα τελειῶς ἀκροθιγῶς τόσο τό θέμα τῶν ὀριακῶν ταχυτήτων σχεδιασμοῦ (Κεφ. 7) ὅσο καί τό θέμα (Κεφ. 2)

τοῦ τρόπου ὑπολογισμοῦ τῶν γραμμικῶν ἀπωλειῶν ὅπου πραγματοποιεῖται μιὰ συνοπτική ἀναφορά γιὰ νά γίνει ὑπενθύμιση τῶν χρησιμοποιούμενων σχέσεων στόν ἀναγνώστη. Ἐπίσης στό κεφάλαιο 8 δίδεται καί μιὰ τελείως συνοπτική ἀναφορά στό θέμα τῆς βελτιστοποιήσεως ἐνός δικτύου, μέ τόν σκοπό νά γίνει μιὰ ἐπιγραμματική ὑπενθύμιση τοῦ μαθηματικοῦ προβλήματος βελτιστοποίησης καί νά καταφανεῖ ἡ δυνατότητα ἐφαρμογῆς γνωστῶν ἀλγορίθμων ἢ μεθόδων βελτιστοποίησης μέ παροχές τῆς "Ἰδεατές" πού προτείνεται στά κεφάλαια 5 καί 6. Στό κεφάλαιο 8 ὅμως δίδονται καί τρία χαρακτηριστικά παραδείγματα βελτιστοποίησης, δηλαδή δύο σέ δύο γραμμές μεταφορᾶς καί ἓνα σ' ἓνα δίκτυο ἀκτινωτό, ἀπό ὅπου προκύπτουν καί σχετικά οἰκονομικά ἀποτελέσματα, τόσο μέ ἐφαρμογή τῶν σωστῶν παροχῶν σχεδιασμοῦ ὅσο καί μέ ἐφαρμογή τῶν παροχῶν πού προτείνονται ἀπό σχετικές ὁδηγίες [18] τοῦ Ὑπουργείου Δημοσίων Ἔργων.

Ἔτσι μέ τήν παρούσα ἐργασία λύνεται μέ πολύ ἀπλό τρόπο ὀριστικά τό πρόβλημα τοῦ ὀρθοῦ ὑπολογισμοῦ τῶν ἀρδευτικῶν δικτύων πού λειτουργοῦν κατά ζήτηση καί ἐξασφαλίζεται ἡ ὁμοιόμορφη ποιότητα λειτουργίας τους, χάρις στίς προτεινόμενες τιμές τῶν "Ἰδεατῶν παροχῶν σχεδιασμοῦ". Ἀποφεύγεται ἐπομένως ἡ ἐφαρμογή αὐθαίρετων ἢ περίπου αὐθαίρετων παροχῶν σχεδιασμοῦ πού ἔχει σάν ἀποτέλεσμα στίς περισσότερες περιπτώσεις νά δημιουργεῖ σοβαρό ὑπερσχεδιασμό.

Σημειώνεται πάντως τό γεγονός ὅτι μέ τήν ἐφαρμογή τῶν "Ἰδεατῶν" παροχῶν δέν ἀπαιτεῖται πλέον νά βρεθεῖ ἓνας νέος ἀλγόριθμος βελτιστοποίησης γιὰ νά δώσει λύση στό πρόβλημα τοῦ βέλτιστου συνδυασμοῦ τῶν διαμέτρων. Ἔτσι μέ τῆς καθοριζόμενες τιμές Ἰδεατῶν παροχῶν σάν παροχῶν σχεδιασμοῦ λύθηκε ὄχι μόνο ἓνα πιθανοθεωρητικό πρόβλημα πού καθίσταται αὐτοκρατικό,

άλλά και ένα πρόβλημα βελτιστοποίησης. Αυτό είναι φανερό γιατί πλέον η βελτιστοποίηση μπορεί να γίνει απλά και εύκολα με τους χρησιμοποιούμενους σήμερα αλγορίθμους, π.χ. της μεθόδου Y. Labye [10,11] εφαρμόζοντας σαν παροχές τις "ίδεατές". Τέλος, σημειώνεται ιδιαίτερα το γεγονός ότι με την εφαρμογή του προτεινόμενου τρόπου υπολογισμού ενός δικτύου και φυσικά με την αποδοχή των προτεινόμενων κριτηρίων σχεδιασμού από τη μία μεριά διατηρείται ομοιόμορφη ποιότητα λειτουργίας και όχι μικρότερη από την επιθυμητή ενώ από την άλλη μεριά αποφεύγεται ο υπερσχεδιασμός των ακτινωτών υπό πίεση δικτύων άρδευσεως που λειτουργούν κατά ζήτηση. Έπίσης όπως είναι φανερό, επειδή οι ایدهατές παροχές σχεδιασμού που προτείνονται για τις εφαρμογές, είναι μικρότερες από τις εφαρμοζόμενες σήμερα στο σχεδιασμό δικτύων τεχνητής βροχής, θα προκύψει μία οικονομία στις δαπάνες κατασκευής των. Η οικονομία αυτή θα ποικίλλει από ένα μικρό ελάχιστο ποσοστό της τάξεως του 15% και θα φθάνει ενδεχόμενα μέχρι και το 50% της δαπάνης που απαιτείται για το σωστό σχεδιασμό ενός δικτύου (ή όποια αντιστοιχεί στις ایدهατές παροχές που προτείνονται εδώ).

Στο κεφάλαιο 8 από τὰ παραδείγματα και τὰ σχετικά συμπεράσματα φαίνονται όρισμένα οικονομικά αποτελέσματα και προκύπτει ότι το άναμφισβήτητο ποσοστό οικονομίας στις δαπάνες σχεδιασμού ποικίλλει ανάλογα με τη μορφή και το μέγεθος του δικτύου, το ανάγλυφο του έδάφους, τη διάταξη των ύδροληψιών, το κόστος των σωλήνων κλπ.

Κατά ένα μέσο όμως στατιστικό όρο μπορεί να εκτιμηθεί ότι, όπως σχεδιάζονται σήμερα τὰ δίκτυα στή χώρα μας δημιουργούνται δαπάνες που είναι άπωσδήποτε μεγαλύτερες σε σύγκριση με τις δαπάνες ενός σωστού σχεδιασμού κατά 20-25% τουλάχιστο

ἢ μὲ ἄλλα λόγια ἐφ' ὅσο τὰ δίκτυα σχεδιασθοῦν σωστά μπορεῖ νὰ ἐπιτυγχάνεται κατὰ μέσον ὄρο μιά οἰκονομία κατ' ἐλάχιστο 20% ἐπί τοῦ κόστους τῶν πραγματοποιηθέντων σήμερα δαπανῶν γιὰ τὴν κατασκευὴ τους.

Τό οἰκονομικό αὐτό ἀποτέλεσμα εἶναι πάρα πολὺ σοβαρό καὶ προσθέτει ἀκόμα ἓνα σημαντικό στοιχεῖο ποὺ πρέπει νὰ λαμβάνεται ὑπόψη στό ὅλο θέμα τῆς ἐφαρμογῆς ἐνός σωστοῦ τρόπου σχεδιασμοῦ τῶν ἀρδευτικῶν δικτύων τεχνητῆς βροχῆς.

2. ΟΙ ΓΡΑΜΜΙΚΕΣ ΑΠΩΛΕΙΕΣ

Η γενικευμένη σχέση Darcy-Weisbach για τον υπολογισμό των απωλειών ενέργειας σε ομοιόμορφη ροή μέσα σε κλειστούς κυκλικούς αγωγούς υπό πίεση (που καλούνται και γραμμικές απώλειες) είναι:

$$h = f \cdot \frac{L}{D} \cdot \frac{v^2}{2g} \quad (5)$$

Για σωλήνες έμπορίου ο συντελεστής τριβών f δίδεται από την ημ εμπειρική σχέση των Colebrook-White

$$\frac{1}{f^{1/2}} = 1,14 - 2 \cdot \log \left(\frac{K_S}{D} + \frac{9,35}{N_R f^{1/2}} \right)$$

όπου N_R ο αριθμός Reynolds και K_S/D ή σχετική τραχύτητα [13].

Η χρήση των παραπάνω εξισώσεων είναι δυσχερής για την επίλυση διαφόρων προβλημάτων των δικτύων διανομής ύδατος. Γιαυτό συνήθως εφαρμόζονται εμπειρικοί τύποι που ή χρησιμοποίησή τους γίνεται δεκτή, αρκεί ο μηχανικός που τους εφαρμόζει να γνωρίζει το πραγματικό πεδίο εφαρμογής τους.

Συνήθως οι τύποι αυτοί παίρνουν την εξής γενική μορφή

$$v = C \cdot R^x \cdot S^y$$

όπου v = μέση ταχύτης

C = συντελεστής απωλειών

R = υδραυλική ακτίνα = $D/4$

S = κλίση γραμμής ενέργειας = $\frac{\Delta h}{L}$

x, y = αριθμητικοί εκθέτες που είναι συνήθως $x = \frac{1}{2}$ έως $\frac{2}{3}$ και $y = 0,50$ έως $0,57$ περίπου

Για μία άλλη υπενθύμιση των τύπων που χρησιμοποιήθηκαν ή

χρησιμοποιούνται πολύ και σήμερα, αναφέρουμε μερικούς από αυτούς, οι οποίοι μάλιστα είναι της πιο πάνω έκθετικής μορφής :

$$v = C \cdot R^x \cdot S^y$$

- Τύπος του Chezy : $v = C \cdot R^{0,50} \cdot S^{0,50}$

όπου ο συντελεστής C είναι :

Κατά Darcy-Weisbach $C = 2 \left(\frac{2g}{f} \right)^{0,5}$

Κατά Kutter $C = \frac{100 R^{0,5}}{m + R^{0,5}} = \frac{100}{1 + m \cdot R^{-0,5}}$

m = συντελεστής που εξαρτιέται από την ποιότητα του ύδατος και κυμαίνεται από 0,25 έως 0,40

Κατά Bazin $C = \frac{87}{1 + \gamma \cdot R^{-0,5}}$

γ = συντελεστής που εξαρτιέται από την ποιότητα των σωλήνων

- Τύπος του Manning $v = \frac{1}{n} \cdot R^{2/3} \cdot S^{0,50}$

n = συντελεστής που εξαρτιέται από την ποιότητα των σωλήνων

- Τύπος του Scimemi

(Γιά άμιαντοσιμεντοσωλήνες) $v = C \cdot R^{0,68} \cdot S^{0,56}$

- Τύπος του Scimemi-Veronese

(Γιά χαλυβδοσωλήνες) $v = C \cdot R^{0,59} \cdot S^{0,55}$

- Τύπος του Hazen-Williams $v = 1,318 \cdot C \cdot R^{0,63} \cdot S^{0,54}$

(Σέ άγγλικές μονάδες)

C = συντελεστής που εξαρτιέται από την ποιότητα και τό ύλικό των σωλήνων.

- Τύπος του Scobey

$$\text{Γιά σωλήνες από σκυρόδεμα} \quad v = C_S \cdot R^{0,625} \cdot S^{0,50}$$

C_S = συντελεστής που εξαρτιέται από τον τρόπο κατασκευής των σωλήνων.

Γιά χαλυβδοσωλήνες

$$v = \frac{1}{K_S} \cdot R^{0,58} \cdot S^{0,526}$$

K_S = συντελεστής που εξαρτιέται από την ποιότητα και τον τρόπο κατασκευής των σωλήνων

- Τύπος του Vibert

Γιά χαλυβδοσωλήνες

$$v = C \cdot D^{0,65} \cdot S^{0,51}$$

Επίσης με βάση πειραματικά δεδομένα έχουν χρησιμοποιηθεί οι εξής σχέσεις για σωλήνες P.V.C. σύμφωνα με τις γαλλικές προδιαγραφές N.F.T. 54016-V.1969.

$$v = C_1 \cdot R^{0,705} \cdot S^{0,568} \quad \text{γιά} \quad 3 \times 10^3 \leq N_R \leq 1,5 \times 10^5$$

$$\eta \quad v = C_2 \cdot R^{0,667} \cdot S^{0,556} \quad \text{γιά} \quad 1,5 \times 10^5 \leq N_R \leq 10^6$$

*Από όλους τους παραπάνω εμπειρικούς τύπους οι πιο εύχρηστοι σε μαθηματικούς μετασχηματισμούς είναι οι τύποι της μορφής:

$$v = C \cdot R^x \cdot S^y$$

όπου όμως C = σταθερός συντελεστής ανεξάρτητος των διαφόρων μεταβλητών παραμέτρων του προβλήματος, ο οποίος εξαρτιέται μόνο από την ποιότητα των σωλήνων.

*Έτσι, αν λάβουμε υπόψη ότι $v = \frac{Q}{\pi \cdot D^{2/4}}$, $R = D/4$ και $S = \Delta h/L$

ή πιο πάνω σχέση παίρνει την εξής μορφή αν επιλύσουμε ως προς την μεταβολή (Δh) του φορτίου.

$$\Delta h = 4^{1/y} \left(\frac{1}{C_0 \cdot \pi} + 4^x \right) \cdot D^{-\frac{(2+x)}{y}} \cdot Q^{1/y} \cdot L$$

όποτε αν θέσουμε $4^{1/y} \left(\frac{1}{C_0 \cdot \pi} + 4^x \right) = C_0$ και τότε $\Delta h = h$

$$\text{θα έχουμε } h = C_0 \cdot D^{-\frac{(2+x)}{y}} \cdot Q^{1/y} \cdot L \quad (7)$$

π.χ. για τον τύπο του Manning ή σχέση (7) για $x = 2/3$ και $y = 1/2$ γίνεται

$$h = C_0 \cdot D^{-16/3} \cdot Q^2 \cdot L \quad (8)$$

όπου $C_0 = 10,3 \cdot n^2$ (n = συντελεστής τραχύτητας)

Γενικά οι τιμές των εκθετών κυμαίνονται στα εξής όρια συνήθως

$$\alpha = \frac{1}{y} = \text{από περίπου } 1,76 \text{ έως } 2,00$$

$$\beta = \frac{2+x}{y} = \text{από περίπου } 4,71 \text{ έως } 16/3 = 5,333$$

Θέτοντας στη σχέση (7)

$$C_0 \cdot D^{-\frac{(2+x)}{y}} = C_0 \cdot D^{-\beta} = K_0 \quad (9)$$

$$K_0 \cdot L = K \quad (10)$$

$$\frac{1}{y} = \alpha \quad (11)$$

$$\text{θα έχουμε τελικά } h = K \cdot Q^\alpha \quad (12)$$

Η σχέση (12) στην περίπτωση εφαρμογής του τύπου του Manning γίνεται

$$h = K \cdot Q^2 \quad (12\alpha)$$

$$\text{όπου } K = K_0 \cdot L = C_0 \cdot D^{-16/3} \cdot L \quad (12\beta)$$

$$\text{και } C_0 = 10,3 \cdot n^2$$

Ἡ σχέση (12) ἂν λάβουμε ὑπόψη τῆ σχέση (2) δηλαδή ὅτι $Q = \mu + \epsilon \sigma$ γίνεται

$$h = K \cdot (\mu + \epsilon \sigma)^\alpha = K \mu^\alpha \left(1 + \frac{\epsilon \sigma}{\mu}\right)^\alpha$$

ὅπου συνήθως $0 < \frac{\epsilon \sigma}{\mu} = \epsilon \cdot C_V < 1$, $C_V = \frac{\sigma}{\mu} =$ συντελεστής μεταβολῆς παροχῶν

Πράγματι ἐπειδὴ συνήθως $C_V \leq 0,45$ καὶ $\epsilon \leq 1,65$ ἰσχύει ἡ πιὸ πάνω ἀνισότητα $\epsilon \cdot C_V < 1$. Ἀλλά ἀκόμη καὶ ὅταν $\epsilon = 2,33$ πού σπά - νια συμβαίνει, καὶ μέ ἓνα ἀκόμη τροφοδοτούμενο κλάδο πού ἐξυ - πηρετεῖ τουλάχιστον 11 στόμια τό $C_V \leq 0,426$ ὁπότε πάλι $\epsilon \cdot C_V < 1$. Δηλαδή γενικά μπορούμε νά δεχθοῦμε ὅτι $\epsilon \cdot C_V < 1$. Στῆ συνέχεια μέ τῆ βοήθεια τοῦ τύπου τοῦ Taylor [15] ἂν ἀναπτύ - ξοῦμε τῆ σχέση $h = K \mu^\alpha \left(1 + \frac{\epsilon \sigma}{\mu}\right)^\alpha = K \mu^\alpha (1 + \epsilon C_V)^\alpha$ ἔχοῦμε, λαμβάνον - τας τούς τρεῖς πρώτους ὄρους πού δύνουν ἱκανοποιητικὴ προσέγ - γιση, ὅτι

$$h = K \mu^\alpha + \left[1 + \alpha \left(\frac{\epsilon \sigma}{\mu}\right) + \frac{\alpha(\alpha-1)}{2} \left(\frac{\epsilon \cdot \sigma}{\mu}\right)^2 \right] = K \left[\mu^\alpha + \alpha \mu^{\alpha-1} (\epsilon \sigma) + \frac{\alpha(\alpha-1)}{2} \mu^{\alpha-2} (\epsilon \sigma)^2 \right] \quad (13)$$

ἢ ἐπειδὴ $\frac{\sigma}{\mu} = C_V$

$$h = K \mu^\alpha \left[1 + \alpha \cdot \epsilon \cdot C_V + \frac{\alpha(\alpha-1)}{2} \cdot \epsilon^2 \cdot C_V^2 \right] \quad (13a)$$

Γιὰ $\alpha = 2,00$ (π.χ. τύπος τοῦ Manninig) αἱ σχέσεις (13) καὶ (13a) γίνονται:

$$h = K (\mu^2 + 2\epsilon \mu \sigma + \epsilon^2 \sigma^2) = K \mu^2 (1 + 2\epsilon C_V + \epsilon^2 C_V^2) \quad (14)$$

Μέ τὶς σχέσεις (13) ἢ (14) ἔχοῦμε ἐκφράσει τὶς ἀπώλειες φορτίου (γραμμικὲς ἀπώλειες) σ' ἓνα τμῆμα τοῦ δικτύου πού βρῖ - σκεται μεταξύ δύο κόμβων, κατὰ τρόπο πού καθορίζεται ἀπό ἓνα πιθανοθεωρητικὸ σχῆμα ζητήσεως καὶ μάλιστα ὑποθέτοντας εἰδι - κότερα ὅτι ἡ κατάντη ζήτηση ἀκολουθεῖ τὴν κανονικὴ κατανομῆ .

Έτσι από κάθε εξεταζόμενο τμήμα ή κλάδο ενός άγωγού μεταφοράς θά πρέπει νά εξυπηρετεῖται τουλάχιστο ἕνας άγωγός τελευταίας τάξεως, πού θά ἔχει ἐπίσης τουλάχιστο 10 στόμια ύδροληψίας, ὥστε ἡ παροχή στήν κεφαλή του νά ἀκολουθεῖ τήν κανονική κατανομή.

Παρατηροῦμε τέλος, ὅτι οἱ διάφορες τοπικές ἀπώλειες δέν ἐξετάζονται ἰδιαίτερα, ἀλλά γενικά συμπεριλαμβάνονται μέσα στίς γραμμικές. Γι' αὐτό ἂν ὑπάρχει ἀνάγκη γίνεται προσαύξηση τῶν γραμμικῶν, π.χ. μέ ποσοστιαία προσαύξηση τοῦ συντελεστοῦ C_0 τῆς σχέσεως (7). Αὐτό διευκολύνει ἰδιαίτερα τήν μαθηματική καί ὑπολογιστική ἐπεξεργασία τῶν σχετικῶν προβλημάτων καί δέν δημιουργεῖ κανένα θέμα στά προκύπτοντα ἀποτελέσματα, πολύ μάλιστα περισσότερο πού οἱ τοπικές ἀπώλειες εἶναι συνήθως πολύ μικρές σέ σχέση μέ τίς γραμμικές.

3. ΟΙ ΠΑΡΑΜΕΤΡΟΙ ΤΗΣ ΚΑΤΑΝΟΜΗΣ ΑΠΩΛΕΙΑΣ ΦΟΡΤΙΟΥ

Για τή μελέτη τής κατανομής τής όλικης απώλειας φορτίου σέ μιιά γραμμή μεταφορᾶς, ὅπως ὀνομάσαμε τή γραμμή πού συνδέει ἕνα σημεῖο τροφοδοσίας καί ἕνα ἀπώτατο σημεῖο ὑδροληψίας, ἔχουμε διατυπώσει τίς σχέσεις (13), (13α) καί (14), γιά τό τιμήμα ἢ τόν κλάδο i τής γραμμής.

Ἔτσι ἡ ὀλική απώλεια θά εἶναι γιά ὅλη τή γραμμή:

$$h = \sum h_i = \sum K_i \mu_i^\alpha \left[1 + \alpha \epsilon_i c_{vi} + \frac{\alpha(\alpha-1)}{2} \epsilon_i^2 c_{vi}^2 \right] \quad (15)$$

Ἡ συνάρτηση (15) καθορίζει τήν κατανομή πιθανότητας τής τυχαίας μεταβλητῆς h ὅπου

$$h = m + u \cdot S \quad (16)$$

m = μέση τιμή απώλειας φορτίου

S = τυπική απόκλιση απώλειας φορτίου

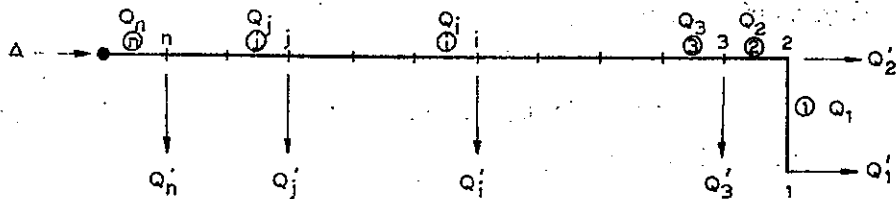
$u = \frac{h-m}{S}$ = τυποποιημένη τιμή τής απώλειας φορτίου

Τά K, μ, c_v , ε καί α καθορίστηκαν στά προηγούμενα κεφάλαια Ἔτσι, ἄν $u(\varphi)$ εἶναι ἡ τιμή τής u γιά στάθμη πιθανότητας φ τότε ὁ ἄγωγός τελευταίας τάξεως, τόν ὁποῖο περιλαμβάνει ἡ ἔξεταζόμενη γραμμή μεταφορᾶς, θά χαρακτηρίζεται ἀπό ποιότητα λειτουργίας φ ἄν τό ὑψόμετρο τής πλεζομετρικῆς γραμμής (ἢ κατά προσέγγιση τό ὑψόμετρο τής γραμμής ἐνεργείας) εἶναι στήν κερφαλή Δ (σχ. 3.1) ἕσο πρός:

$$H_{\Delta} = m + u(\varphi) \cdot S + H_0 \quad (17)$$

ὅπου H_0 εἶναι τό ἀπαιτούμενο ὑψόμετρο τής πλεζομετρικῆς γραμμής σέ ἀπώτατο ἐξυπηρετούμενο σημεῖο.

Γιά τήν διεξαγωγή τῶν παραπέρα μαθηματικῶν μετασχηματισμῶν δίδουμε στό σχ. 3.1 τήν εἰκόνα μιᾶς γραμμῆς μεταφορᾶς.



Σχ. 3.1

Ἡ γραμμή αὐτή ἀποτελεῖται ἀπό h κλάδους ἢ τμημάτων καί ὁ κλάδος (1) εἶναι ὁ ἀγωγός (ἢ κλάδος) τελευταίας τάξεως πού ἔχει στήν κεφαλή παροχή $Q_1 = Q'_1$ ἢ ὁποῦα ἀκολουθεῖ τήν κανονική κατανομή.

Ἀντίστοιχες παροχές μέ κανονική κατανομή ζητιένται στοὺς κόμβους $2, 3, \dots, i, \dots, j, \dots, n$ γιά τήν ἐξυπηρέτηση ἀγωγῶν ἢ κλάδων τελευταίας ἢ μεγαλύτερας τάξεως.

Ἀπό τήν σχέση (15) μπορούμε νά βροῦμε τή μέση τιμή τῆς τυχαίας μεταβλητῆς h , ὅποτε θά ἔχουμε:

$$m = E(h) = \sum K_i \mu_i^\alpha \left[1 + \alpha C_{vi} \cdot E(\epsilon_i) + \frac{\alpha(\alpha-1)}{2} C_{vi}^2 \cdot E(\epsilon_i^2) \right] \quad (18)$$

καί ἐπειδὴ $E(\epsilon_i) = 0$, $E(\epsilon_i^2) = 1$ βρίσκουμε

$$m = \sum K_i \mu_i^\alpha \left[1 + \frac{\alpha(\alpha-1)}{2} C_{vi}^2 \right] \quad (19)$$

$$\text{ἢ} \quad m = \sum K_i \left[\mu_i^\alpha + \frac{\alpha(\alpha-1)}{2} \mu_i^{\alpha-2} \cdot \sigma_i^2 \right] \quad (19\alpha)$$

Γιά τήν διακύμανση τῆς ἀπώλειας φορτίου ἔχουμε

$$\text{Var. } h = S^2 \quad \text{ὅπου } h = \sum h_i$$

$$\theta\acute{\alpha} \ \epsilon\acute{\lambda}\nu\epsilon\iota \quad \text{Var.}h = \sum \text{Var.}h_i + 2\sum \text{Cov}(h_i, h_j) \quad (20)$$

$$j > i$$

ὅπου $\text{Cov.}(h_i, h_j)$ = συνδιακύμανση τῶν h_i, h_j

"Αν καλέσουμε $\frac{\alpha(\alpha-1)}{2} = \gamma$ ἡ σχέση(20) γίνεται

$$\begin{aligned} \text{Var.}h = S^2 = & \sum K_i^2 \mu_i^2 \alpha^2 C_{vi}^2 \cdot \text{Var.}(\epsilon_i) + \\ & + \sum K_i^2 \mu_i^2 \gamma^2 \cdot C_{vi}^2 \cdot \text{Var.}(\epsilon_i^2) + \\ & + 2\sum \text{Cov.}(h_i, h_j) \end{aligned} \quad (21)$$

Ἄλλά:

$$2\sum \text{Cov}(h_i, h_j) = 2 \sum_{j > i} \text{Cov} \left[\left[K_i \mu_i^\alpha (1 + \alpha \epsilon_i \cdot C_{vi} + \gamma \epsilon_i^2 C_{vi}^2) \right], \left[K_j \mu_j^\alpha (1 + \alpha \epsilon_j \cdot C_{vj} + \gamma \epsilon_j^2 C_{vj}^2) \right] \right] \quad (22)$$

ἢ ἂν λάβουμε ὑπόψη ὅτι μποροῦμε νά θέσουμε

$$Q_j = Q_i + Q_\rho$$

ὅπου Q_ρ ἡ παροχή πού συμβάλλει μεταξύ τῶν σημείων i καί j (σχ. 3.1) καί ἡ ὁποία ἀκολουθεῖ τήν κανονική κατανομή. Προκύπτει τότε ὅτι: $\mu_j + \epsilon_j \sigma_j = (\mu_i + \epsilon_i \sigma_i) + (\mu_\rho + \epsilon_\rho \cdot \sigma_\rho)$

Ἐπειδή ὁμως $\mu_j = \mu_i + \mu_\rho$ προκύπτει τελικά ὅτι

$$\epsilon_j = \epsilon_i \left(\frac{\sigma_i}{\sigma_j} \right) + \epsilon_\rho \left(\frac{\sigma_\rho}{\sigma_j} \right) \quad (23)$$

ὅποτε ἡ σχέση (22) μέ ἀντικατάσταση τοῦ ϵ ἀπό τήν (23) θά γίνε-
ναι:

$$2 \text{ Cov.}(h_i, h_j) = 2 \sum_{j>i} \text{Cov} \left\{ \left[K_i \mu_i^\alpha (1 + \alpha \epsilon_i C_{vi} + \gamma \epsilon_i^2 C_{vi}^2) \right], \right. \\ \left. \left[K_j \mu_j^\alpha (1 + \alpha C_{vj} (\epsilon_i \frac{\sigma_i}{\sigma_j} + \epsilon_\rho \frac{\sigma_\rho}{\sigma_j}) + \right. \right. \\ \left. \left. + \gamma C_{vj}^2 (\epsilon_i^2 (\frac{\sigma_i}{\sigma_j})^2 + \epsilon_\rho^2 (\frac{\sigma_\rho}{\sigma_j})^2 + 2 \epsilon_i \epsilon_\rho \frac{\sigma_i \sigma_\rho}{\sigma_j^2}) \right] \right\} \quad (24)$$

Παρατηρούμε ότι τα ϵ_i , ϵ_ρ είναι ανεξάρτητες μεταβλητές και επομένως όλες οι συνδιακυμάνσεις τους θα είναι μηδενικές. Οι υπόλοιπες μορφές συνδιακυμάνσεων θα είναι:

$$\text{Cov}(\epsilon_i, \epsilon_i^2), \text{Cov}(\epsilon_i, \epsilon_i \epsilon_\rho), \text{Cov}(\epsilon_i^2, \epsilon_i)$$

$$\text{Cov}(\epsilon_i^2, \epsilon_i^2), \text{Cov}(\epsilon_i^2, \epsilon_i \epsilon_\rho), \text{Cov}(\epsilon_i, \epsilon_i^2)$$

Στή συνέχεια αν λάβουμε υπόψη ότι για δύο όποιοσδήποτε τυχαίες μεταβλητές x και y ισχύει η σχέση.

$$\text{Cov}(x, y) = E(xy) - E(x) \cdot E(y) \quad (25)$$

$$\text{Τότε } \text{Cov.}(\epsilon_i, \epsilon_i^2) = E(\epsilon_i^3) - E(\epsilon_i)E(\epsilon_i^2) = 0$$

$$\text{Cov.}(\epsilon_i^2, \epsilon_i) = E(\epsilon_i^3) - E(\epsilon_i^2)E(\epsilon_i) = 0$$

$$\begin{aligned} \text{Cov.}(\epsilon_i, \epsilon_i \cdot \epsilon_\rho) &= E(\epsilon_i^2 \cdot \epsilon_\rho) - E(\epsilon_i) \cdot E(\epsilon_i \cdot \epsilon_\rho) = \\ &= E(\epsilon_i^2) \cdot E(\epsilon_\rho) - E(\epsilon_i)E(\epsilon_i \cdot \epsilon_\rho) = 0 \end{aligned}$$

$$\begin{aligned} \text{Cov.}(\epsilon_i^2, \epsilon_i \cdot \epsilon_\rho) &= E(\epsilon_i^3 \cdot \epsilon_\rho) - E(\epsilon_i^2) \cdot E(\epsilon_i \cdot \epsilon_\rho) = \\ &= E(\epsilon_i^3)E(\epsilon_\rho) - E(\epsilon_i^2)E(\epsilon_i)E(\epsilon_\rho) = 0 \end{aligned}$$

Επομένως η σχέση (24) γίνεται αφού λάβουμε υπόψη τις παραπάνω τιμές των συνδυαζομένων που προέκυψαν με εφαρμογή της σχέσης (25) και επί πλέον ότι $\text{Cov.}(\epsilon_i, \epsilon_i) = \text{Cov.}(\epsilon_i^2, \epsilon_i^2) = 1$

$$\begin{aligned} 2\sum \text{Cov.}(h_i, h_j) = & 2 \left[\sum_{j>i} K_i K_j \mu_i^\alpha \mu_j^\alpha \cdot C_{vi} \cdot C_{vj} \cdot \alpha^2 \frac{\sigma_i}{\sigma_j} + \right. \\ & \left. + \sum_{j>i} K_i K_j \mu_i^\alpha \mu_j^\alpha \cdot \gamma^2 C_{vi} \cdot C_{vj} \left(\frac{\sigma_i}{\sigma_j} \right)^2 \right] \end{aligned} \quad (26)$$

Τελικά η σχέση (21) γίνεται αν λάβουμε υπόψη ότι

$$\text{Var.}(\epsilon_i) = 1 \quad \text{καί} \quad \text{Var.}(\epsilon_i^2) = 2$$

$$\begin{aligned} S = & \left[\sum K_i \mu_i^{2\alpha} C_{vi}^2 (\alpha^2 + 2\gamma^2 C_{vi}^2) + 2 \sum_{j>i} K_i K_j \mu_i^\alpha \mu_j^\alpha C_{vi} C_{vj} \left(\frac{\sigma_i}{\sigma_j} \right) \right. \\ & \left. \cdot \left[\alpha^2 + \gamma^2 C_{vi}^2 \left(\frac{\sigma_i}{\sigma_j} \right)^2 \right] \right]^{1/2} \end{aligned} \quad (27)$$

Η σχέση (27) στην περίπτωση που $\alpha=2,00$ όποτε αντίστοιχα $\gamma=1,00$ γίνεται:

$$S = 2 \left[\sum (K_i \mu_i \sigma_i)^2 + 2 \sum_{j>i} K_i K_j \mu_i \mu_j \sigma_i^2 + \frac{1}{2} \sum_{j>i} (K_i^2 \sigma_i^4 + K_i K_j \sigma_i^4) \right]^{1/2} \quad (28)$$

Επίσης η σχέση (27) αν λάβουμε υπόψη ότι $C_v = \frac{\sigma}{\mu}$ μπορεί να λάβει και την εξής μορφή:

$$\begin{aligned} S = & \alpha \left[\sum (K_i \mu_i^{\alpha-1} \sigma_i)^2 + 2 \sum_{j>i} (K_i K_j \mu_i^{\alpha-1} \mu_j^{\alpha-1} \sigma_i^2) + \right. \\ & \left. + 2 \left(\frac{\gamma}{\alpha} \right)^2 \left(\sum K_i \mu_i^{2(\alpha-2)} \cdot \sigma_i^4 + \sum_{j>i} K_i K_j \mu_i^{\alpha-2} \mu_j^{\alpha-2} \cdot \sigma_i^4 \right) \right]^{1/2} \end{aligned} \quad (29)$$

Επειδή όμως ο συντελεστής μεταβολής των παροχών είναι

$$C_v = \left[\frac{1-P}{R \cdot P} \right]^{1/2}$$

όποτε για μία λογικά περίπου κατώτερη τιμή $P = \frac{1}{3}$ και $R = 10$ στό-
μα προκύπτει $\max C_v = 0,45$ ή $\mu_i \geq \frac{1}{0,45} \cdot \sigma_i$ ή $\mu_i \geq 2,222\sigma_i$ ή $\mu_i^2 \geq 5\sigma_i^2$
περίπου.

Στήν περίπτωση που $\alpha = 2,0$ δηλαδή για απόκλιση S που αντιστοι-
χεύει στη σχέση (28) προκύπτει από τις πιο πάνω σχέσεις:

$$\mu_i^2 \sigma_i^2 \geq 5\sigma_i^4$$

$$\text{ή } \mu_i \mu_j \sigma_i^2 \geq 5\sigma_i^3 \sigma_j > 5\sigma_i^4 (\sigma_j > \sigma_i)$$

$$\text{όποτε } \Sigma (K_i \mu_i \sigma_i)^2 > 10 \left(\frac{1}{2} \Sigma K_i^2 \sigma_i^4 \right)$$

$$\text{και } 2 \Sigma_{j>i} K_i K_j \mu_i \mu_j \sigma_i^2 > 20 \left(\frac{1}{2} \Sigma_{j>i} K_i K_j \sigma_i^4 \right)$$

Προσθέτοντας τις δύο τελευταίες σχέσεις έχουμε:

$$\Sigma (K_i \mu_i \sigma_i)^2 + 2 \Sigma_{j>i} K_i K_j \mu_i \mu_j \sigma_i^2 > 10 \left[\frac{1}{2} (\Sigma K_i^2 \sigma_i^4 + \Sigma_{j>i} K_i K_j \sigma_i^4) \right] +$$

$$+ 10 \left(\frac{1}{2} \Sigma_{j>i} K_i K_j \sigma_i^4 \right) \quad (31)$$

Επειδή όμως μπορούμε με ικανοποιητική προσέγγιση να δε-
χτούμε την αντικατάσταση του όρου $\frac{1}{2} (\Sigma K_i^2 \sigma_i^4)$ με τον όρο

$$\frac{1}{2} (\Sigma K_i K_j \sigma_i^4) \text{ } \text{όποτε } 10 \left(\frac{1}{2} \Sigma_{j>i} K_i K_j \sigma_i^4 \right) \approx 5 \left[\frac{1}{2} (\Sigma_{j>i} K_i K_j \sigma_i^4 + \Sigma K_i K_j \sigma_i^4) \right]$$

θα έχουμε:

$$A = \left[\sum (K_i \mu_i \sigma_i)^2 + 2 \sum_{j>i} K_i K_j \mu_i \mu_j \sigma_i^2 \right] > 15 \left[\frac{1}{2} (\sum K_i^2 \sigma_i^4 + \sum_{j>i} K_i K_j \sigma_i^4) \right] = \dots$$

$$= 15.B \quad (32)$$

όπου Α και Β ονομάσαμε τις ποσότητες μέσα στις άγκυλες αντί - στοιχα του πρώτου και του δευτέρου μέλους της πιο πάνω ανισό- τητας (32).

"Αρα προκύπτει από την σχέση (32) ότι $B < \frac{1}{15} \cdot A$ ή

$$A > \frac{15}{16} (A+B) = 0,9375(A+B) \text{ ή τέλος } \left(\frac{A}{A+B} \right)^{1/2} > 0,9682$$

Παραλείποντας έπομένως τον όρο Β έχουμε μιιά μείωση της τιμής της απόκλισης S πού είναι πάντοτε μικρότερη από 3,18%..

Στήν πραγματικότητα όμως ή παράλειψη αυτή των δύο όρων $B = \frac{1}{2} \left[\sum K_i^2 \sigma_i^4 + \sum_{j>i} K_i K_j \sigma_i^4 \right]$ σπάνια μειώνει την απόκλιση περισσό - τερο από 1%. Σχετικά παραπέμπουμε και στό παράδειγμα 5.2 όπου μέ την παράλειψη του όρου Β μειώνεται μόνο κατά 0,80/οο ή τι - μή του S.

"Έτσι καταλήγουμε στή τελική μορφή της σχέσεως πού δί - δει την απόκλιση της απώλειας φορτίου στή σχέση (28) δηλαδή

$$S = \left[\sum (K_i \mu_i^{\alpha-1} \sigma_i)^2 + 2 \sum_{j>i} K_i K_j \mu_i^{\alpha-1} \mu_j^{\alpha-1} \sigma_i^2 \right]^{1/2} \quad (33)$$

Στή συνέχεια μέ ένα όμοιο τρόπο, δεχόμενοι και μερικές προσ - εγγύσεις, μπορούμε και στή γενική σχέση (29) νά παραλείψουμε τους δύο αντίστοιχους όρους σάν άμελητέους κι'έτσι ή έκφραση της απόκλισης S νά πάρει τή μορφή:

$$S = \alpha \left[\sum (K_i \mu_i^{\alpha-1} \sigma_i)^2 + 2 \sum_{j>i} K_i K_j \mu_i^{\alpha-1} \mu_j^{\alpha-1} \sigma_i^2 \right]^{1/2} \quad (34)$$

Πράγματι έχουμε:

$$\left(\frac{\sigma}{\mu}\right)^2 \leq (0,45)^2 = 0,2025$$

$$\eta^2 K^2 \mu^{2(\alpha-1)} \cdot \mu^{-2} \cdot \sigma^4 \leq (0,2025) K^2 \mu^{2(\alpha-1)} \sigma^2$$

και αν λαβουμε υποψη οτι

$$\left(\frac{\gamma}{\alpha}\right)^2 = \left[\frac{\alpha(\alpha-1)}{2 \cdot \alpha}\right]^2 = \left(\frac{\alpha-1}{2}\right)^2 \text{ οπου συνήθως } 1,76 \leq \alpha \leq 2,0$$

η $0,144 \leq \left(\frac{\gamma}{\alpha}\right)^2 \leq 0,25$ οποτε προκυπτει

$$K^2 \mu^{2(\alpha-1)} \cdot \sigma^2 \geq \left(\frac{1}{0,0506}\right) \left[\left(\frac{\gamma}{\alpha}\right)^2 K^2 \mu^{2(\alpha-2)} \cdot \sigma^4\right]$$

$$\text{Δηλαδή } \Sigma K_i^2 \mu_i^{2(\alpha-1)} \cdot \sigma_i^2 \geq (19,75) \left[\left(\frac{\gamma}{\alpha}\right)^2 \Sigma K_i^2 \mu_i^{2(\alpha-2)} \sigma_i^4\right] \quad (34)$$

Ομοια από τη σχέση $\frac{\sigma_i^2}{\mu_i \mu_j} < \frac{\sigma_i \sigma_j}{\mu_i \mu_j} \leq (0,45)^2 = 0,2025$

που γράφεται και ως $\mu_i^{-1} \mu_j^{-1} \sigma_i^2 < 0,2025$

θα έχουμε:

$$K_i K_j \mu_i^{\alpha-2} \mu_j^{\alpha-2} \cdot \sigma_i^4 < (0,2025) \cdot K_i K_j \mu_i^{\alpha-1} \mu_j^{\alpha-1} \cdot \sigma_i^2$$

και επειδη $\left(\frac{\gamma}{\alpha}\right)^2 \leq 0,25$

$$\text{και } \left(\frac{\gamma}{\alpha}\right)^2 K_i K_j \mu_i^{\alpha-2} \mu_j^{\alpha-2} \sigma_i^4 < (0,0506) \cdot K_i K_j \mu_i^{\alpha-1} \mu_j^{\alpha-1} \sigma_i^2$$

$$\text{θα είναι } \sum_{j>i} K_i K_j \mu_i^{\alpha-1} \mu_j^{\alpha-1} \sigma_i^2 > (19,75) \left(\frac{\gamma}{\alpha}\right)^2 \sum_{j>i} K_i K_j \mu_i^{\alpha-2} \mu_j^{\alpha-2} \sigma_i^4 \quad (34\beta)$$

Από τις σχέσεις (34α) και (34β) προκύπτει οτι:

$$A = \Sigma (K_i \mu_i^{\alpha-1} \sigma_i)^2 + 2 \sum_{j>i} K_i K_j \mu_i^{\alpha-1} \mu_j^{\alpha-1} \sigma_i^2 > (9,875) \cdot \left[2 \left(\frac{\gamma}{\alpha}\right)^2\right]$$

$$\left[\Sigma K_i^2 \mu_i^{2(\alpha-2)} \sigma_i^4 + 2 \sum_{j>i} K_i K_j \mu_i^{\alpha-2} \mu_j^{\alpha-2} \sigma_i^4\right] = (1,5) : (9,875) \cdot B =$$

$$= 14,81 \cdot B$$

$$\delta\text{που } B = 2\left(\frac{Y}{\alpha}\right)^2 \cdot \left[\sum K_i^2 \mu_i^{2(\alpha-2)} \sigma_i^4 + \sum_{j>i} K_i K_j \mu_i^{\alpha-2} \mu_j^{\alpha-2} \sigma_i^4 \right] \text{ και}$$

$$\delta\text{εχθήκαμε ότι } \sum_{j>i} K_i K_j \mu_i^{\alpha-2} \mu_j^{\alpha-2} \approx \sum K_i \mu_i^{2(\alpha-2)} \sigma_i^4$$

"Έτσι από την ανισότητα $A > 14,81 B$ προκύπτει $A > 0,937(A+B)$

$$\text{ή } \left(\frac{A}{A+B}\right)^{1/2} > 0,968$$

Αυτό σημαίνει ότι η παράλειψη του όρου B μειώνει την τιμή της απόκλισης της απώλειας φορτίου, κατά ποσοστό που είναι μικρότερο από 3,20%. Στην πραγματικότητα βέβαια έπειδή το αποτέλεσμα έχει προκύψει με δυσμενείς παραδοχές είναι πολύ μικρότερο, π.χ. εκτιμάμε ότι είναι πάντοτε μικρότερο του 1%.

"Έτσι η εξίσωση (17) που εκφράζει την απώλεια φορτίου κατά μήκος μιας γραμμής μεταφοράς γίνεται σε συνδυασμό με τις (28), (29) και τις (33)(34).

$$H_{\Delta} = \sum K_i (\mu_i^{\alpha} + \frac{\alpha(\alpha-1)}{2} \mu_i^{\alpha-2} \cdot \sigma_i^2) + \alpha \cdot u(\varphi) \left[\sum (K_i \mu_i^{\alpha-1} \sigma_i)^2 + 2 \sum_{j>i} K_i K_j \mu_i^{\alpha-1} \mu_j^{\alpha-1} \sigma_i^2 \right]^{1/2} + H_0 \quad (35)$$

όπου $\alpha = 1,76$ έως 2,00

Για $\alpha=2,00$ η σχέση (35) γίνεται

$$H_{\Delta} = K_i (\mu_i^2 + \sigma_i^2) + 2 \cdot u(\varphi) \left[\sum (K_i \mu_i \sigma_i)^2 + 2 \sum_{j>i} K_i K_j \mu_i \mu_j \sigma_i^2 \right]^{1/2} + H_0 \quad (36)$$

Στις πιο πάνω σχέσεις $u(\varphi)$ = η τιμή της μεταβλητής u της σχέσης (16) για στάθμη πιθανότητας φ .

Στη συνέχεια παρατηρούμε ότι η απόκλιση

$$S = \alpha \left[\Sigma (K_i \mu_i^{\alpha-1} \sigma_i)^2 + 2 \Sigma_{j>i} K_i K_j \mu_i^{\alpha-1} \mu_j^{\alpha-1} \sigma_i^2 \right]^{1/2} <$$

$$< \alpha \cdot \left[(\Sigma K_i \mu_i^{\alpha-1} \sigma_i)^2 \right]^{1/2} = \alpha \cdot (\Sigma K_i \mu_i^{\alpha-1} \sigma_i) \quad (37)$$

καί τοῦτο γιὰτί

$$(\Sigma K_i \mu_i^{\alpha-1} \sigma_i)^2 = \Sigma (K_i \mu_i^{\alpha-1} \sigma_i)^2 + 2 \Sigma_{j>i} K_i K_j \mu_i^{\alpha-1} \mu_j^{\alpha-1} \sigma_i \sigma_j >$$

$$> \Sigma (K_i \mu_i^{\alpha-1} \sigma_i)^2 + 2 \Sigma_{j>i} K_i K_j \mu_i^{\alpha-1} \mu_j^{\alpha-1} \sigma_i^2 (=S^2)$$

τό ὁποῖο ἰσχύει γιὰτί πάντοτε $\sigma_j > \sigma_i$

$$^{\text{''}}\text{Αρα ἂν ὀνομάσουμε σάν } S' = \alpha \cdot \Sigma (K_i \mu_i^{\alpha-1} \sigma_i) \quad (38)$$

ὁπότε θά εἶναι πάντοτε $S' > S$ καί θέσουμε

$$u(\varphi) \cdot S = u'(\varphi) \cdot S' \quad (39)$$

θά ἔχουμε τήν τελική ἔκφραση τῶν ἐξισώσεων (35) καί (36)

$$H_{\Delta} = \Sigma K_i (\mu_i^{\alpha} + \frac{\alpha(\alpha-1)}{2} \mu_i^{\alpha-2} \sigma_i^2) + u'(\varphi) \cdot \alpha (\Sigma K_i \mu_i^{\alpha-1} \sigma_i) + H_0 \quad (40)$$

καί γιά $\alpha=2,00$

$$H_{\Delta} = \Sigma K_i (\mu_i^2 + \sigma_i^2) + 2 \cdot u'(\varphi) \cdot (\Sigma K_i \mu_i \sigma_i) + H_0 \quad (41)$$

Δηλαδή ἡ σχέση (17) παίρνει τή μορφή $H_{\Delta} = m + u'(\varphi) \cdot S' + H_0$

Οἱ ἐξισώσεις (40) καί (41) ὅπως θά δοῦμε στό κεφάλαιο 6 εἶναι πολύ ἐνδιαφέρουσες, ἀρκεῖ νά καθορίσουμε μιὰ σχέση τῶν S καί S' πού θά μπορεῖ νά μᾶς δώσει τελικά τήν κατανομή τῆς $u'(\varphi)$ ἡ ὁποία εἶναι $u'(\varphi) = u(\varphi) \cdot \frac{S}{S'}$, $u'(\varphi) < u(\varphi)$

Πράγματι ἐφόσον ἐπιτύχουμε αὐτό θά ἔχουμε ἐκφράσει τήν ἀ-
πώλεια φορτίου μ' ἕναν πολύ ἀπλό τρόπο τῆς μορφῆς

$$h = \Sigma K_i Q_i^{\alpha} \quad (43)$$

όπου ή $Q_i = Q_i(\mu_i, \sigma_i)$ θά είναι μιιά "ίδεατή παροχή" γιά κάθε τμήμα (i) όπολουδήποτε άγωγού του δικτύου πού όταν έφαρμοστέσέ όλα τά τμήματα $i=1,2,\dots,n$ μιās γραμμής μεταφορās θά έπαληθεύει τίς έξιλώσεις (40) ή (41) και κατά συνέπεια τίς (35) και (36).

"Έτσι μ' αυτό τόν άπλό τρόπο θά έπιλύεται γρήγορα τό πρόβλημα του καθορισμού των παροχών σχεδιασμού και σέ συνέχεια τό πρόβλημα του όρθου καθορισμού των διαμέτρων του δικτύου, ώστε νά άποφεύγεται ό πραγματοποιούμενος σήμερα άρκετά αυθαίρετος καθορισμός των παροχών σχεδιασμού και ό ύπερσχεδιασμός του δικτύου. Σημειώνεται τέλος, ότι μ' αυτό τόν τρόπο θά μπορούμε, όπως άναφέραμε και στην είσαγωγή, νά μετατρέπουμε τό πιθανοθεωρητικό πρόβλημα σ' ένα κλασσικό "ντετερμινισμό" γιά τόν καθορισμό των διαμέτρων του δικτύου γνωρίζοντας τίς παροχές οι όποτες έδω θά είναι "ίδεατές" και φυσικά όχι πραγματικές.

4. Η ΚΑΤΑΝΟΜΗ ΤΗΣ ΠΙΘΑΝΟΤΗΤΑΣ ΑΠΩΛΕΙΑΣ ΦΟΡΤΙΟΥ

Η απώλεια φορτίου εκφράστηκε από τη σχέση (15) δηλαδή

$$h = \sum K_i \mu_i^\alpha \left[1 + \alpha \varepsilon_i C_{vi} + \gamma \cdot \varepsilon_i^2 C_{vi}^2 \right]$$

$$\text{όπου } \gamma = \frac{\alpha(\alpha-1)}{2}$$

$$\alpha = 1,76 \text{ περίπου έως } 2,00$$

$C_{vi} = \sigma_i / \mu_i$ = συντελεστής μεταβολής των παροχών

ε_i = τυποποιημένη κανονική κατανομή (0,1)

Αν λάβουμε υπόψη (σχ. 3.1) ότι η παροχή στον κλάδο n θα είναι $Q_n = Q'_n + Q'_{n-1} + \dots + Q'_j + \dots + Q'_i + \dots + Q'_2 + Q'_1$ (44)

μέ την βοήθεια των σχέσεων

$$Q'_i = \mu'_i + \varepsilon'_i \sigma'_i$$

$$\mu'_i = \mu'_{(i-1)} + \mu'_{(i-2)} + \dots + \mu'_2 + \mu'_1$$

μπορούμε να πάρουμε μία έκφραση της ε_n , που αντιστοιχεί στο τμήμα n, σαν συνάρτηση όλων των $\varepsilon'_i(0,1)$ που αντιστοιχούν στα κατάντη του n τμήματα ή κλάδους και που συμβάλλουν στη θεωρούμενη γραμμή μεταφοράς. Οι τυχαίες αυτές μεταβλητές ε'_i είναι φανερά ανεξάρτητες.

$$\text{Έχουμε λοιπόν } \varepsilon_n = \frac{\sigma'_1}{\sigma_n} \varepsilon'_1 + \dots + \frac{\sigma'_n}{\sigma_n} \varepsilon'_n \quad (45)$$

$$\text{είναι δε } \sigma_n^2 = (\sigma_1'^2 + \dots + \sigma_n'^2)^{1/2}$$

$$\text{ή } \sigma_n^2 = \sigma_1'^2 + \dots + \sigma_n'^2$$

Καταλήγουμε έτσι με σχετικές αντικαταστάσεις από τις σχέσεις (45) στη σχέση (15) και με κατάλληλους σχετικούς στοιχειώδεις μετασχηματισμούς να πάρουμε τη σχέση:

$$h = \sum_{i=1}^n K_i \mu_i^\alpha + \alpha \sum_{i=1}^n \alpha_i (\epsilon_i') + \sum_{i=1}^n \beta_i (\epsilon_i')^2 + 2 \sum_{j>i} \gamma_i \epsilon_i' \epsilon_j' \quad (46)$$

όπου $\alpha_i = \sigma_i \left[\frac{K_i \mu_i^{\alpha-1}}{i} + \dots + K_n \mu_n^{\alpha-1} \right]$ ($i=1,2,\dots,n$) και $j>i$

$$\beta_i = \gamma(K_i + \dots + K_n) \mu_i^{\alpha-2} \sigma_i^2$$

$$\gamma_i = \gamma(K_j + \dots + K_n) \mu_i^{\alpha-2} \sigma_i' \sigma_j'$$

Παρατηρούμε ότι για $\alpha=2,0$ οι σχέσεις (46) γίνονται

$$h = \sum K_i \mu_i^2 + 2 \sum \alpha_i \epsilon_i' + \sum \beta_i \epsilon_i'^2 + 2 \sum_{j>i} \gamma_i \epsilon_i' \epsilon_j' \quad (47)$$

όπου $\alpha_i = \sigma_i (K_1 \mu_1 + \dots + K_i \mu_i)$

$$\beta_i = (K_1 + \dots + K_i) \sigma_i^2$$

$$\gamma_i = (K_j + \dots + K_n) \sigma_i' \sigma_j'$$

Έτσι βλέπουμε για τον όρο $2 \sum \gamma_i \epsilon_i' \epsilon_j'$ των σχέσεων (46) ή (47) ότι τά ϵ_i' και ϵ_j' είναι ανεξάρτητες τυχαίες μεταβλητές (και μάλιστα εδώ είναι τυποποιημένης κανονικής κατανομής $\mu=0, \sigma=1$) και επί πλέον ότι:

- Γενικά για τις ανεξάρτητες τυχαίες μεταβλητές x, y [9] και αν $E(x) = \mu_x, E(y) = \mu_y, \text{Var}(x) = \sigma_x^2, \text{Var}(y) = \sigma_y^2$ τότε η μέση τιμή και η διακύμανση της συναρτήσεως

$$Z = g(x, y)$$

δίδονται κατά προσέγγιση από τις παρακάτω συναρτήσεις (μέ τη βοήθεια του τύπου του Taylor)

$$E(Z) \approx g(\mu_x, \mu_y) + \frac{1}{2} \left(\frac{\partial^2 g}{\partial x^2} \sigma_x^2 + \frac{\partial^2 g}{\partial y^2} \sigma_y^2 \right)$$

$$\text{Var.}(Z) = (\Delta Z) \approx \left(\frac{\partial g}{\partial x}\right)^2 \cdot \sigma_x^2 + \left(\frac{\partial g}{\partial y}\right)^2 \cdot \sigma_y^2$$

όπου οι μερικές παράγωγοι υπολογίζονται στη θέση (μ_x, μ_y)

- Έτσι είναι εύκολο να βρούμε για τη συνάρτηση

$$Z = g(x, y) = x \cdot y \quad \text{ότι} \quad E(Z) \approx 0 \quad \text{καί} \quad \text{Var.}(Z) \approx 0$$

Πού σημαίνει ότι για τις συναρτήσεις $2\gamma_i \epsilon_i' \epsilon_j'$ θα είναι η μέση τιμή τους και η απόκλιση τους μηδέν δηλαδή ότι ο όρος $2\gamma_i \epsilon_i' \epsilon_j'$ μπορεί να θεωρηθεί άμελητέος και να τεθεῖ

$$2\gamma_i \epsilon_i' \epsilon_j' \approx 0$$

Τό θέμα αυτός της άμελητέας συμβολής του παραπάνω όρου, εξετάσθηκε στην εργασία [19] μόνον μερικά με την θεώρηση των συναρτήσεων κατανομής $\epsilon_i' (1 + \frac{2\gamma_i}{\alpha_i} \epsilon_j')$ και ϵ_i και τη σύγκριση τιμών της ολικής πιθανότητας σε ορισμένες θέσεις της τυχαίας μεταβλητής.

Φάνηκε επομένως ότι οι συναρτήσεις κατανομής $\epsilon_i' x$ και ϵ_i' δεν διαφέρουν αξιολογικά και έτσι μπορεί να παραλείπεται ο όρος που περιέχει τό γινόμενο $\epsilon_i' \epsilon_j'$. Στην περίπτωση αυτή μάλιστα βρέθηκε ότι η $P[\epsilon_i x \leq A]$ και η $P[\epsilon_i \leq A]$, όπου στο A δόθηκαν οι τιμές 0, 1,50, 2,00 και 2,50 λαμβάνει τις εξής τιμές:

$$\text{για } A = 0, \quad P(\epsilon_i x \leq A) = 0,5000, \quad P(\epsilon_i \leq A) = 0,5000$$

$$\text{" } A = 1,50, \quad \text{" } = 0,9278, \quad \text{" } = 0,9332$$

$$\text{" } A = 2,00, \quad \text{" } = 0,9663, \quad \text{" } = 0,9772$$

$$\text{" } A = 2,50, \quad \text{" } = 0,9860, \quad \text{" } = 0,9938$$

Μετά από την πιο πάνω εξέταση του προβλήματος της κατανομής και μετά την απόδειξη που έγινε για την άσημαντη έπιρροή του όρου $2\gamma_i \epsilon_i' \epsilon_j'$ της σχέσεως (46), αυτή η σχέση καταλήγει ως

έξῆς:

$$h = \sum_{i=1}^{i=n} K_i \mu_i^\alpha + \alpha \sum_{i=1}^{i=n} \alpha_i (\epsilon'_i) + \sum_{i=1}^{i=n} \beta_i (\epsilon'_i)^2 \quad (48)$$

δηλαδή ἡ ὅλική ἀπώλεια φορτίου κατὰ μήκος μιᾶς γραμμῆς μεταφορᾶς ἐκφράζεται σάν ἄθροισμα ἀνεξαρτήτων τυχαίων μεταβλητῶν.

Ἐτσι σύμφωνα μέ τό κεντρικό ὄριακό θεώρημα [9,19] ἡ κατανομή τῆς ἀπώλειας φορτίου h θά τεύνει πρὸς τήν κανονική κατανομή ὅσο τό πλῆθος τῶν κλάδων (ἢ τμημάτων) αὐξάνει καί ἐπομένως ἡ μεταβλητή u τῆς σχέσεως (16) θά τεύνει νά λάβει τήν τιμή $u = u_{(\varphi)} = \epsilon$ τῆς τυποποιημένης κανονικῆς κατανομῆς γιά τήν ἐξεταζόμενη στάθμη πιθανότητας φ .

5. ΟΙ ΟΡΙΣΤΙΚΕΣ ΕΞΙΣΩΣΕΙΣ ΤΗΣ ΑΠΩΛΕΙΑΣ ΦΟΡΤΙΟΥ ΚΑΙ ΟΙ ΙΔΕΑΤΕΣ ΠΑΡΟΧΕΣ ΣΧΕΔΙΑΣΜΟΥ

5.1 'Αναζήτηση μιᾶς ἐφαρμοσίμης τιμῆς τῆς μεταβλητῆς u

Στό κεφάλαιο 3 ἔχουμε ἐκφράσει τὴν ἀπώλεια φορτίου κατὰ μήκος μιᾶς γραμμῆς μεταφορᾶς μέ τὶς ἐξισώσεις (35) καὶ (36), δηλαδή:

$$h = \sum K_i \left[\mu_i^\alpha + \frac{\alpha(\alpha-1)}{2} \mu_i^{\alpha-2} \cdot \sigma_i^2 \right] +$$

$$+ \alpha \cdot u(\varphi) \left[\sum (K_i \mu_i^{\alpha-1} \sigma_i)^2 + 2 \sum_{j>i} K_i K_j \mu_i^{(\alpha-1)} \mu_j^{(\alpha-1)} \cdot \sigma_i^2 \right]^{1/2}$$

ὅπου $\alpha =$ περίπου 1,76 ἕως 2,00

$u(\varphi) =$ ἡ τιμὴ τῆς τυποποιημένης κατανομῆς γιὰ στάθμη πιθανότητας φ .

Ἡ πλοῦ πάνω σχέση γιὰ $\alpha=2,0$ γίνεται

$$h = \sum K_i (\mu_i^2 + \sigma_i^2) + 2u(\varphi) \left[\sum (K_i \mu_i \sigma_i)^2 + 2 \sum_{j>i} K_i K_j \mu_i \mu_j \sigma_i^2 \right]^{1/2}$$

Ἐπίσης μέ τὶς ἐξισώσεις (40) καὶ (41) τοῦ κεφ. 3 ἔχουμε ἐκφράσει τὴν ἀπώλεια φορτίου κατὰ ἓνα τρόπο πλοῦ ἀπλό καὶ χρήσιμο γιὰ τὶς ἐφαρμογές δηλαδή:

$$h = \sum K_i \left[\left(\mu_i^\alpha + \frac{\alpha(\alpha-1)}{2} \mu_i^{\alpha-2} \cdot \sigma_i^2 \right) + \alpha \cdot u'(\varphi) \left[\sum (K_i \mu_i^{\alpha-1} \sigma_i) \right] \right]$$

ἢ γιὰ $\alpha=2,0$

$$h = \sum K_i (\mu_i^2 + \sigma_i^2) + 2u'(\varphi) \sum (K_i \mu_i \sigma_i) \quad \text{ὅπου} \quad u'(\varphi) = u(\varphi) \cdot \frac{S}{S'}$$

καὶ $S =$ ἀπόκλιση ἀπώλειας φορτίου, $S' = \alpha \cdot K_i \mu_i^{\alpha-1} \sigma_i$

Ἀπομένει τώρα νά προβοῦμε σέ μιὰ ἔστω καὶ κατὰ προσέγγιση συσχέτιση τῶν S καὶ S' ὥστε νά μποροῦμε νά ἐκφράσουμε ὁριστικά τὴν σχέση (40) ἢ (41) καθορίζοντας τὴν μεταβλητὴ u καὶ

συγχρόνως μία σχέση μεταξύ των $u_{(\varphi)}$ και $u'_{(\varphi)}$.

Στή συνέχεια θέτουμε για εύκολια και συντόμευση των υπολογισμών τὰ ἑξῆς:

$$(K_i \mu_i^{\alpha-1} \cdot \sigma_i) = x_i \quad (49)$$

$$\alpha_{ij} = \frac{\sigma_i}{\sigma_j} < 1 \quad (j > i \text{ καὶ } \sigma_j > \sigma_i) \quad (49\alpha)$$

$$y_i = \frac{x_i}{x_1} = \frac{K_i \mu_i^{\alpha-1} \cdot \sigma_i}{K_1 \mu_1^{\alpha-1} \sigma_1} \leq 1 \quad (49\beta)$$

Ἐάν $n =$ τὸ πλήθος τῶν κλάδων ἢ τμημάτων σ' ἓνα ἄγωγό μεταφο -
ρᾶς

$$\text{θέτουμε } f(\bar{x}) = \sum_{i=1}^{i=n} x_i^2 + 2 \sum_{j>i} x_i x_j \alpha_{ij} \quad (49\gamma)$$

$$F(\bar{x}) = (x_1 + \dots + x_n)^2 = \left(\sum_{i=1}^{i=n} x_i \right)^2 \quad (49\delta)$$

$$g(\hat{y}) = \frac{f(\bar{x})}{F(\bar{x})} \leq 1 \quad (49\epsilon)$$

Εἶναι φανερό τότε ὅτι:

$$\left(\frac{S}{\alpha} \right)^2 = f(\bar{x}) = \sum (K_i \mu_i^{\alpha-1} \sigma_i)^2 + 2 \sum_{j>i} K_i K_j \mu_i^{\alpha-1} \mu_j^{\alpha-1} \sigma_i^2 \sigma_j^2 \quad (49\sigma\tau)$$

$$\left(\frac{S'}{\alpha} \right)^2 = F(\bar{x}) = \left(\sum K_i \mu_i^{\alpha-1} \sigma_i \right)^2 \quad (49 \zeta)$$

$$\left(\frac{S}{S'} \right)^2 = \frac{f(\bar{x})}{F(\bar{x})} = g(\hat{y}) \quad (49\eta)$$

Ἔτσι τὸ τελικὸ μας ἐνδιαφέρον συγκεντρώνεται στὴν εὔρεση τῆς $g(\hat{y})$ ἢ τουλάχιστον στὸν καθορισμὸ κάποιας κατώτερης ὀριακῆς τιμῆς τῆς, ἡ ὁποία συνήθως παρατηρεῖται στὸ πεδίο ἐφαρμογῆς

των x_i ή των αντίστοιχων $y_i = \frac{x_i}{x_1}$.

Πράγματι θα έχουμε

$$g(\hat{y}) = \frac{f(\hat{x})}{F(\hat{x})} = \frac{\sum_{j>i} x_i x_j \alpha_{ij}}{(\sum x_i)^2} = \frac{\sum_{j>i} y_i y_j \alpha_{ij}}{(\sum y_i)^2} \quad (50)$$

όπου $y_1 = 1$

"Αν θέσουμε έπειτα

$$y = \begin{bmatrix} 1 \\ y_2 \\ \vdots \\ y_n \end{bmatrix} \quad \epsilon = \begin{bmatrix} 1 \\ 1 \\ \vdots \\ 1 \end{bmatrix} \quad (51)$$

$$A_\alpha = \begin{bmatrix} 1 & \alpha_{12} & \dots & \alpha_{1n} \\ \alpha_{12} & 1 & \dots & \alpha_{2n} \\ \vdots & \vdots & \ddots & \vdots \\ \alpha_{1n} & \alpha_{2n} & \dots & 1 \end{bmatrix}, \quad A_1 = \begin{bmatrix} 1 & 1 & \dots & 1 \\ 1 & 1 & \dots & 1 \\ \vdots & \vdots & \ddots & \vdots \\ 1 & 1 & \dots & 1 \end{bmatrix} \quad (51a)$$

καί έπειδή $(\sum y_i)^2 = \sum y_i^2 + 2 \sum_{j>i} y_i y_j$ ή σχέση 50 μπορεί να γραφεί σέ μητρική μορφή.

$$g(\hat{y}) = \frac{f(\hat{x})}{F(\hat{x})} = \frac{f(\hat{y})}{F(\hat{y})} = \frac{y \cdot A_\alpha \cdot y^T}{y \cdot A_1 \cdot y^T} < 1$$

όπου οι $f(\hat{y})$ καί $F(\hat{y})$ είναι τετραγωνικές μορφές [6,15] καί y^T ή ανάστροφος μήτρα της y βλ. σχέση (51)

Η πιο πάνω σχέση (52) έπιτρέπει ένδεχομένως τή θεωρητική άναζήτηση των όριακών τιμών της $g(\hat{y})$ για τό πεδίο έφαρμο-

γής των y_i , που είναι δυνατό να καθοριστεί με κάποια προσέγγιση ώστε να περιλαμβάνει τις περισσότερες τιμές των y_i που συναντιούνται στις εφαρμογές.

Πάντως εδώ η αναζήτηση θα γίνει τελικά σε όρισμένες χαρακτηριστικές όριακές περιπτώσεις αφού πρώτα γίνουν και όρισμένοι χρήσιμοι άλγεβρικοί μετασχηματισμοί της (49ε) και έτσι θα εξάγουμε σχετικά συμπεράσματα για την ελάχιστη τιμή της $g(\hat{y})$. Με αυτό τον τρόπο και με τον έλεγχο που θα γίνει με συγκεκριμένα αριθμητικά παραδείγματα θα δεχθούμε στη συνέχεια μια κατώτερη όριακή τιμή της $g(\hat{y})$ που συνήθως παρουσιάζεται στις εφαρμογές. Έτσι θα έχουμε πρακτικά καταλήξει στο επιθυμητό συμπέρασμα και μάλιστα με αρκετά περιθώρια ασφάλειας, τα όποια θα επιδιώξουμε, ώστε τελικά να μην είναι απόλυτα αναγκαία η ακριβής θεωρητική αναζήτηση της κατώτερης όριακής τιμής της $g(\hat{y})$.

Εάν θέσουμε $\hat{y}=y=\epsilon$ δηλαδή $y_i=1$

$$\text{τότε} \quad (\sum y_i)^2 = n^2 \quad \text{και} \quad y A_{\alpha} \cdot y^T = n + 2 \sum_{j>i} \alpha_{ij}$$

$$\text{και} \quad g(\hat{y})=g(\epsilon)=g(1) = \frac{n+2\sum \alpha_{ij}}{n^2} \quad (53)$$

$$\text{Επίσης αν θέσουμε } y_2, \dots, y_n = 0 \text{ τότε } g(\hat{y})=g(0)=1 \quad (54)$$

Από τις σχέσεις (53) και (54) προκύπτει ότι

$$g(\epsilon)-g(0) = \frac{2\sum \alpha_{ij} - (n^2 - n)}{n^2}$$

Από τις σχέσεις (50) και (53) θα έχουμε

$$\begin{aligned}
 g(\hat{y}) - g(1) &= \frac{\sum y_i^2 + 2\sum \alpha_{ij} y_i y_j}{(\sum y_i)^2} - \frac{n + 2\sum \alpha_{ij}}{n^2} \\
 &= \frac{\sum y_i^2 + 2\sum \alpha_{ij} y_i y_j}{(\sum y_i)^2} + \frac{-n^2 + \frac{2n(n-1)}{2}}{n^2} - 2\sum \alpha_{ij} \\
 &= \frac{\sum y_i^2 + 2\sum \alpha_{ij} y_i y_j}{(\sum y_i)^2} - 1 - \left(\frac{2}{n^2}\right) \sum (\alpha_{ij} - 1) \quad (55)
 \end{aligned}$$

Στη σχέση (55) τό πλήθος α_{ij} είναι $\frac{n(n-1)}{2}$.
 Επίσης ή σχέση (55) γράφεται άν θέσουμε $\frac{\sum y_i^2}{\sum y_i^2} = 1$ καί λά-
 βουμε υπόψη ότι $(\sum y_i)^2 = \sum y_i^2 + 2 \sum_{j>i} y_i y_j$

$$g(\hat{y}) - g(1) = \frac{2\sum y_i (\alpha_{ij} - 1) \cdot y_j}{(\sum y_i)^2} - \frac{2}{n^2} \sum (\alpha_{ij} - 1) \quad (56)$$

Επειδή όμως $y_i \leq 1$ καί $(\sum y_i)^2 \leq n^2$

$$\text{ή σχέση (56) γίνεται } g(\hat{y}) - g(1) \geq \frac{2}{n^2} \sum_{j>i} (\alpha_{ij} - 1) (y_i y_j - 1) \quad (57)$$

(i=1.....n)

*Από τίς σχέσεις (57) καί (54) έχουμε

$$g(\hat{y}) - g(1) \geq \frac{2}{n^2} \sum (\alpha_{ij} - 1) (y_i y_j - 1) \quad (58)$$

ή επειδή $\alpha_{ij} - 1 < 0$ καί $y_i y_j - 1 < 0$ θά είναι

$$g(\hat{y}) - g(1) \geq \frac{2}{n^2} \sum (1 - \alpha_{ij}) (1 - y_i y_j) \quad (58\alpha)$$

Τέλος έπειδή $g(\hat{y}) \leq 1$ και $g(0)=1$ θα έχουμε τελικά αν λάβουμε υπόψη και την (58α).

$$1 \geq g(\hat{y}) \geq g(1) + \frac{2}{n} \sum (1-\alpha_{ij})(1-y_i y_j) \quad (59)$$

όπου ή $g(1) = \frac{n+2\sum \alpha_{ij}}{n^2}$ σύμφωνα με τη σχέση (53).

Από την πιο πάνω σχέση (59) μπορούμε να βρούμε σε χαρακτηριστικές όριακές περιπτώσεις ή και σε διάφορες χαρακτηριστικές τιμές του διανύσματος $\hat{y}(1, y_1, \dots, y_n)$ τις ελάχιστες τιμές της $g(\hat{y})$. Μ' αυτό τον τρόπο μπορούμε να βρούμε για τό συνηθισμένο πεδίο των τιμών \hat{y} που παρουσιάζεται στις εφαρμογές την αντίστοιχη συνηθισμένη διακύμανση της $g(\hat{y})$ και έπομένως να καθορίσουμε και μια κατά έκανοποιητική προσέγγιση κατώτερη όριακή τιμή της.

Στή συνέχεια για τό σκοπό αυτό υποθέτουμε μερικές συνηθισμένες όριακές τιμές τόσο των α_{ij} όσο και των y_i σε συνάρτηση βέβαια με τις άποδεκτές όριακές ταχύτητες στα δίκτυα άρδεύσεως (από τις όποιες εξαρτιούνται τά παραπάνω μεγέθη που είναι συναρτήσεις των διαμέτρων και παροχών.

Έτσι βρίσκουμε στις πιο κάτω πέντε χαρακτηριστικές περιπτώσεις (α), (β), (γ), (δ), (ε) διάφορες κατώτερες όριακές τιμές της $g(\hat{y})$ ενώ στην έκτη (στ) περίπτωση δίνουμε μερικές συνηθισμένες μέσες χαρακτηριστικές τιμές των μεγεθών $Q, u, D, y_i, \alpha_{ij}$ κλπ. που συχνά συναντιούνται στα δίκτυα άρδεύσεως.

α) Για αριθμό $n = 2$ κλάδων

$$g(\hat{y}) \geq \frac{2+2\alpha_{12}}{4} + \frac{2}{4} (1-\alpha_{12})(1-y_1 y_2)$$

$$\text{και έπειδή } y_1=1,0 \quad g(\hat{y}) \geq \frac{1+\alpha_{12}}{2} + \frac{1}{2} (1-\alpha_{12})(1-y_2)$$

(ι) Εάν $y_2 = y_1 = 1,0$ όποτε τό σ_1 θά διαφέρει ελάχιστα του σ_2 δηλαδή $\alpha_{12} \approx 1,0$ ή έστω $\alpha_{12} \approx 0,90$ ή $0,95$, τότε $g(\hat{y}) \geq 0,95$ ή $0,975$

(ιι) Εάν τό $y_2 \ll y_1$ δηλαδή $\sigma_1 \ll \sigma_2$ τότε τό α_{12} θά είναι πολύ μικρό, π.χ. σέ μιá όριακή περίπτωση πού μπορεί συνήθως νά έμφανιστεί σέ έφαρμογές είναι $\alpha_{12} \approx 0,10$.

Βρίσκουμε τότε ότι $y_2 = \frac{K_2 \mu_2 \sigma_2}{K_1 \mu_1 \sigma_1}$ (ή $\frac{K_2 \mu_2^{\alpha-1} \sigma_2}{K_1 \mu_1^{\alpha-1} \sigma_1}$) όποτε

$$\text{για } \alpha=2,0 \quad y_2 = \frac{K_2 \mu_2 \sigma_2}{K_1 \mu_1 \sigma_1} = \frac{K_2 (100 \mu_1) (10 \sigma_1)}{K_1 \mu_1 \sigma_1} = 1000 \frac{K_2}{K_1} =$$

$$= 1000 \cdot \frac{1}{1} \cdot \frac{D_1}{D_2} \cdot 16/3 < 1000 \left(\frac{D_1}{D_2} \right)^{16/3} <$$

$$< \text{συνήθως } (1000) \times (1,0 \times 10^{-4}) = 0,10$$

Αυτό συμβαίνει γιατί συνήθως πάντοτε $l_2 < l_1$ ($l_1 =$ τό μήκος του άγωγού τελευταίας τάξεως και D_1/D_2 για πην περίπτωση αυτή είναι $D_1/D_2 < 0,178$ δηλαδή

$$\left(\frac{D_1}{D_2} \right)^{16/3} < 1,0 \times 10^{-4} \quad (\text{βλ. σχετ. διάγρ. 5.1})$$

Επομένως μέ τίς τιμές αυτές θά είναι

$$g(\hat{y}) > \frac{1+0,10}{2} + \frac{1}{2}(1-0,10)(1-0,10) = 0,955$$

(ιιι) Για μιá ένδιάμεση τιμή, π.χ. $\alpha_{12} = 0,707$ $g(\hat{y}) > \frac{1+0,707}{2} \approx 0,853$.

όταν $y_2 = y_1$ ένώ άν $y_2 < y_1$, π.χ. $y_2 = 0,8$ τότε ή $g(\hat{y})$ είναι άκόμα μεγαλύτερη, π.χ. $g(\hat{y}) = 0,882$

β) Για άριθμό $n=3$ κλάδων $g(\hat{y}) \geq \frac{3+2(\alpha_{12}+\alpha_{13}+\alpha_{23})}{9} + \left(\frac{3}{9}\right)$.

$$\cdot \left[(1-\alpha_{12})(1-y_2) + (1-\alpha_{13})(1-y_3) + (1-\alpha_{23})(1-y_2 y_3) \right]$$

Εύκολα βρίσκουμε ότι

(ι) Για $\alpha_{12} \approx \alpha_{13} \approx 0,10$ τότε $\alpha_{23} \approx 0,95$ και αν θεωρήσουμε ότι τουλάχιστο $y_2, y_3 < 0,50$ προκύπτει ότι $g(\bar{y}) > 0,818$

(ιι) "Αν υποθέσουμε μετά ότι τά $\alpha_{12}, \alpha_{13}, \alpha_{23}$ είναι τά μεγαλύτερα δυνατά δηλαδή, π.χ. $\alpha_{12} = 0,707, \alpha_{13} = 0,58$ και $\alpha_{23} \approx 0,82$ και ότι γενικά τά y_2 είναι κοντά στη μονάδα, δηλαδή, π.χ. $y_1, y_2 \approx 0,95$ και $y_3 \approx 0,90$, που είναι όπωσδήποτε μιá δυσμενής παραδοχή, καταλήγουμε

$$g(\bar{y}) > 0,811$$

γ) Έκτός από τις πιο πάνω περιπτώσεις $n=2$ και 3 κλάδων λαμβάνουμε για εξέταση και μιá περίπτωση με περισσότερους κλάδους, π.χ. $n=10$ όπου εξετάζουμε μάλιστα τις έξης υποπεριπτώσεις:

(ι) "Αν θεωρήσουμε σαν όριακή περίπτωση τά $\alpha_{1,2}, \alpha_{1,3}, \dots, \dots, \alpha_{1,10} \approx 0,10$ δηλαδή πολύ μικρά τότε όλα τά υπόλοιπα $\alpha_{i,j} > 0,95$ θά είναι κοντά στην μονάδα.

Σ'αυτή την περίπτωση λοιπόν αν τελικά δεχθούμε $\alpha_{1,j} = 0,10$ και $\alpha_{i,j} = 0,95$ ($i \neq 1$) και επί πλέον δώσουμε συντηρητικές τιμές στα $y_2, \dots, y_{10} \approx 0,50$ καταλήγουμε σε μιá τιμή της $g(\bar{y}) > 0,91$

(ιι) Μιá άλλη περίπτωση θά είναι να δεχθούμε τις έξης τιμές για τά $\alpha_{1,j} = 1/(j)^{1/2}$:

Δηλαδή $\alpha_{1,2} = 0,707, \alpha_{1,3} = 0,577, \alpha_{1,4} = 0,500, \alpha_{1,5} = 0,447,$

$\alpha_{1,6} = 0,408, \alpha_{1,7} = 0,378, \alpha_{1,8} = 0,354, \alpha_{1,9} = 0,333,$

$\alpha_{1,10} = 0,316$ τότε προσδιορίζονται τά υπόλοιπα

$\alpha_{i,j} = (i/j)^{1/2}$

Βρίσκουμε τότε για την:

$$g(\hat{y}) > \frac{10+2\sum \alpha_{ij}}{100} + \frac{2}{100} \left[\sum (1-\alpha_{ij})(1-y_i y_j) \right]$$

Αν λάβουμε υπόψη ότι $\sum \alpha_{ij} = 30,742$ ότι μόνο με τον πρώτο όρο της πιο πάνω σχέσεως έχουμε $g(\hat{y}) > 0,715$, αν δε δέχθουμε έστω και μερικά από τα $y \neq 1$, π.χ. $y_6, \dots, y_{10} = 0,70$ (ένω $y_2, \dots, y_5 = 1,0$ πράγμα που είναι δυσμενές) θά έχουμε $g(\hat{y}) > 0,75$.

δ) Στις παραπάνω είδικές όριακές, όπως θά μπορούσαμε να πούμε κατά ένα τρόπο, περιπτώσεις μέσα στις οποίες κινούνται συνήθως τα μεγέθη α_{ij} και y_i , στις εφαρμογές για δίκτυα που έχουν περίπου μέχρι 10 κλάδους τελευταίας ή και ανωτέρας τάξεως, η εξέταση που έγινε έδειξε ότι γενικά $g(\hat{y}) > 0,75$ περίπου και μάλιστα για ένα εύρο τιμών, π.χ. $0,10 \leq \alpha_{ij} \leq 0,95$ και y_i με αντίστοιχες τιμές αλλά που πάρθηκαν πολύ δυσμενείς.

Γενικότερα μάλιστα θά μπορούσαμε να επεκτείνουμε τις παραπάνω σκέψεις μας κατά κάποιο επαγωγικό τρόπο δηλαδή αντί για $n=10$ κλάδους να θεωρήσουμε περισσότερους, έτσι:

(ι) Π.χ. για n κλάδους όταν $\alpha_{1,j} \approx 0,10$ και τα υπόλοιπα

$$\alpha_{ij} \approx 0,95 \text{ τότε } g(\hat{y}) = \frac{n+0,10 \cdot n+0,95(n^2-2n)}{n^2} = 0,95 - \frac{0,80}{n}$$

που για $n > 10$ προκύπτει

$$g(\hat{y}) > 0,87$$

(ιι) Ομοίως όπως και προηγούμενα, στη περίπτωση $n=10$, αν δεχθούμε τις μέγιστες τιμές των $\alpha_{1,j} = (1/j)^{1/2}$ μπορούμε να εξετάσουμε ένα μεγαλύτερο πλήθος π.χ. $n=50$, δεχόμενοι αντίστοιχες τιμές των y_i δυσμενείς, π.χ. για την πρώτη

δεκάδα των $y_1 = y_2, \dots, y_{10} = 0,80$ έως 1,00, για την δεύτερη δεκάδα των $y_i = y_{11}, \dots, y_{20} \leq 0,70$, για την τρίτη 0,40 έως 0,50 κ.ο.κ. οπότε θα βρούμε για τη $g(\hat{y}) > 0,75$.

Γενικότερα παρατηρούμε ότι στις πιο κάτω περιπτώσεις έξε - τάσαμε γραμμές μεταφορᾶς που έξυπηρετούν κλάδους σχετικά ομοιόμορφους όπως και στο παράδειγμα 5.1 στο οποίο μάλιστα βρίσκουμε ότι η $g(\hat{y}) \geq 0,81$.

- ε) Παρατηρούμε όμως, ότι οι τιμές $g(\hat{y})$ μπορούν σε ειδικές περιπτώσεις, όπως, π.χ. στο παράδειγμα 5.2 να κατεβούν και σε χαμηλότερα από τα κατώτερα όρια που προσδιορίζονται πιο πάνω, αλλά στην περίπτωση αυτή η τιμή του όρου $\alpha \cdot u' S'$ σε σχέση με το συνολικό h μικραίνει ώστε τελικά η ποσοστιαία συμμετοχή αυτού (δηλαδή ο όρος $\frac{\alpha \cdot u' S'}{h}$) να μην αύξάνει.

Σχετικά, μάλιστα, αναφερόμαστε πιο κάτω έκτενέστερα τόσο στην εξέταση του όρου $\lambda = \frac{\alpha \cdot u' \cdot S'}{h}$ και την διακύμανσή του ανάλογα με το πλήθος των στομιών R τον συντελεστή C_v μεταβολής της παροχής και την τιμή της $u'(\varphi)$, όσο και στις συγκεκριμένες τιμές της $g(\hat{y})$ στο αριθμητικό παράδειγμα 5.2 όπου τελικά παρά το γεγονός ότι η $g(\hat{y}) = 0,593$ έπειδή το λ μικραίνει σημαντικά, η αύξηση του h παραμένει μέσα στα περιθώρια που καθορίζουμε πιο κάτω.

- στ) Θα δώσουμε στη συνέχεια μερικές συνηθισμένες τιμές παροχών, διαμέτρων κλπ. που άπαντιένται στα άρδευτικά δικτυα ανάλογα με το πλήθος των στομιών ύδροληψίας που έξυπηρετούν (Διάγραμμα Δ.5.1). Από αυτές θα έκτιμήσουμε τις αντίστοιχες μέσες τιμές των μεγεθών y_i και $\alpha_{1,i} = \sigma_{1,i} / \sigma_i$ ώστε να άποκτήσουμε μιá αντίληψη του μεγέθους των y_i και $\alpha_{1,i}$.

θεωρώντας έτσι έναν άγωγό μεταφοράς που τροφοδοτεί ένατο κλάδους τελευταίας τάξεως που ο καθένας πάλι έξυπηρετεί 10 στόμια και δίδοντας τιμές από $P=\frac{1}{3}$ έως $P=\frac{2}{3}$ βρίσκουμε αν δεχτούμε ειδική παροχή άρδεύσεως για 18ωρο λειτουργία δικτύου 0,082 λ/δλ/στρεμ., ότι η παροχή q_0 κάθε στομίου για έπιφάνεια άγροτεμαχίου 25 στρεμ. θα κυμαίνεται από $q_0=3,08$ έως 6,15 λ/δλ και αντίστοιχα για 45 στρεμ. από $q_0=5,54$ έως 11,07 λ/δλ.

Αντίστοιχα η διακύμανση της παροχής για ένα κλάδο τελευταίας τάξεως με $R=10$ στόμια και ποιότητες λειτουργίας, π.χ. $\varphi=0,90-0,95-0,99$ μπορεί να ύπολογιστεί εύκολα με τις σχέσεις (3) και (4) του κεφαλ. 1 εφαρμόζοντας σαν άκρατες όριακές τιμές, τις πιο πάνω τιμές της q_0 . Βρίσκουμε έτσι τά διαστήματα μέσα στα όποια βρίσκεται συνήθως η τιμή της παροχής σε συνάρτηση με τό πλήθος των στομιών R . Μετά έκτιμάμε την αντίστοιχη διακύμανση της διαμέτρου, με όριακές ταχύτητες αυτές που αναφέρονται στο κεφάλαιο 7 και τέλος δεχόμεστε μέσες τιμές για την διάμετρο D_j , οι όποτες είναι τελείως ένδεικτικές και άπλως εκφράζουν κατά προσέγγιση μία τάξη μεγέθους διαμέτρου που μπορεί να πούμε ότι είναι και ένας κατά κάποιο τρόπο μέσος στατιστικός όρος των μεγεθών D_j που παρουσιάζονται σε εφαρμογές. Στη συνέχεια με τις διαμέτρους αυτές σαν βάση εκτιμούμε τις τιμές y_j ($j=2, \dots, i$) και $\alpha_{1,j}$ από τις σχέσεις:

$$y_j = \frac{K_j \mu_j \sigma_j}{K_1 \mu_1 \sigma_1} = \left(\frac{R_j}{R_1}\right)^{3/2} \cdot \left(\frac{K_j}{K_1}\right) = \left(\frac{R_j}{R_1}\right)^{3/2} \cdot \left(\frac{D_1}{D_j}\right)^{16/3} \quad (j=2, \dots, i)$$

$$\text{και} \quad \alpha_{1,i} = \frac{\alpha_1}{\sigma_i} \quad , \quad R_1 = 10 \text{ στόμια}$$

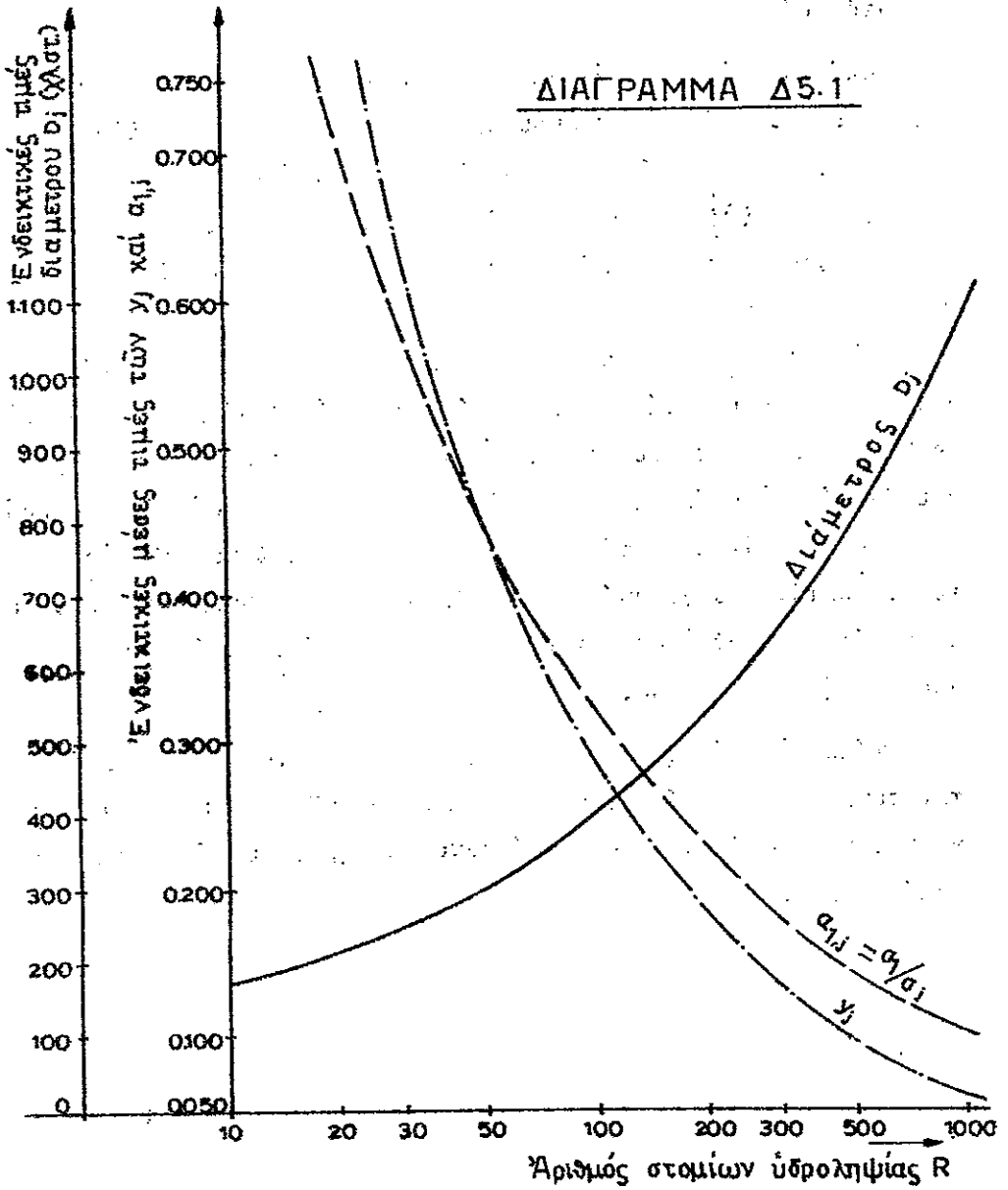
$$\mu = R \cdot p \cdot q_0 \quad \text{καί} \quad \sigma = R \cdot p \cdot (1-p)^{1/2} \cdot q_0$$

Τά ἀποτελέσματα πού βγήκαν μέ κάποιες προσεγγύσεις ἐμφανίζονται στό διάγραμμα Δ 5.1.

Βλέπουμε ἀπ'τό διάγραμμα αὐτό ὅτι οἱ τιμές πού χρησιμοποιοῦνταν πρὸ πάνω στὶς εἰδικές περιπτώσεις (α) ἕως (δ) γιὰ τὰ y καί α_{1j} , ὥστε νά ὑπολογιστεῖ μιὰ λογικά κατώτερη τιμὴ τῆς συναρτήσεως $g(\bar{y})$ βρίσκονται μέσα σέ πιθανά ὄρια, ἄσχετα ἂν γιὰ λόγους δυσμενέστερους πάρθηκαν σέ ὠρισμένες περιπτώσεις σχετικὰ συντηρητικά.

Οἱ τιμές τῶν y καί α_{1j} τοῦ διαγράμματος Δ.5.1 καλύπτουν κατά προσέγγιση ἐκτάσεις πού φθάνουν περίπου μέχρι 45000 στρέμματα. Τετοιες ἐκτάσεις δέν παρατηροῦνται εὐκόλα σέ μιὰ μόνο ἐνιαία ζώνη ἀρδεύσεως καί πολύ περισσότερο σέ μιὰ μόνο γραμμὴ μεταφορᾶς. Πράγματι στὶς συνηθισμένες περιπτώσεις τῶν ἀρδευτικῶν δικτύων οἱ γραμμὲς μεταφορᾶς μπορεῖ νά θεωρηθεῖ ὅτι οἱ περισσότερες θά ἐξυπηρετοῦν μέχρι 100 στόμια καί μερικές μέχρι 400 ἢ 500 τό πολύ.

Τέλος ἀπ'τό διάγραμμα Δ.5.1 βλέπουμε τὴν μεγάλη μείωση τῶν τιμῶν y_i μέ τὴν αὔξησιν τοῦ ἀριθμοῦ τῶν στομίων, πού δείχνει ὅτι ἡ συνάρτησις $g(\bar{y})$ πράγματι διατηρεῖται σέ σχετικά ὑψηλές τιμές.



5.2. Συμπεράσματα από τὶς πλὸ πάνω διερευνήσεις καὶ ἀναζητή -
γιά τὴν u^* .

Μποροῦμε τελικά μετὰ ἀπὸ ὅλες τὶς πλὸ πάνω ἐξετάσεις ποῦ ἔγιναν γιὰ νὰ ἐκτιμηθεῖ μιὰ κατώτερη ὀριακὴ τιμὴ τῆς $g(\hat{y})$ ποῦ συνήθως παρουσιάζεται στὶς ἐφαρμογές, καὶ στή συνέχεια μιὰ κατάλληλη τιμὴ τῆς $u' = u \cdot \frac{S}{S'} = u(g(\hat{y}))^{1/2}$ νὰ δεχθοῦμε ὅτι:

$$g(\hat{y}) > 0,44 \text{ ἕως } 0,70 \text{ περίπου}$$

ἢ ἐπειδὴ $g(\hat{y}) = \frac{f(\bar{x})}{F(\bar{x})} = \left(\frac{S}{S'}\right)^2$ θὰ εἶναι

$$\frac{S}{S'} = \left[g(\hat{y}) \right]^{1/2} > 0,80 \text{ ἕως } 0,84 \text{ περίπου}$$

Στὶς ἐξισώσεις ὅμως (40) ἢ (41) θὰ εἶναι γιὰ κάθε κλάδο i τὸ ποσοστὸ συμμετοχῆς τοῦ δεύτερου ὄρου $\alpha \cdot u' \cdot S'$ ἢ $2u' \cdot S'$ σέ σχέση πρὸς τὸ σύνολο τῆς ἀπώλειας φορτίου ἕσο πρὸς

$$\begin{aligned} \lambda &= \frac{\alpha \cdot u'(\varphi) \cdot \mu_i^{\alpha-1} \cdot \sigma_i}{\mu_i^\alpha + \frac{\alpha(\alpha-1)}{2} \mu_i^{\alpha-2} \sigma_i^2 + \alpha \cdot u'(\varphi) \cdot \mu_i^{\alpha-1} \cdot \sigma_i} = \\ &= \frac{\alpha \cdot u'(\varphi) \cdot C_{vi}}{1 + \frac{\alpha(\alpha-1)}{2} C_{vi}^2 + \alpha u'(\varphi) C_{vi}} \end{aligned} \quad (60)$$

ἢ γιὰ $\alpha=2,0$

$$\lambda = \frac{2u'(\varphi) C_{vi}}{1 + C_{vi}^2 + 2u'(\varphi) C_{vi}} \quad (61)$$

Ἡ σχέση (61) ἂν λάβουμε ὑπόψη ὅτι $C_{vi} = \left(\frac{1-p}{R \cdot p}\right)^{1/2}$ καὶ θεωρήσουμε ὅτι τὸ ἐλάχιστο $R_i = 10$ στόμια θὰ δώσει τὶς ἐξῆς τιμές στό λ γιὰ $u'(\varphi) = 1,28, 1,65$ καὶ $2,33$ ($p = \frac{1}{3}$ ἕως $\frac{2}{3}$)

		Γιά $u' =$			
			$=1,28$	$=1,65$	$=2,33$
$P=1/3$	$R=10$	$C_v=0,447$	0,488	0,550	0,580
	$R=20$	$C_v=0,316$	0,424	0,487	0,515
$P=2/3$	$R=10$	$C_v=0,224$	0,353	0,413	0,498
	$R=20$	$C_v=0,158$	0,283	0,337	0,418
	$R=30$	$C_v=0,129$	0,245	0,295	0,371

Από τις πιο πάνω τιμές του λ βγαίνει το συμπέρασμα για τις συνηθισμένες περιπτώσεις $\varphi \leq 0,95$ και $R > 10$ ότι $\lambda \leq 0,50$. Βέβαια σε άκρατες περιπτώσεις όπου $R \leq 10$ και τότε $C_v > 0,45$ τότε λμπορεί να πάρει και μεγαλύτερες τιμές. Αυτό όμως αν συμβεί θα είναι τελείως περιορισμένο σε κάποια ειδική γραμμή μεταφοράς ενός δικτύου.

Με την ευκαιρία μάλιστα δίδουμε και τον συντελεστή μεταβολής της απώλειας φορτίου $C_{vh} = \frac{2\mu_i \sigma_i}{\mu_i^2 + \sigma_i^2} = \frac{2C_{vi}}{1+C_{vi}^2}$ όπου παρήχθη $\alpha=2,0$ και C_{vi} είναι ο συντελεστής μεταβολής των παροχών. Για $C_{vi}=0,45$ έχουμε $C_{vh}=0,75$ που είναι συνήθως και μία μέγιστη τιμή.

Επανερχόμενοι μετά από όλα τα πιο πάνω στο θέμα της απώλειας φορτίου h που προκύπτει από την εξίσωση (40) ή (41) βλέπουμε ότι αυτή θα είναι αυξημένη τό πολύ κατά 8 έως 10% από την απώλεια h που εξάγεται με την εφαρμογή των εξισώσεων (35) ή (36). Μάλιστα αν λάβουμε υπόψη ότι ήδη έχουμε παραλείψει δυό όρους από τις εξισώσεις (28) ή (29) που αντιπροσωπεύουν και αυτοί έστω και ένα μικρό ποσοστό (π.χ. 1,0%) της απώλειας h τότε πραγματικά η αύξηση 8 έως 10% θα είναι ή μέ-

γιστη δυνατή που θα παρατηρείται στην h όταν εφαρμοσθούν οι εξισώσεις (40) ή (41).

Ακόμη μάλιστα και σε ειδικές περιπτώσεις όπου ή: $g(\hat{y}) < 0,64$ ή $g(\hat{y})^{1/2} < 0,80$, έπειδή τότε μειώνεται ο όρος αυ'ς. σε σχέση προς το συνολικό h , πάλι η αύξηση του h δεν θα περνάει το ποσοστό 8 έως 10% που εκτιμήθηκε πιο πάνω. Σχετικά αριθμητικά δεδομένα μπορεί να δεχ κανείς στο παράδειγμα 5.2 που ακολουθεί.

Η πιο πάνω ποσοστιαία αύξηση του h (8 έως 10%) είναι φανερό ότι αντιστοιχεί σε αύξηση της αντίστοιχης παροχής σχεδιασμού που είναι περίπου 3%.

Οι τιμές της h που εφαρμόζονται στις σχέσεις (35) ή (36) κυμαίνονται μέσα σε σχετικά περιορισμένα διαστήματα τα όποια είναι περισσότερο περιορισμένα όσο χαμηλότερη είναι η στάθμη πιθανότητας ϕ . Έτσι στην όριακή περίπτωση ενός κλάδου όπου για $\alpha=2,0$ οι σχέσεις (19α) και (28) δίδουν $m=k_1(\mu_1^2+\sigma_1^2)$ και $S=2k_1\sigma_1(\mu_1^2+\frac{1}{2}\sigma_1^2)^{1/2}$ οι όποιες με αντικατάσταση στη σχέση:

$$h = m + uS = K_1(\mu_1 + \epsilon\sigma_1)^2 \quad \text{δίδουν τελικά την τιμή της } u = \frac{(\epsilon^2 - 1)C_V + 2\epsilon}{(4 + 2C_V^2)^{1/2}}$$

(όπου $C_V = \frac{\sigma_1}{\mu_1}$). Έτσι προκύπτουν για την τά έξης όρια διακυμάνσεως [19].

Για $\phi = 0,90$, $\epsilon=1,28$ και $C_V=0$ έως $0,45$ αντίστοιχα τό $u=1,28$ έως $1,36$

Για $\phi = 0,95$, $\epsilon=1,65$ και $C_V=0$ έως $0,45$ " τό $u=1,65$ έως $1,93$

" $\phi = 0,99$ $\epsilon=2,33$ και $C_V=0$ έως $0,45$ " τό $u=2,33$ " $3,17$

Έχουν προταθεί κατόπιν των πιο πάνω οι έξης μέσες τιμές [19]

$$\text{Γιά } \varphi = 0,90 \quad u = 1,33$$

$$\text{Για } \varphi = 0,95 \quad u = 1,85$$

Πάντως μιά έξομεύωση [19] σέ μιά γραμμή μεταφορᾶς μέ δέκα κλάδους ἔδωσε γιά $\varphi = 0,95$ τιμές τῆς $u \approx 1,70$. Τελικά ἡ τιμή τῆς u' εἶναι $u' = u \cdot \frac{S}{S'}$ ὅπως προκύπτει ἀπό τή σχέση (39). Ἀλλά ὑπολογίσθηκε ὅτι μπορούμε νά δεχθοῦμε ὅτι σχεδόν πάντοτε στίς ἐφαρμογές θά εἶναι $0,80 \leq \frac{S}{S'} < 1,0$ πρᾶγμα πού σημαίνει ὅτι $u' < u$.

Ἔτσι προτείνεται ἡ μείωση τῆς τιμῆς (πού ἡ τιμή της ὅπως εἶδαμε πιο πάνω κυμαίνεται σέ διαστήματα στά ὁποῖα τό κατώτερο ὄριο συμπίπτει μέ τήν τιμή τῆς ϵ) κατά μέσο ποσοστό 8 ἕως 10%, ὥστε νά προσεγγίσουμε στίς τιμές τῆς u' , ἡ ὁποία πρακτικῶς τότε μπορεί νά θεωρηθεῖ ὅτι συμπίπτει σχεδόν μέ τήν τυποποιημένη τυχαία μεταβλητή τῆς κανονικῆς κατανομῆς, δηλαδή τήν ϵ .

Μάλιστα κάνοντας δεκτό ὅτι $u' = \epsilon$, ἐνδεχόμενα κάνουμε κάποια μικρή ὑπερτίμηση ἢ ὑποτίμηση τοῦ h , αὐτή ὅμως εἶναι πολύ μικρή ἂν λάβουμε ὑπόψη ὅτι ὁ ὅρος $\alpha u' S'$ σέ σχέση μέ τό συνολικό h εἶναι πάντοτε μικρότερος τοῦ $0,50h$ καί πρακτικῶς τίς περισσότερες φορές πέφτει συνήθως κάτω ἀπό τήν τιμή $0,33h$.

Αὐτό πάντως ἐπαληθεύεται καί στά παραδείγματα πού ἀκολουθοῦν (παραδ. 5.1 καί 5.2) δτό τέλος τοῦ κεφαλαίου.

Καταλήγουμε ἔτσι νά προτείνουμε τίς ἐξῆς τιμές γιά τήν τυποποιημένη τιμή τῆς ἀπώλειας φορτίου u'' .

$$\text{Γιά } \varphi = 0,90 \quad u'' \approx 1,28$$

$$\text{" } \varphi = 0,95 \quad u'' \approx 1,65 \quad \text{Δηλαδή γενικά } u'' = \epsilon$$

$$\text{" } \varphi = 0,99 \quad u'' \approx 2,33 \quad \text{καί μερικές φορές ἕως μέ - χρι 2,40)$$

όπου $\varepsilon =$ τυποποιημένη τυχάια μεταβλητή κανονικής κατανομής.

5.3. Όριστική έκφραση τών έξισώσεων απώλειας φορτίου

Έτσι οι όριστικές έξισώσεις που έκφράζουν τήν απώλεια φορτίου δηλαδή οι έξισώσεις (40) καί (41) γράφονται μέ τήν πιο κάτω μορφή:

$$h = (H_{\Delta} - H_0) = \sum h_i = \sum K_i \left[\mu_i^{\alpha} + \frac{\alpha(\alpha-1)}{2} \mu_i^{\alpha-2} \sigma_i^2 + \alpha \varepsilon \cdot \mu_i^{\alpha-1} \sigma_i \right] \quad (62)$$

καί γιά $\alpha = 2,0$

$$h = \sum K_i \left[\mu_i^2 + \sigma_i^2 + 2\varepsilon \mu_i \sigma_i \right] \quad (63)$$

Στήν συνέχεια αν ονομάσουμε

$$\mu_i^{\alpha} \left[\frac{\alpha(\alpha-1)}{2} \mu_i^{\alpha-2} \sigma_i^2 + \alpha \varepsilon \mu_i^{\alpha-1} \sigma_i \right]^{1/\alpha} = Q_i \quad (64)$$

ή γιά $\alpha=2$

$$\left[\mu_i^2 + \sigma_i^2 + 2\varepsilon \mu_i \sigma_i \right]^{1/2} = Q_i \quad (65)$$

Οι έξισώσεις (62) καί (63) αν λάβουμε υπόψη καί τίσ (64), (65) γίνονται

$$h = \sum K_i Q_i^{\alpha} \quad (66)$$

($i=1, \dots, n$)

$$\text{ή γιά } \alpha=2,0 \quad h = \sum K_i Q_i^2 \quad (67)$$

($i=1, \dots, n$)

Στίς πιο πάνω έξισώσεις υπενθυμίζουμε ότι:

$\varepsilon =$ τυποποιημένη τυχάια μεταβλητή κανονικής κατανομής

$\alpha = 1,76$ περίπου έως $2,00$

$\mu_i, \sigma_i =$ μέση τιμή καί τυπική απόκλιση τής παροχής στόν κλάδο i που υπολογίζονται εφαρμόζοντας τίς σχέσεις (3) καί

(4)

5.4. Οἱ " ιδεατές παροχές" σχεδιασμοῦ

Πιο πάνω στὶς σχέσεις (64) καὶ (65) ὀνομάσαμε μὲ Q_i μιὰ ποσότητα μὲ διαστάσεις παροχῆς.

Τὸ μέγεθος αὐτὸ ἀπὸ δῶ καὶ πέρα θὰ τὸ ὀνομάζουμε "ἰ δ ε - τ ῆ π α ρ ο χ ῆ" τοῦ κλάδου ἢ τοῦ τμήματος τοῦ ἀγωγοῦ μεταφορᾶς.

Εἶναι φανερό ὅτι ἂν θεωρήσουμε τίς πιο πάνω "ιδεατές παροχές" σὰν παροχές σχεδιασμοῦ, θὰ ἰσχύουν οἱ ἐξισώσεις (62) ἢ (63) καὶ κατὰ συνέπεια θὰ καλύπτονται οἱ ἀπαιτήσεις γιὰ τὴ διατήρηση μιᾶς ἐλάχιστης ποιότητας λειτουργίας φ σέ κάθε γραμμὴ μεταφορᾶς. Σχετικὰ παρατηροῦμε ὅτι οἱ ἰδεατές παροχές δέν ἐκπληρώνουν τὸ νόμο τῆς συνέχειας καὶ ἐπομένως τὸ ἀλγεβρικό τους ἄθροισμα σέ κάθε κόμβο (ὅπου θεωρεῖται θετικὴ ἢ προσερχόμενη παροχὴ καὶ ἀρνητικὴ ἢ ἀπερχόμενη) δέν θὰ εἶναι μηδέν.

Ἐδῶ κάνουμε μιὰ διευκρίνιση σχετικὰ μὲ τὸν ἀγωγὸ τελευταίας τάξεως πού ἀνήκει σέ μιὰ ἐξεταζόμενη γραμμὴ μεταφορᾶς, καὶ ἐξυπηρετεῖ λιγότερα ἀπὸ 10 ἢ 12 στόμια ὑδροληψίας. Στὴν περίπτωση αὐτὴ οἱ ἰδεατές παροχές Q_i γιὰ τὸ σχεδιασμὸ τοῦ ἀγωγοῦ τελευταίας τάξεως προκύπτουν ἀπὸ τὴν ἄθροιση τῶν παροχῶν πού δίνουν τὰ θεωρούμενα στὸν κλάδο ἀνοιχτὰ στόμια, τὰ ὁποῖα καθορίζονται μὲ σχετικὲς ὁδηγίες τοῦ κεφαλαίου 6.

Ἐπανερχόμενοι στὶς τιμές πού δίδουν οἱ σχέσεις (64) καὶ (65) εἶναι εὐκόλο νὰ διαπιστώσουμε ὅτι αὐτές βρίσκονται πολὺ κοντὰ καὶ ἔτσι γιὰ τὸν ὑπολογισμὸ τῆς "ιδεατῆς παροχῆς" θὰ εἶναι δυνατό νὰ χρησιμοποιοῦμε πάντοτε τὴν σχέσιν (64).

Πράγματι οἱ σχέσεις (64) καὶ (65) μποροῦν νὰ πάρουν τὴν ἑξῆς μορφή ἀντίστοιχα.

$$\left[(\mu_i^\alpha + \frac{\alpha(\alpha-1)}{2} \mu_i^{\alpha-2} \sigma_i^2 + \alpha \epsilon \mu_i^{\alpha-1} \sigma_i) \right]^{1/\alpha} \approx$$

$$\approx \left[(\mu_i + \epsilon \sigma_i)^\alpha - \frac{\alpha(\alpha-1)}{2} \mu_i^{\alpha-2} \sigma_i^2 (\epsilon^2 - 1) \right]^{1/\alpha} \quad (67\alpha)$$

$$\text{καὶ} \left[(\mu_i^2 + \sigma_i^2 + 2\epsilon \mu_i \sigma_i) \right]^{1/2} = \left[(\mu_i + \epsilon \sigma_i)^2 - \sigma_i^2 (\epsilon^2 - 1) \right]^{1/2} \quad (67\beta)$$

Στή σχέση (67α) παρατηροῦμε ὅτι ὁ δεύτερος ὄρος μέσα στήν ἀγκύλη εἶναι πολύ μικρός σέ σύγκριση μέ τόν πρῶτο ὄρο στήν ἑ-
δια ἀγκύλη.

$$\text{Ἔτσι ἂν θέσουμε } \lambda = \frac{\frac{\alpha(\alpha-1)}{2} \mu_i^{\alpha-2} \sigma_i^2 (\epsilon^2 - 1)}{(\mu_i + \frac{\alpha(\alpha-1)}{2} \mu_i^{\alpha-2} \sigma_i^2 \epsilon^2 + \alpha \mu_i^{\alpha-1} \sigma_i \epsilon)}$$

$$= \frac{\frac{\alpha(\alpha-1)}{2} C_V^2 (\epsilon^2 - 1)}{1 + \frac{\alpha(\alpha-1)}{2} C_V^2 \epsilon^2 + \alpha \epsilon C_V} \quad (67\gamma)$$

Ἀπό αὐτή τή σχέση (67γ) προκύπτουν οἱ ἑξῆς τιμές

Γιά $\alpha=1,76$ καί $C_V=0,45$, $\epsilon=1,28$ τό $\lambda = 0,0387$

" " " $\epsilon=1,65$ " $\lambda = 0,087$

$C_V=0,10$ $\epsilon=1,28$ " $\lambda = 0,0035$

" " $\epsilon=1,65$ " $\lambda = 0,0088$

Γιά $\alpha=2,0$ καί $C_V=0,45$, $1,28$ " $\lambda = 0,052$

" " $1,65$ " $\lambda = 0,115$

$C_V=0,10$ $1,28$ " $\lambda = 0,005$

" " $1,65$ " $\lambda = 0,0107$

Προκύπτει ἔτσι ὅτι ἀκόμα καί στή δυσμενέστερη περίπτω-
ση ὅπου $C_V=0,45$, πού πραγματοποιεῖται γιά ἀγωγούς τελευταίας
τάξεως μέ $R=10$, ἂν παραλείψουμε τό δεύτερο ὄρο στήν ἀγκύλη

των εξισώσεων (67α) και (67β) θα προκύψει ότι γενικά θα είναι:

$$(\mu_i + \epsilon \sigma_i) \geq \left[\mu_i^\alpha + \frac{\alpha(\alpha-1)}{2} \mu_i^{\alpha-2} \sigma_i^2 + \alpha \epsilon \mu_i^{\alpha-1} \sigma_i \right]^{1/\alpha} \geq \left[0,913(\mu_i + \epsilon \sigma_i)^\alpha \right]^{1/\alpha} \approx 0,95(\mu_i + \epsilon \sigma_i) \quad \text{καί για } \alpha = 2,0$$

$$(\mu_i + \epsilon \sigma_i) = \left[\mu_i^2 + \sigma_i^2 + 2\epsilon \mu_i \sigma_i \right]^{1/2} = \left[0,885(\mu_i + \epsilon \sigma_i)^2 \right]^{1/2} \approx 0,94(\mu_i + \epsilon \sigma_i).$$

Δηλαδή παρατηρούμε ότι οι τιμές που δίδουν οι εξισώσεις (64) και (65) είναι πολύ κοντά. Μάλιστα όσο μικραίνει τη τιμή του συντελεστού μεταβολής C_v τόσο οι τιμές των ιδεατών παροχών πλησιάζουν τις παροχές που δίδει η σχέση (2) δηλαδή $Q_i = \mu_i + \epsilon \sigma_i$.

Τη σύμπτωση σχεδόν των παροχών που δίδουν οι σχέσεις (64) και (65) μπορούμε να τη δούμε και στα αριθμητικά αποτελέσματα του παραδείγματος 9.2 όπου μάλιστα παρατίθενται και οι τιμές $Q_i = \mu_i + \epsilon \sigma_i$ που δίδει η σχέση (2) του R. Clement ώστε να καταφανεί η μεγάλη προσέγγιση που πραγματοποιείται στις Q_i της σχέσης (2) και της (65) όσο αυξάνει ο αριθμός των στομίων R που εξυπηρετούνται από τον κλάδο i και επομένως μικραίνει η τιμή του συντελεστού C_v .

Έτσι τελικά ως "ιδεατή παροχή" σχεδιασμού λαμβάνεται η

$$Q_i = (\mu_i^2 + \sigma_i^2 + 2\epsilon \mu_i \sigma_i)^{1/2} \quad \text{ή} \quad Q_i = \mu_i (1 + C_{vi}^2 + 2\epsilon C_{vi}) \quad (68)$$

όπου C_{vi} = συντελεστής μεταβολής των παροχών στον κλάδο i.

Επειδή το $\frac{\sigma_i^2}{\mu_i^2}$ είναι πολύ μικρό σε σύγκριση με την όλη Q_i , ιδίως όταν ο κλάδος εξυπηρετεί αρκετά στόμια μπορούμε να θέσουμε $Q_i \approx \mu_i (1 + 2\epsilon C_{vi})^{1/2}$ (69)

Αυτό είναι μάλλον σκόπιμο τις περισσότερες φορές στις εφαρμογές γιατί όπως είπαμε ήδη οι ιδεατές παροχές της σχέσεως (68) δίδουν ένα μικρό ποσοστό αύξημένης απώλειας φορτίου.

5.5. Τελική κατάληξη για τό σχεδιασμό

Καταλήγουμε λοιπόν στο έξης συμπέρασμα μετά από όλη την πιο πάνω έπεξεργασία του προβλήματος.

" Για να σχεδιάσουμε ένα υπό πίεση άκτινωτό δίκτυο αρ - δεύσεως εξασφαλίζοντας σ' αυτό όμοιόμορφα μιά έπιθυμητή ποιότητα λειτουργίας φ , θά πρέπει να υπολογίσουμε τις απώλειές του κατά μήκος όλων των γραμμών μεταφοράς με ιδεατές παροχές:

$$Q_i = \bar{Q}_i \cdot \rho_i \quad (70)$$

όπου

$\bar{Q}_i = \mu_i =$ ή μέση τιμή της παροχής στον κλάδο ή τό τμήμα i μιάς γραμμής μεταφοράς.

καί

$$\rho_i = (1 + C_{vi}^2 + 2\epsilon C_{vi})^{1/2} \approx (1 + 2\epsilon C_{vi})^{1/2} \quad (71)$$

ή

$$Q_i = (\mu_i^2 + \sigma_i^2 + 2\epsilon \mu_i \sigma_i)^{1/2} \approx (\mu_i^2 + 2\epsilon \mu_i \sigma_i)^{1/2} \quad (71a)$$

ύπενθυμίζουμε ότι $C_{vi} =$ συντελεστής μεταβολής των παροχών στον κλάδο $i = \sigma_i / \mu_i$

$\epsilon =$ Η τιμή της τυποποιημένης τυχαίας μεταβλητής κανονικής κατανομής που αντίστοιχεύει στην έπιθυμητή στάθμη πιθανότητας φ . Ο μελετητής μηχανικός ένδεχομένως για ύψηλές τιμές της φ , π.χ. $\varphi = 0,99$ μπορεί κατά την έκτίμησή του να αύξησει κατά ένα μικρό ποσοστό την τιμή της ϵ , π.χ. σε $\epsilon = 2,40$. Επίσης για τιμές $\varphi < 0,90$ μπορεί να τη

μειώσει κατά μικρό ποσοστό.
Πάντως έπειδή ή έπιρροή αυτή στην
όλη τιμή του h θα είναι μικρή, προ-
τείνεται για τά συνηθισμένα όρια
της φ των έφαρμογών να μή γίνεται
καμμιά μεταβολή στο ε .

Τελικά βλέπουμε ότι οι έξιλώσεις (66) ή (67) δηλ. $h = \Sigma K_i Q_i^{\alpha}$ ή
 $\Sigma K_i Q_i^2$ και οι έξιλώσεις (70) και (71) ή (71α) προσδιορίζουν
άκριβως εκείνες τις άπώλειες φορτίου (μέ έφαρμογή κατάλληλων
παροχών σχεδιασμού) που αντίστοιχοϋν σε μία ποιότητα λειτουρ-
γίας φ του δικτύου. Έτσι έπιλύεται άπλά και γρήγορα τό πρό-
βλημα που ύπήρχε μέχρι σήμερα για τόν σωστό σχεδιασμό ενός
ύπό πίεση άρδευτικού δικτύου .

Παρατηρούμε πάντως, ότι για τόν άγωγο τελευταίας τάξεως
οι ιδεατές παροχές όταν τά στόμια $R < 10$ ή 12 θα ύπολογίζονται
μέ τις όδηγίες του κεφαλαίου 6.

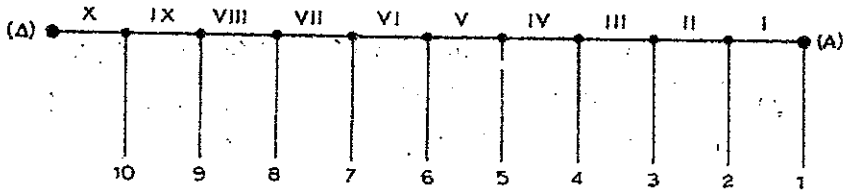
Στήν συνέχεια και πριν κλείσουμε τοϋτο τό κεφάλαιο για
νά δοϋμε τά άποτελέσματα που προκύπτουν από τήν έφαρμογή των
έξιλώσεων (66) ή (67) και (70) ή (71), ή (71α) δίδουμε τό πα-
ράδειγμα 5.1 στο όποιο έξάγουμε σχετικά άποτελέσματα και τά
συγκρίνουμε μέ τά άποτελέσματα που προέκυψαν από σχετική έξο-
μοίωση [19] του άγωγού του ύδρου παραδείγματος.

Βλέπουμε πάντως ότι τά άποτελέσματα που προκύπτουν από
τά παραδείγματα 5.1 και 5.2 είναι πάρα πολύ ίκανοποιητικά και
δικαιολογοϋν άπόλυτα τις γενόμενες παραδοχές και προσεγγύσεις.

Παράδειγμα 5.1.

Για τό δίκτυο (γραμμή μεταφοράς Δ-Α) του σχήματος 5.1
που άποτελεζεται από ένα άγωγο μέ δέκα τμήματα I, II, X

καί έξυπηρετεῖ δέκα άγωγούς τελευταίας τάξεως όδόνται τά πιό κάτω στοιχεῖα:



Σχήμα 5.1

Βαθμός έλευθερίας $B = 2,60$

$$P = \frac{1}{B} = 0,385$$

Γιά τους άγωγούς τελευταίας τάξεως 1,3,6,7 καί 9:

$$q_0 = 13 \lambda/\delta\lambda, \mu = 50 \lambda/\delta\lambda, \sigma = 20 \lambda/\delta\lambda$$

Γιά τους άγωγούς τελευταίας τάξεως 2,4,5,8 καί 10:

$$q_0 = 7,80 \lambda/\delta\lambda, \mu = 30 \lambda/\delta\lambda, \sigma = 12 \lambda/\delta\lambda$$

"Αρα για τις τιμές των μ καί σ σε $\lambda/\delta\lambda$ των τμημάτων I, II, X θα έχουμε:

$$\mu_1 = 50 \quad \mu_2 = 80 \quad \mu_3 = 130 \quad \mu_4 = 160 \quad \mu_5 = 190 \quad \mu_6 = 240 \quad \mu_7 = 290$$

$$\mu_8 = 320 \quad \mu_9 = 370 \quad \mu_{10} = 400$$

$$\sigma_1 = 20 \quad \sigma_2 = 23,32 \quad \sigma_3 = 30,72 \quad \sigma_4 = 32,98 \quad \sigma_5 = 35,10 \quad \sigma_6 = 40,40$$

$$\sigma_7 = 45,08 \quad \sigma_8 = 46,65 \quad \sigma_9 = 50,75 \quad \sigma_{10} = 52,15$$

Στή συνέχεια βρίσκουμε τις τιμές των ιδεατών παροχών σε $\lambda/\delta\lambda$ για τα τμήματα I,.....,X με την έφαρμογή της σχέσεως(71α)

$$Q_{i_1} = \left[\mu_1^2 + \sigma_1^2 + 2\epsilon\mu_1\sigma_1 \right]^{1/2} \quad \text{για } \varphi=0,95 \text{ δηλαδή με } \epsilon=1,65 \text{ όποτε:}$$

$$Q_1=78,74 \quad Q_2=114,46 \quad Q_3=176,13 \quad Q_4=210,00 \quad Q_5=243,60$$

$$Q_6=302,04 \quad Q_7=359,55 \quad Q_8=392,22 \quad Q_9=448,82 \quad Q_{10}=481,20$$

Υποθέτοντας ότι $h = \sum K_i Q_i^2$ και λαμβάνοντας υπόψη τις εξής τιμές για τις διαμέτρους D σε χλστ. τὰ μήκη L σε μέτρα. και κατά συνέπεια του K (σε $\delta\lambda^2 \cdot \mu^{-5}$ με τιμή $n = 0,0115$)

Τμήμα	I	II	III	IV	V	VI	VII	VIII	IX	X
D	250	300	350	400	450	500	500	600	600	600
L	180	180	180	220	300	300	180	360	300	240
K	400,0	151,0	64,0	39,0	29,0	16,2	9,8	7,4	6,2	4,9

Καταλήγουμε σε συνολική απώλεια $h=16,15$ μετρ. ($\varphi=0,95$)

Χρησιμοποιώντας την προσεγγιστική έκφραση της σχέσεως (71α) $Q_{i_1} = (\mu^2 + 2\epsilon\mu\sigma_1)^{1/2}$ προκύπτει για την ίδια πύξ πάνω γραμμή μεταφορᾶς (Δ-Α) $h = 15,63$ μετρ.

Με τὰ ίδια πύξ πάνω δεδομένα αλλά με $\varphi=0,90$ προκύπτει για $\epsilon=1,28$, $h=14,71$ ενώ για $\varphi=0,99$, $\epsilon=2,33$ και $h=18,80$

Ἡ ἔξομοίωση τῆς λειτουργίας τοῦ ὕδρου ἀγωγοῦ (γραμμῆς μεταφορᾶς) (Δ-Α) τοῦ σχήματος 5.1 ἔδωσε τὶς ἐξῆς τιμές [19], πού σημειώνουμε ἀμέσως παρακάτω, τοποθετώντας γιὰ σύγκριση καὶ τὶς τιμές πού βρήκαμε με τὴν ἐφαρμογὴ τῶν σχέσεων (67) καὶ (71α) $\varphi=0,90$ με ἔξομοίωση $h=14,10$ μ., ἐνῶ με τὴν ἐφαρμογὴ ἰδρατῶν παροχῶν $h = 14,71$

$\varphi=0,95$ με ἔξομοίωση $h=15,40$ μ. ἐνῶ με τὴν ἐφαρμογὴ ἰδρατῶν παροχῶν $h = 16,15$ (ἢ 15,63)

$\phi=0,99$ με έξομοίωση $h=18,90\mu.$, ενώ με την εφαρμογή ύδατων παροχών $h=18,80$

Βλέπουμε έτσι πράγματι μιά πάρα πολύ ικανοποιητική προσέγγιση των αποτελεσμάτων της έξομοίωσης με τά αποτελέσματα που δίδει η μέθοδος εφαρμογής "ύδατων παροχών".

Γιά τό συγκεκριμένο παράδειγμα του σχήματος 5.1, υποθέτοντας σάν $K_1=400$ (δηλαδή τό K του άγωγού 1 τελευταίας τάξεως) βρύσεται ότι $S/S'=0,90$. Συνήθως όμως τό K_1 είναι πάντοτε άρκετά μεγαλύτερο γιατί οί διάμετροι του άγωγού τελευταίας τάξεως είναι μικρότερες και έτσι στίς εφαρμογές τό S/S' αύξάνει σημαντικά.

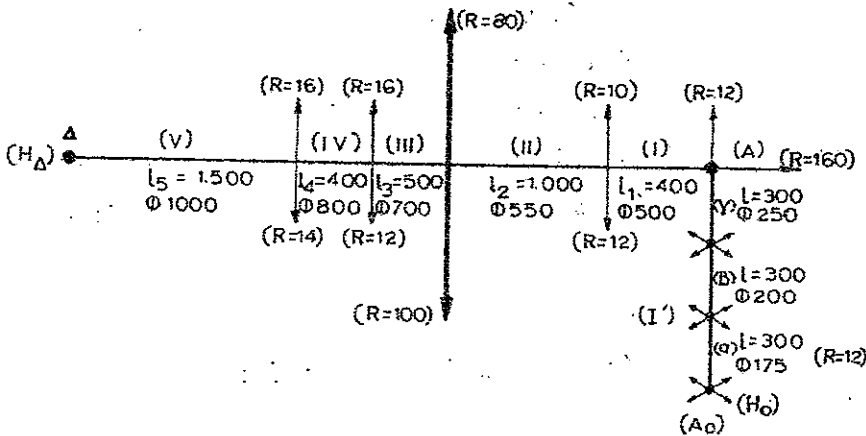
Είναι εύκολο με κάποια λογική αύξηση του K_1 νά βρούμε εύκολα ότι ο λόγος S/S' στην ύδια περίπτωση σχεδόν πλησιάζει τή μονάδα.

Έτσι προκύπτει ότι με τίς άπλοποιημένες προσεγγιστικές έξισώσεις (66) ή (67) και (71) ή (71α) προκύπτουν τά ύδια αποτελέσματα σχεδόν που δίδουν οί άπόλυτα σωστές (16), (19) και (27) ή ακόμα και οί (35) ή (36).

Παράδειγμα 5.2

Στό πιο κάτω σχήμα 5.2 σημειώνεται μιά γραμμή μεταφοράς ($\Delta-A-A_0$). Η γραμμή μεταφοράς αυτή δέν έξυπηρετεί άγωγούς μόνο τελευταίας τάξεως όπως στο προηγούμενο παράδειγμα 5.1 αλλά τροφοδοτεί και άγωγούς με σημαντικές παροχές. Επίσης τά μήκη των διαφόρων τμημάτων του άγωγού μεταφοράς διαφέρουν σημαντικά μεταξύ τους και τό πέρας της γραμμής μεταφοράς καταλήγει σ' ένα άγωγό τελευταίας τάξεως με 12 στόμια ύδροληψίας όπως περίπου συμβαίνει στίς εφαρμογές.

Μέσα σέ παρενθέσεις στό σχήμα 5.2 δίδουμε μέ τήν ένδειξη R τόν άριθμό τών στομίων πού έξυπηρετεῖ κάθε πλευρική παροχή, πού έξυπηρετεῖται άπό τή γραμμή μεταφορᾶς, έκτός άπό τόν άγωγό τελευταίας τάξεως $A-A_0$ στόν όποῖο σημειώνονται λεπτομερικᾶ τά 12 στόμια.



Σχήμα 5.2

Γίνεται δεκτό ότι $B=3,00$, $p=\frac{1}{3}$, $q_0=6,0$ λ/δλ, $\varphi=0,95$ ό -
 πότε μέ $\epsilon=1,65$ ύπολογίζουμε τς μέσες τιμές μ_i καύ τς
 τυπικές άποκλίσεις σ_i σέ λ/δλ τών παροχών στά τμήματα I, \dots, V
 τοῦ τμήματος $(\Delta-A)$ τής γραμμής μεταφορᾶς δηλαδή:

$$\mu_1=368 \quad \mu_2=412 \quad \mu_3=772 \quad \mu_4=828 \quad \mu_5=888$$

$$\sigma_1=36,36 \quad \sigma_2=40,6 \quad \sigma_3=55,57 \quad \sigma_4=57,55 \quad \sigma_5=59,6$$

Γιά τόν άγωγό τελευταίας τάξεως ύπολογίζουμε στήν κεφαλή
 του (τμήμα γ) $\mu'_1=24,0$, $\sigma'_1=9,8$ λ/δλ.

Έφαρμόζοντας τς όδηγίες τοῦ κεφαλαίου 6 βρίσκουμε γιά
 τά τμήματα (α) , (β) , (γ) τοῦ άγωγοῦ τελευταίας τάξεως $(A-A_0)$

η (I') τής έξης τιμές $Q_{1\alpha} = 18 \delta/\delta\lambda$. $Q_{1\beta} = 30 \lambda/\delta\lambda$ καί $Q_{1\gamma} = 40,17 \lambda/\delta\lambda$ (η δυσμενέστερα $42 \lambda/\delta\lambda$).

Γιά τόν άγωγό τελευταίας τάξεως (A-A₀) προτιμάμε νά δώσουμε μιά άνηγμένη τιμή K'_1 για όλα τά μμήματα του (α), (β) καί (γ),

$$\text{τήν } K'_1 = \frac{1}{49} \left[9 \cdot K_{1\alpha} + 25K_{1\beta} + 49K_{1\gamma} \right] = 2595 \text{ όπου δεχθήκαμε } K_{1\alpha} = 4452$$

$K_{1\beta} = 2184$ $K_{1\gamma} = 663$ καί άνοιχτά στόμια στα τμήματα (α), (β), (γ) αντίστοιχα 3,5 καί 7, υποθέτοντας έπί πλέον ότι

$$K = 10,3 \cdot n^2 \cdot D^{-16/3} \cdot L.$$

Έτσι καταλήξαμε νά έχουμε άντί τής γραμμής μεταφοράς Δ-A-A₀ μέ όκτώ τμήματα, μιά γραμμή πάλι Δ=A-A₀ αλλά μέ έξη τμήματα I', I,, V στην όποία άντιστοιχοϋν τά παρακάτω στοιχεΐα

Τμήμα	Παροχή (λ/δλ) Κατά Clement	Τιμή ² του $\frac{K}{\delta\lambda \cdot \mu^5}$
I'	40,17 (η 42)	2595,00
I	431,29	22,00
II	479,00	33,00
III	863,69	4,55
IV	922,96	1,80
V	986,34	2,05

Εφαρμόζοντας τή σχέση [19] για $\alpha=2$ βρίσκουμε ότι

$$\mu m = \sum K_i (\mu_i^2 + \sigma_i^2) = 15,99 \text{ μετρο.}$$

καί από τή σχέση (28) έπίσης βρίσκουμε

$$S^2 = 4 \left[\sum (K_i \mu_i \sigma_i)^2 + 2 \sum_{j>i} K_i K_j \mu_i \mu_j \sigma_i^2 \sigma_j^2 + \frac{1}{2} \sum_{j>i} (K_i^2 \sigma_i^4 + K_i K_j \sigma_i^4) \right]$$

$$\text{όπότε } \Sigma(K_i \mu_i \sigma_i)^2 + 2 \Sigma_{i < j} K_i K_j \mu_i \mu_j \sigma_i^2 = 2,046$$

$$\frac{1}{2} \left[\Sigma K_i^2 \sigma_i^4 + \Sigma_{i < j} K_i K_j \sigma_i^4 \right] = 3,61 \times 10^{-3}$$

Από τὰ παραπάνω ἀποτελέσματα φαίνεται ἡ ἀσήμαντη ἐπιρροή τοῦ παραλειπόμενου ὄρου στήν ἐξίσωση (28) $B = \frac{1}{2} (\Sigma K_i^2 \sigma_i^4 + \Sigma_{i < j} K_i K_j \sigma_i^4)$.

Ἡ παράλειψη τοῦ ὄρου αὐτοῦ μειώνει τήν τιμή τοῦ S μόνο κατά 0,80/οο.

Ἄν λάβουμε ὑπόψη μετά ὅτι $S^2 = \Sigma (K_i \mu_i \sigma_i)^2$ θά ἔχουμε:

$$S = 2(2,046)^{1/2} = 2,861$$

$$S' = 2 \times 1,857 = 3,714$$

$$\eta^{S/S'} = 0,77 \text{ καί } g(\hat{y}) = (S/S')^2 = 0,593$$

$$\text{Ἐπειδή ὁμως } \frac{\epsilon S'}{h} = \frac{1,65 \times 3,714}{15,993 + 1,65 \times 3,714} = 0,277 (\approx 0,28)$$

δηλαδή ἡ ποσοστιαία συμμετοχή τοῦ ὄρου $\epsilon S'$ στό ὅλο h μικραίνει σημαντικά (ὅπως γράφτηκε στήν προηγούμενη παράγραφο 5.1 ε καί στήν ἀρχή τῆς παρούσας) παρ' ὅλο πού ἡ τιμή τοῦ λόγου S/S' ἢ ἀντίστοιχα τῆς $g(\hat{y}) = (S/S')^2$ ξεφεύγει κάπως ἀπό τὰ συνηθισμένα περιθώρια διακυμάνσεως πού δεχθήκαμε, ἐντούτοις μέτῃν ἐφαρμογή τῆς προσεγγιστικῆς (67) καί (71α) ἡ τιμή τοῦ h δέν ξεφεύγει τελικά ἀπό τὰ περιθώρια πού προσδιορίσαμε γιά τή διακύμανσή της.

Ἔτσι ἡ τιμή τοῦ $h = m + \epsilon \cdot S' = 22,12$ μέτρα, ἐνώ ἡ σωστή τιμή $h = m + \epsilon \cdot S = 21,28$ μ. ὅπου πάρθηκε $\epsilon = 1,85$, δηλαδή ἡ αὔξηση τοῦ h εἶναι τελικά μέ τὺς προσεγγύστικες σχέσεις (67) καί (71α) μόνο 3,95% πού σημαίνει ὅτι βρῖσκεται μέσα στά ὅρια 8 ἕως 10%

πού δεχθήκαμε ότι κυμαίνεται στις συνηθισμένες περιπτώσεις εφαρμογών.

Επίσης από το παραπάνω αριθμητικό παράδειγμα προκύπτει ότι όρθα έχει μειωθεί ή τιμή του u σε $u' = \varepsilon = 1,65$, στην περίπτωση που χρησιμοποιούμε αντί της S την S' . Μάλιστα, ίσως θα έπρεπε σε πολλές περιπτώσεις να μειωθεί και περισσότερο αλλά με αυτό δεν κερδίζουμε παρά μικρό ποσοστό απώλειας και μόνο σε όρισμένες περιπτώσεις, ενώ σε άλλες ίσως θα έπρεπε να αυξηθεί όπως, π.χ. σε μεγάλες ποιότητες λειτουργίας $\varphi = 0,99$ κλπ.

Έτσι, επειδή με τις τιμές u ε καλύπτουμε ένα μέσο όρο τιμών εφαρμογής της $u' = u \cdot \frac{S}{S'}$ για τις διάφορες γραμμές μεταφοράς και διάφορες τιμές της ποιότητας λειτουργίας, δεχόμαστε πάντοτε σαν σωστή την αποδοχή της $u' = \varepsilon$.

Επίσης επισημαίνουμε ότι η παράλειψη των δύο όρων της εξίσωσης (28) $\frac{1}{2}(\sum K_i^2 \sigma_i^4 + 2\sum K_i K_j \sigma_i^4)$ είναι απόλυτα δικαιολογημένη επειδή το μέγεθός τους είναι ασήμαντο.

6. Ο ΑΓΩΓΟΣ ΤΕΛΕΥΤΑΙΑΣ ΤΑΞΕΩΣ ΚΑΙ Η ΕΞΟΜΙΩΣΗ ΤΗΣ ΛΕΙΤΟΥΡΓΙΑΣ ΤΟΥ.

Ο σχεδιασμός των άγωγών τελευταίας τάξεως με τις άποδεκτές σήμερα δυσμενείς παραδοχές ύπολογισμού, είναι ένα θέμα πού φαίνεται κατ' άρχή ότι δέν είναι δυνατό νά δημιουργήσει σοβαρό ύπερσχεδιασμό στο όλο δίκτυο καί έτσι αντιμετωπίζεται συνήθως, ένω κανονικά θά πρέπει νά εξετάζεται με ιδιαίτερη προσοχή καί πάντοτε μέσα στα πλαίσια των γενικών παραδοχών ύπολογισμού, γιατί τό μήκος των άγωγών τελευταίας τάξεως είναι κατά κανόνα πολύ μεγάλο σε σύγκριση με τό υπόλοιπο δίκτυο.

Βέβαια πολλές φορές διατυπώνονται άπόψεις όπως, π.χ. ότι ό πραγματοποιούμενος ύπερσχεδιασμός είναι καί έπιθυμητός καί σκόπιμος, διότι ή πραγματοποιούμενη αντίστοιχη αύξηση τής ποιότητας λειτουργίας στους άγωγούς τελευταίας τάξεως καλύπτει άπρόβλεπτους παράγοντες.

Νομίζουμε όμως, ότι καί αν άκόμη ύπάρχουν άστάθμητοι παράγοντες για τους όποιους θά πρέπει νά γίνεται ύπερσχεδιασμός των άγωγών τελευταίας τάξεως, θά ήταν άπόλυτα σωστό νά γνωρίζουμε κατ' άρχή άκριβώς ή με ίκανοποιητική προσέγγιση τις παραδοχές καί τά άποτελέσματα ενός σωστού σχεδιασμού. "Ετσι θά ήταν δυνατό ό σχεδιασμός των άγωγών τελευταίας τάξεως νά γίνει μέσα στα πλαίσια των γενικών παραδοχών με τις όποιες ύπολογίζεται τό όλο δίκτυο καί έπομένως νά διατηρεϊται καί σ' αυτούς ή ύδια (ή περίπου ή ύδια) ποιότητα λειτουργίας με την όποία σχεδιάζεται καί τό υπόλοιπο δίκτυο.

Εάν βέβαια στη συνέχεια θέλουμε νά αύξήσουμε την ποιότητα λειτουργίας των άγωγών τελευταίας τάξεως για όποιοδήποτε

λόγο, μπορούμε να το κάνουμε αλλά τουλάχιστον να γνωρίζουμε από ποιά βάση θα ξεκινήσουμε και ποιά θα είναι το ποσοστό αύξησης που ένδεχόμενα θα δεχθούμε. Σχετικά με τα ποσοστά συμμετοχής του μήκους του πρωτεύοντος, δευτερεύοντος και τριτεύοντος δικτύου σε σχέση με το συνολικό μήκος του όλου δικτύου, δίδουμε όρισμένα στοιχεία που προέκυψαν από διάφορες έκπονη-θεϊσες μελέτες, θεωρώντας αυτά σά μέσα στατιστικά στοιχεία.

- Τριτεύον δίκτυο	περίπου	58	έως	78%	M.O.	68%
- Δευτερεύον	"	"	15	"	30%	" 22%
- Πρωτεύον	"	"	7	"	12%	" <u>10%</u>
"Αθροισμα						100%

Επίσης δίδονται πιο κάτω όρισμένα μέσα ένδεικτικά στοιχεία από οικονομικής απόψεως, σε ποσοστά στις εκατό της δαπάνης κατασκευής διαφόρων δικτύων που έξετάσθηκαν, δηλαδή:

- Τριτεύον δίκτυο	περίπου	45%	(κατά μέσο όρο)
- Δευτερεύον	"	"	25%
- Πρωτεύον	"	"	<u>30%</u>
"Αθροισμα			100%

Τά πιο πάνω στοιχεία δικαιολογούν τή λεπτομερέστερη εξέταση του προβλήματος σχεδιασμού των άγωγών τελευταίας τάξεως.

Η μέχρι τώρα εφαρμοζόμενη τακτική είναι ή επίβαρυνση των άγωγών τελευταίας τάξεως τόσο με επί πλέον παροχή όσο και με δυσμενή συγκέντρωσή της στα τέρματά τους, Έτσι έχουμε παρατηρήσει ότι ό υπερσχεδιασμός από πλευράς δαπάνης είναι σε πολλές περιπτώσεις πολύ σημαντικός.

Όπως αναφέρθηκε όμως σχετικά και στην είσαγωγή (Κεφ.1)

στη χώρα μας μέ οδηγίες του 'Υπουργείου Δημοσίων Έργων [16] σ' ένα άγωγό τελευταίας τάξεως πρέπει νά δεχόμαστε πάντοτε τήν ταυτόχρονη λειτουργία τούλάχιστον δώδεκα στομιών έφόσον $R > 12$ ένω για $R \leq 12$ θεωρούμε ότι $N = R$. Για τίς περιπτώσεις μάλιστα που είναι συνηθισμένες στις έφαρμογές καταλήγουμε σχεδόν πάντοτε νά θεωρούμε ότι είναι άνοιχτά όλα τά στόμια και συγκεντρωμένα μάλιστα στό τέρμα του άγωγού, Αυτό είναι εύλογο γιατί τό πλήθος τών στομιών δέν ξεπερνά εύκολα τόν αριθμό $R = 20$ συνήθως και μάλιστα αν λάβουμε υπόψη ότι για πιθανότητες $p = \frac{1}{3}$ έως $\frac{2}{3}$ σπάνια προκύπτει αριθμός άνοιχτών στομιών N μεγαλύτερες τών δώδεκα.

Τελευταία προτείνεται [19] όπως ή ζητούμενη παροχή από ένα άγωγό τελευταίας τάξεως κατανέμεται στα πλέον άπομακρυσμένα στόμια του άγωγού και μέ όμοιο τρόπο που κατανέμεται ή μέγιστη ζητούμενη παροχή ή οποία αντίστοιχεύ στήν έπιθυμητή ποιότητα λειτουργίας μ . Όπως θα δούμε όμως και σε συγκεκριμένα παραδείγματα μέ αυτό τόν τρόπο, προκύπτουν βέβαια λογικότερα άποτελέσματα αλλά πάλι δέν άποφεύγεται ένας σχετικά σημαντικός υπερσχεδιασμός.

Γίνεται φανερό από τά πιο πάνω, που αναφέρονται σε όσα έφαρμόζονται ή προτείνονται για έφαρμογή μέχρι σήμερα, ότι χωρίς να μειωθεί καθόλου ή ποιότητα λειτουργίας του άγωγού τελευταίας τάξεως κάτω από τήν έπιθυμητή, είναι δυνατό νά μειώσουμε τόσο τόν αριθμό τών θεωρούμενων σαν άνοιχτών στομιών όσο και νά άποφυύγουμε τή συγκέντρωσή τους στο πέρας του άγωγού.

"Ετσι, αν πετύχουμε, τόν όρισμένο αριθμό N τών άνοιχτών στομιών που εύκολα υπολογίζεται, νά τόν κατανεύσουμε κατάλληλα σε κάθε έξεταζόμενη περίπτωση άγωγού τελευταίας τάξεως, ώστε νά διατηρούμε ποιότητα λειτουργίας ίση ή λογικά μεγαλύτερη

από τήν επιθυμητή, έχουμε πετύχει τό στόχο μας πού βασικά εἶναι ἡ ἐπίτευξη ἑνός πύο λογικοῦ καί σωστοῦ σχεδιασμοῦ τοῦ ἀγωγοῦ.

Πράγματι τά θεωρούμενα σάν ἀνοιχτά στόμια καθορίζουν ἕνα αἰτιολογικό (deterministic) σχῆμα ζητήσεως πού ἀντιστοιχεῖ καί καλύπτει τό πραγματικό πιθανοθεωρητικό σχῆμα λειτουργίας τοῦ ἀγωγοῦ, σ' ἕνα προκαθορισμένο ποσοστό περιπτώσεων ζητήσεως πού καθορίζεται ἀπό μιά ἀντίστοιχη προκαθορισμένη ποιότητα λειτουργίας. Φυσικά μ' αὐτό τόν τρόπο καταλήγουμε πάλινά προσδιορίζουμε γιά κάθε τμήμα τοῦ ἀγωγοῦ τελευταίας τάξεως μιά " ἰδεατή παροχή" πού προκύπτει ἀπό τό πλῆθος τῶν θεωρούμενων ἀνοιχτῶν στομίων κατάντη τοῦ ἐξεταζομένου τμήματος.

Στή συνέχεια ἐξετάζουμε διάφορες περιπτώσεις ἀγωγῶν τελευταίας τάξεως μέ 1,2,3,4,5 καί 10 στόμια μέ γενικό τρόπο ἢ μέ ἐξομοίωση τῆς λειτουργίας κάποιου συγκεκριμένου ἀγωγοῦ ὥστε νά πάρουμε ἀποτελέσματα σχετικά μέ τήν κατανομή τῆς ἀπώλειας φορτίου. Κατ' αὐτό τόν τρόπο μπορούμε νά συγκρίνουμε τήν ἀπώλεια φορτίου πού ἀντιστοιχεῖ σέ μιά στάθμη πιθανότητας (ποιότητας λειτουργίας), μέ τήν ἀπώλεια φορτίου πού προκύπτει γιά μιά κατάλληλη τοποθέτηση τῶν ἀνοιχτῶν στομίων ἐπάνω στήν ἀγωγή τελευταίας τάξεως καί κατὰ συνέπεια μέ τίς ἀντίστοιχες ἰδεατές παροχές. Ὅπως εἶδαμε στό προηγούμενο κεφάλαιο τό θέμα αὐτό τῆς ἐφαρμογῆς " ἰδεατῶν παροχῶν" τό ἔχουμε γενικεύσει σ' ὅλες τίς γραμμές μεταφορᾶς πού ἐξυπηρετοῦν ἕνα πλῆθος στομίων μεγαλύτερο ἀπό 10 ἕως 12.

Οἱ σχέσεις (71) καί (71a) δίδουν σ' αὐτές τίς περιπτώσεις τίς ἰδεατές παροχές πού θεωρεῖται ὅτι ἀκολουθοῦν τήν κανονική κατανομή.

Γι' αὐτό ἐδῶ κυρίως θά ἀσχοληθοῦμε μέ περιπτώσεις ἀγωγῶν

πού έξυπηρετοῦν μέχρι 10 στόμια ἢ τό πολὺ 12. Γιά περισσότερα ἀπὸ 10 ἢ 12 στόμια θὰ δεχομαστε τὶς ἰδεατές παροχές τῶν προηγούμενων κεφαλαίων.

Κατ' ἀρχὴν τὸ πλῆθος τῶν ἀνοιχτῶν στομιῶν N πού ἀντιστοιχεῖ σ' ἓνα τμήμα ἀγωγοῦ τελευταίας τάξεως, τὸ ὁποῖον έξυπηρετεῖ R συνολικά στόμια προσδιορίζεται εὐκόλα ἀπὸ ἓνα πῦνακα διωνυμικῆς κατανομῆς $[9, 15]$ σέ συνάρτηση μὲ τὴν πιθανότητα P λειτουργίας κάθε στομιῦ καὶ τὴν ἐπιθυμητὴ ποιότητα λειτουργίας φ .

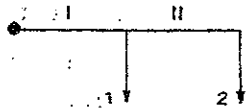
Γιά νὰ προσδιορίσουμε ὁμως ἐκείνη τὴν διάταξη τῶν ἀνοιχτῶν στομιῶν πού καλύπτει σέ κάθε περίπτωση τὴν ἀπώλεια φορτίου γιὰ στάθμη φ θὰ ἐξετάσουμε τὶς ἐξῆς μερικές ἀλλὰ ὁμως ἀρκετὰ χαρακτηριστικές περιπτώσεις.

(α) Γιά ἓνα ἀγωγὸ τελευταίας τάξεως μὲ ἓνα μόνο τμήμα πού έξυπηρετεῖ ἓνα καὶ μόνο στόμιο γιά νὰ ἐξασφαλίσουμε ποιότητες λειτουργίας πού ἐφαρμόζονται συνήθως στὰ ἀρδευτικά δίκτυα εἶναι φανερό ὅτι πρέπει νὰ θεωρήσουμε τὸ μοναδικὸ στόμιο ἀνοιχτὸ γιά ὁποιοσδήποτε τιμές τῆς πιθανότητας P . Τὸ ἴδιο μποροῦμε νὰ ποῦμε ὅταν ὁ ἀριθμὸς τῶν στομιῶν εἶναι $R=2$, οἱ τιμές τοῦ $P=\frac{1}{3}$ ἕως $\frac{2}{3}$ καὶ ἐπροτεινάμε ποιότητες λειτουργίας $\varphi \geq 0,90$ ὁπότε $N=R=2$.

Γιά μεγαλύτερο ἀριθμὸ στομιῶν στὸ πέρασ τοῦ ἀγωγοῦ πού ἀποτελεῖται ἀπὸ ἓνα μόνο τμήμα, π.χ. τεσσάρων στομιῶν ὁ ἀριθμὸς τῶν ἀνοιχτῶν N στομιῶν προσδιορίζεται ἀπὸ ἓνα πῦνακα διωνυμικῆς κατανομῆς σέ συνάρτηση μὲ τὴν P καὶ τὴν τιμὴ τῆς φ .

(β) Γιά ἓνα ἀγωγὸ πού ἀποτελεῖται ἀπὸ δύο τμήματα καὶ έξυπηρετεῖ δύο στόμια (σχῆμα 6.1) γιά νὰ ἐξασφαλίσουμε μιὰ ποιότητα λειτουργίας $\varphi \geq 0,90$ θὰ πρέπει καὶ τὰ δύο στόμια νὰ εἶ-

ναι άνοιχτά. Αυτό προκύπτει εύκολα από ένα πίνακα διωνυμικής κατανομής για τιμές $P = 1/3$ έως $2/3$.



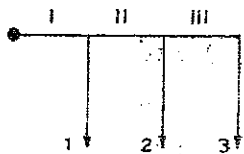
Σχ.6.1

Εάν έχουμε διπλές ύδροληψίες (Σχ.6.2) τότε για να έχουμε $\varphi \geq 0,90$ με $P = 1/3$ έως $2/3$ θα πρέπει να θεωρήσουμε άνοιχτά $N=3$ στόμια και μάλιστα συγκεντρωμένα στο πέρας του άγωγού, π.χ. τά 2,3 και 4.



Σχ.6.2

(γ) Στόν άγωγό του σχήματος 6.3. για να διατηρηθεί ή ποιότης $\varphi \geq 0,90$ θα πρέπει να θεωρήσουμε άνοιχτά $N=2$ στόμια με τιμές $P = 1/3$ έως $0,45$ και για $P > 0,45$ $N=3$.

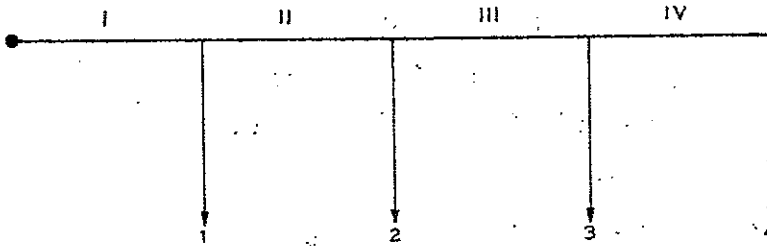


Σχ.6.3

Για να βρούμε μιá κατάλληλη διάταξη των άνοιχτών στομίων πραγματοποιήσαμε μιá έξομοίωση που έγινε με τήν εκτέλεση ενός πειράματος τύχης για 500 τριάδες στομίων, και $P = 1/3$. Προέκυψε έτσι ότι έφ' όσον τά $N=2$ άνοιχτά στόμια συγκεντρωθούν στο πέρας του άγωγού εξασφαλίζουμε ποιότητα λειτουργίας $\varphi > 0,45$. Βλέπουμε τέλος ότι οι ίδεατές παροχές προκύπτουν για τό τελευταίο τμήμα III με άριθμό στομίων $N=1$, για τό τμήμα II με $N=2$ και όμοια για τό I, δηλαδή για άριθμό N που προσδιορίζεται από ένα πίνακα διωνυμικής κατανομής με $P = 1/3$ και $\varphi > 0,95$.

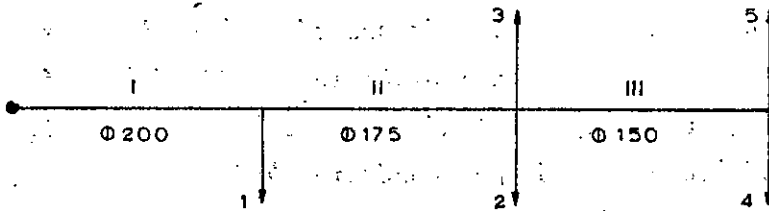
(δ) Για τόν άγωγό του σχήματος 6.4 εάν θέλουμε, π.χ. να έξασφαλίσουμε $\varphi \geq 0,95$ τότε για $P > 0,45$ πρέπει να δεχθούμε ότι λειτουργούν όλα τά στόμια $N=R=4$. "Αν όμως δεχθούμε $P = 1/3$ έ-

ως 0,45 τότε αρκεί να δεχθούμε σαν άνοιχτά τα $N=3$ στόμια. Εύκολα προκύπτει και για συγκεκριμένες περιπτώσεις ότι η τοποθέτηση των άνοιχτων στομιών πρέπει να γίνει όπως δείχνουν τα βέλη του σχήματος 6.4 για να εξασφαλίζεται $\phi \geq 0,95$.



Σχ.6.4

(ε) Στο σχήμα 6.5 απεικονίζεται ένας άγωγός με τρία τμήματα και πέντε στόμια υδροληψίας. Τα μήκη των τμημάτων είναι ίσα με 75 μέτρα το καθένα. Δεχθήκαμε για πόν υπολογισμό της ολικής απώλειας στην κεφαλή του άγωγού τις γραμμικές απώλειες για κάθε τμήμα $h_i = KQ_i^2$ όπου $K_i = 10,3n^2 D_i^{-16/3}$ και $n = 0,0115$ δηλαδή $K_I = 2597$, $K_{II} = 6608$ και $K_{III} = 15628$ ($\delta\lambda^2 \cdot \mu^{-5}$) και $q_0 = 7,8$ λ/δλ = παροχή κάθε στομιού.



Σχ.6.5

-Στη συνέχεια πραγματοποιήσαμε μια εξομοίωση για 500 περιπτώσεις με την εκτέλεση ενός πειράματος τύχης. Στο πείρα-

μα για κάθε στόμιο ύδροληψίας δεχθήκαμε $p = \frac{1}{3}$ που υλοποιήθηκε με τη βοήθεια μιας λευκής σφαίρας (άνοιχτή ύδροληψία) που θεωρήθηκε έπιτυχία και δύο έρυθρων (κλειστή ύδροληψία) που θεωρήθηκαν σαν άποτυχία. Στην περίπτωση αυτή ο αριθμός των άποτυχιών ακολουθεύ την διωνυμική κατανομή (Bernouilli).

Βρήκαμε λοιπόν μ' αυτό τον τρόπο 500 τιμές της απώλειας φορτίου που έδωσαν μέση τιμή $\mu = 2,55$ μέτρα και τυπική απόκλιση $\sigma = 3,76$ μετρ. και τιμή h που αντίστοιχεύ σε στάθμη πιθανότητας (ποιότητας λειτουργίας) $\varphi = 0,95$ την τιμή $h_{0,95} = 8,84$ μετρ.

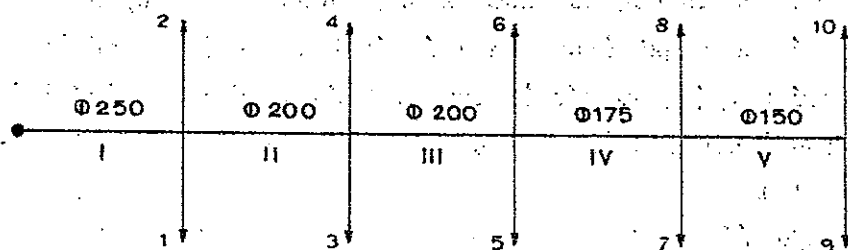
"Αν θεωρήσουμε μετά σαν άνοιχτά τα στόμια 2, 4 και 5 βρίσκουμε $h = 8,84$. Βλέπουμε έτσι ότι οι ίδεατές παροχές των τμημάτων I, II, III τα όποια έξυπηρετούν $R = 5, 4, 2$ στόμια αντίστοιχα, προσδιορίζονται από ένα πλήθος άνοιχτών στομίων που επίσης είναι αντίστοιχα $N = 3, 3$ και 2 δηλαδή όσα προκύπτουν από ένα πίνακα διωνυμικής κατανομής για $\varphi \geq 0,95$, $p = \frac{1}{3}$ και $R = 5, 4$ και 2.

"Αν τέλος δεχόμαστε την λειτουργία όλων των στομίων τότε η απώλεια θα ήταν $R = 14,18$ μετρ. δηλαδή σημαντικά μεγαλύτερη από την πραγματική τιμή $h_{0,95} = 8,84$ μετρ.

(στ) Στην περίπτωση του σχήματος 6.6 δίδεται ένας άγωγός τελευταίας τάξεως με 10 στόμια. Τα μήκη των πέντε τμημάτων, I, II, III, IV και V θεωρούνται ίσα με $L = 175$ μ.

θεωρώντας και έδω όπας και προηγούμενα στον άγωγό του σχήματος 6.5, ότι $h_i = K_i Q_i^2$ και $K_i = 10,3n^2 D_i^{-16/3} \cdot L_i$ κλπ. έχου-
με:

$$K_I = 1274, \quad K_{II} = 2597, \quad K_{III} = 2597, \quad K_{IV} = 6608 \quad \text{και} \quad K_V = 15628.$$



Σχήμα 6.6

Όπως και στην προηγούμενη περίπτωση, πραγματοποιήσαμε κι' εδώ μια έξομοίωση για 500 περιπτώσεις δεκάδων με την βοήθεια τριών σφαιρών που ή μία ήταν λευκή (έπιτυχία- άνοιχτή ύδρο-ληψία) δηλαδή δεχθήκαμε $P=1/3$. Πήραμε έτσι 500 τιμές της ά-πώλειας φορτίου στην κεφαλή του άγωγού, αντίστοιχες προς τις 500 περιπτώσεις άνοιχτών στομιών (έπιτυχιών) που βρήκαμε σε κάθε δεκάδα και που προφανώς ακολουθούν τη διανυμική κατανομή. Η μέση τιμή προέκυψε ύση με $\mu=5,13$ μετρ. και ή τυπική απόκλιση $\sigma=4,47$ μετρ.

Τά αποτελέσματα της έξομοίωσης δίδονται στο διάγραμμα Δ6.1 που ακολουθεί, όπου όμως μαζί με τά αποτελέσματα των τυποποιημένων τιμών άπώλειας φορτίου $u = \frac{h-\mu}{\sigma}$ δώσαμε για σύγκριση και την καμπύλη της τυποποιημένης κανονικής κατανομής ϵ .

Από τό διάγραμμα Δ 6.1 προκύπτει ότι για άριθμό $R=10$ στομιών και για ποιότητες λειτουργίας $\varphi=0,90$ έως $0,95$ που είναι συνηθισμένες ή καμπύλη της τυποποιημένης τιμής u της άπώλειας φορτίου, προσεγγίζει άρκετά προς την καμπύλη της τυποποιημένης κανονικής κατανομής ϵ .

Ἐκτός ὅμως ἀπό τήν εἰκόνα τῆς κατανομῆς ἀπώλειας φορτίου στήν κεφαλή, εἶναι εὐκόλο νά διαπιστώσουμε ὅτι μέ ἀνοιχτά τό στόμα 1,3,5,7,9,10 παίρνουμε τιμή $R=16,69$ μετρ., πού εἶναι μεγαλύτερη ἀπό τήν τιμή $h_{0,95}=13,72$ μετρ. τῆς ἐξομοιώσεως.

Κατ'αὐτό τόν τρόπο ἔχουμε τήν ἑξῆς εἰκόνα γιά τά 5 τμήματα τοῦ ἀγωγοῦ.

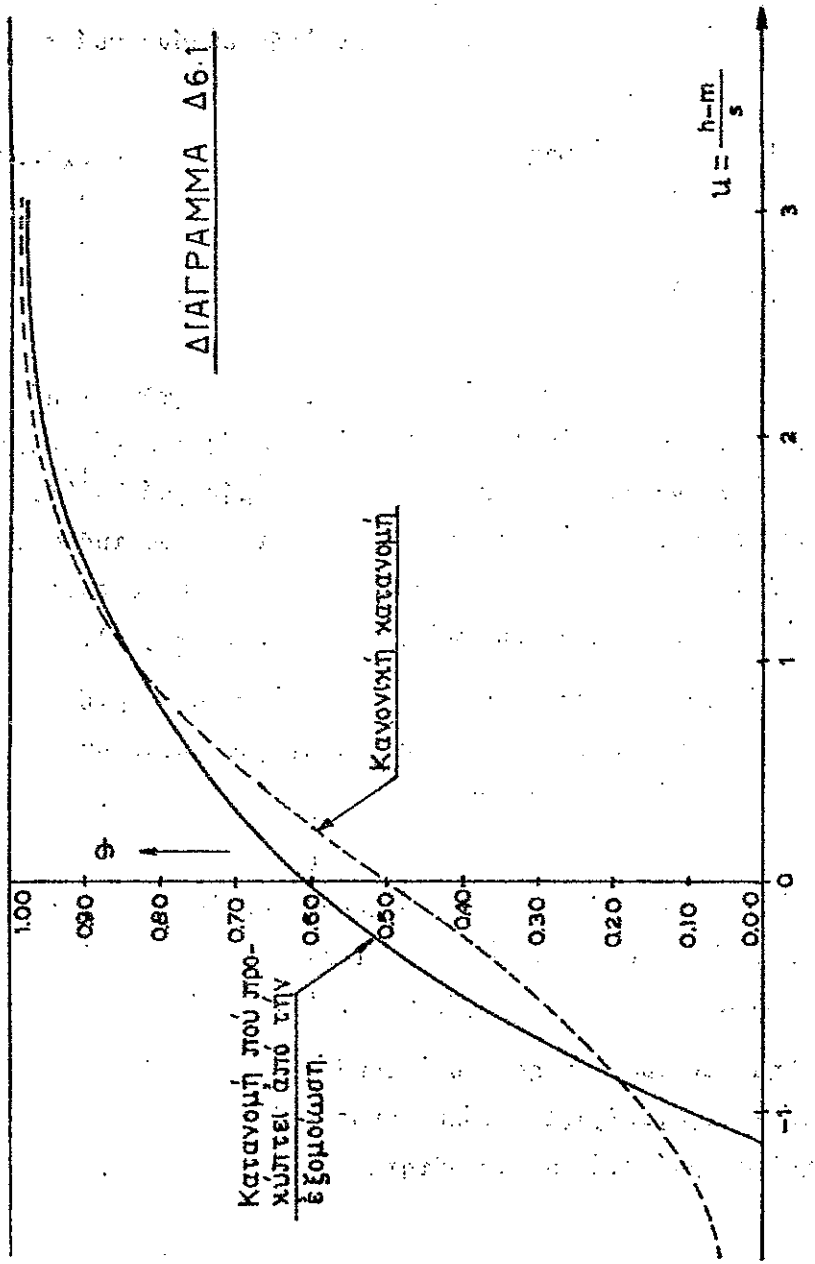
Τμήμα I	Σύνολο ἐξυπηρετουμένων στομίων	$R=10$	Ἀνοιχτ. στόμ.	$N=6$
" II	" "	$R= 8$	" "	$N=5$
" III	" "	$R= 6$	" "	$N=4$
" IV	" "	$R= 4$	" "	$N=3$
" V	" "	$R= 2$	" "	$N=2$

Βλέπουμε ἔτσι ὅτι ὁ ἀριθμός N τῶν ἀνοιχτῶν στομίων μέ τά ὅποια θά πρέπει νά ὑπολογισθοῦν οἱ ἰδεατές παροχές, προσδιορίζονται ἀπό ἕνα πλάνο διωνυμικῆς κατανομῆς γιά $P=1/3$, μέ R τό πλῆθος στομίων πού ἐξυπηρετεῖ κάθε ἐξεταζόμενο τμήμα τοῦ ἀγωγοῦ καί ἀντίστοιχο N τέτοιο ὥστε νά διατηρεῖται πάντοτε κάποια ἐπιθυμητή στάθμη πιθανότητας φ (π.χ. $\varphi \geq 0,95$).

Γιά σύγκριση ὑπολογίστηκε ὅτι ἡ ἀπώλεια φορτίου γιά ἕξη στόμα συγκεντρωμένα στό πέρας τοῦ ἀγωγοῦ εἶναι $h=24,40$ μετρ. ἐνῶ γιά δέκα ἀνοιχτά στόμα εἶναι $h= 33,75$ μετρ.

Βέβαια ἡ παραπάνω ἀπώλεια φορτίου $h=24,40$ μπορεῖ νά μειωθεῖ ἂν πάρουμε τήν παροχή πού προκύπτει ἀπό τόν τύπο τοῦ Clement καί τήν μοιράσουμε στά ἕξη τελευταῖα στόμα ὁπότε $q=7,53$ λ/δλ καί ἀντίστοιχο $h=22,73$ μετρ. ἀντί γιά 24,40.

Σημειώνουμε ἐπίσης ὅτι ἡ τιμή $h=16,69$ πού προέκυψε μέ ἀνοιχτά τά 1,3,5,7,9,10 στόμα ὅπως πρὶν πάνω ἀναφέραμε ἀντιστοιχεῖ σέ μιὰ στάθμη πιθανότητας $\varphi=0,97$ περίπου.



Σάν τελικό συμπέρασμα από όλες τις πύ πάνω ειδικές περιπτώσεις, που είναι όμως χαρακτηριστικές, βρήκαμε ότι η από - λεια φορτίου σε ένα άγωγο τελευταίας τάξεως, που αντιστοιχεί σε μία στάθμη πιθανότητας (ή ποιότητας λειτουργίας) φ , που συνήθως βρίσκεται κοντά ή μέσα στο διάστημα 0,90 έως 0,95 και έξυπηρετεί μέχρι 10 στόμια, μπορεί πάντοτε να υπολογίζεται από τη σχέση:

$$h' = \Sigma K_i Q_i^{\alpha} \quad \dots \dots \dots \quad (72)$$

όπου $Q_i =$ ιδεατές παροχές = $N \cdot q_0$

και $N =$ ο αριθμός των ανοιχτών στομιών που υπολογίζονται για κάθε τμήμα του άγωγού από ένα πίνακα διωνυμικής κατανομής για την έπιθυμητή φ , την δεδομένη P και τό συνολικό πλήθος R των στομιών που έξυπηρετούνται από τό παραπάνω τμήμα.

$\alpha = 1,76$ περίπου έως 2,00

Συνήθως η τιμή του $h' > h_{\varphi}$ αλλά ο πραγματοποιούμενος υπερασχεδιασμός είναι λογικός και όπωςδήποτε άνεκτός. Έτσι κατά - λήγουμε να έχουμε πάντοτε μία ευμενέστερη διάταξη ανοιχτών στομιών, σε σύγκριση με τις μέχρι σήμερα εφαρμοζόμενες ή προτεινόμενες διατάξεις, και επομένως ευνοϊκότερη τιμή απόλεια φορτίου που έχει σαν άμεσο αποτέλεσμα την μικρότερη οικονομική έπιβάρυνση του δικτύου.

Πάντως όσο μικρότερη είναι η τιμή του P π.χ. πλησίον στη τιμή $1/3$ (και $\varphi = 0,90$ έως 0,95) τόσο μεγαλύτερη αξία έχει η έξέυρεση της σωστής διατάξεως των ανοιχτών στομιών για την άποφυγή σημαντικού υπερασχεδιασμού.

Στή συνέχεια δίδουμε στον πίνακα 6.1 για διάφορες τιμές της $P=0,25$ έως 0,65 και για $\varphi=0,90 - 0,95 - 0,99$ τό πλήθος των

άνοιχτών στομιών N με τα όποια θά πρέπει να υπολογίζονται οι ιδεατές παροχές σε άγωγούς τελευταίας τάξεως που έξυπηρετούν μέχρι 12 στόμια ύδροληψίας, γιατί όπως είπαμε πιο πάνω για περισσότερα από 10 έως 12 στόμια μπορούμε να εφαρμόσουμε τις σχέσεις (71) ή (71α) του κεφαλαίου 5.

Με τον πίνακα 6.1 καλύπτονται όλες οι περιπτώσεις που συνήθως παρουσιάζονται στις εφαρμογές.

Η χρήση του πίνακος 6.1 είναι απλούστατη γιατί για κάθε τμήμα άγωγού, από το όποιο έξυπηρετούνται $R \leq 10$ ή 12 στόμια και για δεδομένες τιμές της ϕ και P βρίσκουμε το πλήθος N και επομένως την αντίστοιχη ιδεατή παροχή $Q = N \cdot q_0$. Τέλος σημειώνουμε το γεγονός ότι μ' αυτό τον τρόπο γίνεται εύκολα και συσχετισμός της απώλειας φορτίου με την παροχή κεφαλής του έξεταζόμενου άγωγού τελευταίας τάξεως.

Μπορεί έτσι να καθορισθεί και μία σχέση

$$h = K' \cdot Q^2 \quad (\text{ή } K' Q^{\alpha}) \quad (72\alpha)$$

$$\text{όπου } K' = \frac{1}{Q^2} \cdot (\sum K_i Q_i^2) \quad \text{ή } (= \frac{1}{Q^{\alpha}} \sum K_i Q_i^{\alpha}) \quad (72\beta)$$

Q = παροχή κεφαλής

και K_i, Q_i = οι αντίστοιχες τιμές των K και Q για τα διάφορα τμήματα του άγωγού τελευταίας τάξεως.

Έτσι είναι εύκολο και μπορούμε σε μία γραμμή μεταφοράς, αν θέλουμε στο τέρμα της όπου συνήθως καταλήγει σε άγωγό τελευταίας τάξεως να αντικαταστήσουμε τον άγωγό τελευταίας τάξεως, με ένα ιδεατό τμήμα που θά έχει χαρακτηριστικά στοιχεία K' και Q' . Αυτό πολλές φορές ένδεχομένως μπορεί να διευκολύνει τους

υπολογισμούς και να μειώσει επίσης και τον όγκο τους.

Για να μη γίνει σύγχυση στη χρήση του Πίνακος 6.1 τονίζουμε τα εξής:

Όταν θέλουμε να βρούμε όχι μόνο τον αριθμό των άνοιχτων στομιών αλλά και τη διάταξή τους, ξεκινάμε από το τελευταίο τμήμα του εξεταζόμενου άγωγου βλέποντας έτσι τον αριθμό, π.χ. N_1 στο τέρμα του. Στη συνέχεια μεταβαίνουμε στο επόμενο προτελευταίο τμήμα του όπου πέρνουμε ένα νέο αριθμό N_2 , οπότε τη διαφορά $N_2 - N_1$ την τοποθετούμε στον προτελευταίο κόμβο. Εργαζόμενοι με τον ίδιο τρόπο φθάνουμε στην κεφαλή πετυχαίνοντας έτσι και μία σωστή διάταξη κατανομής του συνολικού αριθμού N άνοιχτων στομιών.

Π Ι Ν Α Κ Α Σ 61

Για τον καθορισμό του ελαφκού Ν άνοιχτών στοιμών σε άγνωστές τελευταίες τάξεις.

Εξωτερικό τουμένο πλήθος στοιμών	Αριθμός Ν άνοιχτών στοιμών																				
	P = 0.25		P = 0.30		P = 1/3		P = 0.35		P = 0.40		P = 0.45		P = 0.50		P = 0.55		P = 0.60		P = 0.65		
	φ	ψ	φ	ψ	φ	ψ	φ	ψ	φ	ψ	φ	ψ	φ	ψ	φ	ψ	φ	ψ	φ	ψ	
R	0.90	0.95	0.99	0.90	0.95	0.99	0.90	0.95	0.99	0.90	0.95	0.99	0.90	0.95	0.99	0.90	0.95	0.99	0.90	0.95	0.99
1	1	1	1	1	1	1	1	1	1	1	1	1	1	1	1	1	1	1	1	1	1
2	1	2	2	1	2	2	2	2	2	2	2	2	2	2	2	2	2	2	2	2	2
3	2	2	3	2	2	3	2	2	3	2	3	2	3	2	3	2	3	2	3	2	3
4	2	3	3	2	3	3	3	3	4	3	3	4	3	3	4	3	4	3	4	3	4
5	3	3	4	3	3	4	3	4	3	4	3	4	3	4	3	4	3	4	3	4	3
6	3	3	4	3	4	5	3	4	5	4	4	5	4	4	5	4	5	4	5	4	5
7	3	4	5	4	4	5	4	4	5	4	5	4	5	4	5	4	5	4	5	4	5
8	4	4	5	4	5	6	4	5	6	5	5	6	5	6	5	6	5	6	5	6	5
9	4	4	5	4	5	6	5	6	7	5	6	7	6	7	6	7	6	7	6	7	6
10	4	5	6	5	5	7	5	5	7	6	6	7	6	7	8	6	7	8	6	7	8
11	5	5	6	5	6	7	6	6	7	8	6	7	8	7	8	9	7	8	9	7	8
12	5	6	7	6	6	7	6	6	8	6	7	8	7	8	9	8	9	7	8	9	8

7. ΟΙ ΤΑΧΥΤΗΤΕΣ ΣΧΕΔΙΑΣΜΟΥ-ΔΙΑΦΟΡΕΣ ΠΑΡΑΤΗΡΗΣΕΙΣ ΓΙΑ ΤΙΣ

ΕΦΑΡΜΟΓΕΣ

7.1. Οι ταχύτητες σχεδιασμού

Στή χώρα μας από τις σχετικές οδηγίες [18] του Υπουργείου Δημοσίων Έργων προκύπτει η ανάγκη για τον περιορισμό των μέγιστων ταχυτήτων σε σωληνωτά αρδευτικά δίκτυα ανάλογα με τη διάμετρο ως εξής:

Για $\phi 100$ χλστ.,	μεγ.υ=1,20	μ/δλ	Για $\phi 500$ χλστ.,	μεγ.υ=2,20	μ/δλ
" $\phi 125$ "	"	1,40	" $\phi 600$ "	"	2,20 "
" $\phi 150$ "	"	1,60	" $\phi 700$ "	"	2,30 "
" $\phi 175$ "	"	1,70	" $\phi 800$ "	"	2,80 "
" $\phi 200$ "	"	1,80	" $\phi 900$ "	"	2,40 "
" $\phi 250$ "	"	2,00	" $\phi 1000$ "	"	2,40 "
" $\phi 300$ "	"	2,00	" $\phi 1100$ "	"	2,50 "
" $\phi 350$ "	"	2,00	" $\phi 1200$ "	"	2,50 "
" $\phi 400$ "	"	2,10	" $\phi 1300$ "	"	2,50 "
" $\phi 450$ "	"	2,10	" $\phi 1400$ "	"	2,50 "

Σάν ελάχιστη ταχύτητα για όλες τις διαμέτρους από τις πιο πάνω οδηγίες του Υπουργείου καθορίζεται η ταχύτητα $u=0,50$ μ/δλ.

Ο πιο πάνω καθορισμός των οριακών ταχυτήτων περιορίζει στα σωληνωτά υπό πίεση δίκτυα τον κίνδυνο από τη δημιουργία υδραυλικών πληγμάτων και τον κίνδυνο καθιζήσεως λεπτοκόκκων - αιώρουμένων- στερεών.

Βέβαια εκτός από τους περιορισμούς των μέγιστων ταχυτήτων ορίζονται και περιορισμοί της πύεσεως λειτουργίας, ώστε πάντοτε να παραμένει ένα περιθώριο ασφαλείας 3,0 ή 4,0 άτμοσφ και έτσι να μειώνονται ακόμη περισσότερο οι κίνδυνοι από υ -

δραυλικά πλήγματα.

Με τήν εύκαιρία υπενθυμίζεται ότι καί στά έσωτερικά δί - κτυα ύδρευσεως καθορίζονται περιορισμοί από πολλούς μελετητές στίς μέγιστες ταχύτητες [2] ανάλογα μέ τή διάμετρο. Έτσι, π.χ. καθορίζονται τιμές μέγιστων ταχυτήτων $D+060$ σέ $\mu/\delta\lambda.$ (όπου ή D λογαριάζεται σέ μέτρα) καί τιμές ελάχιστων ταχυτήτων $0,25 - 0,30 \mu/\delta\lambda.$ Βέβαια πολλές φορές οί μελετητές δέχονται μεγαλύτερες τιμές μέγιστων ταχυτήτων μιά καί οί αίχμές τών παροχών σχεδιασμού πραγματοποιούνται σπάνια καί σύγχρονα διατηρούνται καί σημαντικά περιθώρια ασφαλείας στίς τιμές τών υδροστατικών πιέσεων.

Έπανερχόμενοι στό θέμα τών ταχυτήτων στό σωληνωτό αρ - δευτικό δίκτυο παρατηρούμε ότι στήν περίπτωση που θά θέλαμε νά δώσουμε στίς όριακές ταχύτητες πιθανοθεωρητικό χαρακτήρα [19] τότε, π.χ. για τήν παροχή $Q = \mu + \epsilon \cdot \sigma$ θά είχαμε αντίστοιχα:

$$v = v_{\mu} + \epsilon \cdot v_{\sigma} \quad (73)$$

όπου v_{μ} = ή μέση τιμή τής ταχύτητας

v_{σ} = ή τυπική απόκλιση τής ταχύτητας

ϵ = τυποποιημένη τυχαία μεταβλητή κανονικής κατανομής

Διαπιστώνουμε έτσι ότι θά ήταν πραγματικά δύσκολο νά καθορίσουμε ελάχιστες τιμές ταχύτητας, γιατί θά έπρεπε νά καθορίσουμε πάλι τίς τιμές του ϵ για κάποια ελάχιστη στάθμη πιθανότητας. Αυτό όμως θά ήταν πάλι τό ίδιο αυθαίρετο, όπως καί μέ τόν καθορισμό που κάνουμε τώρα όρίζοντας κατά κάποιο αυθαίρετο τρόπο μιά τιμή ελάχιστης ταχύτητας, π.χ. $v_{\min} = 0,50 \mu/\delta\lambda.$

Γιαυτό νομίζουμε ότι δέν θά προσέφερε τίποτα τό ιδιαίτερο ό πιθανοθεωρητικός καθορισμός τής $\min v$ καί ότι μέ τόν πάγιο καθορισμό ενός κατώτερου όριου ταχύτητας, όπως γίνεται καί

καί σήμερα, πάλι δημιουργούνται συνθήκες καλής λειτουργίας του δικτύου.

Γιὰ τὶς μέγιστες ταχύτητες, θά ἔπρεπε σὺς μέγιστες παροχές καί μέ. δεδομένη διάμετρο νά ἐπιβάλλεται ἕνας περιορισμός μέγιστης τιμῆς. Ἐπομένως γίνεται δεκτός ὁ καθορισμός, πού ἔγινε γιὰ τὶς μέγιστες τιμές ἀπό τὸ Ἐπιχειρηματικό Διευρηματικό Ἔργον.

Βέβαια οἱ ὁριακές ταχύτητες πού ἐπιβάλλουν οἱ ὁδηγίες τοῦ Ἐπιχειρηματικού Διευρηματικού Ἔργον μποροῦν νά τροποποιηθοῦν γενικά ἢ σέ εἰδικές περιπτώσεις ἀλλά αὐτό εἶναι θέμα πού ξεφεύγει ἀπὸ τὰ πλαίσια τῆς παρούσας ἐργασίας. Σχετικά μάλιστα πληροφοροῦμεθα ὅτι τὸ Ἐπιχειρηματικό Διευρηματικό Ἔργον πρόκειται νά αὐξήσει τὶς πλοῦ πάνω μέγιστες ταχύτητες.

7.2 Διάφορες παρατηρήσεις γιὰ τὶς ἐφαρμογές.

Ὅπως ἀναφέρθηκε στὸ κεφάλαιο 5 γιὰ νά ἐπιτύχουμε μιὰ ὁμοιόμορφη ποιότητα λειτουργίας φ σ' ὅλο τὸ δίκτυο, θά πρέπει νά κάνουμε τὴν ἐκλογή τῶν διαμέτρων τῶν ἀγωγῶν μέ "ἰδεατές παροχές" πού προσδιορίζονται ἀπὸ τὶς σχέσεις (70) καί (71) ἢ (71α). Γιὰ τοὺς ἀγωγούς τελευταίας τάξεως ἐφ' ὅσον τὸ τμήμα στὸ ὁποῖο ἀναφέρεται ἡ παροχή ἐξυπηρετεῖ περισσότερο ἀπὸ 10 στόμια μποροῦμε νά ἐφαρμόζουμε τὶς παραπάνω σχέσεις (71) ἢ (71α). Γιὰ τὰ τμήματα ὅμως πού ἐξυπηρετοῦν ὀλιγότερα ἀπὸ 10 στόμια θά πρέπει νά ἐφαρμόζονται οἱ ὁδηγίες τοῦ κεφαλαίου 6 καί νά ὑπολογίζεται ἡ "ἰδεατή παροχή" μέ βάση τὸν ἀριθμὸ τῶν ἀνοικτῶν στομίων μέ τὴ βοήθεια τοῦ πίνακα διωνυμικῆς κατανομῆς.

Ἡ προσεγγιστικὴ σχέση (71) $p_i \approx (1+2eC_{vi})^{1/2}$ προτάθηκε νά χρησιμοποιεῖται σὺς ἐφαρμογές καί προσεγγίζει τόσο περισσότερο πρὸς τὸ πραγματικὸ ἀποτέλεσμα, ὅσο αὐξάνεται ὁ ἀριθμὸς τῶν στομίων.

Ἡ σχέση $Q_i = \mu_i + \sigma_i$ μπορεῖ βέβαια νά χρησιμοποιηθεῖ ἀλλὰ θά δίδει ἕνα μικρὸ ποσοστὸ ὑπερσχεδιασμοῦ πού πολλές φορές

ὅμως μπορεῖ νά γίνεται ἀποδεκτό ἀπό τόν μελετητή.

Τά πλο πάνω μπορεῖ νά ἐφαρμόζονται καί σέ τμήματα γραμμῶν μεταφορᾶς πού ἐξυπηρετοῦν ἀγωγούς τελευταίας τάξεως μέ λιγότερα ἀπό δέκα στόμια δηλαδή πού δέν ἀκολουθοῦν τήν κανονική κατανομή.

Γιά τῖς ἀπώλειες φορτίου πού θά ὑπολογίσουμε στίς διάφορες γραμμές μεταφορᾶς εἶναι δυνατό νά χρησιμοποιήσουμε ὁποιαδήποτε ἐμπειρική σχέση τοῦ κεφ. 2 ἀρκεῖ νά ἐλέγξουμε τό πεδίο καθώς καί τῖς προϋποθέσεις ἐφαρμογῆς της.

Ἐπίσης μπορεῖ νά ἐφαρμόζεται καί ἡ σχέση (5) Darcy-Weisbach τοῦ κεφ. 2 μέ τιμές τοῦ συντελεστοῦ τριβῶν πού δίδονται ἀπό τήν ἡμιεμπειρική σχέση τῶν Colebrook-White.

Καταλήγουμε ἔτσι νά τονίσουμε ὅτι γιά τῖς ἐφαρμογές, οἱ παροχές σχεδιασμοῦ, πού ὀνομάζονται καί " ἰδεατές παροχές" σχεδιασμοῦ, θά προσδιορίζονται γενικά μέ τήν ἐφαρμογή τῶν σχέσεων (70) καί (71) ἢ (71α) γιά ὅσα τμήματα ἐξυπηρετοῦν περισσότερα ἀπό 10 ἢ καί 12 στόμια ὑδροληψίας. Γιά ὅσα τμήματα ἐξυπηρετοῦν λιγότερα ἀπό 10 ἢ 12 στόμια θά ἐφαρμόζεται ὁ πῖνακας 6.1 τοῦ κεφ. 6 ἀπό τόν ὁποῖο θά προσδιορίζεται ὄχι μόνο τό πλῆθος N τῶν ἀνοιχτῶν στομιῶν πού ἐξυπηρετεῖται ἀπό κάθε τμήμα του καί πού ἀρκεῖ γιά τόν ὑπολογισμό τῆς ἀντίστοιχης ἰδεατῆς παροχῆς ἀλλά καί ἡ διάταξη τῶν ἀνοιχτῶν στομιῶν κατά μήκος τοῦ ἀγωγοῦ. Ἡ διάταξη αὐτή εἶναι εὐκόλο νά βρῖσκεται ἀπό τόν πῖνακα 6.1 βαδίζοντας ἀπό τό τέρμα τοῦ ἀγωγοῦ πρὸς τήν κεφαλή του. Ἐτσι σέ κάθε νέο τμήμα πρὸς τά ἀνάντη τῆ διαφορά τῶν ἀνοιχτῶν στομιῶν πού μᾶς δίδει ὁ πῖνακας 6.1 τήν τοποθετοῦμε στόν νέο κόμβο πού εἶναι ὁ κατάντη κόμβος τοῦ ἐξεταζόμενου τμήματος.

Για τις απώλειες φορτίου όπως τονίστηκε και παραπάνω μπορεί να χρησιμοποιείται οποιαδήποτε σχέση υπολογισμού. Τέλος για τις ταχύτητες εκτός από τις οδηγίες του Υπουργείου Δημοσίων Έργων που γράφονται στην παράγρ. 7.1, είναι δυνατό σε ειδικές περιπτώσεις ή ακόμη και γενικότερα να εφαρμοσθούν παραλλαγμένες όριακές ταχύτητες που θα καθορίζονται όμως σε συνάρτηση με τη διάμετρο.

8. Η ΒΕΛΤΙΣΤΟΠΟΙΗΣΗ ΤΩΝ ΑΚΤΙΝΩΤΩΝ ΔΙΚΤΥΩΝ

Στό κεφάλαιο αυτό θα γίνει μία απλή αναφορά στο πρόβλημα της βελτιστοποίησης των ακτινωτών δικτύων άρδευσης που λειτουργούν υπό πίεση. Για να καταφανεί η διαφορά δαπάνης και κατά συνέπεια η οικονομία που προκύπτει με την εφαρμογή "ΐδεατών παροχών" στα δίκτυα άρδευσης, σέ σύγκριση με τις εφαρμοζόμενες σήμερα παροχές σχεδιασμού, δίδονται τρία παραδείγματα στό τέλος του κεφαλαίου.

Όπως είναι γνωστό αρκετές μέθοδοι βελτιστοποίησης εφαρμόζονται με έπιτυχία στα ακτινωτά δίκτυα για τήν έλαχιστοποίηση του κόστους κατασκευής των, αλλά με τήν προϋπόθεση ότι έχουν καθορισθεί οι παροχές σχεδιασμού.

Στήν περίπτωση ενός σωληνωτού άρδευτικού δικτύου που λειτουργεί κατά ζήτηση, εάν εΐχαμε σταματήσει στις σχέσεις (35) ή (36) του κεφαλαίου 3, θα μπορούσαμε παίρνοντας αυτές σάν έσοτικές δεσμεύσεις και σέ συνέχεια σάν ανισοτικές δεσμεύσεις, έκεινες που εισάγονται από τους περιορισμούς των όριακών ταχυτήτων, των έλάχιστων πιεζομετρικών φορτίων ή ύψομέτρων κλπ. να μορφώσουμε ένα πρόβλημα βελτιστοποίησης στό όποιο όμως, θα αναζητούσαμε για τή λύση του ένα νέο κατάλληλο άλγόριθμο [19] που ένδεχόμενα δέν θα ήταν και τόσο άπλος.

Μέ τόν καθορισμό όμως των " ΐδεατών παροχών" σχεδιασμού, οι όποιες δόθηκαν στό κεφάλαιο 5 από τις σχέσεις (70) και (71) ή (71α) τό πρόβλημα της βελτιστοποίησης λύθηκε αφού μπορεί πλέον να εφαρμοσθεί κάποια γνωστή ύπολογιστική διαδικασία με τήν όποία θα καθορίζονται οι διάμετροι της βέλτιστης λύσης.

Πρύν προχωρήσουμε στα παραδείγματα θα αναφερθούμε σέ μερικά θέματα μαθηματικού προγραμματισμού άκροθιγώς μόνο, ώστε

νά υπενθυμίσουμε στον αναγνώστη απλά, μερικά θέματα που αναφέρονται στη βελτιστοποίηση τέτοιων περιπτώσεων και να αναφέρουμε επίσης επιγραμματικά, π.χ. τρεις μεθόδους που θα μπορούσε κανείς να χρησιμοποιήσει για την ελαχιστοποίηση του κόστους. Έτσι θα δώσουμε μια συνηθισμένη μορφή της αντικειμενικής συναρτήσεως κόστους για σωληνωτά δίκτυα και μια γενική μορφή του προβλήματος όπως παρουσιάζεται για τα άκτινωτά υπό πίεση σωληνωτά δίκτυα.

Η αντικειμενική συνάρτηση κόστους ή συνάρτηση δαπάνης - διαμέτρου καθορίζεται με μια καθαρά εμπειρική σχέση, που εξαρτιέται από ένα πλήθος παραμέτρων τοπικών και χρονικών. Εάν τέτοιες σχέσεις προτείνονται οι πιο κάτω [7] .

$$\delta = A \cdot D^v \quad (74)$$

$$\delta = B \cdot D + F \cdot D^{1,55} \quad (74a)$$

Η πρώτη απλή σχέση μπορεί να λαμβάνεται υπόψη [12] για τις εφαρμογές, στην οποία είναι:

δ = ή ανά μέτρο μήκους δαπάνη

D = ή διάμετρος του άγωγού

A, v = σταθεροί συντελεστές

Άρα η συνολική δαπάνη Δ κατά μήκος μιας γραμμής μεταφοράς ή ενός άκτινωτού δικτύου ανέρχεται σε

$$\Delta = \sum_{i=1}^n \delta = \sum_{i=1}^n A \cdot D_i^v \quad (75)$$

όπου τά A και v είναι σταθερά κατά τμήματα ή και σε όλοκληρο τό δίκτυο.

Σχετικά με τη σχέση (74) που γίνεται δεκτό ότι μπορεί να εφαρμοστεί, αναφέρεται ότι μπορεί εύκολα να προσαρμοστεί με τη βοήθεια της μεθόδου των ελαχίστων τετραγώνων, σε ζεύγη τιμών δ και D_i και να προκύπτουν έτσι οι τιμές των A_i και v .

Μετά από όλα τα παραπάνω, αν θεωρήσουμε ότι για μία σταθερή ύψομετρική θέση της τροφοδοσίας μιας γραμμής μεταφοράς που έχει ύψόμετρο H_Δ και ελάχιστη απαίτηση σε πιεζομετρικό φορτίο H_0 στο πέρας της θα έχουμε σύμφωνα με τις σχέσεις (62) ή (63) και τις σχέσεις (66) ή (67) και (72) ότι:

$$H_\Delta = \sum_{i=1}^{i=n} K_i Q_i^\alpha + H_0 \quad (76)$$

ή αν $\alpha = 2,00$

$$H_\Delta = \sum_{i=1}^{i=n} K_i Q_i^2 + H_0 \quad (76a)$$

Σύμφωνα με τις σχέσεις όμως (9) και (10)

$$K_i = K_{oi} \cdot L_i = C \cdot D_i^{-\beta} \cdot L_i$$

και έτσι η σχέση (76) θα γίνει αν θέσουμε

$$Q_i^\alpha \cdot C \cdot L_i = B_i \quad (77)$$

$$\text{ή} \quad Q_i^2 \cdot C \cdot L_i = B_i \quad (77a)$$

$$H_0 - H_\Delta = C \quad (78)$$

$$\sum_{i=1}^{i=n} B_i \cdot D_i^{-\beta} + C = 0 \quad (79)$$

Έτσι τελικά τό μαθηματικό πρόβλημα βελτιστοποίησης ανάγεται στην έλαχιστοποίηση τής σχέσεως (75) μέ τούς ίσοτικούς περιορισμούς πού δίδει ή σχέση (79) καί τούς άνισοτικούς περιορισμούς πού προκύπτουν από τίς όριακές ταχύτητες σχεδιασμού, δηλαδή:

$$\min \Delta = \min_{i=1}^{i=n} \sum A_i D_i^{\gamma} \quad (80)$$

πού υπόκειται στους περιορισμούς

$$\sum_{i=1}^{i=n} B_i D_i^{-\beta} + C = 0 \quad (80a)$$

$$u_0 \leq u_i \leq u_1 \quad (80b)$$

όπου $u_0 = \min u$ (π.χ. 0,50 μ/δλ)

$u_1 = \max u$ (ανάλογα μέ τή διάμετρο, βλ. κεφάλαιο 7)

$$u_i = Q_i / F_i \quad (F_i = \pi D_i^2)$$

Οί σχέσεις (80) καί (80a) είναι άθροισμα συναρτήσεων τής μορφής $A_i D_i^{\gamma}$ καί $B_i D_i^{-\beta}$ αντίστοιχα, πού κάθε μιά περιλαμβάνει ένα μόνο άγνωστο, τήν διάμετρο D_i του τμήματος ή κλάδου i .

Έτσι τό μαθηματικό πρόβλημα είναι κατ'άρχή ένα καθαρό πρόβλημα δυναμικού προγραμματισμού [5].

Γενικά όμως τό πρόβλημα τής βελτιστοποίησης, ως καθαυτό πρόβλημα μαθηματικού προγραμματισμού δέν θά μās άπασχολήσει άλλο όπως καί στην αρχή του κεφαλαίου αναφέραμε. θά αναφέρουμε όμως τελείως έπιγραμματικά μερικές μεθόδους πού θά μπορούσαν νά εφαρμοσθούν σέ εφαρμογές.

Για μία απλή γραμμή μεταφοράς θα μπορούσε να εφαρμοσθεί πο-
λύ εύκολα η μέθοδος πολλαπλασιαστών του Lagrange [16] όπως
εφαρμόζεται στο παράδειγμα 8.1 που ακολουθεί.

- Για ένα άκτινωτό δίκτυο μπορεί να εφαρμοσθεί μία άπλοποιη -
μένη μέθοδος που βασίζεται σε μία προσεγγιστική διαδικασία
επιλύσεως ενός συστήματος ως προς τις απώλειες των διαφόρων
κλάδων που είναι και οι άγνωστοί του [14]
- Τέλος μία μέθοδος που εφαρμόζεται σχεδόν καθολικά σ' όλες τις
περιπτώσεις αρδευτικών άκτινωτών δικτύων στη χώρα μας και η
όποια μάλιστα είναι πάρα πολύ χρήσιμη στις όριστικές μελέ -
τες είναι η άσυνεχής μέθοδος του Y.Labye [10,11]

Η μέθοδος αυτή εφαρμόζεται εύκολα με τη χρήση ηλεκτρονικού
υπολογιστού και δίδει τις διαμέτρους ενός άκτινωτού δικτύου
που ανταποκρίνονται στη βέλτιστη λύση με τους περιορισμούς
φυσικά για τις ταχύτητες και τα ύψόμετρα πιεζομετρικής γραμ-
μής.

Η άσυνεχής μέθοδος έχει τό πλεονέκτημα γιατί μας δίδει δια-
μέτρους έμπορίου που είναι και αυτή μία εύκολία.

Στο παράδειγμα 8.2 που ακολουθεί οι διάμετροι υπολογίστηκαν
μέ τη μέθοδο του Y.Labye [10,11]

Π α ρ ά δ ε ι γ μ α 8.1

Γιά να δούμε τα οικονομικά αποτελέσματα δίδουμε ένα απλό παράδειγμα, από μία γραμμή με σωληνες στη σειρά ή μία γραμμή μεταφορᾶς που δίδεται στο σχήμα 8.1.

Σ'αυτή τή γραμμή μεταφορᾶς μπορούμε να βρούμε τα αποτελέσματα που προκύπτουν μετά τή βελτιστοποίηση τόσο με παροχές που προτείνονται στο κεφάλαιο 5 καὶ 6 ὅσο καὶ με παροχές που συνηθίζεται να ἐφαρμόζονται σήμερα με ὁδηγίες τοῦ Ὑπουργείου Δημοσίων Ἔργων.

Τά δεδομένα τῆ προβλήματος εἶναι τὰ ὑψόμετρα κεφαλῆς καὶ πέρατος, τὰ μήκη τῶν κλάδων, ἡ εἰδική παροχή q_0 κάθε στομίου, τὰ ἐξυπηρετούμενα στόμια ἀπό κάθε ἀγωγό τελευταίας τάξεως που ἐξαρτιέται ἀπό τή γραμμή μεταφορᾶς καὶ ἐπιθυμητή ποιότητα λειτουργίας $\phi=0,95$.

Σάν συναρτησιακή σχέση δαπάνης-διαμέτρου δεχόμαστε

$$\delta = 8540 D^{1,50} \quad (85)$$

ὅπου δ = Δαπάνη τοῦ ἀγωγοῦ ἀνά μ.μ. σέ δραχμές

D = Διάμετρος τοῦ ἀγωγοῦ σέ μέτρα

Γιά τή βελτιστοποίηση ἐφαρμόζουμε τή μέθοδο τῶν πολλαπλασιαστῶν τοῦ Lagrange [16] ὁπότε γιά τή συνάρτηση $f(x) = f(x_1, x_2, \dots, x_n)$ τῆς ὁποίας οἱ μεταβλητές ὑπόκεινται στους περιορισμούς:

$$g_i(x) = 0 \quad i=1, \dots, m \quad (m < n) \quad \text{ἐάν μορφώσουμε}$$

τή συνάρτηση $F(\bar{x}, \lambda_1, \dots, \lambda_m) \triangleq f(\bar{x}) + \sum_{i=1}^m \lambda_i [g_i(\bar{x})]^2$ ὅπου λ_i = παράμετροι, οἱ ἀναγκαῖες συνθήκες γιά τήν εὑρεση σχετικοῦ ἀκρότατου εἶναι οἱ παρακάτω $(m+n)$ ἐξισώσεις ἀπό τίς ὁποῖες προσ-

διορίζονται οι m άγνωστοι $\lambda_1, \dots, \lambda_m$ και οι άγνωστοι x_1, x_2, \dots, x_n .

$$\frac{\partial F}{\partial x_j} = 0 \quad j=1, 2, \dots, n \quad (n \text{ εξισώσεις})$$

$$\frac{\partial F}{\partial \lambda_i} = 0 \quad i=1, 2, \dots, m \quad (m \text{ εξισώσεις})$$

Δηλαδή με άλλα λόγια $\nabla F(\bar{x}, \bar{\lambda}) = 0$

Για να υπάρχει βέβαια λύση του πιο πάνω συστήματος των $n+m$ εξισώσεων θα πρέπει η Ιακωβιανή των συναρτήσεων $g(x) = 0$ να είναι διάφορος του μηδενός δηλαδή $J \neq 0$.

Ίκανές συνθήκες για τον προσδιορισμό σχετικού ελαχίστου είναι

- Για $m = \text{άρτιο}$ $\Delta_1, \Delta_2, \dots, \Delta_{n-m} > 0$
- Για $m = \text{περιττό}$ $\Delta_1, \Delta_2, \dots, \Delta_{n-m} < 0$

όπου η ίριζούσα Δ_1 είναι:

$$\Delta_1 \triangleq \begin{vmatrix} F_{11} & \dots & F_{1n} & 1g_1 & \dots & mg_1 \\ \vdots & & \vdots & \vdots & & \vdots \\ F_{n1} & \dots & F_{nn} & 1g_n & \dots & mg_n \\ \hline 1g_1 & \dots & 1g_n & 0 & \dots & 0 \\ \vdots & & \vdots & \vdots & & \vdots \\ mg_1 & \dots & mg_n & 0 & \dots & 0 \end{vmatrix}$$

όπου $\frac{\partial^2 F}{\partial x_i \partial x_j} \triangleq F_{ij}$

$$\frac{\partial (kg_j)}{\partial x_j} \triangleq kg_j$$

Η όριζούσα Δ_2 προκύπτει από τη Δ_1 χωρίς την πρώτη γραμμή και την πρώτη στήλη, ή Δ_3 σε συνέχεια από την Δ_2 χωρίς την

πρώτη γραμμή και την πρώτη στήλη κ.ο.κ.

"Έτσι για το πρόβλημα που αντιστοιχεί στο σχήμα και στα δεδομένα που δίδονται πιο κάτω, που είναι μία γραμμή μεταφο - ρās μόνο δηλαδή $i=1$ και $\lambda_1=\lambda$ βρίσκουμε τελικά:

$$\lambda^{(-16/3\mu)} = \frac{(\Delta h)}{\sum_{i=1}^{i=15} B_i \left[\frac{16/3B_i}{v \cdot \alpha} \right]^{(-16/3\mu)}} \quad (86)$$

$$D_i = \left(\frac{16/3 B_i}{v \cdot \alpha} \right)^{1/\mu} \cdot \lambda^{1/\mu} \quad (87)$$

$$\begin{aligned} \delta\text{που } v &= 1,50 & , \quad 1/\mu &= 0,14634 \\ \mu &= 1,50 + 5,333 = 6,833 & , \quad (16/3 \cdot v \cdot \alpha)^{-0,78} &= 433,34 \\ A &= 8,54 \times 10^3 & , \quad B &= 10,3 n^2 L_i (Q_i)^2 \end{aligned}$$

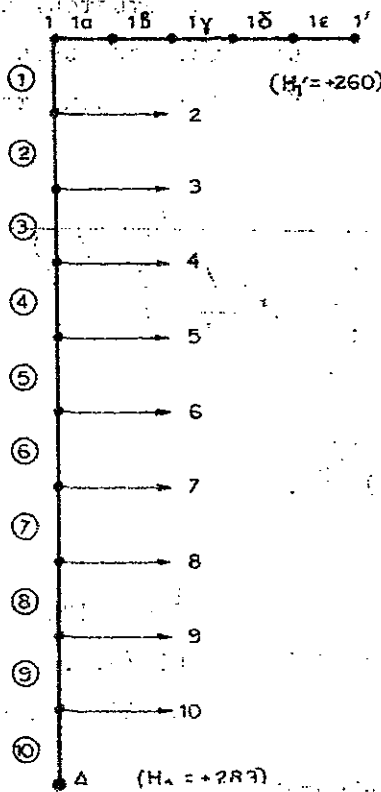
$$(H_{\Delta} - H_{1,}) = (\Delta h) = 283 - 260 = 23 \text{ μετρ.}$$

Οι σχέσεις (86) και (87) γίνονται

$$\lambda^{-0,78} = \frac{23}{433,34 \sum_{i=1}^{i=15} B_i^{0,22}} \quad (88)$$

$$(89)$$

καί $D_i = 0,32 \cdot B^0,14634 \cdot \lambda^0,14634$



Σχ.8.1

Δεδομένα

Μήκη

$(1-1')$ = άγωγός τελευταίας τάξεως

Τμήματα $1^α, 1^β, \dots, 1^ε$ άγωγού τελευταίας τάξεως μέ $l=175 \mu$.
τό καθένα.

Γιά τόν κύριο άγωγό $l_1, l_2, l_3, l_7 = 180 \mu$.

$l_4 = 220 \mu, l_5 = l_6 = l_8 = l_9 = 360 \mu$.

$l_{10} = 240 \mu$.

Παροχές

Στους άγωγούς τελευταίας τάξεως 1,2,.....,10

Μέσες τιμές $\mu_1=\mu_3=\mu_6=\mu_9=0,050 \mu^3/\delta\lambda$ ($q_0=0,013 \mu^3/\delta\lambda$)

$\mu_2=\mu_4=\mu_5=\mu_7=\mu_{10}=0,030 \mu^3/\delta\lambda$ ($q_0=0,0078 \mu^3/\delta\lambda$)

Αποκλίσεις $\sigma_1=\sigma_3=\sigma_6=\sigma_9=0,020 \mu^3/\delta\lambda$

$\sigma_2=\sigma_4=\sigma_5=\sigma_7=\sigma_{10}=0,012 \mu^3/\delta\lambda$

Οι παροχές πύ άνω εξάγονται ύποθέτοντας ότι $p=0,385$ καί $R=10$ για κάθε άγωγό τελευταίας τάξεως. Στη συνέχεια δίδουμε δύο περιπτώσεις με διαφορετικές παροχές αλλά με τά ίδια γεωμετρικά δεδομένα του σχήματος 8.1.

Στήν 1η περίπτωση, χαρακτηρίζουμε τήν περίπτωση έφαρμογής ύδατων παροχών που δίδονται στό κεφάλαιο 5 καί 6 (δηλαδή $Q_i = \mu_i^2 + \sigma_i^2 + 2\epsilon\mu_i\sigma_i$ για τον κύριο άγωγό (Δ-1) καί για τον άγωγό (1-1') με τή χρήση του πίνακα 6.1)

Σάν 2η περίπτωση χαρακτηρίζουμε εκείνη στήν όποία εφαρμόζονται παροχές που προκύπτουν από τίς όδηγίες του 'Υπουργείου Δημοσίων Έργων.

Έπί πλέον για τήν πρώτη περίπτωση δεχόμαστε $\phi = 0,90$ καί

$\epsilon=1,28$ ενώ για τη δεύτερη $\varphi=0,99$ και $\epsilon=2,33$.

Τά δεδομένα και τά αποτελέσματα και των δύο περιπτώσεων καταχωρούνται στον παρακάτω πίνακα.

Τμη. άγω- γοῦ	Παροχή σχεδια- σμοῦ μ ³ /δλ	1η Περίπτωση (φ=0,90)		Παροχή σχεδια- σμοῦ μ ³ /δλ	2α Περίπτωση (φ=0,99)	
		Υπολογιζομένη διά- μετρος (χλστ)			Υπολογιζομένη διά- μετρος (χλστ)	
		θεωρη- τική	Εμπορίου		θεωρη- τική	Εμπορίου
1ε	0,026	211	200	0,026	215	225
1δ	0,039	238	250	0,052	263	250
1γ	0,052	258	250	0,078	296	300
1β	0,065	276	250	0,104	322	300
1α	0,078	291	300	0,130	344	350
1	0,078	292	300	0,130	345	350
2	0,108	321	350	0,134	348	350
3	0,167	365	350	0,236	400	400
4	0,200	397	400	0,236	423	450
5	0,233	446	450	0,314	495	500
6	0,290	475	450	0,334	504	500
7	0,322	443	500	0,412	483	500
8	0,354	504	500	0,452	550	550
9	0,410	526	500	0,495	565	550
10	0,442	507	550	0,495	532	600

Στήν 1η καί 2η περίπτωση προέκυψαν τά ἑξῆς οἰκονομικά κλπ. ἀποτελέσματα.

	<u>1η περίπτωση</u>	<u>2η περίπτωση</u>
Συνολική δαπάνη ὀλόκληρης τῆς γραμμῆς Δ-1-1'	7.713.722 Δρχ.	8.917.563 Δρχ.
Δαπάνη κύριου		
ἀγωγοῦ Δ-1	6.774.041 "	7.770.649 "
Δαπάνη ἀγωγοῦ (1-1')		
τελευταίας τάξεως	939.681 "	1.146.914 "
Συνολική ἀπάθεια φορτίου	22,75 μέτρ.	22,80 μέτρ.

Βλέπουμε ἔτσι γιά τόν παραπάνω συγκεκριμένο ἀγωγό ὅτι ἡ δαπάνη στή δεύτερη περίπτωση εἶναι συνολικά κατά 15,6% μεγαλύτερη ἀπό τήν πρώτη καί γιά τόν ἀγωγό τελευταίας τάξεως κατά 22% περίπου. Ἄν μάλιστα δεχόμεσταν ἀνάλογους ἀγωγούς τελευταίας τάξεως 1,2,.....,9, τότε ἡ συνολική δαπάνη στή δεύτερη περίπτωση θά ἦταν κατά ἐκτίμηση 20% περίπου μεγαλύτερη ἀπό τήν πρώτη.

Π α ρ ἄ δ ε ι γ μ α 8.2

Στό παράδειγμα τοῦτο ἐξετάζουμε ἓνα δίκτυο πού ἔχει σάν κύριο κορμό πάλι 10 τμήματα ἀγωγῶν στή σειρά, ἀλλά στό ὄψοφ υπάρχουν καί 13 ἀγωγοί τελευταίας τάξεως, πού ἐξυπηρετοῦνται ἀπό τόν κύριο ἀγωγό καί ἐπίσης μερικά στόμια ὑδροληψίας πού ἐξυπηρετοῦνται ἀπευθείας ἀπό τόν κύριο ἀγωγό.

Τό δίκτυο ἐξυπηρετεῖ συνολικά 120 στόμια ὑδροληψίας τά ὅποια πάλι ἐξυπηρετοῦν μιά ἕκταση περίπου τῆς τάξεως τῶν 4.800 στρεμμάτων.

Ἡ μορφή τοῦ δικτύου ἐμφανίζεται στό σχῆμα 8.2 πού ἀκολουθεῖ καί τά δεδομένα δίδονται πῶς κάτω.

Οἱ παροχές ὑπολογίστηκαν σέ δύο περιπτώσεις δηλαδή στήν περίπτωση A ὅπου ὑπολογίστηκαν μέ τίς ὁδηγίες τοῦ Ὑπουργείου Δημοσίων Ἔργων καί στήν περίπτωση B μέ τίς ὁδηγίες τῶν κεφαλαίων 5 καί 6. Στήν περίπτωση B καταρχήν δίδονται ξεχωριστά οἱ παροχές πού δίδουν οἱ σχέσεις (64) καί (65) ὅπως καί ἡ σχέση τοῦ R. Clement (2) γιά νά φανεῖ ἡ διαφορά ἡ ὁποία ὅπως εὔπαμε εἶναι πολύ μικρή γιά τίς σχέσεις (64), (65) ἀλλά καί γιά τή σχέση (2) εἶναι πάλι σχετικά μικρή. Βέβαια τελικά στήν περίπτωση B ἐφαρμόζονται οἱ παροχές πού προκύπτουν μέ ἐφαρμογή τῆς σχέσεως (65) ἢ (70).

Στή συνέχεια μέ διατήρηση τῶν ἰδίων δεδομένων (μήκη, ὑψόμετρα κλπ. γεωμετρικά στοιχεῖα) στό δίκτυο καί μέ ἀλλαγὴ μόνο τῶν παροχῶν σχεδιασμοῦ προβαίνουμε στή βελτιστοποίηση του τόσο στήν περίπτωση A ὅσο καί στή B, γιά νά ἐλαχιστοποιήσουμε τό κόστος μέ κατάλληλο ἐκλογή τῶν διαμέτρων. Ἡ βελτιστοποίηση ἔγινε μέ τή μέθοδο τοῦ Y. Labye καί μέ πρόγραμμα τοῦ συναδέλφου I Εὐθυμιάτου σέ ἠλεκτρονικό ὑπολογιστή. Τά ἀποτελέσματα πού ἀφοροῦν τίς διαμέτρους κλπ. βασικά στοιχεῖα ἐμφανίζονται πῶς κάτω τόσο στήν περίπτωση A ὅσο καί στή B.

Πρῶτα, ὅπως εὔπαμε, δίδουμε τίς ἰδεατές παροχές γιά τήν περίπτωση B μέ τίς σχέσεις (65), (64) καί (2).

Τμήμα κέρου αγωγού (i)	Πλήθος έξυτ. στομύ- ων R	Μέση τιμή μ λ/δλ	Απόκλιση σ λ/δλ	Παροχές Q _i (λ/δλ) γυδ ε = 1.28, θ = 0.20	
				$Q_i = (\mu_i^2 + \sigma_i^2 + 2\epsilon\mu_i\sigma_i)^{1/2}$	$Q_i = \left[\mu_i + \frac{\alpha(\alpha-1)}{2} \mu_i^2 - \sigma_i^2 + \alpha\epsilon\mu_i \right]^{1/\alpha}$ $\alpha = 1.786$
36-30	18	43,2	15,55	61,87	63,10
30-25	36	86,4	22,00	113,20	114,56
25-21	50	120,0	25,92	151,77	153,18
21-18	62	148,8	33,87	184,31	185,75
18-14	72	172,8	31,11	211,16	212,62
14-11	84	201,6	33,60	243,13	244,61
11- 8	92	220,8	35,16	264,32	265,80
8- 4	100	240,0	36,66	285,43	286,92
4- 1	112	268,8	38,80	316,95	318,46
1-Δ ₀	120	288,0	40,16	337,88	339,40

Από τις παραπάνω παροχές εφαρμόζουμε στρογγυλεμένες, στο πρώτο δεκαδικό ψηφίο, τις παροχές $Q_i = (\mu_i^2 + \sigma_i^2 + 2\epsilon\mu_i\sigma_i)^{1/2}$. Οι υπόλοιπες παροχές των άγωγών τελευταίας τάξεως βρίσκονται πολύ εύκολα από τον πίνακα 6.1 για $\varphi=0,90$ και $p=0,30$.

Τά βασικά δεδομένα του δικτύου του σχήματος 8.2 είναι:

$$p=0,30 \quad q_0=8,0 \text{ λ/δλ.}$$

Απώλειες στους σωλήνες $h = kQ^\alpha$ όπου τό h δίδεται σε μ/χλμ. και τό Q σε λ/δλ. τό δέ k σε συνάρτηση με τή διάμετρο D . Σημειώνουμε ότι για χαλυβδοσωλήνες δεχθήκαμε τό $\alpha=1,96$ και για άμιαντοσιμεντοσωλήνες $\alpha=1,786$.

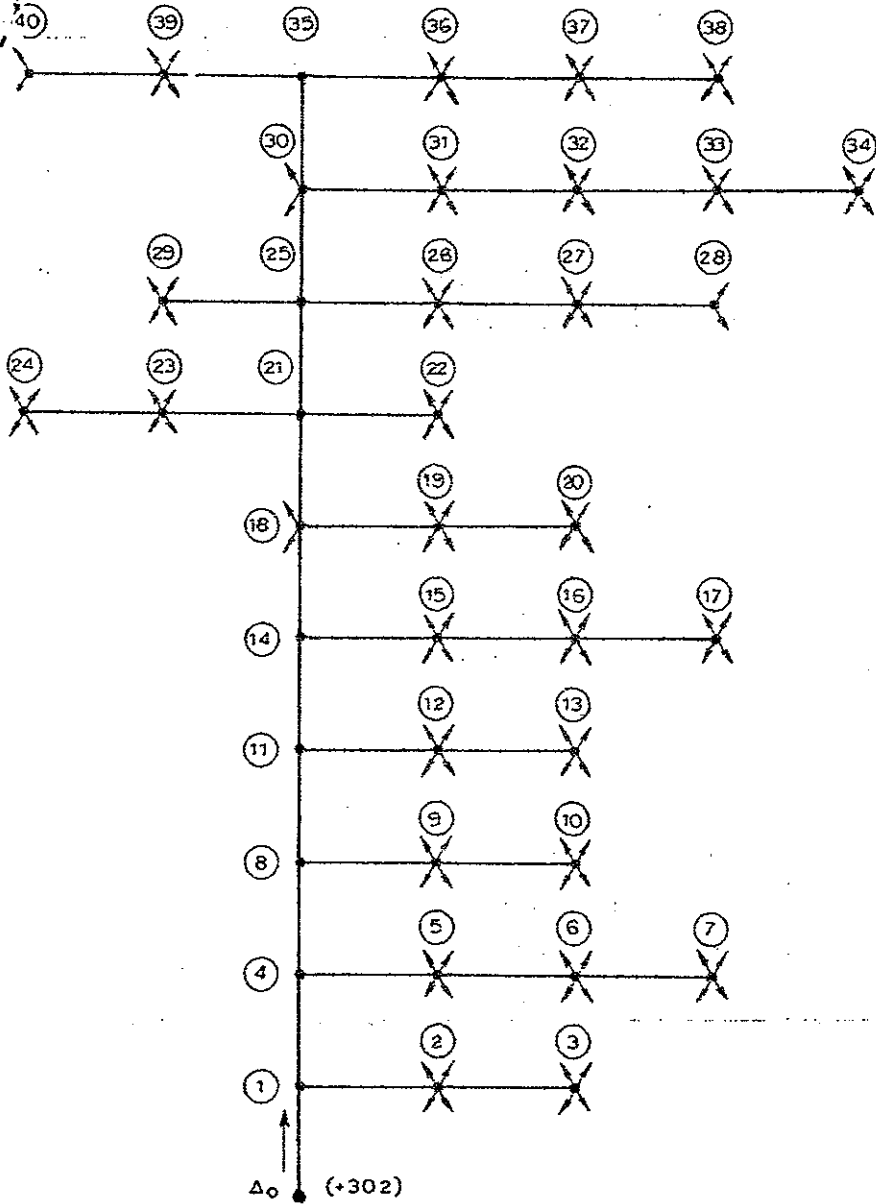
Οί μέγιστες ταχύτητες είναι εκείνες που δόθηκαν στο κεφάλαιο 7 ενώ για ελάχιστη ταχύτητα έγινε δεκτή ή τιμή 0,50 μ/δλ.

Τό κόστος για τήν προμήθεια και εγκατάσταση των σωλήνων δίδεται επίσης σε συνάρτηση με τή διάμετρο.

Τά γενικά δεδομένα δίδονται άμέσως πιο κάτω μαζί με τούς περιορισμούς των ταχυτήτων.

Διάμετρος χλστ.	Κόστος σε δρχ/μ.μ. σωληνός	Τιμή του Κ	Τιμή του α	Ταχύτητες	
				Μέγλι- στες	Ελάχισ- στες
1200	11330	0,0000007164	1,960	2,50	0,50
1100	9800	0,0000011254	"	"	"
1000	8380	0,0000018452	"	2,40	"
900	7010	0,0000031888	"	"	"
800	5705	0,0000058761	"	2,30	"
700	4460	0,0000117500	"	"	"
600	3615	0,0000261530	"	2,20	"
500	3120	0,0001548660	1,786	"	"
450	2600	0,0002564400	"	2,10	"
400	2095	0,0004505600	"	"	"
350	1645	0,0008536700	"	2,00	"
300	1250	0,0017852000	"	"	"
250	920	0,0042724000	"	"	"
200	680	0,0124300000	"	1,80	"
175	565	0,0235510000	"	1,70	"
150	465	0,0492540000	"	1,60	"
125	370	0,1178700000	"	1,40	"
100	315	0,3429300000	"	1,20	"
80	245	0,9977491300	"	1,00	"

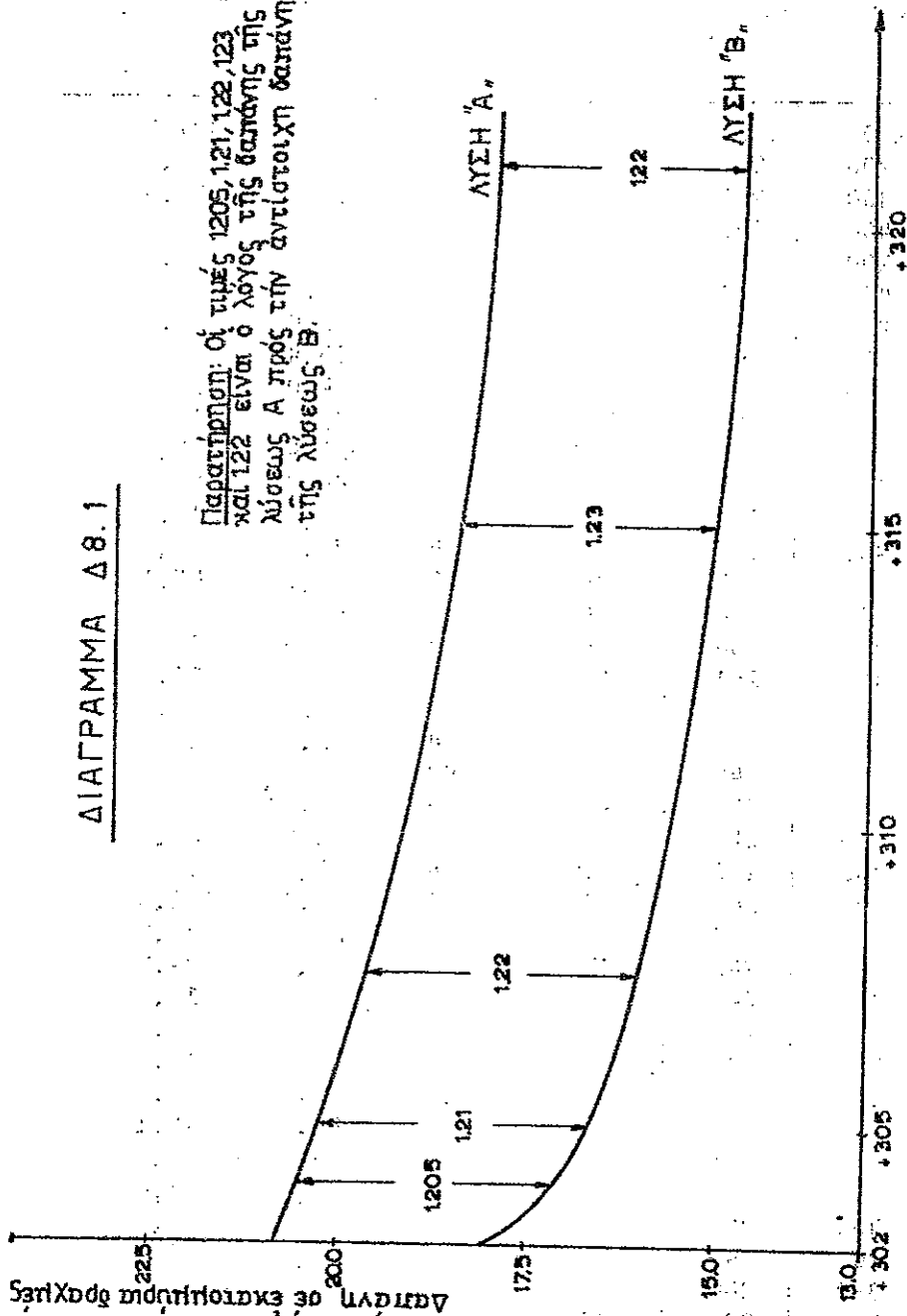
Στή συνέχεια μετά τό σχήμα 8.2 δίδονται τά γεωμετρικά στοιχεία του δικτύου καί οί παροχές σχεδιασμού στίς δύο περιπτώσεις Α καί Β πού έξετάζονται.



Όνομα- σία κλά- δου	Μήκος (μετρ.)	Υψόμετρο		Εγκατε- στημένα στόμια	Παροχές (λ/δλ)	
		Εδαφος	Ελάχιστο πιεζ. γραμ- μής		Περίπτωση	
					A	B
1	1000	+266	+276	120	381,6	337,9
2	200	263	298	8	64,0	32,0
3	400	260	295	4	32,0	16,0
4	400	263	273	112	381,6	316,9
5	200	262	297	12	96,0	45,1
6	400	261	296	8	64,0	32,0
7	420	259	294	4	32,0	16,0
8	380	260	270	100	325,4	285,4
9	220	258	293	8	64,0	32,0
10	400	257	292	4	32,0	16,0
11	400	258	268	92	325,4	264,3
12	180	257	292	8	64,0	32,0
13	420	255	290	4	32,0	16,0
14	400	255	265	84	279,9	243,1
15	200	255	290	12	96,0	45,1
16	400	254	289	8	64,0	32,0
17	400	254	289	4	32,0	16,0
18	450	251	283	72	279,9	211,2
19	200	250	285	8	64,0	32,0
20	420	250	285	4	32,0	16,0
21	450	248	258	62	216,1	184,3
22	220	248	283	4	32,0	16,0
23	200	249	284	8	64,0	32,0
24	400	250	285	4	32,0	16,0
25	420	245	255	50	216,1	151,8
26	220	243	273	10	80,0	40,0
27	400	242	272	6	36,0	24,0
28	420	242	274	2	16,0	16,0
29	200	246	281	4	32,0	16,0
30	400	244	276	36	137,7	113,2
31	180	243	278	16	96,0	56,0
32	380	242	277	12	96,0	45,1
33	400	241	276	8	64,0	32,0
34	380	240	275	4	32,0	16,0
35	450	240	255	18	132,0	61,9
36	200	240	275	12	96,0	45,1
37	380	240	275	8	64,0	32,0
38	400	239	274	4	32,0	16,0
39	220	241	276	6	36,0	24,0
40	400	241	273	2	16,0	16,0

ΔΙΑΓΡΑΜΜΑ Δ 8.1

Παρατήρηση: Οι τιμές 1205, 121, 122, 123 και 122 είναι ο λόγος της διαμέτρου της λύσεως Α προς την αντίστοιχη διαμέτρου της λύσεως Β.

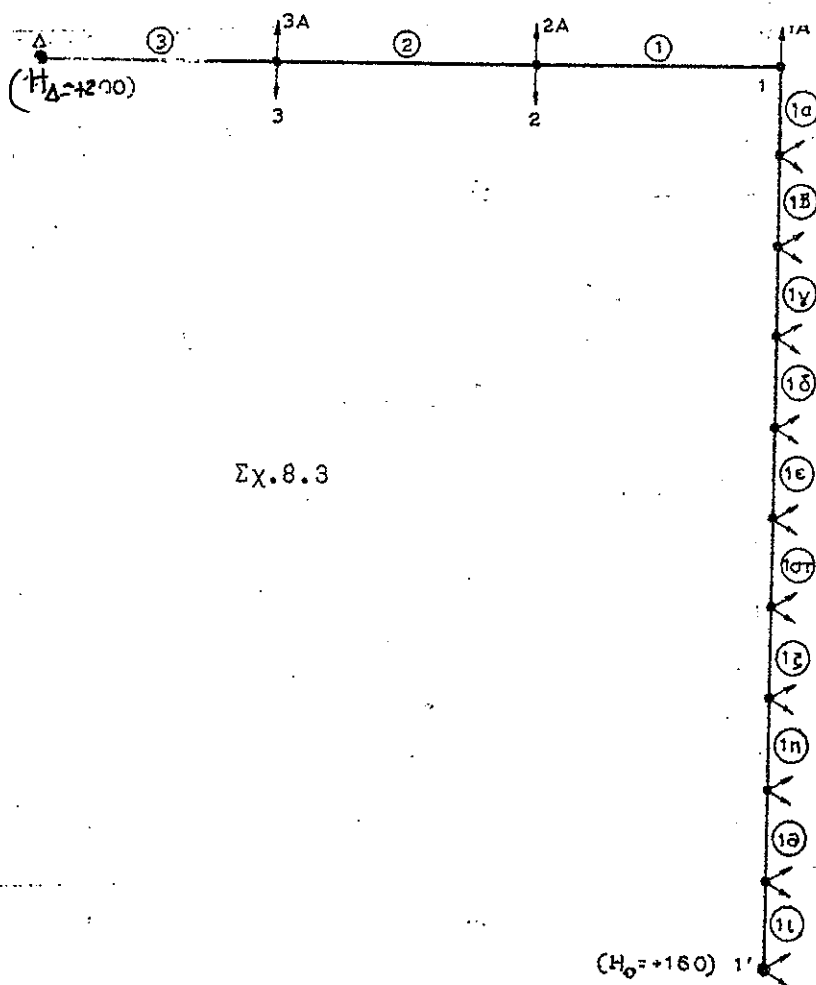


Υψόμετρο μεσαλώς Δο

Π α ρ ά δ ε ι γ μ α 8.3

Στό παράδειγμα τούτο δίδεται μία γραμμή μεταφοράς Δ-1-1' πού έξυπηρετεί συνολικά Ξξη (6) άγωγούς τελευταίας τάξεως. Ό καθένας πάλι άγωγός τελευταίας τάξεως έξυπηρετεί 20 στόμια καί Έτσι όλη ή γραμμή μεταφοράς έξυπηρετεί συνολικά 120 στόμια.

Γυί κάθε στόμιο δεχόμαστε $p=0,30$ καί $q_0=6,0$ λ/δλ.



Σχ.8.3

Εφαρμόζοντας τή μέθοδο τών πολλαπλασιαστών του Lagrange βρίσκουμε τίσ διαμέτρους τής βέλτιστῆς λύσεως για δύο περιπτώσεις. Ἡ πρώτη περίπτωση ἀναφέρεται σέ παροχές πού προκύπτουν ἀπό τόν καθορισμό "ἰδεατῶν παροχῶν" ἐνώ ἡ δευτέρα σέ παροχές πού προκύπτουν ἀπό τίσ ὁδηγίες τοῦ Ὑπουργείου Δημοσίων Ἔργων.

Τά ἀποτελέσματα καταχωροῦνται στόν ἐπόμενο πίνακα..

Τμήμα ἀγωγῶ	Μήκος	1η περίπτωση ($\varphi=0,90$)			2η περίπτωση ($\varphi=0,99$)		
		Παροχή σχεδια- σμοῦ $\mu^3/\delta\lambda$	Υπολογιζομένη διάμετρος (χλστ)		Παροχή σχεδια- σμοῦ $\mu^3/\delta\lambda$	Υπολογιζομένη διά- μετρος (χλστ)	
			θεωρη- τική	Ἐμπο- ρίου		θεωρητι- κή	Ἐμπο- ρίου
1	160	0,006	109 121	125	0,012	127	150
1θ	"	0,012	122	125	0,024	167	175
1η	"	0,018	138	150	0,036	188	200
1ζ	"	0,024	150	175	0,048	191	200
1στ	"	0,030	160	175	0,060	218	225
1ε	"	0,03291	164	175	0,072	230	225
1δ	"	0,03748	170	200	"	"	250
1γ	"	0,04197	176	200	"	"	250
1β	"	0,04640	182	200	"	"	250
1α	100	0,05080	174	200	"	215	300
1	280	0,09323	242	250	0,12932	296	300
2	300	0,17438	293	300	0,25864	367	350
3	350	0,25342	344	350	0,28627	386	350

Για τίσ παραπάνω διαμετρήσεις προκύπτουν οί ἐξῆς συνολικές ἀπώλειες φορτίου:

- Περίπτωση 1η: $\Delta = 39,84$
- Περίπτωση 2η: $\Delta = 39,68$

Επίσης προκύπτει τό εξής κόστος

- Περίπτωση 1η Κόστος άγωγού ($\Delta-1$)=	943.275 Δρχ.
- " " (1-1')=	<u>919.214 "</u>
Σύνολο	<u>1.862.489 Δρχ.</u>
- Περίπτωση 2η Κόστος άγωγού ($\delta-1$)=	1.542.320 Δρχ.
- " " (1-1')=	<u>1.368.230 "</u>
Σύνολο	<u>2.910.550 Δρχ.</u>

Βλέπουμε έτσι ότι ή δαπάνη τής γραμμής μεταφοράς είναι συνολικά στη 2η περίπτωση κατά 56% περίπου μεγαλύτερη από τήν πρώτη. Ειδικώτερα στον άγωγή τελευταίας τάξεως (1-1') είναι στη 2η περίπτωση μεγαλύτερη κατά 45% περίπου και στον κύριο άγωγή κατά 68%.

Εάν θεωρούσαμε πάντως και τούς υπόλοιπους άγωγούς τελευταίας τάξεως μέ ανάλογη δαπάνη, τότε ή συνολική δαπάνη στη 2η περίπτωση θα ήταν περίπου κατά 51% μεγαλύτερη από τήν 1η περίπτωση.

Συνοπτικά συμπεράσματα για τήν μείωση του κόστους

Μέ τά παραδείγματα 8.1, 8.2 και 8.3 άποκτήσαμε ήδη μία αντίληψη του μεγέθους τής οικονομίας πού έπιτυγχάνεται στις δαπάνες κατασκευής τών άρδευτικών δικτύων αν βέβαια τά σχεδιάσουμε σωστά.

Έτσι βλέπουμε ότι ή ελάχιστη οικονομία πού έπιτυγχάνεται είναι τής τάξεως του 20% περίπου επί του κόστους για σω -

στό σχεδιασμό. Το ποσοστό αυτό αντιστοιχεί σε έδαφη που έχουν μικρές κλίσεις και έτσι με την τοποθέτηση τετραπλών υδροληφιών μειώνεται το μήκος των άγωγών τελευταίας τάξεως.

Επίσης βλέπουμε ότι σε ειδικές περιπτώσεις το πιο πάνω ποσοστό μπορεί να αυξηθεί μέχρι και 50% περίπου. Αυτό βέβαια θα συμβεί σε περιπτώσεις εδαφών με έντονότερες κλίσεις όπου τοποθετούνται διπλές υδροληφίες και κατά συνέπεια το μήκος των άγωγών τελευταίας τάξεως είναι πάρα πολύ μεγάλο σε σύγκριση με το μήκος των άγωγών ανώτερης τάξεως. Επομένως ρόλο στη διακύμανση του ποσοστού οικονομίας παίζει η μορφολογία του έδαφους, η γενική διάταξη του δικτύου και των υδροληφιών κλπ.

Τελικά μπορεί να γίνει δεκτό ότι το ποσοστό οικονομίας που επιτυγχάνεται επί του κόστους ενός δικτύου που σχεδιάζεται σωστά, μπορεί να θεωρηθεί κατά ελάχιστο σε 20 έως 25%. Το ποσοστό αυτό βέβαια πρέπει να θεωρείται ότι αποτελεί ένα μέσο στατιστικό όρο των διαφόρων περιπτώσεων που μπορεί να παρουσιασθούν στις εφαρμογές.

9. ΣΥΜΠΕΡΑΣΜΑΤΑ

α) Οι πληροφορίες που δίνει η σχέση (2) για τις ζητούμενες παροχές σε μία θέση θεωρούνται αρκετά ικανοποιητικές για τόν υδραυλικό σχεδιασμό ενός άρδευτικού δικτύου. Η σχέση αυτή που είναι γνωστή σαν "1ος τύπος του R.Clement" προκύπτει από την παραδοχή της λειτουργίας κάθε στομίου ύδροληψίας με σταθερή πιθανότητα εντός της άρδευτικής ημέρας χωρίς να λαμβάνεται υπόψη το ιστορικό της λειτουργίας του όλου δικτύου.

Ετσι μ' αυτές τις πληροφορίες της σχέσεως (2) $Q = \mu + \epsilon \cdot \sigma$ ή $N = R \cdot p + \epsilon \left[R p (1-p) \right]^{1/2}$ που θεωρούνται χρήσιμες και σωστές για τόν σχεδιασμό ενός δικτύου, είναι δυνατό για μία επιθυμητή ποιότητα λειτουργίας ϕ , να υπολογίσουμε την μέγιστη παροχή που ζητείται στην κεφαλή ή και σε άλλες θέσεις.

Προκειμένου όμως να προχωρήσουμε στον υπολογισμό των διαμέτρων του δικτύου, δέν είναι σωστό να άθροίσουμε τις παροχές αυτές οι όποιες είναι οι μέγιστες που παρουσιάζονται στις διάφορες θέσεις για καθορισμένες τιμές της ποιότητας λειτουργίας ϕ , της πιθανότητας λειτουργίας κάθε στομίου p και της παροχής q_0 των στομίων ύδροληψίας.

Μέχρι τώρα οι σχετικές προτάσεις για τόν καθορισμό των παροχών σχεδιασμού βασίζονται σε άμφισβητήσιμες προτάσεις ή έμπειρικές και περίπου αθάίρετες κατανομές της όλης παροχής κεφαλής ή των επί μέρους παροχών των διαφόρων κλάδων. Οι κατανομές αυτές δέν ανταποκρίνονται στην πραγματικότητα και συνήθως καταλήγουν σε ύπερσχεδιασμό.

β) Στην παρούσα έργασία λαμβάνοντας υπόψη τόν σωστό καθορισμό της ποιότητας λειτουργίας του δικτύου που είναι ή ποιότητα της λειτουργίας των έξυπηρετούμενων στομίων (δηλαδή ένα

στόμιο έχει ποιότητα λειτουργίας φ , αν τό ύψόμετρο τῆς πιεζομετρικῆς γραμμῆς ἀμέσως ἀνάγνη αὐτοῦ παραμένει γιά στάθμη πιθανότητας φ , μεγαλύτερο ἢ ἴσο πρὸς τό ἀπαιτούμενο), καταλήξαμε στή μελέτη τῆς κατανομῆς τῆς ἀπώλειας φορτίου κατά μήκος τῶν διαφόρων γραμμῶν μεταφορᾶς.

Ἡ μελέτη τῆς κατανομῆς τῆς ἀπώλειας φορτίου πραγμάτωποιήθηκε μέ τήν ἔκφραση (12).

$$h = \Sigma \cdot K_i \cdot Q_i^\alpha$$

ὅπου Q_i εἶναι οἱ παροχές πού ζητοῦνται σέ κάθε κλάδο τῆς γραμμῆς μεταφορᾶς καί K_i οἱ ἀντίστοιχες συναρτήσεις πού δύνανται οἱ σχέσεις (9) καί (10).

Γιά τήν μαθηματική ἐπεξεργασία γίνεται δεκτό ὅτι κάθε ἀγωγός τελευταίας τάξεως ἐξυπηρετεῖ τοῦλάχιστον 10 στόμια, ὅποτε εἶναι δυνατό νά ὑποτεθεῖ ὅτι οἱ παροχές στήν κεφαλή τῶν ἀγωγῶν τελευταίας τάξεως ἀκολουθοῦν τήν κανονική κατανομή. Πάντως καί ἂν ἀκόμα ἐξυπηρετοῦνται ἀπό τοὺς ἀγωγούς τελευταίας τάξεως λιγότερα ἀπό 10 στόμια, πάλι ἐφαρμόζονται τὰ συμπεράσματα τῆς παρούσας ἐργασίας ὅπως ἀναφέραμε ἤδη σχετικά καί στό κεφάλαιο 7.

Τήν λειτουργία τοῦ ἀγωγοῦ τελευταίας τάξεως πού ἐξυπηρετεῖ μέχρι 10 ἢ τό πολύ 12 στόμια ἔχουμε ἐξετάσει στό κεφάλαιο 6 μέ διάφορες ἐξομολώσεις καί ἔχουμε καταλήξει σέ συμπεράσματα. Σύμφωνα λοιπόν μέ τὰ συμπεράσματα αὐτά εἶναι δυνατό πάντοτε νά ἀπεικονίζουμε τήν λειτουργία του μέ ἕνα αἰτιολογικό σχῆμα ζητήσεως τό ὅποιο προκύπτει θεωρώντας ὀρισμένα ἀπό τὰ στόμιά του σάν ἀνοιχτά. Τό πλῆθος καί ἡ θέση αὐτῶν τῶν στομίων προσδιορίζονται μέ ἕνα τρόπο πού εἶναι ἀπλός.

Ἔτσι εἶναι δυνατό σέ κάθε τμήμα του νά προσδιορίζεται

μιά παροχή σχεδιασμού που ονομάζεται "ΐδεατή παροχή σχεδιασμού" ή όποια δίνει τς άπώλειες φορτίου που άντιστοιχοϋν στην έξεταζόμενη θέση για στάθμη πιθανότητας (ποιότητα λειτουργίας) φ ή τς ύπερβάλλει κατά λογικό ποσοστό μικρής τάξεως. Επίσης είναι εύκολο νά βρεθεί και ή σχέση άπώλειας φορτίου και παροχής κεφαλής του άγωγού ή άλλης έξεταζόμενης θέσεώς του.

Η εύρεση τών άνοιχτών στομιών γίνεται με τή βοήθεια του πίνακα 6.1 σε συνάρτηση με τό πλήθος R τών στομιών που έξυπηρετεί κάθε τμήμα του άγωγού, με τήν πιθανότητα p λειτουργίας του κάθε στομιού και τήν έπιθυμητή ποιότητα λειτουργίας φ. Για τιμές έκτός του πίνακα μπορεί κανείς νά χρησιμοποιήσει ένα πίνακα διωνυμικής κατανομής σύμφωνα με τς όδηγίες του κεφαλαίου 6. Για περισσότερα από 10 ή τό πολύ 12 στόμια όποτε ή παροχή άκρωθεί τήν κανονική κατανομή εφαρμόζονται οι σχέσεις (70) και (71) ή (71α) του κεφαλαίου 5 που δίνουν τς "ΐδεατές παροχές" στους υπόλοιπους άγωγούς άνωτέρας τάξεως.

Έκτός από τς "ΐδεατές παροχές σχεδιασμού" που αναφέραμε στον άγωγό τελευταίας τάξεως και που καθορίζονται για άγωγούς που έξυπηρετούν λιγότερα από 10 ή 12 στόμια με τή βοήθεια του πίνακα 6.1 του κεφαλαίου 6, καθορίζονται επίσης μέμέ βάση τς σχέσεις (70) και (71) ή (71α) και οι "ΐδεατές παροχές σχεδιασμού" στους άγωγούς άνωτέρας τάξεως, οι όποτες είναι:

$$Q_i = \left[\mu_i^2 + \sigma_i^2 + 2\epsilon \cdot \mu_i \cdot \sigma_i \right]^{1/2} = \mu_i (1 + C_{v_i}^2 + 2\epsilon \cdot C_{v_i})^{1/2} \quad (90)$$

ή μέ μικρή υπότιμηση τών άπωλειών:

$$Q_i \approx (\mu_i^2 + 2\epsilon \cdot \mu_i \cdot \sigma_i)^{1/2} = \mu_i (1 + 2\epsilon \cdot C_{v_i})^{1/2} \quad (90\alpha)$$

ένω μέ μικρή υπερέκταση τών άπωλειών:

$$Q_i \approx \mu_i + \epsilon \cdot \sigma_i = \mu_i \cdot (1 + \epsilon \cdot C_{v_i}) \quad (90B)$$

πού είναι ή σχέση (2) τοῦ R. Clement.

Σημειώνουμε ότι:

Q_i = ΐδεατή παροχή σχεδιασμοῦ τοῦ κλάδου i .

μ_i, σ_i = μέση τιμή καὶ τυπική απόκλιση τῆς παροχῆς στόν κλάδο i πού δίδονται από τῆς σχέσεις (3) καὶ (4)

C_{v_i} = συντελεστής μεταβολῆς παροχῶν τοῦ κλάδου ἢ τμήματος (i)

ϵ = τυποποιημένη τυχαία μεταβολή κανονικῆς κατανομῆς

Τό σημαντικό είναι, ὅτι οἱ σχέσεις (90) ἐφαρμόζονται πάντοτε, ὁποιαδήποτε σχέση τοῦ κεφ.2 καὶ ἂν δεχθοῦμε γιά τόν ὑπολογισμό τῶν άπωλειών. Οἱ σχέσεις αὐτές είναι ταυτόσημες: μέ τῆς σχέσεις (70) καὶ (71) ἢ (71α).

Οἱ σχέσεις (90) προέκυψαν από τή μελέτη τῆς σχέσεως (12) μετά από λογικές καὶ άνεκτές προσέγγίσεις γιά τό πεδίο ἐφαρμογῆς τῶν σχέσεων (35) καὶ (36). Ἐπίσης από τή μελέτη τῆς άπώλειας h προέκυψε τό συμπέρασμα ὅτι ή κατανομή τῆς μπορεῖ μέ μεγάλη προσέγγιση νά θεωρηθεῖ ὅσο αὐξάνουν οἱ κλάδοι, ὅτι τείνει πρὸς τήν κανονική καὶ οἱ τυποποιημένες τιμές τῆς $u = \frac{h-m}{s}$ τείνουν πρὸς τῆς τιμές τῆς τυποποιημένης κανονικῆς κατανομῆς.

Ἡ μέση τιμή καὶ ή απόκλιση τῆς άπώλειας φορτίου είναι:

$$m = \Sigma K_i \cdot (\mu_i^2 + \sigma_i^2) \quad \text{ἢ} \quad \Sigma K_i \cdot \left[\mu_i^\alpha + \frac{\alpha(\alpha-1)}{2} \cdot \mu_i^{\alpha-2} \cdot \sigma_i^2 \right]$$

$$s = \sqrt{2 \Sigma K_i \cdot \mu_i \cdot \sigma_i} \quad \text{ἢ} \quad (\alpha \Sigma K_i \cdot \mu_i^{\alpha-1} \cdot \sigma_i) \quad , \quad \alpha = \text{περίπου } 1,76 \text{ ἔως } 2,00$$

Τελικά δεχθήκαμε τὶς ἑξῆς τιμές τῆς φ πού τὶς χαρακτηρίσαμε μέ τό ϵ τῆς τυποποιημένης κανονικῆς κατανομῆς.

$$u = \epsilon = 1,28 \quad \text{γιά } \varphi = 0,90$$

$$u = \epsilon = 1,65 \quad \text{γιά } \varphi = 0,95$$

$$u = \epsilon = 2,33 \text{ (ἔως } 2,40) \quad \text{γιά } \varphi = 0,99$$

Ἀπλάδι δεχόμεθα τὶς τιμές τῆς τυχαίας μεταβλητῆς τυποποιημένης κανονικῆς κατανομῆς.

Τά συμπεράσματα πάντως τῆς παρούσας ἐργασίας καί τά ἀποτελέσματα ἀπό τήν ἐφαρμογή τῶν "ἰδεατῶν παροχῶν" σχεδιασμοῦ, ἔχουν ἐπάληθευτεῖ σέ συγκεκριμένες περιπτώσεις γραμμῶν μεταφορᾶς (τελευταίας ἢ ἀνωτέρας τάξεως) μέ τήν μέθοδο τῆς ἐξομοιώσεως.

γ) Στό θέμα τῆς ποιότητας λειτουργίας ἔγινε πλοῦ πάνω ἀποδεκτός ὁ καθορισμός τῆς ποιότητας λειτουργίας τῶν ἐξυπηρετούμενων στομιῶν.

Θά μπορούσαμε ὅμως μέ τά συμπεράσματα πού πήραμε ἀπό τήν πλοῦ πάνω σωστή ἀποδοχή τοῦ καθορισμοῦ τῆς ποιότητας λειτουργίας, νά δεχθοῦμε καί σάν ταυτόσημο τόν ἑξῆς καθορισμό τῆς ποιότητας λειτουργίας, τοῦ δικτύου "ὅτι ποιότητα λειτουργίας φ τοῦ δικτύου θά εἶναι ἡ πιθανότητα ὅπως γιά κάθε τμήμα ἢ κλάδο του καί ὅπου Q_i εἶναι ἡ ἀντίστοιχη ἰδεατή παροχή", δηλαδή $p(Q \leq Q_i) = \varphi$.

δ) Στό κεφάλαιο 8 ἔχει δοθεῖ ἡ μαθηματική μορφή τοῦ προβλήματος βελτιστοποίησεως μέ τή βοήθεια τῶν σχέσεων (80), (80α) καί (80β) καί ἀναφέρονται συνοπτικά στοιχεῖα γιά τὶς ἐφαρμοζόμενες ὑπολογιστικές διαδικασίες (ἀλγόριθμοι).

Πάντως μετά τόν καθορισμό τῶν σχέσεων (90) πού δύνουν τὶς

ΐδεατές παροχές σχεδιασμοϋ οϋσιαστικά λϋθηκε καί τó πρόβλημα τής βελτιστοποιήσεως γιατί άπό τή στιγμή πού στο δίκτυο καθορίζονται για κάθε τμήμα ή κλάδο του οί παροχές καί τά όρια διακυμάνσεως τών ταχυτήτων, μπορούμε νά εφαρμόσουμε μιá άπό τίς γνωστές μεθόδους όπως, π.χ. τήν άσυνεχή μέθοδο του Y. La-
bye.

ε) Όπως έγινε φανερό μέ τόν καθορισμό τών σωστών κριτηρίων σχεδιασμοϋ ένός άρδευτικοϋ δικτύου έπιτυγχάναται μιá σημαντική οίκονομία πού, όπως άναφέρθηκε στο κεφάλαιο 8, ξεπερνά συνηθως κατά μέσο όρο τό 20% σέ σύγκριση μέ τά οίκονομικά άποτελέσματα πού δύνει ή εφαρμοζόμενη μεθοδολογία στή χώρα μας σήμερα.

Θεωρούμε ότι αυτό τό οίκονομικά άποτέλεσμα άποτελεϋ πολύ σημαντικό παράγοντα πού πρέπει νά λαμβάναται ύπόψη άπό δώ καί πέρα στο σχεδιασμό τών ύπό πίεση άρδευτικών δικτύων.

στ) Σημειώνεται καί πάλι ίδιαίτερα τό γεγονός ότι μέ τήν έφαρμογή τών ΐδεατών παροχών όχι μόνο δέν άπαιτεΐται νά βρεθεί ένας νέος άλγόριθμος βελτιστοποιήσεως αλλά τουαντίον ή εϋρεση καί ή εφαρμογή τών παροχών αύτών είναι άπλούστατη καί ταχύτατη για τήν χρησιμοποίηση σέ συνέχεια κάποιας γνωστής μεθόδου βελτιστοποιήσεως. Επίσης τονίζεται τό γεγονός ότι μέ τίς ΐδεατές παροχές έπιτυγχάναται όμοιόμορφη σχεδόν ποιότητα λειτουργίας σ' όλο τό δίκτυο καί μετατρέπεται ένα πιθανοθεωρητικό πρόβλημα σέ άύτιοκρατικό.

10. ΒΙΒΛΙΟΓΡΑΦΙΑ

1. BONNAL C. "Έγχειρίδιον συλλογικῆς ἀρδεύσεως διὰ καταλυο-
σμοῦ". Πολυγραφημένη ἔκδοσις Ὑπουργείου Δημ. Ἔργων, 1966.
2. CAUVIN A. et DIDIER G. "Distribution d'eau dans les agglom-
erations" Editions Eyrolles, 1963.
3. CLEMENT R. "Le calcul des dēbits dans les canalisations d'
irrigation" Association amicate d'ingenieurs du Genie Ru-
ral-Journees d'ētudes sur d'irrigation, Ἰούλιος 1955.
4. CLEMENT R. "Calcul de dēbits dans les reseaux d'irrigation
fonctionnant a la demande" La Houille Blanche No 5, 1966.
5. COOPER L. and STEINBERG P. " Introduction to methods of
optimazation" by W.B.Saunders Company 1970.
6. ΔΑΣΚΑΛΟΠΟΥΛΟΣ Δ. "Ἐφηρμοσμένη γραμμικὴ ἄλγεβρα" Ἀθῆναι ,
1973.
7. DAVIS C.V. " Handbook of Applied Hydraulics" Second ed. Mc.
Graw Hill Book, Company 1952.
8. ΕΥΣΤΡΑΤΙΑΔΗΣ ΓΡ. " Ἐπὶ τοῦ τρόπου ὑπολογισμοῦ τῶν ἀρδευτι-
κῶν δικτύων διὰ σωλῆνων ὑπὸ πίεσιν κατὰ τὴν μέθοδον Clement"
Τεχνικά Χρονικά No 6, 1960.
9. ΚΑΚΟΥΛΟΣ Θ. " Θεωρία πιθανοτήτων καὶ στοχαστικῶν ἀνελεύξεων"
Ἀθῆναι, 1970.
10. LABYE Y. "Methodes Permettant de determiner les characteri-
stiques optimales d'un reseau de distribution d'eau-Metho-
dē discontinue" Bulletin Technique du Genie Rural, No 50
11. ΛΕΙΒΑΔΙΤΗΣ Ε. " Ἡ ἀσυνεχὴς μέθοδος Labye διὰ τὸν ὑπολογι-
σμόν τοῦ οἰκονομικοῦ συνδυασμοῦ διαμέτρων σωληνωτῶν δικτύ-
ων ἀρδεύσεως" Τεχνικά Χρονικά No 5, 1972.

12. MANOS: "National Plumbing Code Handbook" Mc Graw-Hill Company- 1960.
13. ΝΟΥΤΣΟΠΟΥΛΟΣ Γ. " Μαθήματα θεωρητικής και Εφαρμοσμένης 'Υδραυλικής" τεύχος Β. Ροή εις κλειστούς αγωγούς υπό πίε - σιν, 'Αθήναι 1973.
14. ΝΟΥΤΣΟΠΟΥΛΟΣ Γ. " Τό πρόβλημα τής οικονομικής πιεζομετρι - κής γραμμής άκτινωτών δικτύων βαρύτητας" Τεχνικά Χρονικά, No 10, 1969.
15. ΠΑΝΤΕΛΙΑΔΗΣ Γ. " Μαθηματική ανάλυσις" Τόμοι Ι και ΙΙ, 'Αθή - ναι 1972,1974.
16. SOKOLNIKOFF and REDHEFFER " Mathematics of Physics and Mo - dern Engineering" Mc Graw Hill Book Company inc.,1966.
17. WONNACOTT T.- WONNACOTT R. " Introductory Statistics " J. Willey 1972.
18. ΥΠΟΥΡΓΕΙΟΝ ΔΗΜΟΣΙΩΝ ΕΡΓΩΝ " 'Αρχαί διέπουσai τήν έφαρμο - γήν τής άσυνεχοϋς μεθόδου Labye αναφερομένης εις τόν βέλ - τιστον καθορισμόν τών διαμέτρων δικτύων τεχνητής βροχής και τήν έπιλογήν τοϋ βελτίστου ύψους καταθλίσεως" Έγκύ - κλιος Δ. 24714/20.10.1969.
19. ΧΡΗΣΤΟΥΛΑΣ Δ. " Η πιθανοθεωρία στον ύδραυλικό σχεδιασμό τών υπό πίεση άρδευτικών δικτύων, Τεχνικά Χρονικά 'Ιανου - άριος 1977.

ΚΛΕΙΣΤΑ ΚΥΚΛΟΦΟΡΙΑΚΑ (ΒΡΟΧΩΤΑ) ΔΙΚΤΥΑ

1. Είσαγωγή

Στό Α΄ μέρος της παρούσας εργασίας ασχοληθήκαμε με τὰ ἀκτινωτά δίκτυα άρδύσεως που λειτουργούν με πίεση και έλεύθερη ζήτηση και δώσαμε όλα τὰ γενικά στοιχεία όπως έπίσης και τίς μέχρι τώρα εργασίες που άφορούν τέτοια δίκτυα. Πολλά από τὰ στοιχεία αυτά είναι γενικού χαρακτήρα και άφορούν όχι μόνο τὰ άκτινωτά αλλά και τὰ κλειστά κυκλοφοριακά δίκτυα άρδύσεως όπως, π.χ. ο τύπος του R.Clement, ο καθορισμός της ποιότητας λειτουργίας κλπ.. Έπομένως σε τούτο τό μέρος της εργασίας εύλογο είναι νά μην έπαναλάβουμε τέτοια γενικά χαρακτηριστικά των σωληνωτών υπό πίεση δικτύων άρδύσεως.

Τό πρόβλημα των κλειστών υπό πίεση κυκλοφοριακών δικτύων άρδύσεως που λειτουργούν με έλεύθερη ζήτηση δέν έχει λυθεί μέχρι τώρα με κάποιο αυτιοκρατικό ή γενικό τρόπο, παρά μόνο στις περιπτώσεις που ή ποιότητα λειτουργίας λαμβάνεται $\varphi=100\%$ δηλαδή όλα τὰ στόμια είναι άνοιχτά, με τή γνωστή μέθοδο του H.Cross 1,4 . Η λύση τέτοιων προβλημάτων είναι δυνατή και πραγματοποιείται μόνο με κατάλληλη έξομοίωση της λειτουργίας κάθε συγκεκριμένης περιπτώσεως κλειστού δικτύου.Στή περίπτωση αυτή άπ' ότι έχουμε υπόψη μας λαμβάνεται σαν κριτήριο καθορισμού της ποιότητας λειτουργίας τό κριτήριο της άπώλειας φορτίου, που θεωρήθηκε και γενικότερα σαν σωστό στο Α΄ μέρος της παρούσας.

Είναι φανερό πάντως ότι σε περιπτώσεις περισσοτέρων του ενός βρόχου ο όγκος των υπολογισμών με ήλεκτρονικό υπολογιστή είναι πάρα πολύ μεγάλος ιδίως όταν πρέπει νά γίνει έρευνα και

για τή βελτιστοποίηση του δικτύου.

Στό παρόν μέρος Β' αντιμετωπίζεται κατ'άρχή ή περίπτωση ενός βρόχου και λύνεται τό πρόβλημά του. Η λύση του προβλήματος βασίζεται στην έρευνα του Α' μέρους και σέ ώρισμένες συμπληρωματικές σκέψεις και υπολογισμούς. Έτσι μέ τόν ίδιο τρόπο καθορίζονται πάλι "ΐδεατές παροχές σχεδιασμού" και υποδεικνύεται ένας κατάλληλος τρόπος για τήν έφαρμογή τους. Τά άποτελέσματα πού δύνει ή προτεινόμενη μέθοδος έλέγχονται σέ ένα συγκεκριμένο παράδειγμα μέ τή μέθοδο τής έξομοιώσεως και άποδεικνύονται πλήρως ικανοποιητικά.

Η έφαρμογή τών "ΐδεατών παροχών" είναι άπλούστατη και άπαλλάσσει τόν μηχανικό άπό τήν εκτέλεση ενός προγράμματος υπολογισμών για νά βρεΐ τή λύση μέ τή μέθοδο τής έξομοιώσεως.

Τό θέμα όμως δέν είναι μόνο ή μείωση του όγκου τών υπολογισμών αλλά και ή όρθή αντιμετώπιση τέτοιων προβλημάτων. Πράγματι μέ τίσ προτεινόμενες "ΐδεατές παροχές" μετατρέπεται και εδώ, όπως και στα άκτινωτά δίκτυα, ένα πιθανοθεωρητικό πρόβλημα σέ αίτιοκρατικό και άποφεύγεται ό ύπερσχεδιασμός ή άκόμα και ό ύποσχεδιασμός τών δικτύων, πού όπως είναι γνωστό είναι άναπόφευκτος όταν έφαρμοσθούν παροχές σχεδιασμού κατά όποιαδήποτε έμπειρική διαδικασία. Μάλιστα πρέπει σχετικά νά τονισθεΐ ότι ΐσως πολλές φορές σχεδιάζοντας σωστά νά προκύπτει ότι ένα κλειστό δίκτυο τεχνητής βροχής μέ έλεύθερη ζήτηση είναι οίκονομικότερο άπό ένα αντίστοιχο κλειστό δίκτυο πού λειτουργεί μέ πρόγραμμα, ένω θεωρώντας τίσ έφαρμοζόμενες έμπειρικές παροχές σχεδιασμού νά προκύπτει αντίθετο συμπέρασμα.

Για τήν έφαρμογή τής προτεινόμενης μεθόδου μέ "ΐδεατές παροχές σχεδιασμού" τελικά προσδιορίζεται σέ κάθε βρόχο και ένα σημείο ίσορροπίας τών άριστερά και δεξιά του πιεζομετρι -

κῶν γραμμῶν πού τό ὀνομάζουμε "ἰδεατό σημεῖο διακοπῆς".

Ἡ ἐφαρμογή τῆς προτεινόμενης μεθόδου σέ περισσότερους βρόχους εἶναι δυνατή ἀλλά ὅπωςδήποτε μέ σημαντική αὔξηση τῶν δυσκολιῶν ἀπό πλευρᾶς ὄγκου ὑπολογισμῶν.

Πρέπει πάντως νά ἀναφερθεῖ ὅτι μέ τήν ἐφαρμογή τέτοιων ἰδεατῶν παροχῶν διευκολύνεται πάρα πολύ καί ἡ διαδικασία τῆς βελτιστοποιήσεως τῶν κλειστῶν δικτύων. Στά κεφάλαια 3 καί 4 ὑποδεικνύονται ἀκροθιγῶς μερικοί τρόποι πού μποροῦν νά χρησιμοποιηθοῦν γιά τήν ἐφαρμογή τῆς μεθόδου σέ περισσότερους βρόχους, τόσο γιά τόν ἔλεγχο βροχωτοῦ δικτύου μέ γνωστές διαμέτρους, ὅσο καί γιά τόν καθορισμό βέλτιστου συνδυασμοῦ διαμέτρων. Αὐτό ὅμως εἶναι θέμα πού δέν ἐντάσσεται στοῦς στόχους τῆς παροῦσας ἐργασίας ἀφοῦ ἐξάλλου ἀποτελεῖ ἕνα πρόβλημα σέ ὅλες τίς περιπτώσεις πού ζητιέται ἡ βελτιστοποίηση κλειστῶν κυκλοφοριακῶν δικτύων στά ὁποῖα εἶναι καθορισμένες κατά αἰτιοκρατικό τρόπο οἱ παροχές

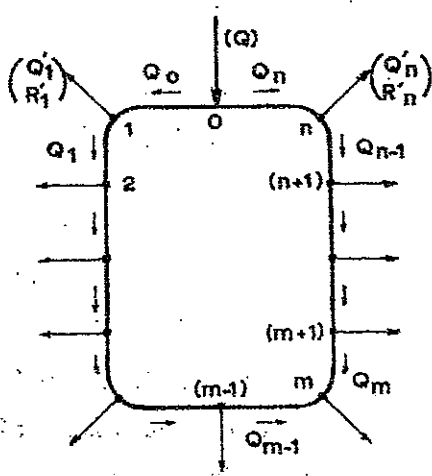
2. Η ΚΑΤΑΝΟΜΗ ΤΗΣ ΑΠΩΛΕΙΑΣ ΦΟΡΤΙΟΥ ΣΕ ΕΝΑ ΚΛΕΙΣΤΟ ΚΥΚΛΟΦΟΡΙΑΚΟ ΒΡΟΧΟ

2.1. Τροφοδοσία του βρόχου σε ένα σημείο

Θεωρείται τό σωληνωτό κλειστό δίκτυο του σχήματος 2.1.

Στό δίκτυο αυτό θεωρούνται γνωστά οι διαμέτροι και τά μήκη τών τμημάτων (0-1), (1-2)...(n-0) που χαρακτηρίζονται σαν $D_0, D_1, \dots, D_{m-1}, \dots, D_n$ και $l_0, l_1, \dots, \dots, l_n$ όπως επίσης ο βαθμός έλευθερίας του δικτύου.

Επίσης είναι γνωστός ο αριθμός τών στομιών ύδροληψίας που έξυπηρετεῖ κάθε πλευρική παροχή στους κόμβους 1, 2, ..., m, ..., n.



Σχ. 2.1

Επομένως είναι γνωστές και οι μέγιστες πλευρικές παροχές που αντίστοιχούν σε κάποια δεδομένη ποιότητα λειτουργίας φ . Τόν αριθμό τών πλευρικών ύδροληψιών τόν ονομάζουμε $R'_1, R'_2, \dots, R'_m, \dots, R'_n$ και τίς πλευρικές παροχές $Q'_1, Q'_2, \dots, \dots, Q'_m, \dots, Q'_n$. Τά αντίστοιχα μεγέθη R και Q επί τών τμημάτων του βρόχου παίρνουν σαν δείκτη τόν αριθμό του κόμβου που βρίσκεται στην αρχή δηλαδή $R_0, R_1, \dots, R_{m-1}, \dots, R_n$ και αντίστοιχα $Q_0, Q_1, \dots, Q_{m-1}, Q_m, \dots, Q_n$. Ο συνολικός αριθμός τών ύδροληψιών χαρακτηρίζεται μέ τό R και σε κάποιο σημείο του βρόχου όπου πραγματοποιείται διαχωρισμός άριστερά και δεξιά τών ύδροληψιών αυτών ο χαρακτη-

ρισμός γίνεται αντίστοιχα με R_α και R_δ . Τέλος οι άνοιχτές ύδροληψίες χαρακτηρίζονται με τό N τό όποιο παίρνει αντίστοιχο δείκτη με τό R . Η επίδωξη και έδω είναι νά βρεθεΐ ή άπώλεια φορτίου που άντιστοιχεΐ σε κάθε στάθμη πιθανότητας φ (ποιότητας λειτουργίας) και ειδικότερα στην περιοχή που ένδιαφέρει τά άρδευτικά δίκτυα ($\varphi=0,90$ έως $0,95$ συνήθως) δηλαδή ούσιαστικά νά βρεθεΐ ή κατανομή της.

Παρατηρεΐται σχετικά ότι για κάθε συνδυασμό άνοιχτών ύδροληψιών στό βρόχο ύπάρχει πάντοτε ένα σημείο (π.χ. στό m ίσορροπίας των πιεζομετρικών γραμμών, δηλαδή ένα σημείο τό όποιο χωρίζει τό σύνολο των ύδροληψιών R και N σε R_α, N_α και R_δ, N_δ αντίστοιχα άριστερά και δεξιά του και όπου οι άπώλειες φορτίου $h_{\text{άριστερά}} = h_\alpha$ και $h_{\text{δεξιά}} = h_\delta$ είναι ίσες.

Η άπώλεια στό βρόχο $h_{\beta\rho} = h$ θά είναι $h = h_\alpha = h_\delta$ πάντοτε και έπειδή θά έχει πιθανοθεωρητικό χαρακτήρα μπορούμε νά την εκφράσουμε σάν:

$$h = m + u \cdot S \quad (1)$$

όπου m = μέση τιμή της άπώλειας φορτίου

S = τυπική απόκλιση άπώλειας φορτίου

u = τυποποιημένη τιμή άπώλειας φορτίου

Έννοεΐται βέβαια ότι για κάθε συγκεκριμένο συνδυασμό άνοιχτών ύδροληψιών ύπάρχει μιá άπώλεια $h = h\varphi$ που άντιστοιχεΐ σε κάποια τιμή της $u = u(\varphi)$. Ο άντίστοιχος διαχωρισμός των N σε $R_\alpha + R_\delta = R$ και $N_\alpha + N_\delta = N$ δηλαδή σε άριστερά και δεξιά ύδροληψίες ώστε νά ίσχύει ή σχέση :

$$h = h_\alpha = h_\delta \quad (2)$$

Καθορίζει ένα "ίδεατό σημείο διακοπής" δηλαδή ένα σημείο όπου στόν συγκεκριμένο μόνο συνδυασμό μπορούμε ίδεατά νά διακόψου-

με τό δίκτυο σέ δύο άκτινωτά άριστερά καί δεξιά χωρίς νά αλλάξουν τά υδραυλικά χαρακτηριστικά του (πού θά είναι τά χαρακτηριστικά τοῦ κλειστοῦ κυκλοφοριακοῦ γιά τόν ἴδιο βέβαια συνδυασμό άνοιχτῶν υδροληψιῶν). Ἐξυπακούεται ὅτι στό ἰδεατό αὐτό σημείο αλλάζουν φορά οἱ παροχές καί κλίση οὐμπιεζομετρικές γραμμές. Οἱ ἀριθμοί R καί N δέν είναι ἀνάγκαστο νά είναι ἀκέραιοι γιατί μιὰ υδροληψία μπορεῖ νά τροφοδοτεῖται καί ἀπό τίς δύο κατευθύνσεις δηλαδή ἀπό άριστερά καί ἀπό δεξιά.

Ὅπως είναι φανερό τό ἰδεατό αὐτό σημείο διακοπῆς αλλάζει συνεχῶς θέση καθώς ὁ ἀριθμός R_α ἢ R_δ καί ἀντίστοιχα N_α ἢ N_δ τῶν άνοιχτῶν υδροληψιῶν συνεχῶς μεταβάλλεται στούς διάφορους δυνατούς συνδυασμούς πού πραγματοποιοῦνται κατά τήν λειτουργία τέτοιων δικτύων τεχνητῆς βροχῆς. Πάντοτε ὅμως ἰσχύει ἡ πύ πάνω σχέση (2) καθώς καί οἱ σχέσεις (2α) πού ἀναγράφονται στήν εἰσαγωγή τοῦ Α' μέρους, δηλαδή:

$$Q = \mu + \epsilon \sigma$$

$$\mu = R \cdot p \cdot q_0$$

$$\sigma = \left[R \cdot p(1-p) \right]^{1/2} \cdot q_0$$

$$\epsilon = (\mu=0, \sigma=1)$$

Ἐπανερχόμενοι στήν ἔκφραση τῆς ἀπώλειας φορτίου στό βρόχο μέ τή σχέση (1) παρατηροῦμε ὅτι οἱ ἀπώλειες φορτίου άριστερά καί δεξιά σέ κάθε συνδυασμό μπορεῖ νά είναι ἴσες κάθε φορά, αλλά ἡ ἔκφρασή τους μέ σχέσεις ἀντίστοιχες πρὸς τή σχέση (1) θά είναι διαφορετικές δηλαδή :

$$h_\alpha = m_\alpha + u_\alpha \cdot S_\alpha \quad (3)$$

$$\text{καί} \quad h_\delta = m_\delta + u_\delta \cdot S_\delta \quad (3\alpha)$$

θά πρέπει ἐδῶ νά ἀναφερθεῖ ὅτι οἱ ἀντίστοιχες ἐκφράσεις τῶν h_α καί h_δ λαμβάνοντας ὑπόψη τῆς παροχῆς θά εἶναι:

$$h_\alpha = \sum K_i (\mu_i + \epsilon_\alpha \sigma_i) \quad (4)$$

$$\text{καί} \quad h_\delta = \sum K_j (\mu_j + \epsilon_\delta \sigma_j) \quad (4a)$$

ὅπου ὁ δείκτης i δηλώνει τά ἀριστερά τοῦ ἰδεατοῦ σημείου διακοπῆς τμήματα τοῦ βρόχου, π.χ. $0, 1, \dots, (m-1)$ καί ὁ δείκτης j τά δεξιὰ τμήματα m, \dots, n

Οἱ τυχαῖες μεταβλητές ϵ_α καί ϵ_δ εἶναι τυποποιημένης κανονικῆς κατανομῆς μιά καί δεχόμεστε ὅτι ὅλες οἱ πλευρικές παροχές εἶναι κανονικῆς κατανομῆς ($R \geq 10$). Τά μεγέθη βέβαια μ καί σ εἶναι μεταβλητά καί ἐξαρτιέονται ἀπό τοὺς μεταβλητοὺς ἀριθμούς R_α καί R_δ . Αὐτό σημαίνει ὅτι οἱ σχέσεις (2α) θά πρέπει νά ἰσχύουν μέ μεταβλητό πλῆθος στομίων R . Πράγματι γιὰ κάθε συγκεκριμένη τιμὴ τοῦ R ὑπάρχει ἓνα σύνολο (ὑποσύνολο) τιμῶν τῆς Q πού ἀκολουθεῖ τὴν κανονικὴν κατανομή, ἐνῶ γιὰ μεταβαλλομένη τιμὴ τοῦ R σ' ἓνα συγκεκριμένο διάστημα τιμῶν, ὑπάρχουν πολλὰ τέτοια ὑποσύνολα τιμῶν τῆς Q κανονικῆς κατανομῆς. Πάντως τελικὰ ἡ ἔκφραση αὐτῆς τῆς παροχῆς θά ἔχει πάντοτε τὴν μορφή τῆς σχέσεως (2α) καί ἐπομένως οἱ ἀπώλειες μποροῦν νά ἐκφραθοῦν μέ τῆς σχέσεις (4) καί (4a) ὅπου ὅμως τὰ μεγέθη μ καί σ μεταβάλλονται σέ συνάρτηση μέ τό R .

Γιὰ νά δοῦμε καλλύτερα τὴν ἐφαρμογὴ τῶν σχέσεων 2α στὸν βρόχο διατυπώνουμε τῆς σχέσεις:

Στὴν κεφαλὴ τοῦ βρόχου $Q = \mu + \sigma$ ($R = \text{σταθερό}$)

Στὸ ἀριστερὰ τμήμα τῆς κεφαλῆς $Q_\alpha = \mu_\alpha + \epsilon_\alpha \sigma_\alpha$ ($R_\alpha = \text{μεταβλητό}$)

Στὸ δεξιὰ τμήμα τῆς κεφαλῆς $Q_\delta = \mu_\delta + \epsilon_\delta \sigma_\delta$ ($R_\delta = R - R_\alpha = \text{μεταβλητό}$)

όπου $\mu_\alpha = R_\alpha \cdot p \cdot q_0$, $\mu_\delta = (R - R_\alpha) p q_0$

$$\sigma_\alpha = \left[R_\alpha p (1-p) \right]^{1/2} q_0, \quad \sigma_\delta = \left[(R - R_\alpha) p (1-p) \right]^{1/2} q_0$$

Έτσι προκύπτει ότι $[2, 3]$:

$$\begin{aligned} Q_\alpha + Q_\delta &= (\mu_\alpha + \mu_\delta) + \epsilon \cdot \frac{\sigma_\alpha^2 + \sigma_\delta^2}{2} = (R p q_0) + \left[R p (1-p) \right] \frac{1}{2} q_0 = \\ &= \mu + \epsilon \cdot \sigma = Q \end{aligned}$$

Βλέπουμε δηλαδή ότι πάντοτε οι παροχές Q_α και Q_δ άθροισζόμενες δίνουν την παροχή Q που αντίστοιχεῖ σέ όλο τό βρόχο και ή ό - ποία ακολουθεῖ τήν κανόνικη κατανομή. Αυτό βέβαια δέν έμποδίζει τήν άποδοχή ώρισμένων αποτελεσμάτων τοῦ A' μέρους, όπως, π.χ. τής έκφράσεως τών άπωλειών φορτίου κατά μήκος μιᾶς γραμμής μεταφορᾶς. Η μόνη δυσκολία εἶναι ότι για κάθε ώρισμένη τιμή τοῦ R υπάρχει ένα ύποσύνολο τιμῶν τής h και έπομένως για τίς διάφορες τιμές τής R υπάρχουν πολλά τέτοια ύποσύνολα τής h που τό καθένα τους ακολουθεῖ τήν κανόνικη κατανομή. Έτσι, τό πρόβλημα γίνεται δυσχερέστερο, γιαυτό πιο κάτω μέ τίς όριακές συνθήκες που προκύπτουν από τήν ισότητα τών άπωλειών στήν άριστερή και δεξιᾶ διαδρομή, βρίσκουμε εκείνες τίς τιμές τών R , q , Q και h που ικανοποιούν τίς δεσμεύσεις τοῦ προβλήματος.

Αυτή έξάλλου εἶναι και ή δυσχέρεια στήν επίλυση τέτοιων προβλημάτων που αναφέρονται σέ κλειστούς βρόχους και ό στόχος αὐτῆς τής έργασίας εἶναι νά βρεῖ ένα κατάλληλο τρόπο για τήν άπλη και γρήγορη λύση τους.

Ανατρέχοντας έπομένως στά κεφάλαια 3, 4, 5 τοῦ A' μέρους μπορούμε νά δεχθοῦμε ότι οἱ σχέσεις (4) και (4α) μέ ικανοποιητική προσέγγιση μετατρέπονται στίς σχέσεις:

$$h_{\alpha} = \sum_{i=0}^{i=(m-1)} \Sigma K_i (\mu_i^2 + \sigma_i^2) + \epsilon_{\alpha} (2 \sum_{i=1}^{(m-1)} \Sigma K_i \mu_i \sigma_i) \quad (5)$$

$$h_{\delta} = \sum_{j=m}^{j=n} \Sigma K_j (\mu_j^2 + \sigma_j^2) + \epsilon_{\delta} (2 \sum_{j=m}^n \Sigma K_j \mu_j \sigma_j) \quad (5\alpha)$$

ή γενικότερα

$$h_{\alpha} = \Sigma K_i (\mu_i^{\alpha} + \frac{\alpha(\alpha-1)}{2} \mu_i^{\alpha-2} \sigma_i^2) + \epsilon_{\alpha} (\Sigma K_i \mu_i^{\alpha-1} \sigma_i) \quad (5\beta)$$

$$\text{καί } h_{\delta} = \Sigma K_j (\mu_j^{\alpha} + \frac{\alpha(\alpha-1)}{2} \mu_j^{\alpha-2} \sigma_j^2) + \epsilon_{\delta} (\Sigma K_j \mu_j^{\alpha-1} \sigma_j) \quad (5\gamma)$$

Οι σχέσεις βέβαια (5β) και (5γ) με πολύ ικανοποιητική προσέγγιση μπορούν να αντικατασταθούν από τις σχέσεις (5) και (5α) όπως αποδείχτηκε στο Α' μέρος, γιαυτό από εδώ και πέρα θα χρησιμοποιούμε αυτές σαν απλούστερες. Αν βέβαια θέλουμε μεγαλύτερη ακρίβεια μπορούμε να ανατρέψουμε ξανά στις σχέσεις (5β) και (5γ).

Οι σχέσεις (5) και (5α) είναι ουσιαστικά ή έκφραση των (3) και (3α) μετά τον καθορισμό των παραμέτρων m, S και u .

Παρατηρείται ότι η πρόσθεση των (5) και (5α) μας δίνει την έκφραση της απώλειας φορτίου στο βρόχο δηλαδή:

$$h = \frac{1}{2} \left[\Sigma K_i (\mu_i^2 + \sigma_i^2) + \Sigma K_j (\mu_j^2 + \sigma_j^2) \right] + \epsilon_{\alpha} (\Sigma K_i \mu_i \sigma_i) + \epsilon_{\delta} (\Sigma K_j \mu_j \sigma_j) \quad (6)$$

Από την (6) βρίσκουμε τη μέση τιμή m και την απόκλιση S της απώλειας φορτίου.

$$m = E(h) = \frac{1}{2} \left[\Sigma K_i (\mu_i^2 + \sigma_i^2) + \Sigma K_j (\mu_j^2 + \sigma_j^2) \right] + (\Sigma K_i \mu_i \sigma_i) E(\epsilon_{\alpha}) + (\Sigma K_j \mu_j \sigma_j) \cdot$$

$E(\epsilon_{\delta})$ και επειδή $E(\epsilon_{\alpha}) = E(\epsilon_{\delta}) = 0$ έχουμε

$$m = \frac{1}{2} \left[\sum K_i (\mu_i^2 + \sigma_i^2) + \sum K_j (\mu_j^2 + \sigma_j^2) \right] \quad (7)$$

Για την διακύμανση της απώλειας φορτίου θα έχουμε:

$$\text{Var}h = S^2 = \sum_{\kappa' > \kappa} \text{Var}h_{\kappa} + 2 \sum \text{Cov}(h_{\kappa}, h_{\kappa'})$$

τό κ διατρέχει όλες τις τιμές των i και j δηλαδή από 0 έως n .

Όπως αποδείχτηκε και στο κεφάλαιο 3 του Α' μέρους

$$\text{Var}h = S^2 = (\sum K_i \mu_i \sigma_i)^2 \text{Var}(\epsilon_{\alpha}) + (\sum K_j \mu_j \sigma_j)^2 \text{Var}(\epsilon_{\delta}) + 2 \sum \text{Cov}(h_{\kappa}, h_{\kappa'})$$

Ο όρος όμως $\sum \text{Cov}(h_{\kappa}, h_{\kappa'})$ όπου τά κ, κ' ανήκουν σε αντίθετη φορά ροής του νερού (δηλαδή αν $\kappa = i$ και $\kappa' = j$) είναι μηδέν επειδή τά h_{κ} και $h_{\kappa'}$ είναι ανεξάρτητες μεταβλητές, ενώ στις άλλες περιπτώσεις πάλι είναι μηδέν όπως αναλυτικά αποδείχτηκε στο κεφάλαιο 3 του Α' μέρους και έτσι:

$$\text{Var}h = S^2 = (\sum K_i \mu_i \sigma_i)^2 + (\sum K_j \mu_j \sigma_j)^2$$

$$\eta \quad S = \frac{1}{2} \left[(\sum K_i \mu_i \sigma_i)^2 + (\sum K_j \mu_j \sigma_j)^2 \right]^{\frac{1}{2}} \quad (8)$$

Βέβαια στις ίδιες σχέσεις (7) και (8) θα μπορούσαμε να καταλήξουμε άμεσα αν λαμβάναμε υπόψη ότι [2,3] όταν οι $X_i (i=1,2,\dots,n)$ είναι ανεξάρτητες τυχαίες μεταβλητές που έχουν κανονικές κατανομές τότε ο γραμμικός συνδυασμός $y = \sum_{i=1}^n \alpha_i X_i$ έχει πάλι κανονική κατανομή με μέση τιμή $\mu = E(y) = \sum_{i=1}^n \alpha_i E(X_i)$ και διακύμανση $S^2 = \text{Var}y = \alpha^2 \text{Var}(X_i)$.

Αυτό όμως σημαίνει ότι στη σχέση (1) η τιμή

$$u = e \quad (9)$$

δηλαδή μπορούμε να δεχθούμε με τις παραδοχές που έχουμε κάνει στα άκτινωτά δίκτυα ότι η απώλεια φορτίου έχει την κανονική κατανομή. Φυσικά ισχύουν όσα γράφτηκαν στο Α' μέρος για το βαθμό προσεγγίσεως.

"Αν όμως λάβουμε υπόψη ότι η (8) μπορεί να γραφτεί ως εξής:

$$S = \frac{1}{2} \cdot \rho \cdot \left\{ (2\Sigma K_i \mu_i \sigma_i) + (2\Sigma K_j \mu_j \sigma_j) \right\} \quad (10)$$

$$\text{όπου } \rho = \left[\frac{(\Sigma K_i \mu_i \sigma_i)^2 + (\Sigma K_j \mu_j \sigma_j)^2}{(\Sigma K_i \mu_i \sigma_i + \Sigma K_j \mu_j \sigma_j)^2} \right]^{\frac{1}{2}} \quad (11)$$

Δηλαδή τό $0,707 \leq \rho < 1$, και συνήθως μπορεί να λαμβάνεται μία τιμή περί τό 0,75 περίπου. Εφόσον ληφθεί μεγαλύτερη τιμή θά προκύψει βέβαια μία αύξηση της απώλειας h που όπως αποδείχτηκε στο Α' μέρος είναι μικρή. Πράγματι ό όρος $(2\Sigma K_i \mu_i \sigma_i)$ είναι πάντοτε μικρότερος του $\frac{1}{2} \Sigma K_i (\mu_i^2 + \sigma_i^2)$ και επομένως ή έπαύσηση του όρου S κατά ένα ώρισμένο ποσοστό αυξάνει τό συνολικό h κατά ποσοστό μικρότερο του $\frac{1}{3}$ της αύξησεως. Έτσι υπολογίζεται ότι και στη δυσμενέστερη περίπτωση αυτή ή αύξηση δέν μπορεί να περάσει τό 8 έως 10% της συνολικής απώλειας h . Πάντως αν θέλουμε μπορούμε με τή σχέση (11) να υπολογίζουμε μετά τήν εξαγωγή τών αποτελεσμάτων τό ρ και να τό συγκρίνουμε με τήν τιμή που πήραμε προκαταβολικά στη σχέση (10), ώστε αν υπάρχει μεγάλη διαφορά και θέλουμε μεγαλύτερη ακρίβεια να επαναλάβουμε τούς υπολογισμούς όπως θά δοϋμε στό σχετικό παράδειγμα πιο κάτω.

Τελικά καταλήγουμε σέ μιá έκφραση της απώλειας στό βρόχο.

$$h = \frac{1}{2} \left[\Sigma K_i (\mu_i^2 + \sigma_i^2) + \Sigma K_j (\mu_j^2 + \sigma_j^2) \right] + \epsilon \left[\rho (\Sigma K_i \mu_i \sigma_i) + (\Sigma K_j \mu_j \sigma_j) \right] \quad (12)$$

όπου $i=0,1,\dots,(m-1)$, $j=m, \dots, n$,
 και οι τιμές των R_α, R_δ όπως και οι αντίστοιχες τιμές N_α, N_δ είν-
 ναι μεταβλητές.

$0,707 \leq \rho < 1$ και συνήθως περί την τιμή 0,75

Παραμένει όμως η δυσκολία καθαρισμού συγκεκριμένων τιμών μ_i ,
 σ_i και μ_j, σ_j μιά και τό πλήθος R_α, R_δ δέν είναι καθωρισμένο.

Ή λύση στό σημείο αυτό μπορεί νά δοθεῖ ὡς ἑξῆς:

Ή σχέση (12) γράφεται:

$$2h = \Sigma K_i \left[\mu_i^2 + \sigma_i^2 + \epsilon \cdot (2\rho \mu_i \sigma_i) \right] + \Sigma K_j \left[\mu_j^2 + \sigma_j^2 + \epsilon \cdot (2\lambda \mu_j \sigma_j) \right] \quad (13)$$

Ή από τή σχέση ὅμως (13) γίνεται ἀντιληπτό ὅτι ἂν βροῦμε
 κάποιο ἰδεατό σημείο διαχωρισμοῦ τῶν ὑδροληψιῶν R_α ἀριστερά
 και R_δ δεξιὰ τέτοιο ὥστε βάζοντας ἰδεατές παροχές στά ἀριστε-
 ρά τμήματα:

$$Q_i = \left[\mu_i^2 + \sigma_i^2 + \epsilon (2\rho \mu_i \sigma_i) \right]^{\frac{1}{2}} \quad (14)$$

και στά δεξιὰ $Q_j = \left[\mu_j^2 + \sigma_j^2 + \epsilon (2\rho \mu_j \sigma_j) \right]^{\frac{1}{2}} \quad (14a)$

πού προκύπτουν ὅμως γιά τήν ἴδια στάθμη πιθανότητας ϕ (δηλαδή
 $\epsilon_\alpha = \epsilon_\delta = \epsilon$) νά εἶναι οἱ ἀπώλειες φορτίου ἀριστερά και δεξιὰ ἴσες
 δηλαδή:

$$h_\alpha = h_\delta$$

$$\text{ἢ } \Sigma K_i \left[\mu_i^2 + \sigma_i^2 + \epsilon (2\rho \mu_i \sigma_i) \right] = \Sigma K_j \left[\mu_j^2 + \sigma_j^2 + \epsilon (2\rho \mu_j \sigma_j) \right] \quad (15)$$

Ἔτσι ὅταν ἐπιτύχουμε νά ἰσχύει ἡ σχέση (15) ἔχουμε λύ-
 σει τό πρόβλημα ἀφοῦ πλέον ἀπό αὐτή τή σχέση μπορούμε ἀντί-
 στροφα νά πάρουμε τή σχέση (12)

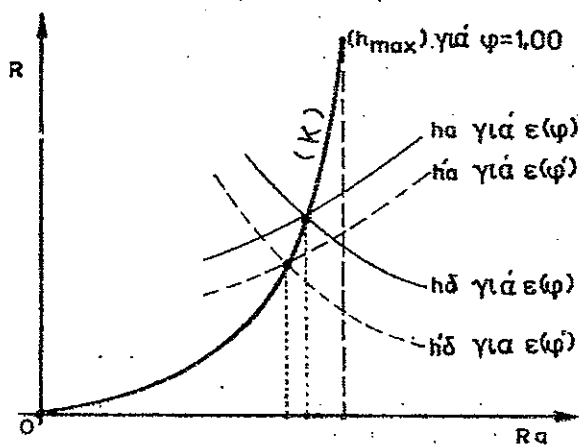
Ή από τή σχέση ὅμως (15) εἶναι εὐκόλο νά προσδιορίζουμε κά-
 θε φορά γιά τήν ἐπιθυμητή ποιότητα λειτουργίας εἴτε γραφικά

εἴτε ὑπολογιστικά ἓνα ἰδεατὸ σημεῖο τέτοιο ὥστε $h=h_{\alpha}=h_{\delta}$ ὅπως φαίνεται καὶ στὸ παραστατικό διάγραμμα γιὰ διάφορες τιμές τοῦ ϵ καὶ ἀντιστοιχοῦν σὲ διάφορες τιμές τῆς ἐπιθυμητῆς ποιότητας λειτουργίας φ, φ' .

Μέ τὴν εὑρεση τοῦ ἰδεατοῦ σημείου γιὰ κάθε περίπτωση ὁ βρόχος χωρίζεται σὲ δύο ἀκτινωτά δίκτυα. Παρατηρεῖται σχετικά ὅτι σὲ καθένα ἀπὸ αὐτὰ ἔχουμε μέ σταθερές τῖς R_{α} καὶ R_{δ} καὶ διάφορες τιμές τοῦ ϵ ,

δηλαδή τῖς ϵ_{α} καὶ ϵ_{δ} , πολλές τιμές τῶν h_{α} καὶ h_{δ} καὶ θὰ εἶναι ἴσες. Ὅμως στὴ συγκεκριμένη θέση (R_{α}, R_{δ}) στοιχεῖο τῶν δειγματοκτοῦ χώρου καὶ περιέχει τῖς τιμές ἀπώλειας φορτίου τοῦ βρόχου εἶναι μόνο ἐκεῖνο καὶ περιέχει τὴν τιμὴ $h=h_{\alpha}=h_{\delta}$ ὅπου $h_{\alpha}=h_{\delta}$ γιὰ τὸ ἴδιο $\epsilon=\epsilon(\varphi)$. Ἐπίσης πρέπει νὰ γίνει ἡ παρατήρηση ὅτι ἐφόσον ὁ ἀριθμὸς $R < 10$ μπορούμε γιὰ τῖς ἰδεατὲς παροχές νὰ χρησιμοποιοῦμε τὸν πῖνακα 6.1 τοῦ κεφαλαίου 6 τοῦ Α' μέρους. Στὸ Διάγραμμα Δ2. τὰ σημεῖα τομῆς τῶν καμπύλων (h_{α}, h_{δ}) , $(h'_{\alpha}, h'_{\delta})$ κ.ο.κ. βρίσκονται ἐπάνω σὲ καμπύλη (K) καὶ περνᾶει προφανῶς ἀπὸ τὴν ἀρχή ($h=0$) ὅταν $R_{\alpha}=0$ καὶ ἔχει μὴ μέγιστη τιμὴ h_{max} γιὰ κάποια τιμὴ τοῦ R_{α} καὶ ἀντιστοιχεῖ σὲ $\varphi=100\%$ (δηλαδή ὅταν ὅλα τὰ στόμια εἶναι ἀνοιχτά) καὶ φυσικά εἶναι πολὺ εὔκολο νὰ βρεθεῖ μέ τὴν μέθοδο τοῦ H. Cross.

ΔΙΑΓΡΑΜΜΑ Δ2.1



2.2. Ἡ ἔξομοίωση τῆς λειτουργίας ἑνὸς κλειστοῦ βρόχου μὲ μιά τροφοδοσία.

Γιὰ νὰ ἐπαληθεύσουμε τὰ συμπεράσματα τοῦ προηγούμενου κεφαλαίου 2 καὶ τὰ ἀποτελέσματα πού δίνουν οἱ ἐξισώσεις (12) καὶ (15) δίδουμε τό πῶ κάτω παράδειγμα.

Στό παράδειγμα αὐτό θεωροῦμε ἕνα κλειστό κυκλοφοριακό δίκτυο πού ἐξυπηρετεῖ 100 συνολικά στόμια ὑδροληψίας στίς θέσεις 1 ἕως 7 καὶ τροφοδοτεῖται ἀπό μιά ὑδροληψία στή θέση 0.

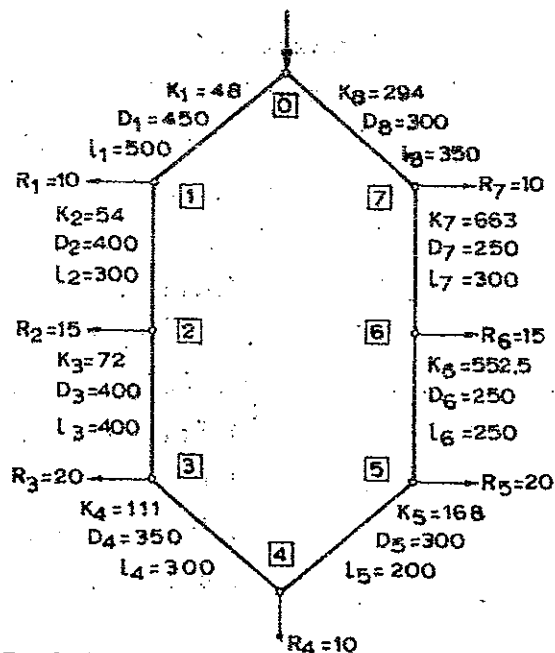
Τά δεδομένα εἶναι:

$$p = \frac{1}{3}, \quad q_0 = 6,0 \text{ λ/δλ}, \quad R = R_1 + \dots + R_7 = 100, \quad K = 10, 3n^2 D^{-16/3} \cdot 1 (n=0,0115) \text{ καὶ } h = KQ^2$$

Τά ὑπόλοιπα στοιχεῖα, π.χ. μήκη l σέ μέτρα, διαμέτροι D σέ χιλιοστά, συντελεστῆς $K (m^{-5} \cdot sec)$ τῶν τμημάτων τοῦ βρόχου, ἀναγράφονται ἐπάνω στό σχῆμα 2.2.

Τά ἀποτελέσματα γιὰ τήν ἀπώλεια φορτίου ἀπό τήν ἐφαρμογή τῶν ἐξισώσεων (12) καὶ (15) γιὰ διάφορες τιμές τοῦ ϵ καὶ R_α δίδονται στό διάγραμμα Δ2.

Γιὰ τό ἔδιο βρόχο μάλιστα ἔγινε καὶ μιά ἐξο-



Σχ.2.2

μούωση της λειτουργίας του για τριακόσιες (300) περιπτώσεις συνδυασμών άνοιχτών στομιών. Οι περιπτώσεις αυτές προέκυψαν από την εκτέλεση ενός πειράματος που έγινε με τρεις σφαίρες που οι δύο ήταν έρυθρές (άποτυχία=κλειστή ύδροληψία) και η μία λευκή (έπιτυχία=άνοιχτή ύδροληψία). Βέβαια θα μπορούσε για κάθε πλευρική παροχή στις θέσεις 1,2,...,7, μία και ο αριθμός των ύδροληψιών $R_1, \dots, R_7 > 10$ να εφαρμοσθούν σε κάθε θέση παροχής που θα προέκυπταν από ένα πίνακα τυχαίων αριθμών τυποποιημένης κανονικής κατανομής. Προτιμήθηκε όμως τελικά ο τρόπος που προαναφέρθηκε της εφαρμογής μιας διωνυμικής κατανομής ώστε να μην υπάρχουν αποκλίσεις στις περιπτώσεις όπου $R < 10$. Πράγματι τέτοιες περιπτώσεις υπάρχουν αρκετές στους διάφορους συνδυασμούς από το λόγο του διαχωρισμού των ύδροληψιών σε R_α και R_β αριστερά, και δεξιά, δηλαδή παρουσιάζονται στα τελευταία τμήματα των αριστερά και δεξιά διαδρομών.

Τά αποτελέσματα της έξομοίωσης είναι:

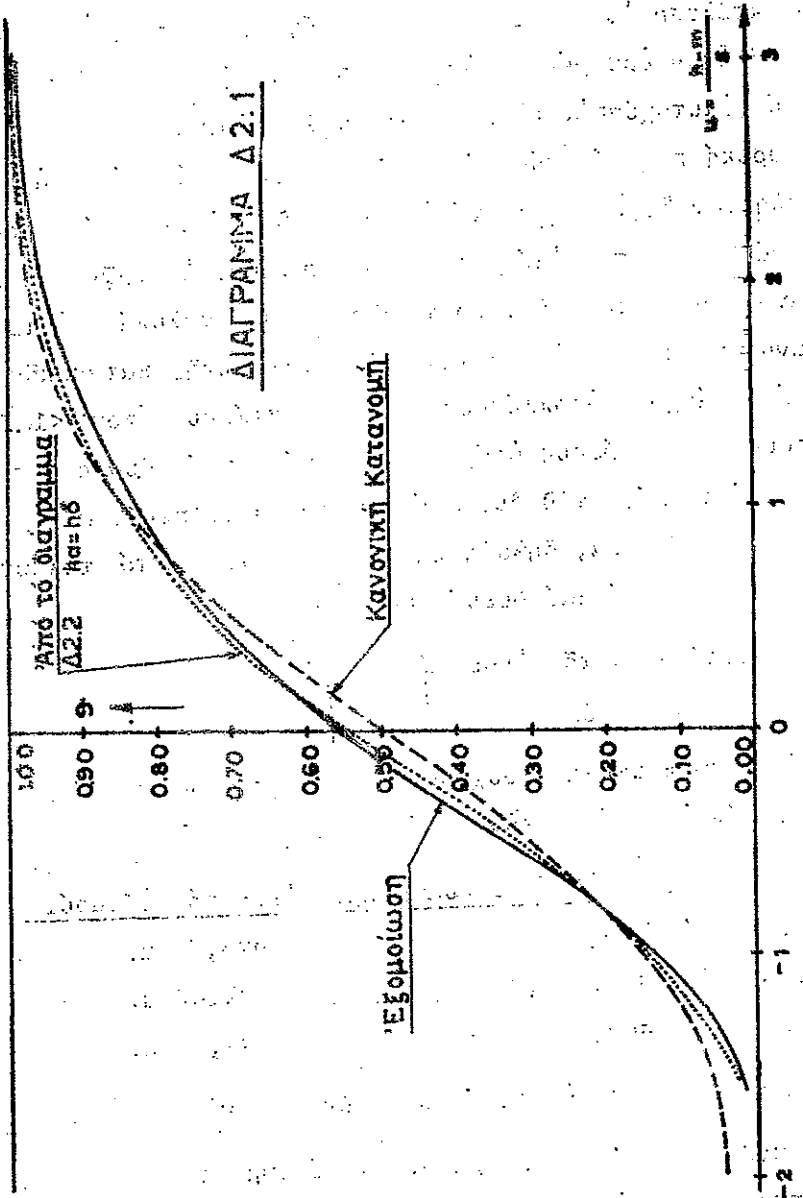
$$m = 2,52 \quad S = 0,78$$

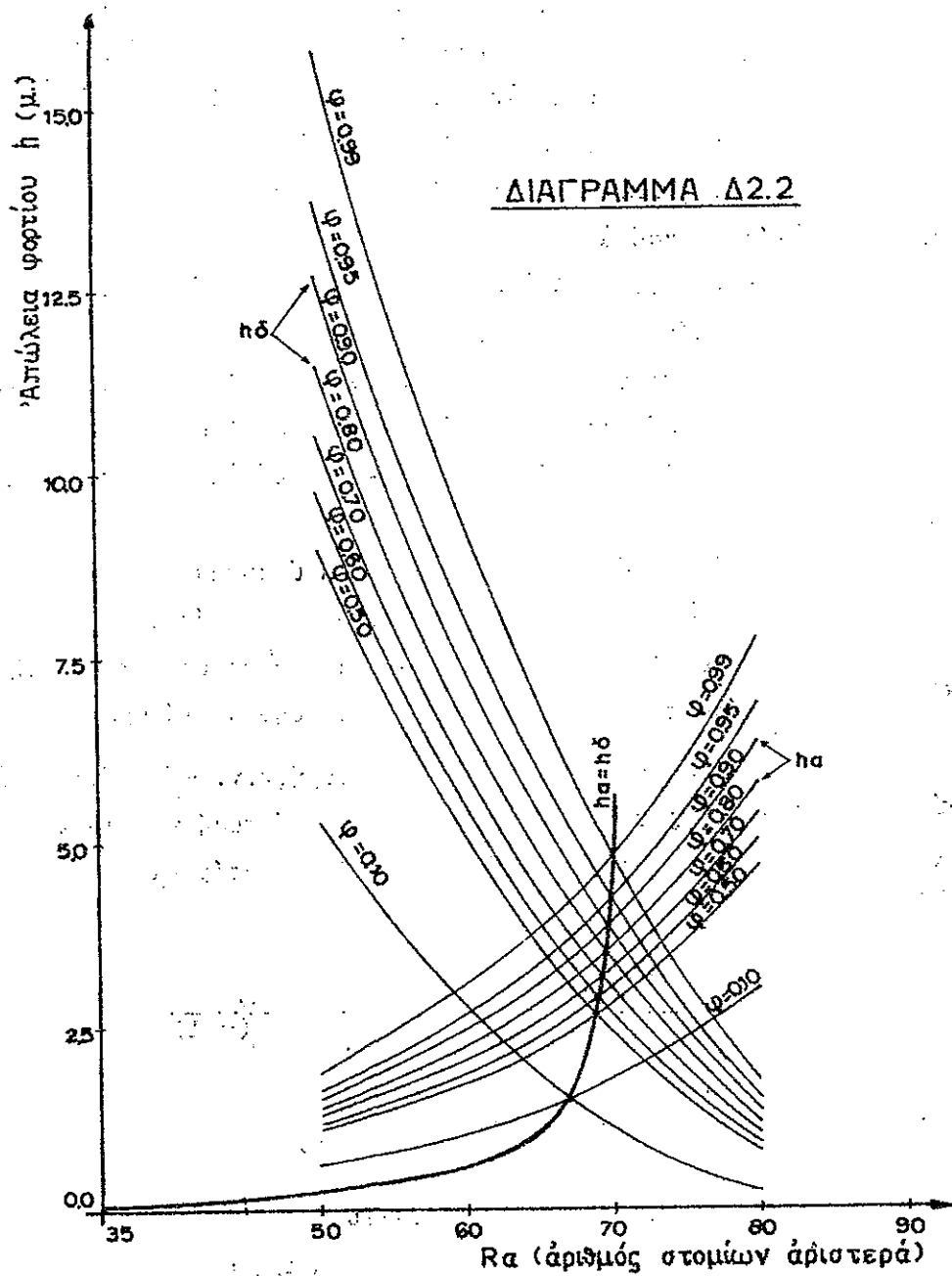
Επίσης συγκριτικά στοιχεία που προκύπτουν από το διάγραμμα και την έξομοίωση είναι τα εξής:

	<u>Από το διάγραμμα</u>	<u>Από την έξομοίωση</u>
Για $\varphi = 0,90$ και $k \approx 69,2$	$h = 3,85 \mu.$	$h = 3,75 \mu.$
" $\varphi = 0,95$ " $R \approx 69,5$	$h = 4,10 \mu.$	$h = 4,02 \mu.$
" $\varphi = 0,99$ " $R \approx 69,9$	$h = 4,75 \mu.$	$h = 4,62 \mu.$

Δηλαδή παρατηρούμε ότι η προσέγγιση είναι πολύ ικανοποιητική.

Στή συνέχεια στο διάγραμμα Δ.2.4 δίδουμε τά αποτελέσματα που προκύπτουν τόσο από την έξομοίωση όσο και από την εφαρμογή των σχέσεων (12) και (15) (δηλαδή των τιμών του διαγράμματος Δ2.2) και για σύγκριση δίδουμε και την καμπύλη της τυποποιημένης κανονικής κατανομής. Επίσης έγινε ένας έλεγχος





της τιμής του ρ που δίδει η σχέση (11) και βρέθηκε στην περίπτωση που $\varphi=0,95$ και $R=69,5$ $\rho=0,71$. Έτσι βλέπουμε ότι μέ την λήψη του $\rho=0,75$ έγινε ένας μικρός υπερχεδιασμός που ανήλθε σε 1,0 έως 1,5% της συνολικής απώλειας φορτίου h . Από το Διάγραμμα Δ.2.1 παρατηρούμε ότι στην περιοχή που πρακτικά ρ διαφέρει τον μηχανικό (μεταξύ των τιμών $\varphi = 0,90$ έως 0,95 ή ακόμα και από $\varphi=0,80$ έως 0,99) η καμπύλη K δέσει πολύ μικρή διακύμανση του αριθμού R_α . Αυτό σημαίνει ότι μπορούμε για μία πρώτη εκτίμηση του αριθμού R_α να παίρνουμε μία τιμή του που αντιστοιχεί σένα φ κοντινό στο διάστημα, π.χ. $\varphi=0,80$ έως 0,99. Εάν τέτοια τιμή πάντως μπορούμε να δεχθούμε την τιμή που προκύπτει για $\varphi=1,00$ δηλαδή για όλα τα στόμια άνοιχτά.

Πράγματι εδώ στο συγκεκριμένο παράδειγμα αν δεχθούμε $R=N=100$ προκύπτει για να έχουμε $h_\alpha = h_\delta$ ότι θα πρέπει να δεχθούμε με $R_\alpha \approx 68,3$ όποτε $h \approx 22,75$ μ. που είναι και η μέγιστη τιμή της απώλειας φορτίου που μπορεί να πραγματοποιηθεί στο βρόχο.

Αν λοιπόν δεχθούμε μία κατ'άρχη τιμή, π.χ. $R'_\alpha = N'_\alpha = 68$ ή και 69 ή ακόμα και 70 αλλά πάντως κοντά στη τιμή που βρήκαμε, δεχόμενοι $R=N=100$, τότε, εφαρμόζοντας τις ιδεατές παροχές, θα βρούμε μία διόρθωση

$$\Delta = \left(-\frac{1}{2}\right) \cdot \frac{\Sigma K_\alpha Q_\alpha^\alpha - \Sigma K_\delta Q_\delta^\alpha}{\Sigma K_\alpha Q_\alpha^{(\alpha-1)} + \Sigma K_\delta Q_\delta^{(\alpha-1)}} = \left(-\frac{1}{2}\right) \cdot \frac{(\Delta h)}{\Sigma K Q^{(\alpha-1)}} \quad (16)$$

Λαμβάνοντας όμως υπόψη ότι για $\varphi \neq 1,00$

$$N_\alpha = R_\alpha p + \epsilon \cdot \left[R_\alpha p (1-p) \right]^{1/2} \quad \text{προκύπτει}$$

$$\delta \text{τι } R_\alpha = \left[\frac{-\epsilon \left[p(1-p) \right]^{1/2} + \left[\epsilon^2 p \cdot (1-p) + 4pN_\alpha \right]^{1/2}}{2p} \right]^2 \quad (16a)$$

$$\text{όπου } N_{\alpha} = N'_{\alpha} + \frac{\Delta}{q_0} \quad (16\beta)$$

Έτσι μπορούμε γρήγορα να βρεθούμε κοντά στις τιμές του R_{α} που ικανοποιούν τη σχέση (15)

Στό πιο πάνω παράδειγμα αν λάβουμε για την εξέταση της τιμής στη θέση $\varphi=0,95$ κατ'άρχη τιμή του $R_{\alpha}=70$ θα βρούμε:

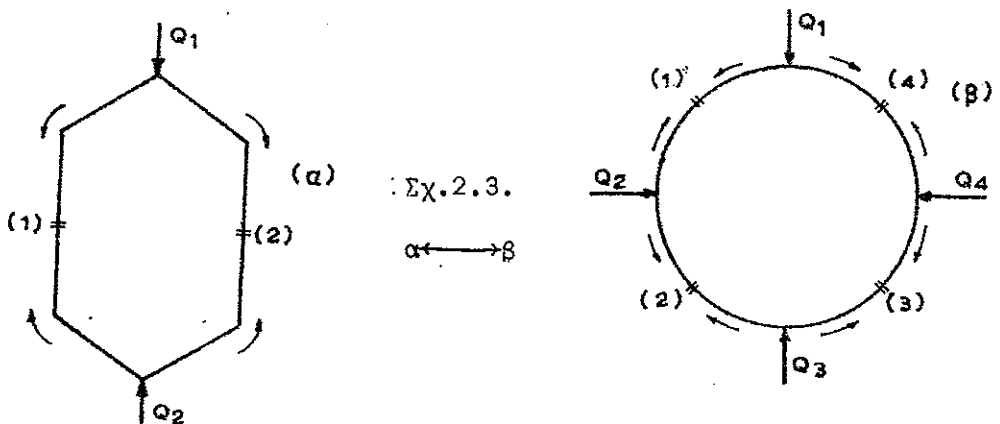
$$\Delta \approx \left(-\frac{1}{2}\right) \cdot \frac{(4,22-3,98)}{(108,3)} \approx -0,0011 \mu^3/\delta\lambda$$

$$\text{καί } N_{\alpha}=70 - \frac{0,0011}{0,006} \approx 29,8 \text{ όποτε από την (16\alpha)}$$

βρίσκουμε $R_{\alpha} \approx 69,5$ όσο δηλαδή καί από διάγραμμα Δ.3.1.

2.3. Τροφοδοσία ενός βρόχου σέ περισσότερα σημεία

Στά σχήματα 2.3 (α) καί (β) απεικονίζονται οί περιπτώσεις δύο βρόχων που τροφοδοτούνται σέ διάφορα σημεία από παροχές. Στην περίπτωση αυτή για να βρούμε τά ιδεατά σημεία διακοπής θα εφαρμόσουμε τίς εξισώσεις (15) μεταξύ δύο διαδοχικών τροφοδοτήσεων κατά κυκλικό τρόπο, ώστε να αποκτήσουμε για δύο τροφοδοσίες (σχ.2.3.α) τά δύο ιδεατά σημεία (1) καί (2). Έπίσης στό σχήμα (2.3.β) θα αποκτήσουμε τά τέσσερα ιδεατά σημεία

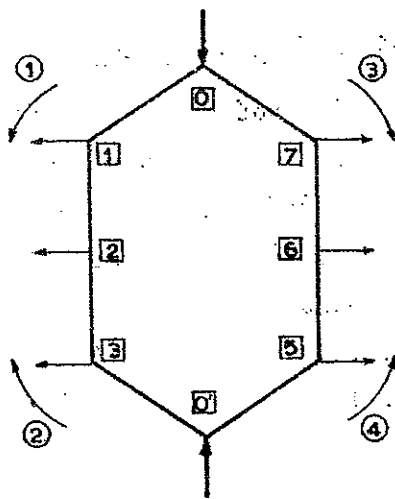


(1), (2), (3) και (4) για τις τέσσερες τροφοδόσεις Q_1, Q_2, Q_3, Q_4 .

Για παράδειγμα μπορούμε να πάρουμε το δίκτυο του σχήματος 2.2 και να δεχθούμε και δεύτερη τροφοδότηση στο σημείο (4) το οποίο το όνομάζουμε (0') (βλ. σχ. 2.4) οπότε βρίσκουμε τα ιδεατά σημεία διακοπής στον κόμβο (2) και (6) με τα εξής στοιχεία περίπου:

$$R_1 \approx 24,5 \quad R_2 \approx 20,5 \quad h_1 \approx h_2 \approx 0,25 \mu.$$

$$R_3 \approx 18 \quad R_4 \approx 27 \quad h_3 \approx h_4 \approx 1,15 \mu.$$

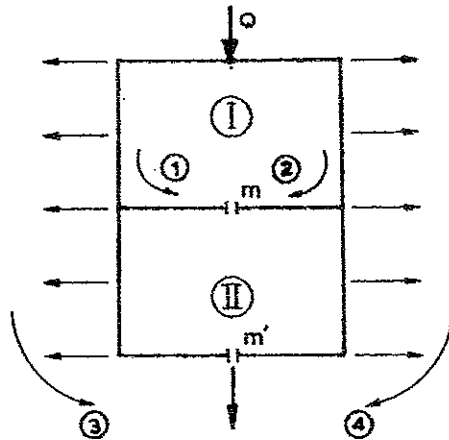


Σχ. 2.4

3. ΟΙ ΑΠΩΛΕΙΕΣ ΦΟΡΤΙΟΥ ΣΕ ΠΕΡΙΣΣΟΤΕΡΟΥΣ ΒΡΟΧΟΥΣ

Στό θέμα αυτό παρατηρούμε ότι ουσιαστικά τό πρόβλημα δέν παίρνει άλλη μορφή παρά αύτή που ἔχει καί ἕνα ἀντίστοιχο πρόβλημα όπου $\varphi=1,00$ δηλαδή όταν ὅλες οἱ ὑδροληψίες εἶναι ἀνοιχτές. Πράγματι μέ τίς "ἰδεατές παροχές" δύνουμε αἰτιολογικό χαρακτήρα στό πρόβλημα καί ἐπομένως μπορούμε νά ἐργασθοῦμε, π.χ. μέ τή μέθοδο τοῦ H. Cross προσδιορίζοντας τά σημεῖα ἰδεατῆς διακοπῆς. Στήν περίπτωση αὐτή μέ τίς σχέσεις (16), (16α) καί (16β) καί συνεχεῖς διαδοχικές προσεγγίσεις εἶναι δυνατό νά βροῦμε τά σημεῖα ἐκεῖνα ἰδεατῆς διακοπῆς στά ὁποῖα θά ἔχουμε ἰσορροπία πλεζομετρικῶν γραμμῶν, λαμβάνοντας βέβαια κάθε φορά ὑπόψη σάν παροχές τίς "ἰδεατές" που μᾶς δίδουν οἱ σχέσεις (14) καί (14α).

Ἐπίσης μπορούμε - ἄν βέβαια μᾶς συμφέρει γραφικά ἢ ἀναλυτικά - π.χ. στούς δύο βρόχους τοῦ σχ. 3.1 νά ἐκλέξουμε μιᾶ σταθερή θέση τοῦ ἰδεατοῦ σημείου m καί στή συνέχεια νά μετακινήσουμε τό m ὥστε $h_3=h_4$ γιά δεδομένη τιμή τῆς φ . Μετά κρατᾶμε τό m' σταθερό καί μετακινούμε τό m ἔτσι ὥστε



Σχ. 3.1

$h_1 = h_2$ για τήν ἴδια τιμή τῆς φ . Αυτό ἐπαναλαμβάνεται μέχρι νά βροῦμε μέ ἱκανοποιητική προσέγγιση τέτοια σημεῖα m καί m' ὥστε $h_1 = h_2$ καί $h_3 = h_4$ για τήν ἴδια τιμή τῆς φ .

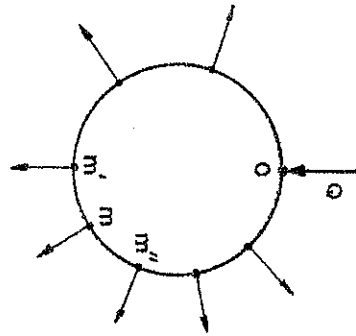
Όταν ἔχομε περισσότερες τροφοδοσίες μπορούμε νά ἀκολουθήσουμε πάλι τήν ἴδια διαδικασία μόνο πού ἡ ὑπολογιστική ἐργασία αὐξάνεται πολὺ. Πάντως δέν πρέπει νά ξεχνᾶμε ὅτι, για μιᾶ ἐκκίνηση ἱκανοποιητική θά πρέπει νά βρίσκουμε στήν ἀρχή τὰ ἰδέατᾶ σημεῖα διακοπῶν θεωρώντας ὅλες τίς ὑδροληψίες ἀνοιχτές.

4. Η ΒΕΛΤΙΣΤΟΠΟΙΗΣΗ ΤΩΝ ΚΛΕΙΣΤΩΝ ΚΥΚΛΟΦΟΡΙΑΚΩΝ ΔΙΚΤΥΩΝ

Τό πρόβλημα αυτό δέν θά μᾶς ἀπασχολήσει ιδιαίτερα μιά καί δέν ἀποτελεῖ ἀντικείμενο τῆς παρούσας ἐργασίας. Ἐξάλλου τό πρόβλημα μέ τήν ἐφαρμογή τῶν "ἰδεατῶν παροχῶν" μεταπίπτει σέ πρόβλημα βελτιστοποιήσεως βροχῶν δικτύων τά ὅποια δέχονται σταθερές παροχές γιά τό σχεδιασμό τους.

Ἀπλῶς καί μόνο γιά νά καθοδηγήσουμε τοὺς μελετητές μικρῶν καί ἀπλῶν δικτύων ὥστε νά μποροῦν νά ἐπιλύσουν τέτοια προβλήματα δίδουμε στό σχῆμα 4.1. Ἐνα βρόχο μέ μιά σταθερή ὕφομετρικά τροφοδοσία στό (0).

"Ἄν δεχθοῦμε τρία σημεῖα ἰδεατῆς διακοπῆς m', m, m'' καί κάθε φορά ἐφαρμόζοντας τίς ἰδεατές παροχές ὑπολογίζουμε τίς βέλτιστες διαμέτρους καί τό κόστος γιά κάθε σημεῖο m , θά προκύψει μιά χαρακτηριστική καμπύλη κόστους σέ συνάρτηση μέ τό πλήθος τῶν ὑδροληψιῶν, π.χ. R_{α} . Βέβαια ἄν πετύχουμε μέ τά τρία μόνο σημεῖα νά βροῦμε τό ἐλάχιστο κόστος τότε ἔχουμε



Σχ.4.1.

μειώσει τοὺς ὑπολογισμούς στό ἐλάχιστο, ἀλλοιῶς θά πρέπει νά πάρουμε καί ἄλλο σημεῖο m''' κ.ο.κ.

Μέ τόν ἴδιο τρόπο θά μπορούσαμε νά ἀντιμετωπίσουμε καί τή βελτιστοποίηση ἑνός βρόχου πού δέχεται n τροφοδοσίες σταθερές ὕφομετρικά. Τότε ὅμως θά πρέπει νά ἐξετάσουμε περισσότερους συνδυασμούς, π.χ. ἄν γιά κάθε τμήμα (i) μεταξύ δύο τροφοδοτή-

σεων Q_i και Q_{i+1} εξετάσουμε μ_i ιδεατά σημεία τότε το πλήθος των συνδυασμών για όλα τα τμήματα θα είναι $(\mu_1, \mu_2, \dots, \mu_n)$ δηλαδή αρκετά μεγάλο.

Με ανάλογες σκέψεις θα μπορούσαμε να προχωρήσουμε σε περισσότερους βρόχους με σταθερές ύψομετρικά τροφοδοσίες.

Τό πρόβλημα όταν οι τροφοδοσίες δέν είναι σταθερές ύψομετρικά γίνεται ακόμα πιο πολύπλοκο γιατί τότε προφανώς θα πρέπει πέρα από τά δοκιμαστικά σημεία ιδεατής διακοπής να εξετασθούν και διάφορες ύψομετρικές θέσεις των τροφοδοσιών.

5. ΣΥΜΠΕΡΑΣΜΑΤΑ

(α) Οι παραδοχές και τὰ αποτελέσματά στα ὁποῖα κατέληξε ἡ ἔρευνα τοῦ Α. μέρους, ὅπου ἐξετάσθηκαν τὰ ἀκτινωτὰ δίκτυα μπορεῖ νὰ ἐφαρμοσθεῖ και στα κλειστά κυκλοφοριακά δίκτυα μέ ὠρισμένες τροποποιήσεις σέ ὅτι ἀφορᾶ τίς παροχές σχεδιασμοῦ.

(β) Ἔτσι, ἡ μέθοδος πού προτείνεται γιά τήν λύση τοῦ προβλήματος ἑνός βρόχου πού λειτουργεῖ μέ ἐλεύθερη ζήτηση ἐπιτυγχάνεται μέ τήν ἐφαρμογή " ἰδεατῶν παροχῶν " πού δίδουν οἱ σχέσεις (14) ἢ (14α).

$$Q_i = \left[\mu_i^2 + \sigma_i^2 + 2\rho \cdot \epsilon \cdot \mu_i \sigma_i \right]^{\frac{1}{2}}$$

$$\text{ἢ ἀκόμα και } Q_i = \left[\mu_i^\alpha + \frac{\alpha(\alpha-1)}{\mu_i} \mu_i^{(\alpha-2)} \sigma_i^2 + \alpha \cdot \rho \cdot \epsilon \mu_i^{\alpha-1} \sigma_i \right]^{\frac{1}{\alpha}}$$

ὅταν $\alpha \neq 2,0$ ($\alpha = 1,76$ ἕως $2,00$)

$0,707 \leq \rho < 1$ και συνήθως μπορεῖ νὰ λαμβάνεται ἕσος μέ $0,75$ περίπου.

μ_i, σ_i = μέση τιμή και τυπική ἀπόκλιση τῆς παροχῆς στόν κλάδο i πού δίδονται ἀπό τίς σχέσεις (2α)

ϵ = τυποποιημένη τυχαία μεταβολή κανονικῆς κατανομῆς.

Οἱ παράμετροι βέβαια μ_i και σ_i ὑπολογίζονται κάθε φορά γιά πλῆθος στομίων R_α ἢ R_δ ἀριστερά ἢ δεξιά πού προκύπτουν ἀπό τήν ἐκλογή τοῦ ἰδεατοῦ σημείου διακοπῆς (δοκιμαστικά ἢ ὀχι).

Τό ὀρίστικό σημείο ἰδεατῆς διακοπῆς προκύπτει ἀπό τή σχέση

(15) δηλαδή τήν ἰσορροπία τῶν πλεζομετρικῶν γραμμῶν στό βρόχο ($h_\alpha = h_\delta$):

$$\Sigma K_i \left[\mu_i^2 + \sigma_i^2 + \epsilon(2\rho \mu_i \sigma_i) \right] = \Sigma K_j \left[\mu_j^2 + \sigma_j^2 + \epsilon(2\rho \mu_j \sigma_j) \right]$$

όπου οι δείκτες i και j καρλιτάνουν την άριστερά και δεξιά διαδρομή, τό $\lambda=0,75$ και τό ϵ άντιστοιχεί στην έπιθυμητή ποιότητα λειτουργίας φ .

Όταν ο αριθμός των στομών R_α ή R_δ είναι μικρότερος των 10 εφαρμόζονται σαν ιδεατές παροχές οι τιμές του πίνακα 6.1 του Α' μέρους ή άκόμα και με μιá προσέγγιση που μπορεί νά γίνει άνεκτή οι τιμές που δίδουν οι σχέσεις 2α.

Η άπώλεια φορτίου τέλος στό βρόχο θα είναι

$$h = h_\alpha = h_\delta$$

$$\text{ή } h = \frac{1}{2} (h_\alpha + h_\delta) = m + u.S. \quad (u = \epsilon)$$

που έκφράζονται άναλυτικά από τή σχέση (12) δηλαδή

$$h = \frac{1}{2} \left[\Sigma K_i (\mu_i^2 + \sigma_i^2) + \Sigma K_j (\mu_j^2 + \sigma_j^2) \right] + \epsilon \left[\rho (\Sigma K_i \mu_i \sigma_i) + (\Sigma K_j \mu_j \sigma_j) \right]$$

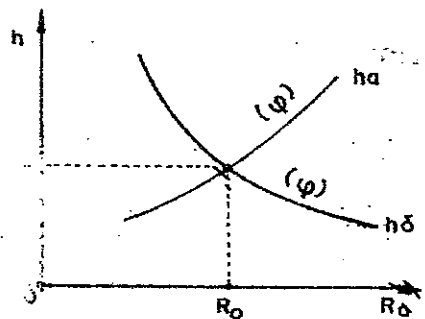
$$\text{ή τις σχέσεις } h_\alpha = \Sigma K_i (\mu_i^2 + \sigma_i^2) + \epsilon \cdot \left[\rho (\Sigma K_i \mu_i \sigma_i) \right]$$

$$h_\delta = \Sigma K_j (\mu_j^2 + \sigma_j^2) + \epsilon \cdot \left[\rho (2 \Sigma K_j \mu_j \sigma_j) \right]$$

(Άφου με τήν (15) βρίσκουμε τέτοιο ιδεατό σημείο διακοπής ώστε $h_\alpha = h_\delta$ για τό ίδιο ϵ)

Η εφαρμογή της προτεινόμενης μεθόδου μπορεί νά γίνει και γραφικά με τήν εφαρμογή της σχέσεως (14) σε τρεις τουλάχιστο θέσεις της τιμής R_α για τή δεδομένη φ (σχ.5.1).

Έπισης μπορούμε νά εφαρμόσουμε τήν μέθοδο του Η. Cross



Σχ.5.1

άλλά μέ ιδεατές παροχές ξεκινώντας από κάποιο δοκιμαστικό σημείο ιδεατής ιδεατής διακοπής που προκύπτει θεωρώντας όλες τις υδροληφίες άνοιχτές. (παράγρ.2.1 και σχέσεις 16,16α).

(γ) Έτσι βλέπουμε ότι ουσιαστικά ή μέθοδος είναι ή ίδια μέ τή μέθοδο του Η. Cross έλέγχου των κλειστών κυκλοφοριακών δικτύων, μέ μόνη τή διαφορά ότι έδω οι παροχές έχουν πιθανοθεωρητικό χαρακτήρα.

(δ) Η μέθοδος εφαρμόζεται όπως και στα άκτινωτά δίκτυα για οποιαδήποτε σχέση του κεφαλαίου 2 του Α' μέρους και αν εφαρμόσουμε για τις γραμμικές απώλειες. Επίσης ο συντελεστής λ της σχέσεως (11) μπορεί να έλέγχεται σε κάθε περίπτωση όταν επικριζεται μεγαλύτερη ακρίβεια. Πάντως μέ τιμή $\lambda \approx 0,75$ είναι πολύ έκανοποιητική για τις συνηθισμένες εφαρμογές.

(ε) Για τήν έπαληθευση της προτεινόμενης μεθόδου έγινε ή έξομοίωση του βρόχου που απεικονίζεται στο σχήμα 2.2 και τά αποτελέσματα που προέκυψαν συγκρίθηκαν μέ τά αντίστοιχα αποτελέσματα που δίνουν οι σχέσεις (12) και (15). Η σχεδόν σύμπτωση των αποτελεσμάτων (απόκλιση κατά 2 % έως 3 % μόνο στην απώλεια φορτίου) και ή προσέγγιση της τυποποιημένης τιμής της απώλειας φορτίου προς τήν τυποποιημένη τυχαία μεταβλητή της κανονικής κατανομής (Διάγραμμα Δ.2.2) έπαληθεύει πλήρως τήν προτεινόμενη μέθοδο.

(στ) Τελικά σημειώνεται ιδιαίτερα τό γεγονός ότι έδω όπως και στα άκτινωτά δίκτυα ένα πιθανοθεωρητικό πρόβλημα μετατρέπεται σε αίτιοκρατικό. Έτσι μέ τή μέθοδο αυτή της εφαρμογής "ιδεατών παροχών" τό πρόβλημα μεταπίπτει στα γνωστά αίτιοκρατικά προβλήματα ύπολογισμού απωλειών ή βελτιστοποίησης βροχωτών δικτύων που εκκλιούνται μέ συγκεκριμένες παροχές. Μέ αυτό τον

τρόπο αποφεύγεται ένας μεγάλος όγκος υπολογισμών που θα απαιτούσε, π.χ. την εκτέλεση εξομοιώσεως για κάθε εξεταζόμενη περίπτωση κλειστού κυκλοφοριακού δικτύου. Επίσης είναι δυνατόν τα προβλήματα απλών βροχωτών δικτύων που λειτουργούν με έλευθηρη ζήτηση να επιλύονται και σε μικρά μελετητικά γραφεία με τη χρήση μόνο μικρών υπολογιστικών μηχανών.

Τέλος επισημαίνεται το γεγονός ότι η εφαρμογή των "Ιδεωτών παροχών" τοποθετεί το πρόβλημα στη σωστή του βάση και αποκλείει υπερασχεδιασμούς ή υποσχεδιασμούς του δικτύου, και επομένως υποβοηθεί τον μελετητή μηχανικό στην λήψη σωστών αποφάσεων σε ότι αφορά τη μορφή του δικτύου, το μέγεθος των σωληνωτών αγωγών, την ισχύ ένδεχομένου των άντλητικών συγκροτημάτων με τον σωστό υπολογισμό της απώλειας φορτίου κλπ.

6. ΒΙΒΛΙΟΓΡΑΦΙΑ

1. DAVIS and SORENSEN " Handbook of applied Hydraulics" Mc Mc, Graw Hill, third edit., 1969
 2. ΚΑΚΟΥΛΟΣ Θ. " θεωρία πιθανοτήτων και στοχαστικών ανέλιξεων ", 'Αθήναι, 1970.
 3. ΛΑΜΠΡΑΚΗΣ Δ. " Μαθηματική Στατιστική 1" 'Ιωάννινα 1972.
 4. ΞΑΝΘΟΠΟΥΛΟΣ Θ. " Ένοποιημένα μαθηματικά όμοιώματα διά τας μή μονίμους ροάς υπό πίεσιν και έλευθέραν έπιφάνειαν"- "Αρδευσιν διά καταλονισμό" έκδοσις Τ.Ε.Ε., 'Αθήναι 1974.
-

123

1. 2. 3. 4. 5. 6. 7. 8. 9. 10. 11. 12. 13. 14. 15. 16. 17. 18. 19. 20. 21. 22. 23. 24. 25. 26. 27. 28. 29. 30. 31. 32. 33. 34. 35. 36. 37. 38. 39. 40. 41. 42. 43. 44. 45. 46. 47. 48. 49. 50. 51. 52. 53. 54. 55. 56. 57. 58. 59. 60. 61. 62. 63. 64. 65. 66. 67. 68. 69. 70. 71. 72. 73. 74. 75. 76. 77. 78. 79. 80. 81. 82. 83. 84. 85. 86. 87. 88. 89. 90. 91. 92. 93. 94. 95. 96. 97. 98. 99. 100.

Μ Ε Ρ Ο Σ Γ :

ΕΣΩΤΕΡΙΚΑ ΔΙΚΤΥΑ ΥΔΡΕΥΣΕΩΣ

1. ΕΙΣΑΓΩΓΗ

Στό μέρος αυτό εξετάζεται ή δυνατότητα εφαρμογής των συμπερασμάτων του Α. και Β. μέρους και στα έσωτερικά δίκτυα διανομής ύδατος ύδρευσεως.

Πρίν προχωρήσουμε στη διατύπωση ώρισμένων απόψεων για την δυνατότητα καθορισμού των παροχών σχεδιασμού, μέ βάση τις "έδατες παροχές" που χρησιμοποιήσαμε στα υπό πίεση άρδευτικά δίκτυα μέ έλεύθερη ζήτηση, θέλουμε νά έπισημάνουμε τις άσάφειες που παρουσιάζονται κατά τό σχεδιασμό τέτοιων δικτύων ύδρευσεως.

Πραγματικά ή λειτουργία των έσωτερικών δικτύων παρουσιάζει ώρισμένα χαρακτηριστικά που δέν είναι δυνατό νά προσδιορισθούν μέ άκρίβεια. Τέτοια χαρακτηριστικά είναι κυρίως ή πιθανότητα λειτουργίας κάθε στομίου ύδροληψίας (κρουνοϋ οίκιας, κήπου ή πάρκου, κλπ.), ό άριθμός των στομίων ύδροληψίας που όπωσδήποτε δέν μπορούν νά καθορισθούν έπακριβώς και ή παροχή έπίσης κάθε κρουνοϋ ή όποια μπορεί νά καθορισθεϋ, αλλά κατά κάποιον τρόπο άς πουμε χονδρικό μιá και καθορίζεται προσεγγιστικά μιá μέση τιμή του. Επίσης ή παροχή του κάθε κρουνοϋ δέν είναι σταθερή έξαρτώμενη από πλεζομετρικό φορτίο τό όποιο συνήθως μεταβάλλεται από τους χειρισμούς του άνοιγοκλείματός του από τους ένοικους και άκόμα από τό είδος και τή μορφή του δικτύου σε κάθε κατοικία.

Βέβαιά υπάρχουν και ώρισμένα άλλα χαρακτηριστικά που έπί-

σης παρουσιάζουν ασάφεια όπως, π.χ. η απόσταση των υδροληψιών επάνω στους δημοτικούς αγωγούς, τά μήκη των οικόδομικών τετραγώνων στους οίκισμούς που κι'αυτά διαφέρουν μεταξύ τους, αλλά όμως δεν αποτελούν τά κύρια εμπόδια για τόν καθορισμό υδρατών παροχών. Πράγματι οί υδροληψίες που υπάρχουν επάνω στον αγωγό μπορεί νά θεωρηθεῖ ὅτι συγκεντρώνονται στά ἄκρα κάθε τμήματος, π.χ. στό κατάντη ἄκρο τοῦ τμήματος ἢ καί διαμοιράζονται ανάλογα μέ τήν ἐκτίμηση τοῦ κάθε μελετητή. Ἐπίσης οί διαφορές που παρουσιάζονται στά μήκη τῶν τμημάτων τῶν αγωγῶν μέσα σέ οίκισμούς μέ σχέδια πόλεων παρουσιάζονται καί στά ἀρδευτικά δίκτυα καί δέν δημιουργοῦν ἰδιαίτερα προβλήματα.

Πάντως ὅμως εἶναι δυνατό ἔστω καί μέ τίς ασάφειες που υπάρχουν νά δεχθοῦμε ὅτι ἡ θεωρία τῶν πιθανοτήτων εἶναι δυνατό [5,9] νά ἐφαρμοσθεῖ καί στήν προκειμένη περίπτωση, καί μάλιστα νά δεχθοῦμε ὅπως καί στά ὑπό πίεση ἀρδευτικά δίκτυα μέ ἐλεύθερη ζήτηση, ὅτι ἡ λειτουργία κάθε κρουνοῦ ἀκολουθεῖ τήν διωνυμική κατανομή. Βέβαια πλο πάνω ἔχουμε διατυπώσει τίς ασάφειες που υπάρχουν στά δίκτυα διανομῆς ὕδατος ὑδρεύσεως ἀλλά πρὸς τό παρόν τοῦλάχιστο δέν ὑπάρχει ἡ δυνατότητα νά ἐφαρμοσθεῖ κάποιο ἄλλο μοντέλο λειτουργίας τῶν κρουνῶν.

Σάν συνέπεια αὐτῆς τῆς παραδοχῆς προκύπτει τό ἐρώτημα ἂν μπορεί νά ἐφαρμοσθεῖ τό κριτήριο τῆς ἀπώλειας φορτίου σέ ἐσωτερικά δίκτυα ὑδρεύσεως καί νά καθορισθεῖ ἔτσι κατά τρόπο παρόμοιο πρὸς τά ἀρδευτικά ἓνα αἰτιοκρατικό σχῆμα ἐπιλύσεώς τους μέ βάση τίς " ἰδεατές παροχές σχεδιασμοῦ". Στό ἐρώτημα αὐτό ἡ ἀπάντηση μπορεί νά εἶναι θετική, ἔστω καί μέ τίς γενικές ἐπιφυλάξεις για τόν τρόπο τῆς πραγματικῆς λειτουργίας τέτοιων δικτύων ὑδρεύσεως καί για τίς ασάφειες που υπάρχουν στόν προσδιορισμό τῶν παραμέτρων τῆς κανονικῆς κατανομῆς μέ

τήν όποία προσεγγίζεται ή διωνυμική.

Πρέπει έδω νά τονισθεϊ ότι μέ ώρισμένες λογικές παραδο -
χές είναι δυνατό νά καθορισθεϊ τούλάχιστο ένα προσεγγιστικό
αίτιοκρατικό πρότυπο, τό όποιο δίδει τά στοιχεϊα ενός όσο τό
δυνατό πιο σωστού σχεδιασμοϋ τών έσωτερικών δικτύων ύδρευσεως.

Αφοϋ λαϊπόν δεχθοϋμε τϊς ίδεατές παροχές σχεδιασμοϋ μέ
τϊς έκφράσεις πού έχουν βρεθεϊ στό Α. καί Β. μέρος τής παροϋ -
σας έργασίας, πρέπει στή συνέχεια νά αναφερθοϋμε στϊς παραμέ -
τρους τής κατανομής καί στόν τρόπο έκτιμήσεως τους.

Βέβαια πρέπει νά παρατηρήσουμε σχετικά ότι ό σχεδιασμός
των έσωτερικών δικτύων ύδρευσεως απαιτεϊ τόν καθορισμό τής
σχέσεως τής μέγιστης ώριαίας παροχής καταναλώσεως πρός τήν
άντίστοιχη μέγιστη ήμερήσια παροχή πού όνομάζεται συντελεστής
ώριαίας αϊχμής. Έτσι τελικά μετά άπό όποιαδήποτε έπεξεργασία
του προβλήματος προσδιορισμοϋ τών παραμέτρων τής κατανομής καί
στή συνέχεια τής μέγιστης ώριαίας παροχής, νά καταλήξουμε στή
διατύπωση κατάλληλης έκφράσεως του συντελεστοϋ ώριαίας αϊχμής.
Γιά τό σκοπό αυτό άν καί τό αντικείμενο του παρόντος μέρους
δέν είναι παρά ή εξέταση τής δυνατότητας έφαρμογής των συμπε -
ρασμάτων του πρώτου καί δευτέρου μέρους σέ δίκτυα ύδρευσεως,
εϊμαστε αναγκασμένοι νά δώσουμε καί μερικά συνοπτικά στοιχεϊα
του συντελεστοϋ ώριαίας αϊχμής. Τά στοιχεϊα αυτά αναφέρονται
στή βιβλιογραφία ή σέ σχετικές οδηγίες αρμοδίων Υπηρεσιών ή
άκόμα καί σέ σχετικές έρευνες καί έπομένως έχουν ενδιαφέρον
γιά κείνον πού μελετϊ δίκτυα διανομής του ύδατος ύδρευσεως.

Έτσι στό έπόμενο κεφάλαιο 2 διατυπώνονται συνοπτικά με -
ρικές πληροφορίες σχετικές μέ τϊς τιμές πού μπορεϊ νά λάβει
ό συντελεστής ώριαίας αϊχμής.

Στή συνέχεια στό κεφάλαιο 3 διατυπώνονται οϊ έξιλώσεις τής

απώλειας φορτίου και οι "έδεατές παροχές" σχεδιασμού που είναι δυνατό να εφαρμοσθούν στα έσωτερικά δίκτυα και με τις όποιες όπως είναι γνωστό προσεγγίζεται το πιθανοθεωρητικό σχήμα λειτουργίας τέτοιων δικτύων και επιλύεται και το αντίστοιχο πρόβλημα σχεδιασμού τους. Στο ίδιο κεφάλαιο υποδεικνύεται κάποια γενική σχέση καθορισμού του συντελεστού ώριαίας αίχμης και υποδεικνύονται επίσης και μερικές τιμές που μπορεί να εφαρμοσθούν σε έσωτερικά δίκτυα που σχεδιάζονται στη χώρα μας.

Ο κύριος στόχος πάντως αυτού του μέρους Γ' της παρούσας είναι να υποδείξει στον αναγνώστη τον τρόπο εφαρμογής των ώριαίων παροχών αίχμης οι όποιες υπολογίζονται σε κάθε θέση του δικτύου με κάποια υπολογιστική διαδικασία βασισμένη επάνω στη θεωρία των πιθανοτήτων. Βέβαια ταυτόχρονα από τα συμπεράσματα του Α' και Β' μέρους γίνονται υποδείξεις και για τον καθορισμό των μέγιστων ώριαίων παροχών και των αντίστοιχων τιμών των συντελεστών ώριαίας αίχμης.

Πρέπει τέλος να σημειωθεί ότι σήμερα συνηθίζεται οι παροχές σχεδιασμού να υπολογίζονται με βάση τη μέγιστη ήμερήσια παροχή πολλαπλασιασμένη με κάποιον έναυσό συντελεστή ώριαίας αίχμης για όλο το δίκτυο. Αυτός βέβαια ο υπολογισμός όπωςδήποτε υποτιμά τις παροχές των άγωγών τελευταίας τάξεως, ένδεχομένως δέ και των μεγαλύτερων άγωγών αν ο συντελεστής αίχμης εκλεγεί με μικρή τιμή.

Υπάρχουν επίσης ώρισμένες προτάσεις [9] για μιá έμπειρική κατανομή της όλικής παροχής των πρωτευόντων άγωγών που άποτελοϋν τους βρόχους του δικτύου, κατά άναλογία προς τα εφαρμοζόμενα σε άρδευτικά δίκτυα. Έτσι υπολογίζονται οι παροχές αίχμης σε κάθε θέση των δευτερευόντων κλάδων και άθροϋνται αυτές, από τά κατάντη προς τά άνάντη, μέχρις ότου τό άθροϋ-

σμά τους νά ἐξλισθεῖ μέ τή συνολική παροχή τοῦ πρωτεύοντος ἀγωγοῦ, ὅποτε πλέον λαμβάνεται σταθερή. Αὐτός ὁ τρόπος βέβαια καθορισμοῦ τῶν παροχῶν ὅπως εἶναι εὐνόητο δημιουργεῖ ἕνα ὑπερσχεδιασμό τοῦ δικτύου. Ἐξυπακούεται ἐπίσης ὅτι ἂν οἱ παροχές συγκεντρωθοῦν στίς πλέον δυσμενεῖς θέσεις τοῦ δικτύου (πρόταση τοῦ R. Clement) τότε ὁ πραγματοποιούμενος ὑπερσχεδιασμός τοῦ δικτύου θά εἶναι πολύ μεγαλύτερος.

2. ΣΥΝΤΕΛΕΣΤΗΣ ΩΡΙΑΙΑΣ ΑΙΧΜΗΣ

Όπως είναι γνωστό σήμερα για τό σχεδιάσμό τών έσωτερικών δικτύων ύδρευσεως καθορίζεται σέ μιá θέση τοῦ δικτύου ἡ σχέση:

$$Q = \lambda \cdot Q_{\mu} \quad (1)$$

$$\text{ὅπου} \quad Q_{\mu} = \Pi \cdot q_{\mu} \quad (1a)$$

Q = ἡ μέγιστη ὠριαία παροχή στήν ἐξεταζόμενη θέση τοῦ δικτύου
 Q_{μ} καί q_{μ} = οἱ μέσες τιμές τών παροχῶν καταναλώσεως στήν ἐξεταζόμενη θέση οἱ ἀντίστοιχες στό συνολικό πληθυσμοῦ καί σέ ἓνα κάτοικο, οἱ ὁποῖες παρουσιάζονται τήν ἡμέρα αἰχμῆς (ἡ μέγιστης καταναλώσεως τοῦ ἔτους).

Π = ὁ ἐξυπηρετούμενος πληθυσμός στήν ἐξεταζόμενη θέση

λ = συντελεστής ὠριαίας αἰχμῆς πού καθορίζεται ἀπό τόν λόγο τῆς μέγιστης ὠριαίας παροχῆς πρὸς τήν ἀντίστοιχη μέση παροχή τῆς ἡμέρας αἰχμῆς (ἡ μέγιστης καταναλώσεως) ἡ ὁποία παρουσιάζεται τό καλοκαίρι.

Ἡ πύ πάνω σχέση (1) μπορεῖ τελικά νά γραφεῖ καί ὡς ἐξῆς:

$$Q = \lambda \cdot \frac{\Pi \cdot q_{\epsilon}}{86400} \quad (2)$$

ὅπου q_{ϵ} = ἡ μέγιστη ἡμερήσια κατανάλωση ἀνά κάτοικο πού ὀνομάζεται μέγιστη εἰδική κατανάλωση.

Όπως ἀναγράφεται καί στήν εἰσαγωγή τοῦ μέρους τούτου ἐδῶ θά ἀναφερθοῦν πολύ συνοπτικά μερικές τιμές τοῦ συντελεστοῦ λ ὠριαίας αἰχμῆς.

- Στή χώρα μας τό Ὑπουργεῖο Ἐσωτερικῶν [8] ὑποδεικνύει ἔμμεσα τήν ἐφαρμογή συντελεστῶν ὠριαίας αἰχμῆς ὡς ἐξῆς:

- Για χωριά καθαρά αγροτικής μορφής ή μέγιστη ημερήσια κατανάλωσή να υπολογίζεται ότι μπορεί να ζητηθεί σε ό- κτώ (8) ώρες ή με άλλα λόγια $\lambda=3,0$
 - Για κωμοπόλεις ήμιαγροτικής ή ήμιαστικής μορφής ο πα- ραπάνω χρόνος καθορίζεται σε 10 έως 14 ώρες ή $\lambda= 1,71$ έως 2,40.
 - Για πόλεις (άστικά κέντρα) ο χρόνος καταναλώσεως καθο- ρίζεται, σε 16 ώρες δηλαδή $\lambda=1,50$
- Γενικά πάντως ο συντελεστής αίχμης λ εξαρτιέται πάντο- τε από τὰ χαρακτηριστικά της συγκεκριμένης περιοχής στην όποιά γίνεται ο σχεδιασμός του έργου, π.χ. τόν τύπο του οίκισμου, τή χρήση του νερού, τὰ κλιματικά χαρακτηριστικά κλπ., αλλά πάν- τοτε όμως ακολουθεί μερικούς γενικούς κανόνες. Έτσι όσο μει- ώνεται ο πληθυσμός μιās κατοικημένης περιοχής τόσο αύξάνει ο συντελεστής ώριαίας αίχμης [6,7]. Έπίσης όταν γίνεται χρήση του νερού από βιομηχανίες τότε ή τιμή του συντελεστού ώριαίας αίχμης μειώνεται.

Μερικές τιμές του συντελεστού ώριαίας αίχμης που αναφέ- ρονται στή βιβλιογραφία είναι οι έξής:

Ο Steel [6] αναφέρει ότι ή μέγιστη ώριαία παροχή είναι πιθανώς περίπου τό 150% της μέσης ώριαίας της ίδιας ήμέρας και ότι συμπεράσματα μιās μελέτης του Wolf (1957) έδειξαν σε προ- άστια ότι οι τιμές της ώριαίας αίχμης έφθασαν μέχρι τό 10πλά- σιο της μέσης ώριαίας. Οι A. Twort -R. Hoather- F. Law αναφέρουν συντελεστές που κυμαίνονται από 1,90 για πληθυσμούς 500.000 κατοίκων μέχρι 3,0 για πληθυσμό 500 κατοίκων και που αναφέρου- νται στό λόγο της ώριαίας καταναλώσεως προς τή μέση έτήσια κα- τανάλωση σε περιοχές του Leicester και σύμφωνα με έρευνα του Adams (1955). Οι τιμές αυτές δίδονται σε συνάρτηση και με τό

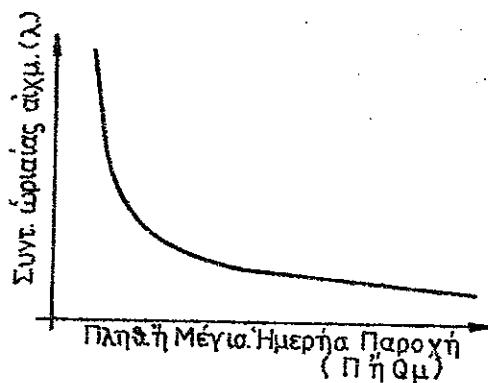
χαρακτήρα της περιόχης, π.χ. καθαρής κατοικίας ή κυρίως κατοικίας ή κατοικίας μαζί με βιομηχανίες κλπ. σε διάγραμμα και είναι πολύ χαρακτηριστική η μείωση του συντελεστού λ σε συνάρτηση με την αύξηση του πληθυσμού. Επίσης αναφέρονται τιμές του λ μεταξύ 1,1 και 4,0 σε σχέση με την μέση ημερήσια της ύδρας ημέρας.

Οι Fair-Geyer-Okun αναφέρουν ένα συντελεστή μεταξύ 2,00 και 3,00 και ένα μέσο όρο 2,5. Ο M. Hammer [4] αναφέρει συντελεστές μεταξύ 1,5 μέχρι 10,0 στις πολύ άκρατες περιπτώσεις και δίδει ένα μέσο όρο 3,0. Ο J.W. Clark [1] αναφέρει τιμές του λ μεταξύ 1,5 έως 12. Ο Cauvin και Didier [2] προτείνουν για εφαρμογή τιμές του λ μεταξύ 3,0 και 4,0.

Σε μία σχετική δημοσίευση του Δ. Χριστούλα [9] προτείνονται τιμές που κυμαίνονται από 3,80 μέχρι περίπου 8,20. Στην εργασία αυτή έγινε μία προσπάθεια καθορισμού των παραμέτρων της μέγιστης ωριαίας παροχής που θεωρήθηκε ότι ακολουθεί όπως και στα αρδευτικά δίκτυα την κανονική κατανομή δηλαδή ότι εκφράζεται με τον πρώτο τύπο του Clement. Στη συνέχεια στην ύδρα εργασία δόθηκαν σε ειδικές περιπτώσεις και σχέσεις καθορισμού του συντελεστού λ.

Οι παραπάνω τιμές που αναφέρονται δίδουν μία εικόνα της εύρειας διακυμάνσεως του συντελεστού λ οι οποίες δεν είναι εύκολο να τοποθετηθούν σε ώρισμένα πλαίσια. Πάντως για κάθε συγκεκριμένη περίπτωση είναι δυνατό ο μελετητής να ερευνά το θέμα του καθορισμού ενός συντελεστού ωριαίας αιχμής λ σε συνάρτηση με τον εξυπηρετούμενο πληθυσμό (στον οποίο ανάγονται όλες οι ανάγκες σε νερό) ή ακόμα και σε συνάρτηση με την μέση παροχή καταναλώσεως κατά την ημέρα αιχμής.

Δηλαδή αν μπορούσαμε κάθε φορά να καθορίσουμε ένα διάγραμμα της μορφής του σχήματος 2.1 ή ακόμα και μιιά σχέση $\lambda = \lambda(\Pi \text{ ή } Q_{\mu})$ τότε από τη σχέση (1) θα είχαμε σε κάθε θέση του δικτύου την τιμή της ώριαίας αλλαγής κατά την ημέρα της μέγιστης καταναλώσεως.



Σχ.2.1.

Παρατηρείται επίσης ότι γενικά στη βιβλιογραφία αποφεύγεται να δοθούν κανόνες προσδιορισμού του συντελεστή λ και αφύνεται αυτό να εκτιμείται από τον μελετητή σε κάθε συγκεκριμένη περίπτωση.

3. ΟΙ ΑΠΩΛΕΙΕΣ ΦΟΡΤΙΟΥ ΚΑΙ ΟΙ ΙΔΕΑΤΕΣ ΠΑΡΟΧΕΣ ΣΧΕΔΙΑΣΜΟΥ

Όπως αναφέρεται και στην εισαγωγή του παρόντος μέρους, γίνεται δεκτό ότι οι απώλειες φορτίου ακολουθούν τις εξισώσεις που βρέθηκαν στο πρώτο και δεύτερο μέρος της παρούσας για τα αρδευτικά δίκτυα δηλαδή:

$$h = \sum K_i \left[\mu_i^\alpha + \frac{\alpha(\alpha-1)}{2} \mu_i^{\alpha-2} \sigma_i^2 + \epsilon \cdot \rho \cdot \alpha \cdot \mu_i^{\alpha-1} \sigma_i \right] \quad (3)$$

όπου μ_i, σ_i = μέση τιμή και τυπική απόκλιση της παροχής στο τμήμα i του δικτύου που υπολογίζονται εφαρμόζοντας τις σχέσεις (3) και (4) του κεφ. 1 του Α. μέρους.

ϵ = τυποποιημένη τυχαία μεταβλητή κανονικής κατανομής

α = περίπου 1,76 έως 2,00

$$0,707 \leq \rho \leq 1,0$$

K_i = συντελεστής που δίδεται από τις σχέσεις (9) και (10) του Α. μέρους δηλαδή

$$K = C_0 \cdot D^{-\beta} \cdot l$$

όπου C_0 = σταθερός συντελεστής που εξαρτιέται μόνο από την ποιότητα των σωλήνων

D = διάμετρος του άγωγού.

l = μήκος του άγωγού

Στη συνέχεια αν την ποσότητα που είναι μέσα στην παρένθεση της σχέσεως (3) την ονομάσουμε σαν (Q_i^α) θα έχουμε

$$h = \sum K_i Q_i^\alpha \quad (3a)$$

όπου όμως σύμφωνα με τις εκτιμήσεις που έγιναν στο 1.ο μέρος η παροχή (Q_i) που ονομάζεται "ΐδεατή παροχή" σχεδιασμού μπορεί νά λαμβάνεται πάντοτε με ικανοποιητική προσέγγιση,

$$\text{σάν } Q_i = \left[\mu_i^2 + \sigma_i^2 + \epsilon \cdot (2\rho \cdot \mu_i \sigma_i) \right]^{\frac{1}{2}} \quad (4)$$

δηλαδή οποιαδήποτε σχέση υπολογισμού των γραμμικών απωλειών καί αν χρησιμοποιούμε.

Με τή σχέση (4) μπορούμε πλέον νά σχεδιάσουμε τό δίκτυο εφαρμόζοντας σάν παροχές τής παροχές Q_i που είναι βέβαια ΐδεατές καί δέν πληροϋν τό νόμο τής συνεχείας σέ κάθε κόμβο. Τό θέμα όμως είναι ότι στήν περίπτωση των δικτύων ύδροϋσεως είναι δύσκολος ό καθορισμός των μ_i καί σ_i όπως αναφέρθηκε στήν εισαγωγή.

Προχωρώντας μέ βάση τή σχέση (4) παρατηρούμε ότι για δίκτυα ύδρευσεως που στο πλεϋστον είναι βροχωτά ό συντελεστής $\rho \approx 0,75$. Επίσης θά πρέπει νά λάβουμε ύπόψη ότι για ποιότητα λειτουργίας $\varphi \approx 0,98$ τό $\epsilon \approx 2,00$. Έπομένως ή σχέση (4) μπορεί νά γραφτεί με ικανοποιητική προσέγγιση,

$$Q_i \approx \mu_i + 1,28 \cdot \sigma_i \quad (5)$$

Δηλαδή $\epsilon = 1,28$ ($\varphi = 0,90$).

Ή προσέγγιση είναι εύκολο νά διαπιστωθεΐ αν ή σχέση (4) γραφτεί στή μορφή $Q_i = \mu (1 + C_v^2 + \epsilon \cdot 2\rho \cdot C_v)^{1/2}$ καί για $\epsilon \approx 2,00$ καί $\rho \approx 0,75$, δοθούν διάφορες τιμές στον συντελεστή μεταβολής των παροχών C_v , όποτε οι αντίστοιχες τιμές Q_i μπορεί νά συγκριθούν με τις τιμές $Q_i = \mu_i (1 + 1,28 C_v)$ τής σχέσεως (5). Παρατηρείται μάλιστα ότι ή σχέση (5) εφαρμόζεται έστω καί αν ό συντελεστής ρ μεταβληθεΐ σημαντικά, π.χ. αν πλησιάσει τήν τιμή $\rho \approx 1,0$.

Ἡ κατάληξη λοιπόν εἶναι ὅτι γιὰ τὰ ἑσωτερικά δίκτυα ὑδρεύσεως πρέπει νὰ θεωροῦνται σάν παροχές σχεδιασμοῦ οἱ "ἰδεατές παροχές" τῆς σχέσεως (5). Τότε τὸ πιθανοθεωρητικό μοντέλο μετατρέπεται σέ αὐτοκρατικό καὶ οἱ ἀπώλειες φορτίου πού προκύπτουν ἀπὸ τὴ σχέση (3α) εἶναι ἀκριβῶς ἐκεῖνες πού ἀντιστοιχοῦν στὴν ἐπιθυμητὴ ποιότητα λειτουργίας ($\varphi \approx 0,98$).

Καθορίζοντας τίς παροχές σχεδιασμοῦ μέ τὴ σχέση (5) ἀφύγονται οἱ ἐμπειρικές κατανομές τῆς ὀλικῆς παροχῆς πού προτείνονται [9] σχετικά.

Στὴ συνέχεια πρὸ κάτω δίδονται μερικά στοιχεῖα καθορισμοῦ τῶν παραμέτρων τῆς ἰδεατῆς παροχῆς Q_i τῆς σχέσεως (5).

$$\mu_i = \sum_{i=1}^i R_i P_i q_{oi} \quad (6)$$

$$\sigma_i = \left[\sum_{i=1}^i \left[R_i P_i (1-P_i) q_{oi}^2 \right] \right]^{1/2} \quad (6a)$$

Τὸ συνολικό πλῆθος τῶν κρουνοῦν μπορεῖ νὰ ἐκφρασθεῖ κατὰ προσέγγιση σάν πηλῆκο τοῦ συνολικοῦ πληθυσμοῦ Π_i μέ ἓνα μέσο πλῆθος μελῶν κατὰ οἰκογένεια Π_o δηλαδή

$$R_i = \frac{\Pi_i}{\Pi_o} \quad (7)$$

Συνήθως $\Pi_o \approx 3,0$ ἕως 3,5

Ἡ πιθανότητα λειτουργίας ἑνὸς κρουνοῦ θά θεωρηθεῖ ἴση μέ [9]

$$R_i = \frac{t_i}{T} = \frac{q_i}{q_{oi}} \quad (8)$$

ὅπου q_{oi} = παροχὴ λειτουργίας τοῦ κρουνοῦ, π.χ. 0,20 λ/δλ ἢ 0,30 λ/δλ κ.ο.κ.

q_i = μέση παροχή που απαιτείται για να συγκεντρωθεί μία ποσότητα νερού καταναλώσεως κατά τη διάρκεια T τής περιόδου αίχμης, π.χ. T = μεταξύ 3,0 έως 6,0 ωρών.

t_i, T = χρόνος λειτουργίας ενός κρουνοῦ, διάρκεια περιόδου αίχμης

Βέβαια οι πιο πάνω σχέσεις (7) και (8) μπορεί να τροποποιηθούν από τόν κάθε μελετητή και για τήν κάθε συγκεκριμένη περίπτωση ώστε να προσαρμοσθούν όσο τό δυνατό καλλίτερα στα δεδομένα κάθε μελετωμένης περιοχής. Επίσης είναι δυνατός ο διαχωρισμός σε κατηγορίες τών κρουνοῦν [9], π.χ. λουτήρος, κουζίνας, κήπου κλπ. και ἡ ποσοστιαία ἐκτίμηση τών οἰκογενειῶν με 1,2,3,4,5 κλπ, μέλη σύμφωνα βέβαια και με τά υπάρχοντα στατιστικά στοιχεία. Χρήσιμα στοιχεία ὡς πρός τή μεθοδολογία καθορισμοῦ τιμῶν μ και σ με ὠρισμένες βέβαια παραδοχές περιέχονται στήν σχετική [9] ἐργασία τοῦ Δ. Χριστούλα.

Ἡ σχέση (5) γράφεται

$$Q = \mu \left[1 + 1,28 C_v \right] \quad (9)$$

ὅπου
$$C_v = \frac{\sigma}{\mu} = \left[\frac{1-p}{R \cdot p} \right]^{1/2} \quad (10)$$

Ἀπό τή σχέση (7) μπορούμε να δεχθοῦμε κατά μέσο ὄρο ὅτι:

$$R = 0,31 \Pi$$

δηλαδή
$$C_v = 1,80 \left(\frac{1-p}{p} \right)^{1/2} \cdot \frac{1}{\sqrt{\Pi}} = \frac{c}{\sqrt{\Pi}} \quad (11)$$

ὅπου
$$C_o = 1,80 \left(\frac{1-p}{p} \right)^{1/2}$$

Γιά ἀπλές περιπτώσεις ὅπου δέν ἔχουμε κήπους για πότισμα μπορούμε να δεχθοῦμε τελείως προσεγγιστικά (δεχόμενοι ἰσοπίθανους κρουνοῦς σταθερᾶς παροχῆς $q_o = 0,20 \lambda / \delta \lambda$ και ἀμελοῦντες

τήν επίρροή του αριθμού μελών κάθε οικογένειας)

$$\mu \approx (0,31\Pi) \cdot (0,20) \cdot p \approx 0,062 \cdot p \cdot \Pi$$

όποτε η (9) γίνεται:

$$Q \approx 0,062 \cdot p \cdot \Pi \left[1 + \frac{1,28 \cdot C_0}{\sqrt{\Pi}} \right] \quad (12)$$

Από τη σχέση (12) και την (2) θα έχουμε

$$\lambda = \frac{5357}{q_e} \cdot p \cdot \left[1 + \frac{1,28 \cdot C_0}{\sqrt{\Pi}} \right]$$

ή αν θέσουμε:

$$\lambda_0 = \frac{5357}{q_e} \cdot p \quad (13)$$

$$\text{και } 1,28 \cdot 1,80 \left(\frac{1-p}{p} \right)^{\frac{1}{2}} = 1,28 C_0 = C \quad (13a)$$

$$\text{θα έχουμε } \lambda = \lambda_0 \left[1 + \frac{C}{\sqrt{\Pi}} \right] \quad (14)$$

Παρόμοια γενική σχέση πάντως θα έχουμε αν δεχθούμε ότι υπάρχουν αντίστοιχες επιφάνειες κήπων για πότισμα σε κάθε κατοικία.

Η σχέση (14) μπορεί να εφαρμόζεται από τον κάθε μελετητή με τον καθορισμό των συντελεστών λ_0 και C σε κάθε συγκεκριμένη περίπτωση.

Πάντως για τις συνθήκες που επικρατούν στη χώρα μας θα μπορούσε να ληφθούν οι πιο κάτω συντελεστές, οι οποίοι δίδονται με δικές μας εκτιμήσεις, λαμβάνοντας υπόψη πάντοτε και μία μελλοντική εξέλιξη.

- Για χωριά αγροτικής μορφής

$$\lambda_0 = 3,0 \text{ έως } 4,0$$

$$C = 8,0 \text{ έως } 10,0$$

Οι μεγάλες τιμές του λ_0 και C αναφέρονται σε πολύ μικρούς πληθυσμούς.

- Για κωμοπόλεις ήμιαγροτικής ή ήμισιαστικής μορφής:

$$\lambda_0 = 2,0 \text{ έως } 3,0$$

$$C = 7,0 \text{ " } 9,0$$

Κατά μέσο όρο μπορεί να λαμβάνεται $\lambda_0 = 2,50$ και $C \approx 8,0$.

- Για μεγαλύτερες πόλεις (αστικά κέντρα) μπορεί να λαμβάνεται:

$$\lambda_0 = 1,75 \text{ έως } 2,25 \text{ ή } 2,50 \text{ (κατά μέσο όρο } \lambda_0 = 2,0)$$

$$C = 7,00 \text{ " } 8,00 \text{ ή και } 9,0$$

Πρέπει πάντως ο μελετητής να προσέχει στην έκτίμηση των ωριαίων παροχών κεντρικών τροφοδοτικών αγωγών έσωτερικών δικτύων, διότι η υπερεκτίμηση του συντελεστού λ μπορεί να δώσει αντίοικονομικά αποτελέσματα. Στις περιπτώσεις αυτές πρέπει ο μελετητής να έχει υπόψη του ότι ο συντελεστής λ είναι μειωμένος και γιαυτό πρέπει η έκτίμηση να γίνει προσεκτικά.

Για παράδειγμα δίδουμε το απλό δίκτυο του σχήματος 3.1.

| | | | |
|----------|-------------------|------------|---------------|
| Τμήμα 1: | $l_1 = 1500 \mu.$ | $\phi 150$ | $K_1 = 73,9$ |
| " 2: | $l_2 = 250 \mu.$ | $\phi 80$ | $K_2 = 249,4$ |
| " 3: | $l_3 = 150 \mu.$ | $\phi 80$ | $K_3 = 149,7$ |
| " 4: | $l_4 = 200 \mu.$ | $\phi 80$ | $K_4 = 199,5$ |

Καθορίζουμε για είδική κατα-
νάλωση $K=250\lambda/\text{κατ}/\eta\mu$ και δε-
χόμαστε για την ημέρα αίχμης
ότι $q_e=1.5 \times 250=375 \lambda/\text{κατ}/\eta\mu$.

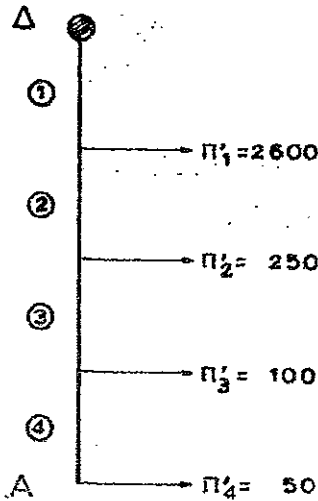
Άρα από τη σχέση $Q_\mu = \frac{\Pi q_e}{86 \cdot 400}$

βρίσκουμε για κάθε τμήμα την
μέση παροχή της ημέρας αίχμης.

Αντίστοιχα αν δεχθούμε ότι
ο συντελεστής $\lambda=250(1+\frac{8,0}{\sqrt{\Pi}})$,

δηλαδή $\lambda=2,50$ και $C=8,0$

θα έχουμε:



Σχ.3.1

| Μέση παροχή
(λ/δ) | στο τμήμα | λ | Παροχή
σχεδιασμού(λ/δλ) Q |
|----------------------|-----------|------|------------------------------|
| 13,02 | 1: | 2,86 | 37,24 |
| 1,74 | 2: | 3,50 | 6,09 |
| 0,65 | 3: | 4,13 | 2,68 |
| 0,22 | 4: | 5,33 | 1,17 |

Έτσι οι απώλειες φορτίου στο τμήμα (Δ-Α) θα υπολογισθούν στη
συνέχεια με τη σχέση $h=\Sigma(KQ^2)=0,118 \mu$. ή γενικά με τη σχέση :
 $h=\Sigma KQ^\alpha$.

Αν θεωρηθεί σκόπιμο από τον μελετητή στα τελευταία τμή-
ματα με τό μικρό πληθυσμό είναι δυνατό να ληφθεί μεγαλύτερο λ_0
και C αν και αυτό δεν θα αλλάξει ουσιαστικά την κατάσταση μιά
και διατηρούνται ελάχιστες τιμές διαμέτρων, π.χ. φ80.

4. ΣΥΜΠΕΡΑΣΜΑΤΑ

Για τόν σχεδιασμό ενός έσωτερικού δικτύου ύδρευσης μπορούμε νά χρησιμοποιήσουμε τά συμπεράσματα του Α' καί Β' μέρους αὐτῆς τῆς ἐργασίας.

- (α) Ἐτσι μπορούμε νά ἐφαρμόζουμε σάν παροχές σχεδιασμοῦ σέ κάθε τμήμα τοῦ δικτύου τίς παροχές πού δίδει ἡ σχέση (9)

$$Q = \mu \left[1 + 1,28 C_v \right]$$

ὅπου $C_v = \delta$ συντελεστής μεταβολῆς τῶν παροχῶν = $\frac{\sigma}{\mu}$

μ, σ = μέση τιμή καί τυπική ἀπόκλιση τῆς παροχῆς πού θά πρέπει κανονικά νά ὑπολογίζονται γιά κάθε συγκεκριμένη περίπτωση μετά ἀπό σχετική ἔρευνα καί ἐφαρμογή τῶν σχέσεων (6) καί (6α).

Οἱ ἀσάφειες στό σχεδιασμό ἐσωτερικῶν δικτύων ἔχουν ἐπισημανθεῖ στήν εἰσαγωγή τῆς παροῦσας ἐργασίας, ἀλλά μέχρι νά βρεθεῖ κάποιος πῶς σαφῆς τρόπος ἢ ἀλγόριθμος καθορισμοῦ τῶν παροχῶν ὑπολογισμοῦ ἀσφαλῶς τό παρόν τρίτο μέρος καλύπτει μερικές πτυχές τοῦ ὑφιστάμενου προβλήματος.

- (β) Οἱ τιμές πού δίδονται ἀπό τίς σχέσεις (13) καί (14) γιά τό συντελεστή λ ὠριαίας αἰχμῆς μπορεῖ κάθε φορά νά ἐρευνῶνται ἀπό τούς μελετητές ἐσωτερικῶν δικτύων γιά τόν καθορισμό τῶν παραμέτρων λ_0 καί C .

Μερικές ἐνδεικτικές τιμές λ_0 καί C πού δίδονται στό κεφάλαιο 3 γιά τήν ἐφαρμογή τῆς σχέσεως (14)

$$\lambda = \lambda_0 \left[1 + \frac{C}{\sqrt{\Pi}} \right]$$

μπορεῖ νά χρησιμοποιοῦνται ἀπό τούς μελετητές στίς τυπικές περιπτώσεις οἰκισμῶν τοῦ Ἑλληνικοῦ χώρου.

Πρέπει να τονισθεῖ βέβαια τὸ γεγονός ὅτι γιὰ πολὺ μικροὺς πληθυσμούς ὁ καθορισμὸς μιᾶς ἐλάχιστης καὶ μόνο διαμέτρου, π.χ. $\Phi 80$ καλύπτει πολὺ μεγάλους συντελεστὲς αἰχμῆς.

Ἐπίσης, ὅπως γράφτηκε καὶ στὸ κεφάλαιο 3, θὰ πρέπει οἱ μελετητὲς μὲ μεγάλη προσοχὴ νὰ ἐκτιμῶν τὸν συντελεστὴ ὠριμαίας αἰχμῆς λ γιὰ κεντρικοὺς τροφοδοτικούς ἀγωγούς μεγάλης παροχῆς ὥστε νὰ ἀποφεύγουν τὸν ὑπερσχεδιασμό.

Ἡ πρὸ πάνω σχέση $\lambda = \lambda_0 \left(1 + \frac{C}{\sqrt{\Pi}}\right)$ μπορεῖ νὰ μετατραπῆε εἰς τὴν σχέση:

$$\lambda = \lambda_0 \left(1 + \frac{C'}{\sqrt{Q_\mu}}\right)$$

ἂν λάβουμε ὑπόψη ὅτι

$$Q_\mu = \frac{\Pi \cdot q_\epsilon}{86400}$$

ὅπου Π = ὁ ἐξυπηρετούμενος πληθυσμὸς

q_ϵ = μέγιστη κατανάλωση ἀνά κάτοικο καὶ ἡμέρα.

Q_μ = μέση παροχὴ καταναλώσεως τὴν ἡμέρα μέγιστης αἰχμῆς.

Πρέπει νὰ σημειωθεῖ ἐδῶ ἡ ὁμοιότητα τῆς πρὸ πάνω σχέσεως ὑπολογισμοῦ τοῦ συντελεστοῦ λ μὲ τὴν σχέσιν ὑπολογισμοῦ τοῦ ἀντίστοιχου συντελεστοῦ αἰχμῆς τῶν παροχῶν ὑπολογισμοῦ δικτύων ἀκαθάρτων ἢ ὁποῦα σύμφωνα μὲ τὴν Ἑλληνικὴν προδιαγραφή εἶναι $3,0 \geq \lambda \geq \alpha + \frac{\beta}{1,72}$ ὅπου συνήθως τὸ $\alpha = 1,50$, $\beta = 2,50$ καὶ

$q_m = 0,80 \times$ (μέγιστη ἡμερησ. παροχὴ ὑδρεύσεως). Ἐπίσης εἶναι ἀξιοσημείωτος ὁ τρόπος ἐφαρμογῆς τῶν παροχῶν σχεδιασμοῦ σέ δίκτυα ἀκαθάρτων, ὅπου οἱ ὑπολογιζόμενες παροχές αἰχμῆς σέ κάθε τμῆμα ἀγωγοῦ ἐφαρμόζονται παρόμοια μὲ τὴν " ἰδεατὴ παρο-

χές" που προτείνονται εδώ στα έσωτερικά δίκτυα ύδρευσεως. Πάντως και στη διεθνή βιβλιογραφία βρίσκει κανείς παρόμοιες σχέσεις ύπολογισμού του συντελεστού λ σε δίκτυα ύπονόμων όπου το μέγεθος του μειώνεται με την αύξηση του πληθυσμού.

(γ) Τελικά για τις εφαρμογές όταν πρόκειται να γίνει ή έκτίμηση των παροχών σχεδιασμού καλό θα είναι να συντάσσεται από τους μελετητές ένα διάγραμμα $\lambda \times (\Pi \text{ ή } Q_{\mu})$ της μορφής που έμφανίζεται στο σχήμα 2.1. Βέβαια δέν είναι αναγκαίο ή καμπύλη αυτή του σχήματος 2.1 να προκύπτει από μια ένιαυα αναλυτική σχέση $\lambda \times (\Pi \text{ ή } Q_{\mu})$, αλλά μπορεί να αποτελείται και από περισσότερες τέτοιες καμπύλες που κάθε μια ίσχύει *κατά* σε ένα διάστημα τιμών Π ή Q_{μ} . Οι καμπύλες αυτές μπορεί να συναρμολογούνται κατάλληλα από τόν μελετητή του κάθε συγκεκριμένου έργου ό όποιος είναι πιθανό να λαμβάνει υπόψη για την κατασκευή ενός τέτοιου διαγράμματος και διάφορες όριακές τιμές που ένδεχομένως θεωρεί άπαραύτητες στη διαμόρφωση μιας ρεαλιστικής σχέσεως μεταξύ του συντελεστού ώριαύας αίχιής και της αντίστοιχης τιμής Π ή Q_{μ} .

(δ) Μέ την παρούσα προσπάθεια καθορίζονται οι ίδεατές παροχές σχεδιασμού σε έσωτερικά δίκτυα ύδρευσεως. Οι παροχές αυτές καθιστούν αίτιοκρατικό ένα πιθανοθεωρητικό πρόβλημα και εφαρμόζονται σε κάθε τμήμα του δικτύου σε συνάρτηση με τόν πληθυσμό ή συνήθως με την παροχή Q_{μ} της σχέσεως (1). Βέβαια με την εφαρμογή των παροχών αυτών για τόν σχεδιασμό δέν ύπάρχει ίσορροπία προσερχομένων και άπερχομένων παροχών σε κάθε κόμβο γιαυτό έξάλλου τις όνομάζουμε και "ίδεατές". Πρέπει όμως να έχουμε υπόψη ότι εφαρμόζοντας αυτές τις "ίδεατές παροχές" στα διάφορα τμήματα του δικτύου κατορθώνουμε να προσεγγύζουμε ίκανοποιητικά σε όποιαδήποτε διαδρομή έ -

κεϊνες τϋς απώλειες φορτίου οί όποτες άντιστοιχοϋν σέ μιá ώ-
ρισμένη ποιότητα λειτουργίας πού στά έσωτερικά δίκτυα μπορεί
νά καθορισθεΐ σέ $\varphi=0,98$ περίπου.

5. ΒΙΒΛΙΟΓΡΑΦΙΑ

1. CLARK J. " Water Supply and Pollution Control" 2nd edition
Int.textbook Company 1971.
2. CAVVIN A.-DIDIER G." Distribution d'eau dans les agglome -
rations" Ed. Eurolles-1963
3. FAIR, GEYER, OKUN. Vol.1. "Water and Wastewater Enginearig"
J.Willey and Sons 1966.
4. HAMMER M. " Water and Waste-water Technology" J.Wiley and
Sons 1975.
5. MANAS " National Plumbing Code Handbook" Mc Graw Hill,1960
6. STEEL E. " Water Supply and Sewaragie" Mc Graw-Hill,1960.
7. THORT A.-HOATHER R.-LAW F. " Water Supply", Endward Arn -
old L.t.d. 1963.
8. ΥΠΟΥΡΓΕΙΟ ΕΣΩΤΕΡΙΚΩΝ " 'Υπολογισμός έξωτερικῶν ἀγωγῶν, έσω-
τερικῶν δικτύων καί δεξαμενῶν ὑδραγωγείων Δήμων καί Κοινο-
τήτων" 'Εγκύκλιος 43689/92/8.5.1965.
9. ΧΡΗΣΤΟΥΛΑΣ Δ. " Παροχά σχέδιασμοῦ έσωτερικῶν δικτύων ὑ-
δρεύσεως άστικῶν οίκισμῶν" Τεχνικά Χρονικά, Τευχ.12 Δεκέμ-
βριος 1970.

APPENDIX 2

The following information is provided for the purpose of
 illustrating the various types of information that may be
 obtained from the various types of information systems.
 The information is presented in the form of a table.
 The table is divided into two main sections: (a) the
 types of information systems and (b) the types of
 information that may be obtained from each type of
 information system. The table is presented in the
 form of a table. The table is divided into two main
 sections: (a) the types of information systems and
 (b) the types of information that may be obtained
 from each type of information system. The table is
 presented in the form of a table. The table is
 divided into two main sections: (a) the types of
 information systems and (b) the types of information
 that may be obtained from each type of information
 system. The table is presented in the form of a
 table. The table is divided into two main sections:
 (a) the types of information systems and (b) the
 types of information that may be obtained from each
 type of information system. The table is presented
 in the form of a table. The table is divided into
 two main sections: (a) the types of information
 systems and (b) the types of information that may
 be obtained from each type of information system.

ΒΑΣΙΚΑ ΣΥΜΒΟΛΑ

- Q, q, q_0 = παροχή, μέση παροχή άρδευσεως άγροτεμαχίου έντός άρδευτικής ήμέρας, όνομαστική παροχή στομίου ύδροληψίας.
- B = βαθμός έλευθερίας $= \frac{q_0}{q}$
- φ = ποιότητα λειτουργίας $= \frac{1}{B}$
- N = πλήθος άνοιχτών στομιών ύδροληψίας
- R = συνολικό πλήθος στομιών ύδροληψίας που έξυπηρε - τεύται από μιá έξεταζόμενη θέση-Ύδραυλική άκτίνα
- P = πιθανότητα λειτουργίας στομίου ύδροληψίας
- μ = μέση τιμή παροχής
- σ = τυπική άπόκλιση τής παροχής
- ϵ = τυποποιημένη τυχαία μεταβλητή κανονικής κατανομής
- h = άπώλειες ένεργειας σέ κλειστούς σωληνωτούς άγω - γούς
- f = συντελεστής τριβών
- u = μέση ταχύτητα μέσα στους σωληνωτούς άγωγούς
- C, C_0, K, γ = συντελεστές
- D = έσωτερική διάμετρος σωληνωτού άγωγού
- S = κλίση γραμμής ένεργείας
- L, l = μήκη άγωγών
- x, y = έξαρτές ή άγνωστες μεταβλητές
- N_R = άριθμός Reynolds
- n = συντελεστής τραχύτητας
- α, β = άριθμητικού έκθέτες
- $P(X \leq x)$ = πιθανότητα όπως $X \leq x$
- $P(X = x) = p(x) =$ πιθανότητα όπως $X = x$
- C_v = συντελεστής μεταβολής παροχών
- $u, u(\varphi)$ = τυποποιημένη τιμή τής άπώλειας φορτίου $= \frac{h-m}{s}$

τιμή τυποποιημένης κατανομής που αντιστοιχεί
σε μία τιμή φ .

- m = μέση τιμή απώλειας φορτίου
 s = τυπική απόκλιση απώλειας φορτίου
 H = ύψομετρο
 $F(x), g(y), f(x)$ = συναρτήσεις των x_i ή y_i
 Δ, δ = δαπάναι άγωγών
 A = μήτρα ή σταθερού συντελεσταί ή συνάρτηση των
 K_i, μ_i, σ_i
 B = σταθερός συντελεστής ή συνάρτηση.

